

สำนักหอสมุดกลาง พระจอมเกล้าลาดกระบัง

การประยุกต์ใช้งานระบบควบคุมแบบฟัซซี

APPLICATIONS OF FUZZY LOGIC CONTROL SYSTEMS



ปริญญานิพนธ์นี้เป็นส่วนหนึ่งของการศึกษาตามหลักสูตรปริญญาวิศวกรรมศาสตรบัณฑิต
สาขาวิศวกรรมแมคคาทรอนิกส์
สถาบันเทคโนโลยีพระจอมเกล้าเจ้าคุณทหารลาดกระบัง
ปีการศึกษา 2550

เอกสารนี้เป็นเอกสารที่สงวนไว้สำหรับการใช้งานเพื่อการศึกษาเท่านั้น ไม่อนุญาตให้นำไปใช้ประโยชน์ด้านการค้า
ไม่ว่ากรณีใดๆ ทั้งสิ้น อีกทั้งห้ามมิให้ตัดแปลงเนื้อหา และต้องอ้างอิงถึงเจ้าของเอกสารทุกครั้งที่มีการนำไปใช้

การประยุกต์ใช้งานระบบควบคุมแบบฟัซซี

APPLICATIONS OF FUZZY LOGIC CONTROL SYSTEMS



ปริญญานิพนธ์นี้เป็นส่วนหนึ่งของการศึกษาตามหลักสูตรปริญญาวิศวกรรมศาสตรบัณฑิต

สาขาวิศวกรรมแมคคาทรอนิกส์

สถาบันเทคโนโลยีพระจอมเกล้าเจ้าคุณทหารลาดกระบัง

ปีการศึกษา 2550

เอกสารนี้เป็นเอกสารที่สงวนไว้สำหรับการใช้งานเพื่อการศึกษาเท่านั้น ไม่อนุญาตให้นำไปใช้ประโยชน์ด้านการค้า
ไม่ว่ากรณีใดๆ ทั้งสิ้น อีกทั้งห้ามมิให้ตัดแปลงเนื้อหา และต้องอ้างอิงถึงเจ้าของเอกสารทุกครั้งที่มีการนำไปใช้

ปริญญาโทปีการศึกษา 2550

ภาควิชาวิศวกรรมระบบควบคุม คณะวิศวกรรมศาสตร์

สถาบันเทคโนโลยีพระจอมเกล้าเจ้าคุณทหารลาดกระบัง

เรื่อง การประยุกต์ใช้งานระบบควบคุมแบบฟัซซี
APPLICATIONS OF FUZZY LOGIC CONTROL SYSTEMS

ผู้จัดทำ นาย ธารธร ตีมเจริญ 4701032๖
นาย นพดล ชินวุฒิ 47010353
นาย สม อภิวัฒน์เจริญกุล 47010799


.....อาจารย์ที่ปรึกษา
(ผศ.ดร.ถาวร เบนญนราสุทธิ์)


.....อาจารย์ที่ปรึกษา
(รศ.ดร.จنگล จามวิวิทย์)

เอกสารนี้เป็นเอกสารที่สงวนไว้สำหรับการใช้งานเพื่อการศึกษาเท่านั้น ไม่อนุญาตให้นำไปใช้ประโยชน์ด้านการค้า
ไม่ว่ากรณีใดๆ ทั้งสิ้น อีกทั้งห้ามมิให้ตัดแปลงเนื้อหา และต้องอ้างอิงถึงเจ้าของเอกสารทุกครั้งที่มีการนำไปใช้

การประยุกต์ใช้งานระบบควบคุมแบบพีชซี

โดย

นาย ชราธร	ลิมเจริญ	47010328
นาย นพดล	ชินวูธิ	47010353
นาย สม	อภิวัฒน์เจริญกุล	47010799

อาจารย์ที่ปรึกษา

ผศ.ดร. ถาวร เบญจนาสุทธี

รศ.ดร. จงกล งามวิวิทย์

ปีการศึกษา 2550

บทคัดย่อ

ปริญญานิพนธ์ฉบับนี้นำเสนอการประยุกต์ใช้งานระบบควบคุมแบบพีชซี โดยใช้คอมพิวเตอร์ส่วนบุคคลเพื่อควบคุมความเร็วของระบบสองมวล และไมโครคอนโทรลเลอร์ เพื่อควบคุมความเร็ว และทิศทางการเคลื่อนที่ของหุ่นยนต์ ข้อดีประการหนึ่งของการออกแบบระบบควบคุมแบบพีชซีคือ สามารถออกแบบระบบควบคุมได้โดยไม่จำเป็นต้องทราบแบบจำลองทางคณิตศาสตร์ของระบบที่ต้องการควบคุม

จากการทดลองควบคุมระบบสองมวลด้วยคอมพิวเตอร์ส่วนบุคคล พบว่าระบบควบคุมแบบพีชซี สามารถควบคุมความเร็วของระบบสองมวลที่ความเร็ว 1,500 รอบต่อนาที ได้โดยสามารถเข้าสู่ค่าอ้างอิงได้เร็ว ไม่มีค่าพุ่งเกิน และไม่มีค่าการแกว่ง และจากการทดลองควบคุมความเร็วและทิศทางการเคลื่อนที่ของหุ่นยนต์โดยใช้ไมโครคอนโทรลเลอร์ พบว่าระบบควบคุม สามารถควบคุมการเคลื่อนที่ของหุ่นยนต์ให้เป็นเส้นตรง ตามที่ต้องการได้ดีกว่าระบบควบคุมแบบ PID โดยมีค่าความผิดพลาดอยู่ในระดับที่ยอมรับได้

เอกสารนี้เป็นเอกสารที่สงวนไว้สำหรับการใช้งานเพื่อการศึกษาเท่านั้น ไม่อนุญาตให้นำไปใช้ประโยชน์ด้านการค้า ไม่ว่ากรณีใดๆ ทั้งสิ้น อีกทั้งห้ามมิให้ตัดแปลงเนื้อหา และต้องอ้างอิงถึงเจ้าของเอกสารทุกครั้งที่มีการนำไปใช้

APPLICATIONS OF FUZZY LOGIC CONTROL SYSTEMS

By

Mr. Tharathorn Limcharoen

Mr. Nopadol Chinawuti

Mr. Som Apiwatcharoengul

Advisor

Asst. Prof. Dr. Taworn Benjanarasuth

Assoc. Prof. Dr. Jongkol Ngamwiwit

Academic Year 2007

ABSTRACT

This thesis presents the applications of fuzzy logic control systems by using a personal computer (PC) to control the speed of two-mass system and microcontroller to control the speed and movement's direction of robot. One of the advantages in utilizing fuzzy control systems is that the mathematic model is not required.

The experimental results in controlling the speed of two-mass system by PC show that the fuzzy logic controller can control the speed at 1,500 rpm (1.5 Krpm) without overshoot and torsional resonance in the responses. For experimental results in controlling robot's movement, the fuzzy logic controller can control speed and direction of robot's movement better than PID controller with acceptable error.

เอกสารนี้เป็นเอกสารที่สงวนไว้สำหรับการใช้งานเพื่อการศึกษาเท่านั้น ไม่อนุญาตให้นำไปใช้ประโยชน์ด้านการค้า
ไม่ว่ากรณีใดๆ ทั้งสิ้น อีกทั้งห้ามมิให้ตัดแปลงเนื้อหา และต้องอ้างอิงถึงเจ้าของเอกสารทุกครั้งที่มีการนำไปใช้

กิตติกรรมประกาศ

การจัดทำปริญญาบัตรฉบับนี้ สามารถสำเร็จลุล่วงไปได้ด้วยดี เพราะได้รับความช่วยเหลือเป็นอย่างดี จาก ผศ.ดร.ถาวร เเบญจนราษฎร์ ที่ได้กรุณาให้คำปรึกษาแนะนำที่ดีมาโดยตลอดตั้งแต่ต้น รวมทั้งเอื้อเฟื้ออุปการะที่จำเป็น และความช่วยเหลืออื่นๆที่เป็นประโยชน์ต่อโครงการ ผู้จัดทำรู้สึกซาบซึ้งและขอกราบขอบพระคุณเป็นอย่างสูง

ขอขอบพระคุณ รศ.ดร.จงกล งามวิวิทย์ ที่คอยตามถึงความคืบหน้าอยู่ตลอดเวลา และให้ความกรุณาเปิดห้องทดลองให้ใช้งานเป็นประจำ

ขอขอบคุณเพื่อนๆในภาควิชาแมคคาทรอนิกส์ และน้องๆที่ซุ่มนุ้ม โรบอททุกคนที่ทำให้กำลังใจสนับสนุนอุปการะที่ขาดเหลือ กระตุ้นเตือน รวมทั้งคอยตามไถ่ความคืบหน้าของโครงการอยู่เสมอ

สุดท้ายนี้ผู้จัดทำขอกราบขอบพระคุณบิดา มารดา และครอบครัว ที่คอยเป็นกำลังใจที่ดีตลอดมา รวมถึงการสนับสนุนในเรื่องของงบประมาณที่ขาดเหลือ ตลอดจนเป็นแรงบันดาลใจที่ดีที่สุดที่ทำให้โครงการนี้เสร็จสมบูรณ์ลงได้

ผู้จัดทำ

นาย ธีรธร

ลิมเจริญ

นาย นพดล

ชินวูธิ์

นาย สม

อภิวัฒน์เจริญกุล

เอกสารนี้เป็นเอกสารที่สงวนไว้สำหรับการใช้งานเพื่อการศึกษาเท่านั้น ไม่อนุญาตให้นำไปใช้ประโยชน์ด้านการค้าไม่ว่ากรณีใดๆ ทั้งสิ้น อีกทั้งห้ามมิให้ตัดแปลงเนื้อหา และต้องอ้างอิงถึงเจ้าของเอกสารทุกครั้งที่มีการนำไปใช้

สารบัญ

	หน้า
บทคัดย่อ	I
บทคัดย่อภาษาอังกฤษ	II
กิตติกรรมประกาศ	III
สารบัญ	IV
สารบัญภาพ	VII
สารบัญตาราง	XI
บทที่ 1 บทนำ	1
1.1 กล่าวนำ	1
1.2 วัตถุประสงค์ในการทำปฏิญานิพนธ์	1
1.3 ขั้นตอนการศึกษาและการจัดทำโครงการ	2
1.4 รายละเอียดของปฏิญานิพนธ์	2
บทที่ 2 ทฤษฎีและความรู้ที่เกี่ยวข้อง	3
2.1 ทฤษฎีของฟิซซีลोजิก	3
2.1.1 ทฤษฎีฟิซซีเซต	3
2.1.2 ฟิซซีฟิเคชัน	4
2.1.3 ดีฟิซซีฟิเคชัน	5
2.1.4 ตัวควบคุมฟิซซี	5
2.1.5 หน่วยฐานกฎการควบคุมฟิซซี	6
2.2 ระบบควบคุมแบบป้อนกลับ	8
2.3 มอเตอร์ไฟฟ้ากระแสตรง	8
2.3.1 หลักการทำงานของมอเตอร์ไฟฟ้ากระแสตรง	9
2.3.2 คุณสมบัติของมอเตอร์ไฟฟ้ากระแสตรง	10
2.4 หลักการควบคุมความเร็วมอเตอร์ไฟฟ้ากระแสตรง	12
2.4.1 หลักการควบคุมความเร็ว	12
2.4.2 ประเภทของการควบคุมความเร็วของมอเตอร์ไฟฟ้ากระแสตรง	13
2.4.2.1 การควบคุมด้วยตัวต้านทานที่ปรับค่าได้	13
2.4.2.2 การควบคุมด้วยวิธีเปลี่ยนค่าแรงดัน	14
2.4.2.3 การควบคุมความเร็วของมอเตอร์แบบการควบคุมความกว้างของสัญญาณพัลส์	14

เอกสารนี้เป็นเอกสารที่สงวนไว้สำหรับการใช้งานเพื่อการศึกษาเท่านั้น ไม่อนุญาตให้นำไปใช้ประโยชน์ด้านการค้า
ไม่ว่ากรณีใดๆ ทั้งสิ้น อีกทั้งห้ามมิให้ตัดแปลงเนื้อหา และ IV ภาษาอังกฤษถึงเจ้าของเอกสารทุกครั้งที่มีการนำไปใช้

สารบัญ(ต่อ)

	หน้า
2.5 เอนโค้ดเดอร์	16
บทที่ 3 หลักการออกแบบ	21
3.1 ไมโครคอนโทรลเลอร์	22
3.1.1 มาสเตอร์ไมโครคอนโทรลเลอร์	22
3.1.2 สลอฟไมโครคอนโทรลเลอร์	23
3.2 วงจรขับมอเตอร์ไฟฟ้ากระแสตรง	26
3.3 วงจรเข็มทิศดิจิทัล	27
3.4 โครงสร้างทางกายภาพของหุ่นยนต์	29
3.5 โครงสร้างของระบบควบคุมหุ่นยนต์	31
บทที่ 4 การทดลอง	34
4.1 การทดลองการปรับแต่งกฎของฟิชชีด้วย MATLAB	34
4.1.1 ผลกระทบจากการเลือกฟังก์ชันการเป็นสมาชิกของฟิชชีเซต	34
4.1.2 เปรียบเทียบการทำงานระหว่างระบบควบคุมฟิชชีแบบ I กับ ระบบควบคุมแบบ I ของระบบสองมวล	36
4.1.3 เปรียบเทียบการทำงานระหว่างระบบควบคุมฟิชชีแบบ PI กับ ระบบควบคุมแบบ PI ของระบบสองมวล	39
4.1.4 เปรียบเทียบการทำงานระหว่างระบบควบคุมฟิชชีแบบ PI+PD กับ ระบบควบคุมแบบ PID ของระบบสองมวล	42
4.2 การทดลองเขียนโปรแกรมด้วยภาษา C เพื่อควบคุมระบบสองมวลตาม ที่ได้ออกแบบไว้	47
4.3 การทดลองควบคุมหุ่นยนต์โดยไมโครคอนโทรลเลอร์	49
4.3.1 เพื่อทดสอบระบบควบคุมความเร็วของหุ่นยนต์เมื่อใช้ระบบควบคุมแบบเปิด	49
4.3.2 เพื่อทดสอบระบบควบคุมความเร็วของหุ่นยนต์เมื่อใช้ระบบควบคุมแบบ PI	50
4.3.3 เพื่อทดสอบการควบคุมความเร็วของหุ่นยนต์ เมื่อใช้ระบบควบคุมแบบฟิชชี PI	52
4.3.4 เพื่อทดสอบระบบควบคุมความเร็วของหุ่นยนต์ เมื่อใช้ระบบควบคุมแบบฟิชชี PI - I	56
4.3.5 เพื่อทดสอบการควบคุมความเร็วของหุ่นยนต์ เมื่อใช้ระบบควบคุมแบบฟิชชี PI - I ร่วมกับ วงจรเข็มทิศดิจิทัล	61

เอกสารนี้เป็นเอกสารที่สงวนไว้สำหรับการใช้งานเพื่อการศึกษาเท่านั้น ไม่อนุญาตให้นำไปใช้ประโยชน์ด้านการค้า
ไม่ว่ากรณีใดๆ ทั้งสิ้น อีกทั้งห้ามมิให้ตัดแปลงเนื้อหา และต้องอ้างอิงถึงเจ้าของเอกสารทุกครั้งที่มีการนำไปใช้

สารบัญ(ต่อ)

	หน้า
บทที่ 5 บทวิจารณ์และสรุป	67
5.1 สรุปผลการทดลอง	67
5.2 ปัญหาที่พบและแนวทางแก้ไข	67
5.3 ข้อเสนอแนะและแนวทางในการค้นคว้าพัฒนา	67
ภาคผนวก ก ไมโครคอนโทรลเลอร์	69
ภาคผนวก ข โมดูลเข็มทิศดิจิทัล	71
ภาคผนวก ค โมดูลจอแสดงผล แอลซีดี	81
ภาคผนวก ง โปรแกรมภาษา C ที่ใช้ควบคุม	82
เอกสารอ้างอิง	108



เอกสารนี้เป็นเอกสารที่สงวนไว้สำหรับการใช้งานเพื่อการศึกษาเท่านั้น ไม่อนุญาตให้นำไปใช้ประโยชน์ด้านการค้า
ไม่ว่ากรณีใดๆ ทั้งสิ้น อีกทั้งห้ามมิให้ตัดแปลงเนื้อหา และต้องอ้างอิงถึงเจ้าของเอกสารทุกครั้งที่มีการนำไปใช้

สารบัญภาพ

รูปที่	หน้า
2.1 รูปแบบฟังก์ชันการเป็นสมาชิกของฟัซซีเซตทั้ง 5 แบบ	4
2.2 โครงสร้างพื้นฐานของตัวควบคุมฟัซซี	6
2.3 การอินเฟอเรนซ์แบบฟัซซี	7
2.4 บล็อกไดอะแกรมของระบบควบคุมแบบป้อนกลับ	8
2.5 การเปลี่ยนพลังงานไฟฟ้าเป็นพลังงานกล	9
2.6 การทำงานของมอเตอร์ไฟฟ้ากระแสตรง	9
2.7 วงจรภายในของมอเตอร์ไฟฟ้ากระแสตรง	10
2.8 แรงที่กระทำกับขดลวด	11
2.9 ระบบควบคุมความเร็วที่ประกอบด้วยอุปกรณ์ควบคุมป้อนกลับเพียงอุปกรณ์เดียว	12
2.10 วงจรควบคุมความเร็วของมอเตอร์กระแสตรงแบบใช้ตัวต้านทานอนุกรมและฟังก์ชันคุณสมบัติ	13
2.11 การควบคุมความเร็วโดยเปลี่ยนค่าแรงดัน	14
2.12 สัญญาณ PWM ซึ่งแสดงค่าดิวตีไซเคิล ที่ต่างกัน	15
2.13 เ็นโค้ดเดอร์	16
2.14 การสร้างพัลส์ ของเอ็นโค้ดเดอร์	16
2.15 เ็นโค้ดเดอร์ที่มีช่องสลิตสองชุดเหลื่อมกัน 90 องศา	17
2.16 เ็นโค้ดเดอร์ที่มีชุดรับสัญญาณแสงที่มีเฟสต่างกัน 90 องศา	18
2.17 ลักษณะพัลส์ของเอ็นโค้ดเดอร์ทั้งสองเฟส	18
2.18 ความละเอียดของพัลส์	19
2.19 บล็อกไดอะแกรมของโรตารีเอ็นโค้ดเดอร์	20
3.1 แผนผังรวมของระบบระบบควบคุมอัตโนมัติแบบฟัซซี	21
3.2 มาสเตอร์ไมโครคอนโทรลเลอร์เบอร์ 30F4011	22
3.3 การเชื่อมต่อมาสเตอร์ไมโครคอนโทรลเลอร์	23
3.4 สลาฟไมโครคอนโทรลเลอร์เบอร์ 30F2010	23
3.5 การเชื่อมต่อสลาฟไมโครคอนโทรลเลอร์	24
3.6 การเชื่อมต่อระหว่างมาสเตอร์ และ สลาฟไมโครคอนโทรลเลอร์	25
3.7 ตัวอย่างคำสั่ง MCPWM ของสลาฟไมโครคอนโทรลเลอร์	26
3.8 วงจรเริ่มทีศติจิตอล	27

เอกสารนี้เป็นเอกสารที่สงวนไว้สำหรับการใช้งานเพื่อการศึกษาเท่านั้น ไม่อนุญาตให้นำไปใช้ประโยชน์ด้านการค้า
ไม่ว่ากรณีใดๆ ทั้งสิ้น อีกทั้งห้ามมิให้ตัดแปลงเนื้อหา และแจ้งอ้างอิงถึงเจ้าของเอกสารทุกครั้งที่มีการนำไปใช้

สารบัญญภาพ(ต่อ)

รูปที่	หน้า
3.9 ตัวอย่างคำสั่ง I ² C ของมาสเตอร์ไมโครคอนโทรลเลอร์	28
3.10 ตัวอย่างคำสั่ง อ่านค่าจากโมดูลเซ็นติสตามแม่เหล็กโลก	28
3.11 ภาพรวมทางกายภาพของหุ่นยนต์ที่ขับเคลื่อนด้วยมอเตอร์ไฟฟ้า	29
3.12 การเชื่อมต่อมอเตอร์ในแนวเส้นตรงเดียวกัน	30
3.13 ระบบควบคุมป้อนกลับ แยกตัวควบคุมระหว่างมอเตอร์ด้านซ้าย และ ขวา	31
3.14 ระบบควบคุมแบบป้อนกลับ โดยเพิ่มตัวควบคุมเพื่อชดเชยค่าที่ได้จากการควบคุมระหว่างมอเตอร์ด้านซ้ายและขวา	32
3.15 ระบบควบคุมป้อนกลับ โดยเพิ่มตัวควบคุมเพื่อชดเชย ค่าที่ได้จากตัวควบคุมระหว่างมอเตอร์ซ้าย และ ขวาและ ค่ามุมที่เปลี่ยนจากมุมเริ่มต้นการวิ่ง	33
4.1 แบบจำลองระบบควบคุมระดับน้ำจาก แบบจำลอง ของ Simulink ใน MATLAB	34
4.2 แบบจำลองของตัวควบคุมพีชซีที่ใช้ในการควบคุม	35
4.3 รูปแบบฟังก์ชันการเป็นสมาชิกเอาท์พุท valve	35
4.4 รูปแบบฟังก์ชันการเป็นสมาชิกอินพุท level	35
4.5 รูปแบบฟังก์ชันการเป็นสมาชิกอินพุท rate	35
4.6 กฎที่ใช้ในการออกแบบตัวควบคุม	35
4.7 รูปแบบฟังก์ชันการเป็นสมาชิกที่ยากต่อการเขียน โปรแกรม	35
4.8 รูปแบบฟังก์ชันการเป็นสมาชิกที่ง่ายต่อการเขียน โปรแกรม	35
4.9 ผลการทดลองรูปแบบฟังก์ชันการเป็นสมาชิกของพีชซีเซตที่สะดวกต่อการเขียน โปรแกรม	36
4.10 แบบจำลองของระบบสองมวล	37
4.11 แบบจำลองระบบควบคุมแบบป้อนกลับด้วย พีชซีแบบ I และระบบควบคุมแบบ I ของระบบสองมวล	37
4.12 ค่าการปรับแต่ง ฟังก์ชันการเป็นสมาชิก และ กฎการควบคุม ของ พีชซีแบบ I ของระบบสองมวล	38
4.13 ผลการทดลองเปรียบเทียบระหว่าง พีชซีแบบ I กับ ระบบควบคุมแบบ I ของระบบสองมวล	39
4.14 แบบจำลองระบบควบคุมแบบป้อนกลับด้วยพีชซีแบบ PI และระบบควบคุมแบบ PI ของระบบสองมวล	40

เอกสารนี้เป็นเอกสารที่สงวนไว้สำหรับการใช้งานเพื่อการศึกษาเท่านั้น ไม่อนุญาตให้นำไปใช้ประโยชน์ด้านการค้า
ไม่ว่ากรณีใดๆ ทั้งสิ้น อีกทั้งห้ามมิให้ตัดแปลงเนื้อหา และต้องอ้างอิงถึงเจ้าของเอกสารทุกครั้งที่มีการนำไปใช้

สารบัญญภาพ(ต่อ)

รูปที่	หน้า
4.15 ค่าการปรับแต่ง ฟังก์ชันการเป็นสมาชิก และ กฎการควบคุมของระบบควบคุมแบบ พีชชีแบบ PI ของระบบสองมวล	41
4.16 ผลการทดลองเปรียบเทียบระหว่าง พีชชีแบบ PI กับระบบควบคุมแบบ PI ของระบบสองมวล	42
4.17 แบบจำลองระบบควบคุมแบบป้อนกลับด้วย พีชชีแบบPI+PD และ ระบบควบคุม แบบ PID ของระบบสองมวล	43
4.18 ค่าการปรับแต่ง ฟังก์ชันการเป็นสมาชิก และ กฎการควบคุมของระบบควบคุมแบบ พีชชีแบบ PI ของระบบสองมวล	44
4.19 ค่าการปรับแต่ง ฟังก์ชันการเป็นสมาชิก และ กฎการควบคุมของระบบควบคุมแบบ พีชชีแบบ PD ของระบบสองมวล	45
4.20 ผลการทดลองเปรียบเทียบระหว่าง พีชชีแบบPI+PD กับระบบควบคุมแบบ PID ของระบบสองมวล	46
4.21 ตัวอย่างการเขียน โปรแกรมด้วยภาษา C	47
4.22 ผลจากการเขียน โปรแกรมภาษา C เพื่อควบคุมระบบสองมวล	48
4.23 ผลการทดลองควบคุมความเร็วของหุ่นยนต์เมื่อใช้ระบบควบคุมแบบเปิด	50
4.24 ผลการทดลองควบคุมความเร็วของหุ่นยนต์เมื่อใช้ระบบควบคุมแบบ PI	52
4.25 ฟังก์ชันความเป็นสมาชิกของอินพุต error PI	53
4.26 ฟังก์ชันความเป็นสมาชิกของอินพุต derror PI	53
4.27 ฟังก์ชันความเป็นสมาชิกของเอาต์พุต ดิวตี้ไซเคิลจาก PWM PI	53
4.28 ผลการทดลองควบคุมความเร็วของหุ่นยนต์เมื่อใช้ระบบควบคุมแบบ พีชชี PI	55
4.29 ฟังก์ชันความเป็นสมาชิกของอินพุต error พีชชี PI	56
4.30 ฟังก์ชันความเป็นสมาชิกของอินพุต derror พีชชี PI	57
4.31 ฟังก์ชันความเป็นสมาชิกของเอาต์พุต ดิวตี้ไซเคิลจาก PWM พีชชี PI	57
4.32 ฟังก์ชันความเป็นสมาชิกของอินพุต error พีชชี I	57
4.33 ฟังก์ชันความเป็นสมาชิกของเอาต์พุตดิวตี้ไซเคิลจาก PWM พีชชี I	58
4.34 ผลการทดลองควบคุมความเร็วของหุ่นยนต์เมื่อใช้ระบบควบคุมแบบ พีชชี PI – I	60
4.35 ฟังก์ชันความเป็นสมาชิกของอินพุต error พีชชี PI	61
4.36 ฟังก์ชันความเป็นสมาชิกของอินพุต derror พีชชี PI	62
4.37 ฟังก์ชันความเป็นสมาชิกของเอาต์พุตดิวตี้ไซเคิลจาก PWM พีชชี PI	62

เอกสารนี้เป็นเอกสารที่สงวนไว้สำหรับการใช้งานเพื่อการศึกษาเท่านั้น ไม่อนุญาตให้นำไปใช้ประโยชน์ด้านการค้า
ไม่ว่ากรณีใดๆ ทั้งสิ้น อีกทั้งห้ามมิให้ตัดแปลงเนื้อหา และต้องอ้างอิงถึงเจ้าของเอกสารทุกครั้งที่มีการนำไปใช้

สารบัญภาพ(ต่อ)

รูปที่	หน้า
4.38 ฟังก์ชันความเป็นสมาชิกของอินพุต error ฟัชซี I	62
4.39 ฟังก์ชันความเป็นสมาชิกของเอาต์พุตควิต์ไซเคลจจาก PWM ฟัชซี I	63
4.40 ผลการทดลองควบคุมความเร็วของหุ่นยนต์เมื่อใช้ระบบควบคุมแบบ ฟัชซี PI – I ร่วมกับวงจรเซ็นทิสติจิตอล	65



สารบัญตาราง

ตารางที่	หน้า
2.1 ผลทางตรรกะด้วยค่าต้องแตกต่างกันจึงจะเป็นจริง	20
3.1 คุณสมบัติของมาสเตอร์ไมโครคอนโทรลเลอร์	22
3.2 คุณสมบัติของสลาฟไมโครคอนโทรลเลอร์	24



เอกสารนี้เป็นเอกสารที่สงวนไว้สำหรับการใช้งานเพื่อการศึกษาเท่านั้น ไม่อนุญาตให้นำไปใช้ประโยชน์ด้านการค้า
ไม่ว่ากรณีใดๆ ทั้งสิ้น อีกทั้งห้ามมิให้ตัดแปลงเนื้อหา และต้องอ้างอิงถึงเจ้าของเอกสารทุกครั้งที่มีการนำไปใช้

บทที่ 1

บทนำ

1.1 กล่าวนำ

ในปัจจุบัน ได้มีการพัฒนาวิธีการจัดการสัญญาณ โดยใช้ไมโครคอมพิวเตอร์ที่มีโปรแกรมเป็นตัวจัดการสัญญาณ ซึ่งจะมีความยืดหยุ่น และสะดวกในการใช้งานเป็นอย่างมาก ทั้งนี้ความเร็วในการประมวลผลของไมโครคอมพิวเตอร์ในยุคปัจจุบันมีความเร็วสูงมาก ทำให้เกิดปัญหาน้อยมากในการใช้งานในกระบวนการจริง

ในปี ค.ศ. 1965 Lotfi Zadeh ได้มีการนำเสนอทฤษฎีฟัซซีเซตและฟัซซีลอจิก เพื่อใช้หาข้อสรุปตามหลักการและเหตุผล เมื่อตัวแปรของระบบถูกนิยามในเชิงคุณภาพ และมีความคลุมเครือ ในปี ค.ศ. 1974 Ebrahim Mamdani ได้นำหลักการนี้มาประยุกต์ใช้ในการออกแบบตัวควบคุมแบบฟัซซีโดยแปลงความรู้ที่ได้จากประสบการณ์การควบคุมของผู้ปฏิบัติการที่อยู่ในรูปเงื่อนไข “ถ้า...แล้ว...” ให้เป็นกฎการควบคุมกระบวนการทางอุตสาหกรรม เนื่องจากมีข้อดีที่เป็นจุดเด่นหลายประการดังนี้

- สามารถออกแบบตัวควบคุมได้ โดยไม่ต้องรู้แบบจำลองทางคณิตศาสตร์ของกระบวนการ เนื่องจากการออกแบบด้วยตัวควบคุม ใช้วิธีแปลงความรู้หรือประสบการณ์ของผู้เชี่ยวชาญให้เป็นกฎการควบคุมในรูปเงื่อนไข
- สามารถควบคุมกระบวนการที่ไม่เป็นเชิงเส้นได้ เนื่องจากความไม่เป็นเชิงเส้นนี้ จะถูกควบคุมได้โดยการกำหนดความสัมพันธ์ของกฎการควบคุมแบบไม่เชิงเส้น
- สามารถออกแบบตัวควบคุม สำหรับควบคุมกระบวนการที่มีหลายอินพุต หลายเอาต์พุตได้สะดวก เนื่องจากความซับซ้อนของความสัมพันธ์ของกฎการควบคุมซึ่งอยู่ในรูปแบบที่สามารถทำความเข้าใจและทำการปรับเปลี่ยนได้ง่าย

ในโครงการนี้จึงเลือกที่จะศึกษาการประยุกต์การใช้งานระบบควบคุมแบบฟัซซี ซึ่งเป็นการควบคุมแบบอินทิลลิเจนท์ (Intelligent control) ที่มีจุดเด่นหลายประการดังที่กล่าวในข้างต้น ในระบบการควบคุมแบบอัดโนมัติแบบป้อนกลับ (Feedback control) โดยใช้ภาษา C ในการเขียนโปรแกรมระบบควบคุมแบบฟัซซี ให้ใช้งาน ได้จริงตามทฤษฎีฟัซซีลอจิก

1.2 วัตถุประสงค์ในการทำปริญญานิพนธ์

1. ศึกษาทฤษฎี และออกแบบระบบควบคุมอัดโนมัติแบบฟัซซี
2. ศึกษาการสร้างระบบควบคุมแบบฟัซซีด้วยเครื่องคอมพิวเตอร์ส่วนบุคคลเพื่อควบคุมความเร็วของระบบสองมวล

เอกสารนี้เป็นเอกสารที่สงวนไว้สำหรับการใช้งานเพื่อการศึกษาเท่านั้น ไม่อนุญาตให้นำไปใช้ประโยชน์ด้านการค้า ไม่ว่ากรณีใดๆ ทั้งสิ้น อีกทั้งห้ามมิให้ตัดแปลงเนื้อหา และต้องอ้างอิงถึงเจ้าของเอกสารทุกครั้งที่มีการนำไปใช้

3. ศึกษาการสร้างระบบควบคุมแบบฟuzzyด้วยไมโครคอนโทรลเลอร์เพื่อควบคุมความเร็วและการเคลื่อนที่ของหุ่นยนต์
4. ศึกษาและสร้างหุ่นยนต์ ซึ่งประกอบด้วยอุปกรณ์ที่ประกอบเป็นโครงสร้างทางกล อุปกรณ์ทางอิเล็กทรอนิกส์ ของระบบควบคุม อุปกรณ์วัดความเร็วของมอเตอร์ไฟฟ้า กระแสตรง รวมถึงส่วนของการควบคุม และประมวลผลโดยในโครงการนี้ใช้ไมโครคอนโทรลเลอร์ และโปรแกรมภาษา C

1.3 ขั้นตอนการศึกษาและการจัดทำโครงการ

การศึกษาระบบควบคุมอัตโนมัติแบบฟuzzyนั้น จำเป็นต้องเรียนรู้และเข้าใจทฤษฎีฟuzzy ขั้นพื้นฐานเพื่อให้เกิดความเข้าใจในการตั้งเงื่อนไข “ถ้า...แล้ว...” ในการตั้งกฎเพื่อควบคุมระบบแทนแบบจำลองทางคณิตศาสตร์ จากนั้นแบ่งการทดลองออกเป็นสองส่วนด้วยกันคือ ทดลองสร้างระบบควบคุมแบบฟuzzyด้วยคอมพิวเตอร์ส่วนบุคคล เพื่อควบคุมความเร็วของระบบสองมวลเปรียบเทียบกับระบบควบคุมแบบ PID และทดลองสร้างระบบควบคุมแบบฟuzzyด้วยไมโครคอนโทรลเลอร์ เพื่อควบคุมความเร็ว และการเคลื่อนที่ของหุ่นยนต์ที่ขับเคลื่อนด้วยมอเตอร์ไฟฟ้ากระแสตรงสองตัวซึ่งเป็นอิสระต่อกัน โดยไม่ทราบแบบจำลองทางคณิตศาสตร์ ซึ่งรายละเอียดจะกล่าวในบทต่อไป

1.4 รายละเอียดของปริิณยานิพนธ์

เนื้อหาในปริิณยานิพนธ์ฉบับนี้ประกอบด้วย

บทที่ 1 บทนำ กล่าวถึงวัตถุประสงค์ หลักการ ขั้นตอนการศึกษา และการจัดทำโครงการ พร้อมทั้งรายละเอียดของปริิณยานิพนธ์ของแต่ละบท

บทที่ 2 ทฤษฎีและความรู้ที่เกี่ยวข้อง กล่าวถึงหลักการและทฤษฎีของฟuzzy การวัดความเร็วของมอเตอร์ไฟฟ้ากระแสตรง การใช้งานไมโครคอนโทรลเลอร์ วงจรอิเล็กทรอนิกส์ที่เกี่ยวข้อง และการนำเอาความรู้ไปประยุกต์ใช้ทำโครงการ

บทที่ 3 หลักการออกแบบ นำเสนอการประกอบโครงสร้างของระบบ รวมถึงแนวคิดในการออกแบบระบบควบคุม

บทที่ 4 การทดลอง เป็นส่วนการทดสอบองค์ประกอบต่างๆ ในระบบ ตลอดจนการทดลองระบบควบคุมอัตโนมัติแบบฟuzzy

บทที่ 5 บทวิจารณ์และสรุป จะสรุปผลการดำเนินงาน ปัญหาที่เกิดขึ้น และแนวทางการปรับปรุงพัฒนาโครงการนี้ต่อไป

เอกสารนี้เป็นเอกสารที่สงวนไว้สำหรับการใช้งานเพื่อการศึกษาเท่านั้น ไม่นุญาตให้นำไปใช้ประโยชน์ด้านการค้าไม่ว่ากรณีใดๆ ทั้งสิ้น อีกทั้งห้ามมิให้ตัดแปลงเนื้อหา และต้องอ้างอิงถึงเจ้าของเอกสารทุกครั้งที่มีการนำไปใช้

บทที่ 2

ทฤษฎีและความรู้ที่เกี่ยวข้อง

จากที่ได้กล่าวในบทที่ 1 แล้วว่า ก่อนที่จะมีการออกแบบและประยุกต์การใช้งานระบบควบคุมอัตโนมัติแบบฟัซซีนั้น จำเป็นต้องศึกษาองค์ประกอบต่างๆที่จำเป็นของระบบควบคุมที่สนใจให้เข้าใจเสียก่อน พบว่าระบบควบคุมอัตโนมัติแบบฟัซซีนั้นมีส่วนที่สำคัญหลายส่วน ดังนั้นในบทนี้จะทำการศึกษา และอธิบายถึงองค์ประกอบต่างๆ ที่จะนำไปใช้งานจริงในการประยุกต์ใช้งานระบบควบคุมอัตโนมัติแบบฟัซซี ซึ่งประกอบด้วยทฤษฎีของฟัซซีลอจิก ระบบควบคุมแบบป้อนกลับ มอเตอร์ไฟฟ้ากระแสตรง และหลักการควบคุมความเร็วของมอเตอร์

2.1 ทฤษฎีของฟัซซีลอจิก

ในการออกแบบระบบควบคุมอัตโนมัติแบบฟัซซีจำเป็นต้องใช้เทคนิคของฟัซซีลอจิก ซึ่งอาศัยความรู้ทางคณิตศาสตร์เกี่ยวกับฟัซซี เพื่อเป็นพื้นฐานในการทำความเข้าใจโครงสร้าง และหลักการทํางาน รวมทั้งเพื่อใช้ในการกำหนดโครงสร้าง และ วิธีการออกแบบ ให้เหมาะสมกับลักษณะการประยุกต์ใช้งาน ซึ่งประกอบด้วย

2.1.1 ทฤษฎีฟัซซีเซต

นิยามที่ 1 ฟัซซีเซต คือ เซตของคู่อันดับ u และฟังก์ชันการเป็นสมาชิก (Membership function) $\mu_A(u)$ โดยที่ u เป็นสมาชิกใดๆของเอกภพสัมพัทธ์ U เขียนแทนด้วยสัญลักษณ์ดังนี้

$$A = \{(u, \mu_A(u) | u \in U)\}$$

นิยามที่ 2 ฟังก์ชันการเป็นสมาชิกของฟัซซีเซต $\mu_A(u)$ ถูกนิยามให้มีค่าอยู่ภายในช่วง 0 ถึง 1 โดยที่ค่า $\mu_A(u)$ เป็นค่าที่ระบุถึงระดับความเป็นสมาชิกของ u ในฟัซซีเซต

$$\mu_A(u) : U \rightarrow [0,1]$$

โดยปกติจะแบ่งรูปแบบฟังก์ชันการเป็นสมาชิกของฟัซซีเซตออกเป็น 5 ฟังก์ชันดังนี้

1. ฟังก์ชันการเป็นสมาชิกแบบซิงเกิลตัน (Singleton membership function) จะมีสมาชิกเพียงตัวเดียว และมีค่าความเป็นสมาชิก เท่ากับ “ 1 ”
2. ฟังก์ชันการเป็นสมาชิกรูปสามเหลี่ยม (Triangular membership function)
3. ฟังก์ชันการเป็นสมาชิกรูปสี่เหลี่ยมคางหมู (Trapezoidal membership function)
4. ฟังก์ชันการเป็นสมาชิกแบบเกาส์เซียน (Gaussian membership function)
5. ฟังก์ชันการเป็นสมาชิกแบบระฆัง (Bell membership function)

เอกสารนี้เป็นเอกสารที่สงวนไว้สำหรับการใช้งานเพื่อการศึกษาเท่านั้น ไม่อนุญาตให้นำไปใช้ประโยชน์ด้านการค้า ไม่ว่าจะกรณีใดๆ ทั้งสิ้น อีกทั้งห้ามมิให้ตัดแปลงเนื้อหา และต้องอ้างอิงถึงเจ้าของเอกสารทุกครั้งที่มีการนำไปใช้

2.1.3 ดีฟัซซิฟิเคชัน

ดีฟัซซิฟิเคชัน (Defuzzification) คือกระบวนการหาค่าเอาต์พุตเพียงค่าเดียว ที่เหมาะสมที่สุด เพื่อเป็นตัวแทนของฟัซซีเอาต์พุตที่มีค่าความเป็นไปได้ กระจายอยู่บนเอกภพสัมพัทธ์ V ของเอาต์พุต ซึ่งมีวิธีการที่หลากหลายดังนี้

1. Max Procedure เป็นวิธีดีฟัซซิฟิเคชัน โดยเลือกค่าเอาต์พุตที่มีค่าฟังก์ชันการเป็นสมาชิกมากที่สุดเพื่อใช้เป็นตัวแทนของฟัซซีเอาต์พุต
2. Mean of Maximum (MOM) เป็นวิธีที่ขยายมาจากวิธี Max Procedure เพื่อใช้ในกรณีที่มีค่าเอาต์พุตที่มีค่าฟังก์ชันการเป็นสมาชิกสูงสุดเท่ากับหลายค่า ให้ทำการหาค่าเฉลี่ยของค่าเอาต์พุตที่มีค่าฟังก์ชันการเป็นสมาชิกสูงสุดเท่านั้น
3. Center of Area (COA) / Center of Gravity (COG) วิธี COA เป็นวิธีหาจุดศูนย์กลางของพื้นที่ใต้กราฟของฟังก์ชันการเป็นสมาชิก เพื่อใช้เป็นตัวแทนของฟัซซีเอาต์พุต ซึ่งทำได้โดยการแบ่งพื้นที่ใต้กราฟของฟังก์ชันการเป็นสมาชิกออกเป็น 2 ส่วนเท่าๆกัน และค่า v_c จะหาได้จากค่า v ที่ตำแหน่งของเส้นแบ่งครึ่ง สามารถแสดงด้วยสมการดังนี้

$$COA(B) = \frac{\int_{-\infty}^{\infty} v \mu_B(v) dv}{\int_{-\infty}^{\infty} \mu_B(v) dv}$$

ประมาณได้เป็น

$$COG(B) = \frac{\sum_{i=1}^{N_f} v_i \mu_i(v_i)}{\sum_{i=1}^{N_f} \mu_i(v_i)}$$

ในกรณีเอกภพสัมพัทธ์ V มีสมาชิกเป็นค่าไม่ต่อเนื่อง สามารถหาค่า v_c ได้จากสมการ

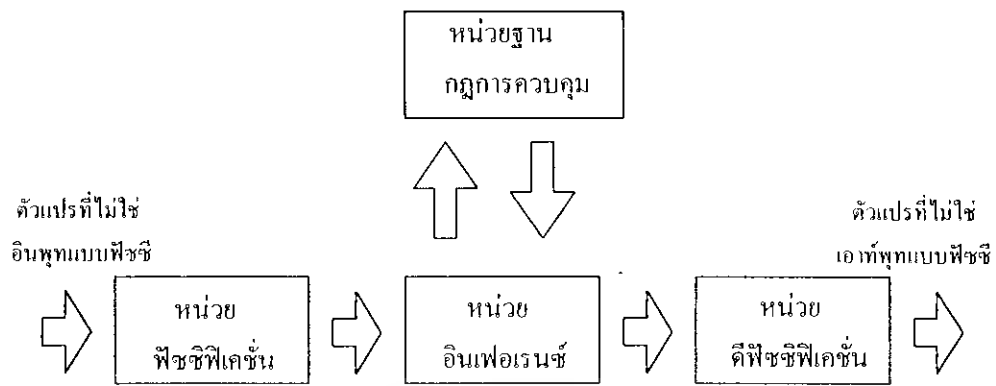
ดังนี้

$$COG(B) = \frac{\sum_{i=1}^{N_f} v_i \mu_i(v_i)}{\sum_{i=1}^{N_f} \mu_i(v_i)}$$

2.1.4 ตัวควบคุมฟัซซี

จากเทคนิคของฟัซซีลอจิก จำเป็นต้องอาศัยความรู้ทางคณิตศาสตร์เกี่ยวกับฟัซซี จะถูกนำมาใช้ในการออกแบบจำลองฟัซซีโดยโครงสร้างของตัวควบคุมฟัซซีประกอบไปด้วย 4 หน่วยหลัก คือ หน่วยฟัซซิฟิเคชัน (Fuzzification unit) หน่วยฐานกฎการควบคุม (Fuzzy rule base) หน่วยอินเฟอเรนซ์ (Inference unit) และหน่วยดีฟัซซิฟิเคชัน (Defuzzification unit) ซึ่งการทำงานของแต่ละหน่วย สามารถอธิบายดังรูปที่ 2.2

เอกสารนี้เป็นเอกสารที่สงวนไว้สำหรับการใช้งานเพื่อการศึกษาเท่านั้น ไม่อนุญาตให้นำไปใช้ประโยชน์ด้านการค้าไม่ว่ากรณีใดๆ ทั้งสิ้น อีกทั้งห้ามมิให้ตัดแปลงเนื้อหา และต้องอ้างอิงถึงเจ้าของเอกสารทุกครั้งที่มีการนำไปใช้



รูปที่ 2.2 โครงสร้างพื้นฐานของตัวควบคุมฟัซซี

2.1.5 หน่วยฐานกฎการควบคุมฟัซซี

หน่วยฐานกฎการควบคุมฟัซซี เป็นหน่วยที่รวบรวมกฎการควบคุมแบบฟัซซีซึ่งอยู่ในรูปแบบ “ถ้า...แล้ว...” หรือ “IF...THEN...” โดยกฎการควบคุมอยู่ในลักษณะดังนี้

IF X_1 is X_1^k and ... and X_m is X_m^k THEN Y is Y^k

หรือ IF X is X^k THEN Y is Y^k ; $k = 1, 2, 3, \dots, m$

โดยที่ X คือ ตัวแปรสถานะของกระบวนการ ซึ่งใช้เป็นอินพุทของตัวควบคุมฟัซซี

โดย $X = [X_1, \dots, X_m]$

X^k คือ ฟัซซีเซตของตัวแปรอินพุทในส่วนเหตุของกฎการควบคุมที่ k

โดย $X^k = X_1^k \times X_m^k$

m คือ จำนวนตัวแปรอินพุทของตัวควบคุม

Y คือ ตัวแปรเอาต์พุทของตัวแปรควบคุมฟัซซี

Y^k คือ ฟัซซีเซตของตัวแปรเอาต์พุทในส่วนผลของกฎการควบคุมที่ k

M คือ จำนวนกฎการควบคุมทั้งหมดในฐานกฎการควบคุม

ซึ่งจากคำจำกัดความข้างต้น สามารถอธิบายได้ว่ากฎการควบคุม จะถูกกำหนดตามเงื่อนไข “ถ้า...แล้ว...” เช่น

IF X is hot THEN Y is zero

โดยที่ X และ Y เป็นตัวแปรฟัซซีเซต ส่วน hot และ zero เป็นส่วนเหตุและผลที่สอดคล้องกับตัวแปร X และ Y ประพจน์ของฟัซซีเซตคือ X is hot เป็นส่วนเหตุ (Antecedent) ซึ่งก็คือ ส่วนของอินพุทของแบบจำลองฟัซซีลอจิก ส่วนประพจน์ที่ตามหลัง THEN คือ Y is zero เป็นส่วนของผล (Consequent)

เอกสารนี้เป็นเอกสารที่สงวนไว้สำหรับการใช้งานเพื่อการศึกษาเท่านั้น ไม่อนุญาตให้นำไปใช้ประโยชน์ด้านการค้าไม่ว่ากรณีใดๆ ทั้งสิ้น อีกทั้งห้ามมิให้ตัดแปลงเนื้อหา และต้องอ้างอิงถึงเจ้าของเอกสารทุกครั้งที่มีการนำไปใช้

สังเกตว่าส่วนเหตุของแบบจำลองฟัซซีลอจิก อาจจะประกอบด้วยจำนวนประพจน์หลายประพจน์ ซึ่งจำนวนของประพจน์จะขึ้นอยู่กับจำนวนตัวแปรอินพุตและจำนวนของเหตุและผลแต่ละตัว เช่น ถ้าอินพุตมีสองตัวแปรในส่วนเหตุ จะมีสองประพจน์เชื่อมต่อกันในกฎหนึ่งกฎ และในการเชื่อมต่อกันของประพจน์จะต้องมีตัวเชื่อมซึ่งในแบบจำลองฟัซซีจะมีอยู่สองตัวด้วยกัน คือ ยูเนียน (OR) และอินเตอร์เซกชัน (AND) เช่น

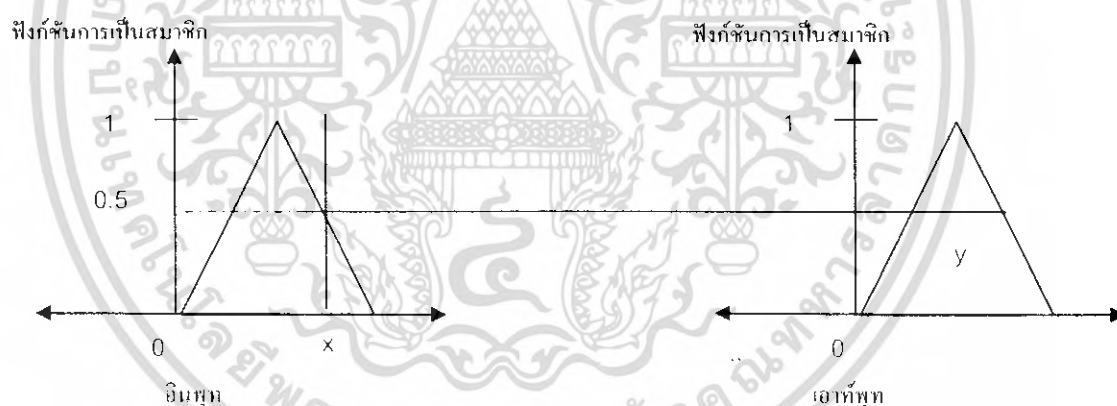
ในกรณีที่เชื่อมด้วยยูเนียน

IF X is hot or M is high THEN Y is zero

และในกรณีที่เชื่อมด้วยอินเตอร์เซกชัน

IF X is hot and M is high THEN Y is zero

สำหรับจำนวนกฎในแบบจำลองฟัซซีลอจิกของระบบหนึ่งๆ จะขึ้นอยู่กับตัวแปรอินพุตและจำนวนเทอมเซตของแต่ละตัวแปร เช่นถ้าอินพุตมีสองตัวแปร และตัวแปรแต่ละตัวมี 5 เทอมเซต จำนวนกฎทั้งหมดจะเท่ากับ 25 กฎ ซึ่งจากกฎการควบคุมที่ถูกกำหนดขึ้นมาจากความชำนาญนี้ จะใช้เป็นส่วนหนึ่งของกระบวนการ การอินเฟอร์เรนซ์แบบฟัซซี (Fuzzy Inference) เพื่อหาระดับความเป็นสมาชิกของแต่ละกฎจากความสำคัญระหว่างตัวแปรอินพุตแบบฟัซซี X กับ ฟัซซีเซตในส่วนเหตุของแต่ละกฎ X^k แล้วจึงคำนวณหาค่าเอาต์พุตแบบฟัซซีจากระดับการเป็นสมาชิกกับฟัซซีเซตในส่วนผลของกฎแต่ละกฎ Y^k



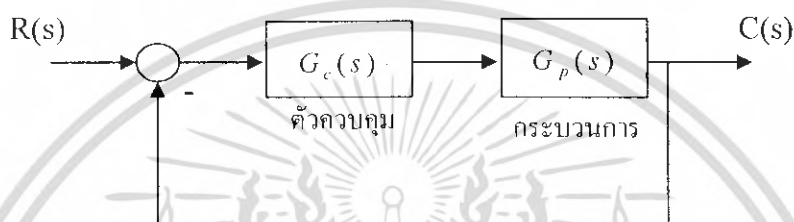
รูปที่ 2.3 การอินเฟอร์เรนซ์แบบฟัซซี

จากรูปที่ 2.3 ถ้าส่วนกำหนดการควบคุมกำหนดไว้ว่า ถ้ามีข้อมูลอินพุตเข้ามาที่เซต X ค่าเอาต์พุตที่ได้จะต้องเป็นเซต Y ซึ่งหลักฐานนี้เองทำให้หน่วยเอนเฟอร์เรนซ์สามารถที่จะสรุปหาข้อสรุปออกมาได้โดยให้อินพุต x อยู่ในช่วงสมาชิกของเซต X จึงจะสามารถระบุได้เลยว่าข้อสรุปที่ได้จะต้องเป็นสมาชิกของเซต Y ซึ่งในรูปจะเห็นได้ว่าการที่สมาชิกแต่ละตัวมีระดับการเป็นสมาชิกไม่เท่ากันจึงทำให้ข้อสรุปจะต้องขึ้นอยู่กับระดับการเป็นสมาชิกของเซตด้วย

เอกสารนี้เป็นเอกสารที่สงวนไว้สำหรับการใช้งานเพื่อการศึกษาเท่านั้น ไม่อนุญาตให้นำไปใช้ประโยชน์ด้านการค้าไม่ว่ากรณีใดๆ ทั้งสิ้น อีกทั้งห้ามมิให้ตัดแปลงเนื้อหา และต้องอ้างอิงถึงเจ้าของเอกสารทุกครั้งที่มีการนำไปใช้

2.2 ระบบควบคุมแบบป้อนกลับ

ระบบควบคุมแบบป้อนกลับ (Feedback Control System) คือระบบควบคุมที่มีการนำเอาเอาต์พุตที่ได้จากกระบวนการกลับเข้ามาเป็นส่วนหนึ่งของข้อมูล ที่จะนำมาพิจารณา เป็นอินพุตที่จะให้กับกระบวนการนั้น โดยมีโครงสร้างดังรูปที่ 2.4 การที่จะทราบค่าเอาต์พุตได้จะต้องมีการวัดข้อมูลของเอาต์พุต เมื่อทราบค่าเอาต์พุตแล้วจะนำค่าเอาต์พุตที่ได้ไปเปรียบเทียบกับค่าอ้างอิงที่ต้องการ เพื่อหาความแตกต่างระหว่างค่าที่ได้จริงกับค่าที่ต้องการ และส่งสัญญาณ ไปสู่ตัวควบคุม ซึ่งจะประมวลผลเพื่อหาอินพุตที่จะป้อนให้กระบวนการ



รูปที่ 2.4 บล็อก ไดอะแกรมของระบบควบคุมแบบป้อนกลับ

2.3 มอเตอร์ไฟฟ้ากระแสตรง

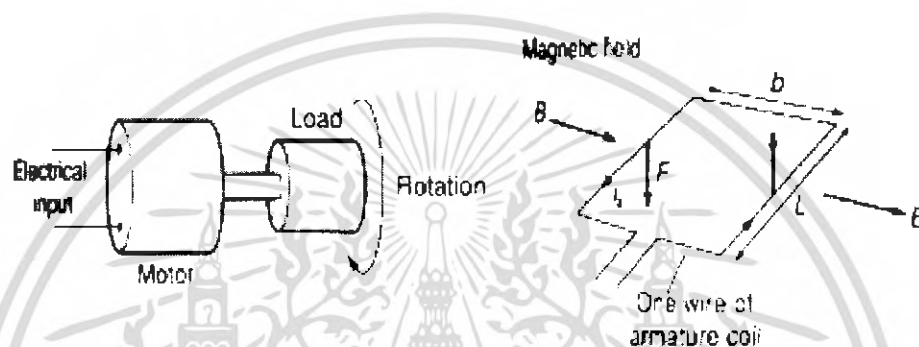
มอเตอร์ไฟฟ้ากระแสตรง (DC motor) คือ อุปกรณ์ที่ใช้เปลี่ยนพลังงานไฟฟ้าเป็นพลังงานกล เพื่อนำพลังงานกลที่ได้ไปขับเคลื่อนสิ่งต่างๆตามต้องการ มอเตอร์ไฟฟ้ากระแสตรงนั้น จะใช้การขับเคลื่อนในแบบที่มีอัตราเร็วไม่สูงมากนัก เนื่องจากมอเตอร์ไฟฟ้ากระแสตรงนั้นมีแรงบิดเริ่มต้นที่สูง (Starting torque) สามารถควบคุมความเร็วได้ค่อนข้างง่าย แต่มีข้อเสียคือมีโครงสร้างที่ค่อนข้างซับซ้อนมาก จึงจำไม่เหมาะที่จะใช้ในงานที่มีอัตราเร็วค่อนข้างสูงมากๆ แรงทางกลที่เกิดขึ้นก็อาศัยหลักการที่ว่าเมื่อมีกระแสไหลในตัวนำซึ่งอยู่ในสนามแม่เหล็กก็จะทำให้เกิดแรงดันไฟฟ้าเหนี่ยวนำเกิดขึ้นในขดลวดตัวนั้น และขดลวดตัวนำจะหมุนไปตามสนามแม่เหล็กที่เกิดขึ้น โดยการดูของขั้วแม่เหล็กที่ต่างกันและผลิตภัณฑ์ระหว่างขั้วแม่เหล็กที่เหมือนกัน ซึ่งแรงดันไฟฟ้าเหนี่ยวนำที่เกิดขึ้นจะทำให้เพลลาของมอเตอร์หมุน ก็จะได้พลังงานกลไปใช้งาน แต่ก็จะมีแรงดันไฟฟ้าเหนี่ยวนำเกิดขึ้นในทิศทางตรงกันข้ามกับแรงดันไฟฟ้าที่จ่ายจากภายนอก แรงดันไฟฟ้าเหนี่ยวนำที่เกิดขึ้นนี้เรียกว่า แรงดันไฟฟ้าต้านกลับ (Counter e.m.f หรือ back e.m.f.)

เอกสารนี้เป็นเอกสารที่สงวนไว้สำหรับการใช้งานเพื่อการศึกษาเท่านั้น ไม่อนุญาตให้นำไปใช้ประโยชน์ด้านการค้าไม่ว่ากรณีใดๆ ทั้งสิ้น อีกทั้งห้ามมิให้ตัดแปลงเนื้อหา และต้องอ้างอิงถึงเจ้าของเอกสารทุกครั้งที่มีการนำไปใช้



รูปที่ 2.5 การเปลี่ยนพลังงานไฟฟ้าเป็นพลังงานกล

2.3.1 หลักการทำงานของมอเตอร์ไฟฟ้ากระแสตรง



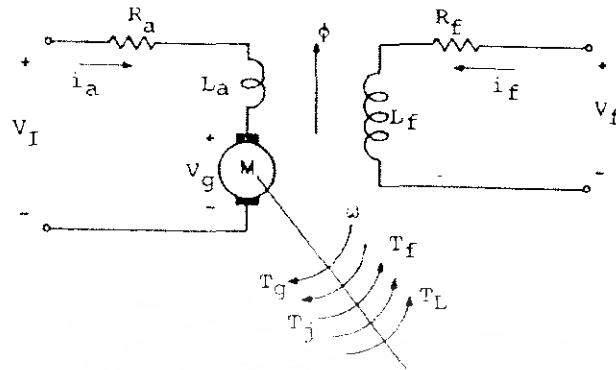
รูปที่ 2.6 การทำงานของมอเตอร์ไฟฟ้ากระแสตรง

รูปที่ 2.6 อธิบายโครงสร้างของมอเตอร์ไฟฟ้ากระแสตรงอย่างง่าย ซึ่งประกอบด้วยขดลวดที่วางอยู่ระหว่างขั้วแม่เหล็ก โดยปลายของขดลวดทั้งสองข้างต่อเข้ากับคอมมิวเตเตอร์ (Commutator) ด้านละซี่ ซึ่งจะมีแปรงถ่านต่อไว้และแปรงถ่านทั้งสองต่อเข้ากับแหล่งจ่ายไฟฟ้ากระแสตรงจากภายนอก ขดลวดตัวนำนั้นจะต้องหมุนอยู่ในสนามแม่เหล็กเมื่อมีการผ่านกระแสไฟฟ้าเข้าไปยังขดลวดในสนามแม่เหล็กจะทำให้เกิดแรงแม่เหล็กซึ่งมีสัดส่วนของแรงขึ้นกับกระแสแรงของสนามแม่เหล็ก โดยแรงจะเกิดขึ้นเป็นมุมฉากกับกระแสและสนามแม่เหล็ก ขณะที่ทิศทางของแรงกลับตรงกันข้ามกัน ถ้าหากกระแสของสนามแม่เหล็กไหลย้อนกลับจะทำให้เกิดการเปลี่ยนแปลงของกระแส และ สนามแม่เหล็กเป็นผลทำให้ทิศทางของแรงเปลี่ยนไปด้วยคุณสมบัตินี้ทำให้มอเตอร์ไฟฟ้ากระแสตรงกลับทิศทางการหมุนได้

สนามแม่เหล็กของมอเตอร์ส่วนหนึ่งเกิดขึ้นจากแม่เหล็กถาวร ซึ่งจะถูกยึดติดกับแผ่นเหล็กหรือ เหล็กกล้า โดยปกติส่วนนี้จะเป็นส่วนที่ยึดอยู่กับที่ และ ขดลวดเหนี่ยวนำจะพันอยู่กับส่วนที่เป็นแกนหมุนของมอเตอร์

เอกสารนี้เป็นเอกสารที่สงวนไว้สำหรับการใช้งานเพื่อการศึกษาเท่านั้น ไม่อนุญาตให้นำไปใช้ประโยชน์ด้านการค้าไม่ว่ากรณีใดๆ ทั้งสิ้น อีกทั้งห้ามมิให้ตัดแปลงเนื้อหา และต้องอ้างอิงถึงเจ้าของเอกสารทุกครั้งที่มีการนำไปใช้

2.3.2 คุณสมบัติของมอเตอร์ไฟฟ้ากระแสตรง



รูปที่ 2.7 วงจรภายในของมอเตอร์ไฟฟ้ากระแสตรง

จากรูปที่ 2.7 จะได้ว่าแรงดันไฟฟ้าที่มีผลต่อการใช้งานจริงในอาร์เมเจอร์ของมอเตอร์จึงมีค่าเท่ากับแรงดันไฟฟ้าที่จ่ายให้ลบด้วยแรงดันไฟฟ้าต้านกลับ เขียนเป็นสมการได้คือ

$$I_a R_a = V - E_b$$

หรือ

$$E_b = V - I_a R_a$$

เมื่อ

E_b คือ แรงดันไฟฟ้าต้านกลับ (V)

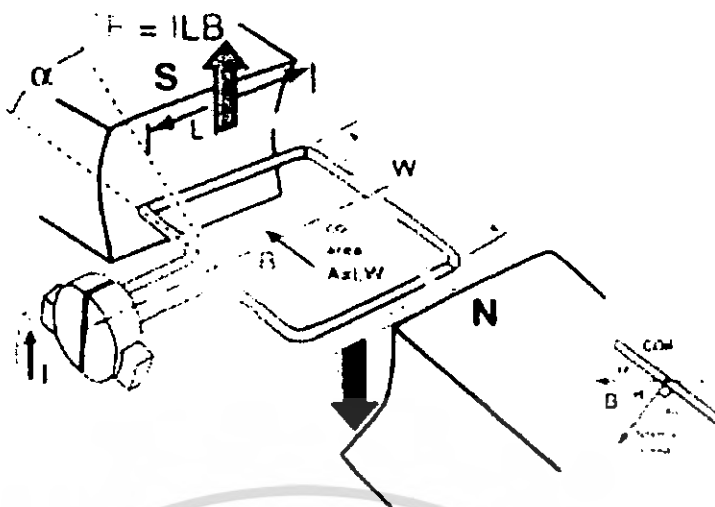
V คือ แรงดันไฟฟ้าที่จ่ายให้กับมอเตอร์ (V)

I_a คือ กระแสที่ไหลในอาร์เมเจอร์ (A)

R_a คือ ความต้านทานของขดลวดอาร์เมเจอร์ (Ω)

ค่าแรงดันไฟฟ้าต้านกลับนี้จะมีค่าไม่เท่ากับแรงดันไฟฟ้าที่จ่ายให้กับมอเตอร์ แรงดันไฟฟ้าต้านกลับที่เกิดขึ้น สามารถเขียนเปรียบเทียบได้เหมือนกับในอาร์เมเจอร์นั้นมีแหล่งจ่ายไฟฟ้ากระแสตรงซ่อนอยู่ และจ่ายไฟออกมาตรงกันข้ามกับแรงดันไฟฟ้าที่จ่ายเข้าไปเมื่อมีกระแสไหลผ่านขดลวดอาร์เมเจอร์ที่วางอยู่ในสนามแม่เหล็ก เกิดแรงไฟฟ้าเหนี่ยวนำ ทำให้มีแรงผลักดันที่อาร์เมเจอร์ เกิดแรงบิดที่สม่ำเสมอราบเรียบ ไม่กระตุกเพราะมีขดลวดหลายๆชุดที่อยู่ติดกันผลัดกันทำงานทีละชุดตามลำดับ

เอกสารนี้เป็นเอกสารที่สงวนไว้สำหรับการใช้งานเพื่อการศึกษาเท่านั้น ไม่อนุญาตให้นำไปใช้ประโยชน์ด้านการค้า ไม่ว่าจะกรณีใดๆ ทั้งสิ้น อีกทั้งห้ามมิให้ตัดแปลงเนื้อหา และต้องอ้างอิงถึงเจ้าของเอกสารทุกครั้งที่มีการนำไปใช้



รูปที่ 2.8 แรงที่กระทำกับขดลวด

จากรูปที่ 2.8 แรงที่กระทำบนขดลวดตัวนำต่อหนึ่งขดในขณะที่มีกระแสไหลผ่านตัวนำนั้น จะเป็นสัดส่วนโดยตรงกับจำนวนกระแสที่ไหล ความเข้มของสนามแม่เหล็กและความยาวของตัวนำในส่วนที่ตัดผ่านสนามแม่เหล็ก (หรือความยาวของตัวนำส่วนที่ใช้งานจริง) สามารถเขียนเป็นสมการได้ดังนี้

$$F = B I_o L$$

เมื่อ F คือ แรงที่กระทำที่ขดลวดตัวนำ (N)
 B คือ ความหนาแน่นของเส้นแรงแม่เหล็ก (W_b/m^2)
 L คือ ความยาวของตัวนำในส่วนที่ผ่านสนามแม่เหล็ก (m)
 I_o คือ กระแสที่ไหลในขดลวดตัวนำ (A)

แรงที่กระทำ F นี้จะยังส่งผลให้เกิดแรงบิดซึ่ง แรงบิด (Torque) คือการหมุนหรือการบิดของโมเมนต์ของแรงๆหนึ่ง ที่กระทำรอบๆแกนของมอเตอร์ มีขนาดเท่ากับผลคูณของแรงกัณฑ์มีเขียนเป็นสมการได้ดังนี้

$$T = F r$$

เมื่อ T คือ แรงบิดที่เกิดขึ้น (N-m)
 r คือ ระยะห่างระหว่างจุดศูนย์กลางของเพลาดึงตัวนำ (M)

คุณลักษณะการทำงานของมอเตอร์ไฟฟ้ากระแสตรงเมื่อพิจารณาในกรณีความสัมพันธ์ของแรงบิดกับกระแสที่ไหลในอาร์เมเจอร์ จะได้ว่าแรงบิดที่เกิดขึ้นจากมอเตอร์ไฟฟ้ากระแสตรงนั้นขึ้นอยู่กับกระแสที่ไหลในอาร์เมเจอร์และเส้นแรงแม่เหล็กที่เกิดขึ้นจากฟิลด์คอปเปอร์หรือจากขั้วแม่เหล็กถาวรสามารถเขียนเป็นความสัมพันธ์ได้ คือ

เอกสารนี้เป็นเอกสารที่สงวนไว้สำหรับการใช้งานเพื่อการศึกษาเท่านั้น ไม่อนุญาตให้นำไปใช้ประโยชน์ด้านการค้าไม่ว่ากรณีใดๆ ทั้งสิ้น อีกทั้งห้ามมิให้คัดแปลงเนื้อหา และต้องอ้างอิงถึงเจ้าของเอกสารทุกครั้งที่มีการนำไปใช้

$$T = K_e \Phi I_a$$

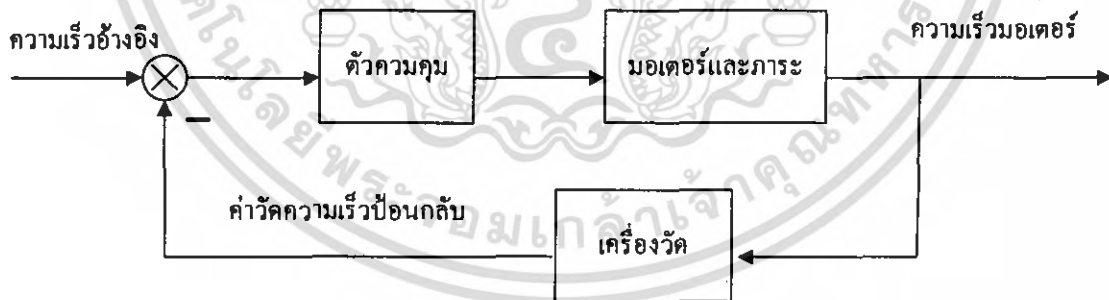
เมื่อ K_e คือ ค่าคงที่ของมอเตอร์
 Φ คือ เส้นแรงแม่เหล็ก (W_b)

2.4 การควบคุม ความเร็วของมอเตอร์ไฟฟ้ากระแสตรง

2.4.1 หลักการควบคุมความเร็ว

รูปที่ 2.9 แสดงบล็อกไดอะแกรมของระบบควบคุมความเร็วของ มอเตอร์แบบเซอร์โว (Servo motor) เครื่องวัดรอบในรูปแบบป้อนกลับจะวัดความเร็วของมอเตอร์แบบเซอร์โว และส่งป้อนกลับมาในรูปของสัญญาณไฟฟ้า (แรงดัน หรือ กระแส) ซึ่งแปรตามความเร็วเพลลาของมอเตอร์ ในที่นี้รูปป้อนกลับจะทำให้ความเร็วเอาท์พุทของมอเตอร์มีค่าคงที่มากขึ้น

ระบบควบคุมแบบป้อนกลับ ถูกใช้รวมอยู่ในระบบเครื่องมือ เครื่องจักร หรือ ส่วนกำลัง เพื่อชดเชยความแตกต่างของโหลด (วัสดุที่ถูกตัดหรือถูกเจาะ) วัสดุเนื้อแข็งจะหน่วงความเร็วของ ส่วน หรือ เครื่องมือที่ใช้ในการตัด และ ส่วนจะมีความเร็วเพิ่มขึ้นในวัสดุเนื้ออ่อนในรูปป้อนกลับ ความเร็วของมอเตอร์ ที่ประกอบด้วยเครื่องวัดความเร็ว ความเร็วของเครื่องมือจะยังคงมีค่าคงที่ เนื่องจากเมื่อเครื่องมือที่ใช้ในการตัดมีความเร็วลดลง สัญญาณป้อนกลับจะควบคุมมอเตอร์ให้เพิ่มความเร็วจน ในขณะเดียวกัน เมื่อเครื่องมือตัดชิ้นงานที่เป็นวัสดุอ่อน รูปป้อนกลับจะป้องกันไม่ให้อัตราเร็วของมอเตอร์เร่งความเร็วเกินขนาด



รูปที่ 2.9 ระบบควบคุมความเร็ว ที่ประกอบด้วยรูปการควบคุมป้อนกลับเพียงรูปเดียว

เอกสารนี้เป็นเอกสารที่สงวนไว้สำหรับการใช้งานเพื่อการศึกษาเท่านั้น ไม่อนุญาตให้นำไปใช้ประโยชน์ด้านการค้า ไม่ว่ากรณีใดๆ ทั้งสิ้น อีกทั้งห้ามมิให้ตัดแปลงเนื้อหา และต้องอ้างอิงถึงเจ้าของเอกสารทุกครั้งที่มีการนำไปใช้

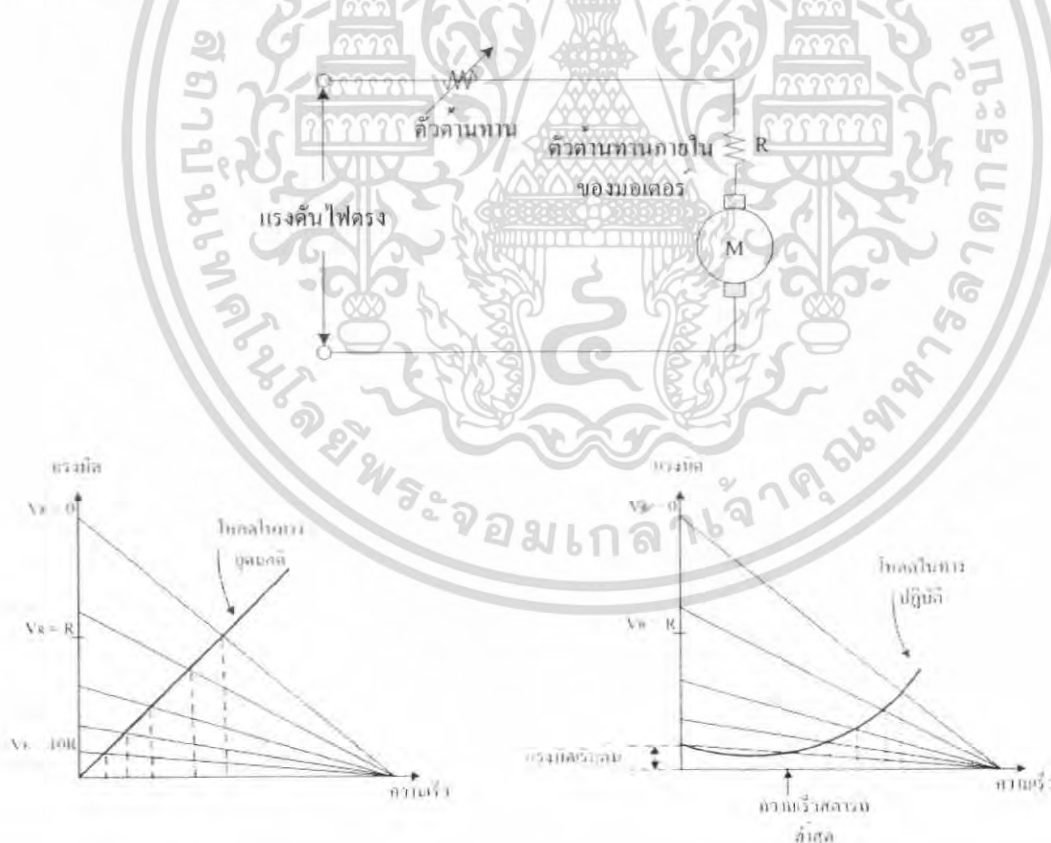
2.4.2 ประเภทของการควบคุมความเร็วของมอเตอร์ไฟฟ้ากระแสตรง

แบ่งออกเป็น 3 ประเภทดังนี้

1. การควบคุมด้วยตัวต้านทานที่ปรับค่าได้
2. การควบคุมด้วยวิธีเปลี่ยนค่าแรงดัน
3. การควบคุมความกว้างของพัลส์

2.4.2.1 การควบคุมด้วยตัวต้านทานที่ปรับค่าได้

เป็นรูปแบบพื้นฐานที่สุดของการควบคุมมอเตอร์คือ ใช้ตัวต้านทานปรับค่าได้ออนุกรมกับมอเตอร์ โดยตัวต้านทานที่ปรับค่าได้จะเป็นตัวกำหนดความเร็วในการหมุนของมอเตอร์ การบังคับแบบนี้ไม่มีประสิทธิภาพเพราะกำลังไฟสูญเสียไปในตัวความต้านทาน มักนิยมใช้กับมอเตอร์ตัวเล็ก ๆ การบังคับแบบนี้ให้คุณสมบัติการสตาร์ทดี (ให้แรงบิดสูงที่ความเร็วต่ำ) แต่จะให้ความเร็วสูงมากเมื่อมอเตอร์อยู่ในภาวะที่มีโหลดน้อยๆ ดังนั้นการบังคับแบบนี้มีประโยชน์เฉพาะภาวะที่แรงต้านคงที่ เช่น การบังคับความเร็วของเครื่องจักรเย็บผ้า เป็นต้น



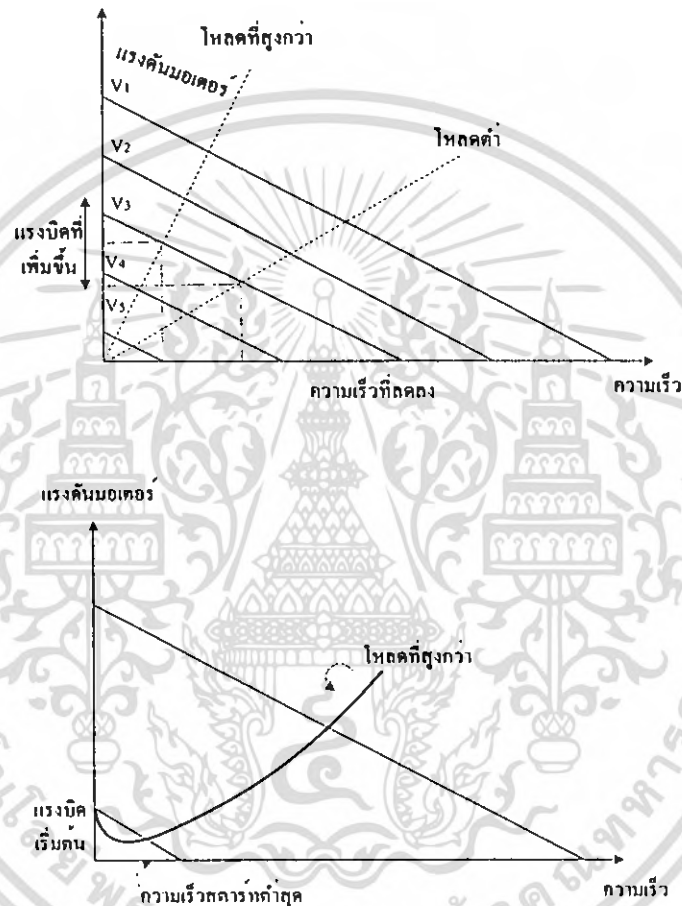
รูปที่ 2.10 วงจรควบคุมความเร็วของมอเตอร์กระแสตรง

แบบใช้ตัวต้านทานอนุกรม และกราฟแสดงคุณสมบัติ

เอกสารนี้เป็นเอกสารที่สงวนไว้สำหรับการใช้งานเพื่อการศึกษาเท่านั้น ไม่อนุญาตให้นำไปใช้ประโยชน์ด้านการค้า ไม่ว่ากรณีใดๆ ทั้งสิ้น อีกทั้งห้ามมิให้ตัดแปลงเนื้อหา และต้องอ้างอิงถึงเจ้าของเอกสารทุกครั้งที่มีการนำไปใช้

2.4.2.2 การควบคุมด้วยวิธีเปลี่ยนค่าแรงดัน

วิธีการนี้ดีกว่าวิธีการแรกแต่จะซับซ้อนกว่าต้องใช้อุปกรณ์อิเล็กทรอนิกส์ที่อัตราขยายกำลังสูง และ มอเตอร์จะถูกป้อนด้วยแรงดันที่เปลี่ยนแปลงค่าได้จากแหล่งจ่ายที่มีอิมพีแดนซ์ต่ำ ข้อดีของการควบคุมวิธีนี้คือ ถ้าความเร็วลดลงจากผลของแรงบิด แรงดันที่ป้อนให้กับมอเตอร์จะเพิ่มขึ้นเพื่อรักษาระดับความเร็ว ส่วนข้อเสียจากการควบคุมวิธีนี้คือ เมื่อมอเตอร์มีความเร็วค่าแรงดันที่ป้อนให้กับมอเตอร์จะมีค่าต่ำเช่นกัน



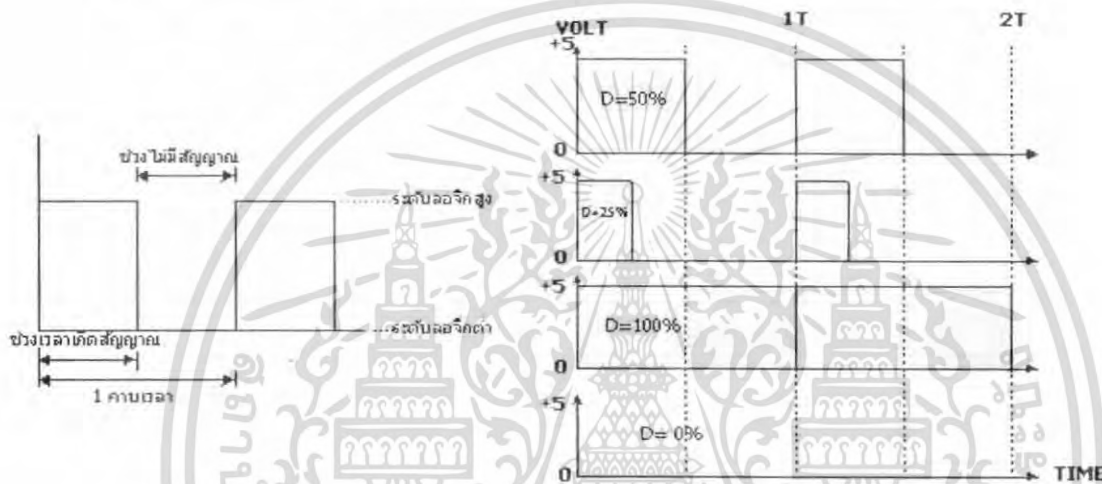
รูปที่ 2.11 การควบคุมความเร็วโดยเปลี่ยนค่าแรงดัน

2.4.2.3 การควบคุมความเร็วของมอเตอร์แบบการควบคุมความกว้างของสัญญาณพัลส์

การควบคุมความกว้างของพัลส์ (Pulse Width Modulation: PWM) คือ การปรับเปลี่ยนที่สัดส่วน และความกว้างของสัญญาณพัลส์ โดยความถี่ของสัญญาณพัลส์จะไม่มีเปลี่ยนแปลงหรือเป็นการเปลี่ยนแปลงที่ค่าของคิวตี้ไซเคิล (Duty cycle) นั่นเอง ซึ่งค่าของคิวตี้ไซเคิล คือช่วงความกว้างของพัลส์ที่มีสถานะลอจิกสูง โดยคิดสัดส่วนเป็นเปอร์เซ็นต์จากความกว้างของพัลส์ทั้งหมด ยกตัวอย่างเช่น ถ้าหากค่าคิวตี้ไซเคิลมีค่าเท่ากับเท่ากับ 50% ก็หมายถึงในแต่ละรูปสัญญาณเอกสารนี้เป็นเอกสารที่สงวนไว้สำหรับการใช้งานเพื่อการศึกษาเท่านั้น ไม่อนุญาตให้นำไปใช้ประโยชน์ด้านการค้าไม่ว่ากรณีใดๆ ทั้งสิ้น อีกทั้งห้ามมิให้ตัดแปลงเนื้อหา และต้องอ้างอิงถึงเจ้าของเอกสารทุกครั้งที่มีการนำไปใช้

พัลส์จะมีช่วงของสัญญาณที่เป็นสถานะลอจิกสูงอยู่ครึ่งหนึ่ง และสถานะลอจิกต่ำอยู่อีกครึ่งหนึ่ง ดังรูปที่ 2.12 และในทำนองเดียวกันถ้าหากค่าดีวตี้ไซเคิลมีค่ามาก หมายความว่าความกว้างของพัลส์ที่เป็นสถานะลอจิกสูงจะมีความกว้างมากขึ้น หากค่าดีวตี้ไซเคิลมีค่าเท่ากับ 100% ก็หมายความว่าไม่มีสถานะลอจิกต่ำเลย ซึ่งค่าดีวตี้ไซเคิล สามารถหาได้จากค่าความสัมพันธ์ดังนี้

$$\text{ค่าดีวตี้ไซเคิล} = \frac{\text{ช่วงของสัญญาณพัลส์}}{\text{คาบเวลาทั้งหมดของสัญญาณ}} \times 100\%$$



รูปที่ 2.12 สัญญาณ PWM ซึ่งแสดงค่าดีวตี้ไซเคิล ที่ต่าง ๆ กัน

จะเห็นได้ว่ามีข้อสำคัญ 3 ประการในการเลือกใช้การควบคุมความเร็วของมอเตอร์แบบการควบคุมความกว้างของพัลส์ คือ

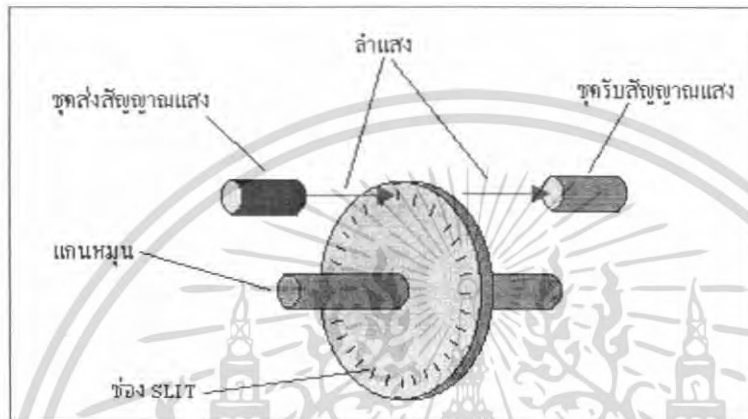
1. ง่ายในการอินเทอร์เฟสกับไมโครคอนโทรลเลอร์ และ ใช้เพียงแค่อำนาจพัลส์สัญญาณเดียวในการควบคุมความเร็ว
2. มีประสิทธิภาพ คือ แหล่งจ่ายพลังงาน (Power supply) จะจ่ายกำลังได้เต็มที่ทั้ง สถานะลอจิกสูง (Full on) และสถานะลอจิกต่ำ (Full off)
3. ทำให้ได้ค่า แรงบิดและ ความเร็ว สูงสุดของมอเตอร์ เป็นเพราะแหล่งจ่ายพลังงานจะจ่ายกำลังได้เต็มที่ทั้งสถานะลอจิกสูงและสถานะลอจิกต่ำ

ดังนั้นในโครงการนี้ จึงเลือกใช้การควบคุมความเร็วมอเตอร์แบบการควบคุมความกว้างของพัลส์

เอกสารนี้เป็นเอกสารที่สงวนไว้สำหรับการใช้งานเพื่อการศึกษาเท่านั้น ไม่อนุญาตให้นำไปใช้ประโยชน์ด้านการค้า ไม่ว่ากรณีใดๆ ทั้งสิ้น อีกทั้งห้ามมิให้ตัดแปลงเนื้อหา และต้องอ้างอิงถึงเจ้าของเอกสารทุกครั้งที่มีการนำไปใช้

2.5 เอ็นโค้ดเดอร์

เอ็นโค้ดเดอร์ (Encoder) มีลักษณะเป็นแผ่นกลมมีแกนอยู่ตรงกลาง และที่แผ่นกลม จะมีช่องเล็ก ที่แสงสามารถส่องผ่านได้ เป็นจำนวนมาก เรียกช่องนี้ว่า ช่องสลิต (Slit) ซึ่งที่ด้านหนึ่งของแผ่นกลม นี้ จะมีตัวส่งแสงอินฟราเรด (Infrared) ไปยังตัวรับสัญญาณแสงอินฟราเรด ซึ่งจะอยู่ในด้านตรงกันข้าม ดังรูปที่ 2.13



รูปที่ 2.13 โครงสร้างของเอ็นโค้ดเดอร์

เมื่อหมุนแกนหมุนทำให้แผ่นกลมหมุนไปตัดลำแสงอินฟราเรด ดังนั้นชุดรับแสงอินฟราเรด จึงมีแสงมากระทบเป็นช่วงๆ ตามจังหวะที่แสงผ่านช่องสลิต จึงทำให้ สัญญาณเอาต์พุตของ ชุดรับแสงอินฟราเรด มีลักษณะเป็นสัญญาณพัลส์ ดังรูปที่ 2.14



รูปที่ 2.14 การสร้างพัลส์ ของเอ็นโค้ดเดอร์

เอกสารนี้เป็นเอกสารที่สงวนไว้สำหรับการใช้งานเพื่อการศึกษาเท่านั้น ไม่อนุญาตให้นำไปใช้ประโยชน์ด้านการค้า ไม่ว่ากรณีใดๆ ทั้งสิ้น อีกทั้งห้ามมิให้ตัดแปลงเนื้อหา และต้องอ้างอิงถึงเจ้าของเอกสารทุกครั้งที่มีการนำไปใช้

จำนวนพัลส์ที่ได้ออกมา นี้ จะเป็นตัวที่ชี้บ่งว่ามอเตอร์หมุน ไปกี่องศา หรือกี่รอบ ซึ่งสามารถคำนวณได้จากความสัมพันธ์

$$\text{จำนวนรอบที่มอเตอร์หมุนไป} = \frac{\text{จำนวนพัลส์}}{\text{ความละเอียดของเอ็นโค้ดเดอร์}}$$

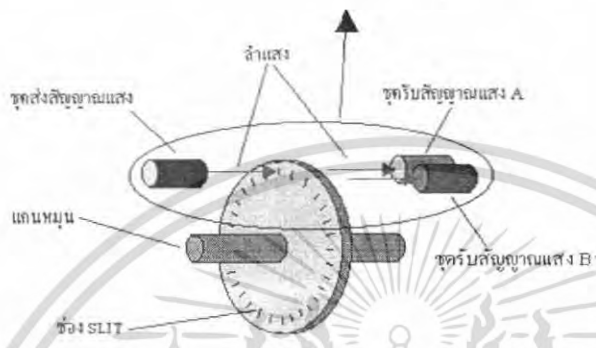
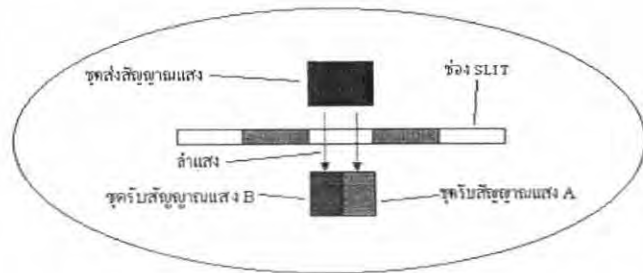
โดยที่ค่าความละเอียดของเอ็นโค้ดเดอร์ ใช้หน่วยเป็นจำนวนพัลส์ต่อรอบ (pulse/round: ppr) เช่น 1000 ppr ก็หมายความว่าเมื่อมอเตอร์หมุนไป 1 รอบจะมีสัญญาณพัลส์ออกมา 1000 พัลส์ เป็นต้น

ส่วนการตรวจสอบทิศทางการหมุนของมอเตอร์ สามารถทราบได้จากวิธีสร้างช่องสลิตเป็น 2 ชุดเหลื่อมกัน 90 องศา ดังรูปที่ 2.15



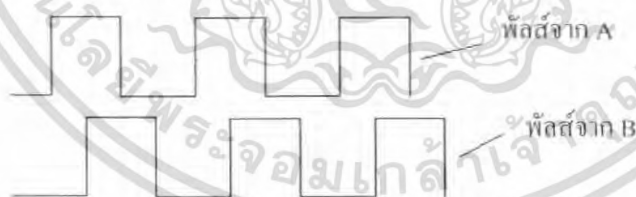
รูปที่ 2.15 เอ็นโค้ดเดอร์ที่มีช่องสลิตสองชุดเหลื่อมกัน 90 องศา

หรืออาจจะใช้ช่องสลิตเพียง 1 ชุดแต่มีการจัดวางชุดรับสัญญาณแสงดังรูปที่ 2.16 แต่ข้อสำคัญคือ ต้องมีเฟสต่างกัน 90 องศา



รูปที่ 2.16 เอ็น โค้ดเดอร์ที่มีชุดรับสัญญาณแสงที่มีเฟสต่างกัน 90 องศา

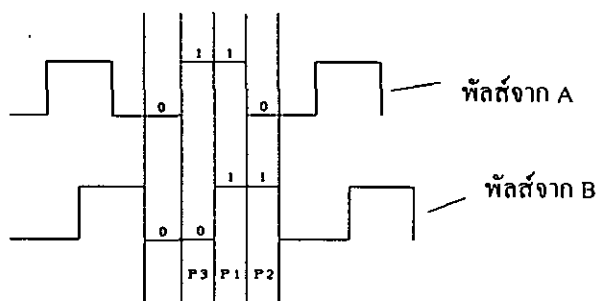
ดังนั้นสัญญาณเอาต์พุตจากมอเตอร์จึงมี 2 ชุด คือ A และ B โดยที่สัญญาณพัลส์จาก A และ B จะเหลื่อมกัน 90 องศาด้วย อาจกล่าวได้ว่าสัญญาณเอาต์พุตจากมอเตอร์มีค่าเท่ากับ 2 บิต คือ หนึ่งบิต มาจาก A และอีกหนึ่งบิต มาจาก B ดังรูปที่ 2.17



รูปที่ 2.17 ลักษณะพัลส์ของเอ็น โค้ดเดอร์ทั้งสองเฟส

ถ้าให้พัลส์ในช่วงลอจิกสูงมีค่าเป็น “1” และพัลส์ในช่วงลอจิกต่ำมีค่าเป็น “0” จะสามารถใช้ค่าดังกล่าว มาคำนวณหาทิศทางการหมุนของมอเตอร์ได้โดยใช้วิธีการทางดิจิทัล คือ การนำค่าที่อ่านได้มาดำเนินการทางตรรกะ แบบค่าต้องแตกต่างกันจึงจะเป็นจริง (Exclusive OR: XOR) โดยการนำบิตทางขวาของค่าเก่ามาดำเนินการทางตรรกะค่าต้องแตกต่างกันจึงจะเป็นจริง กับบิตทางซ้ายของค่าใหม่ที่อ่านได้ เช่นตัวอย่างดังต่อไปนี้

ไม่ว่ากรณีใดๆ ทั้งสิ้น อีกทั้งห้ามมิให้คัดแปลงเนื้อหา และต้องอ้างอิงถึงเจ้าของเอกสารทุกครั้งที่มีการนำไปใช้



รูปที่ 2.18 ความละเอียดของพัลส์

จากรูปที่ 2.18 คอนแรกมอเตอร์อยู่ที่ตำแหน่ง P1 เพราะฉะนั้นค่าของตัวเลขฐานสอง (binary) ที่อ่านได้จากเอ็นโค้ดเดอร์พัลส์ A และ B จะมีค่าเป็น “1” และ “1” ตามลำดับ ถ้ามอเตอร์หมุนไปที่ตำแหน่ง P3 จะทำให้ค่าของตัวเลขฐานสองที่อ่านได้จากเอ็นโค้ดเดอร์พัลส์ A และ B จะมีค่าเป็น “1” และ “0” ตามลำดับ ดังนั้นถ้านำเอาค่าทางขวาจากค่าที่อ่านได้ในครั้งแรก (11) ซึ่งก็คือ 1 มาโอเปอเรเตอร์ทางตรรกะด้วยค่าต้องแตกต่างกันจึงจะเป็นจริง กับค่าทางซ้ายที่อ่านได้ในครั้งต่อมา (10) ซึ่งก็คือ 1 จะได้ผลลัพธ์เท่ากับ 0 เพราะฉะนั้นค่า 0 จึงเป็นค่าที่บอกว่ามอเตอร์หมุนไปทางขวา ในทางกลับกัน ถ้าในคอนแรกมอเตอร์อยู่ที่ตำแหน่ง P1 และต่อมามอเตอร์หมุนไปที่ตำแหน่ง P2 ถ้านำเอาค่าทางขวาจากค่าที่อ่านได้ในครั้งแรก (11) ซึ่งก็คือ 1 มาดำเนินการทางตรรกะด้วยค่าต้องแตกต่างกันจึงจะเป็นจริง กับค่าทางซ้ายที่อ่านได้ในครั้งต่อมา (01) ซึ่งก็คือ 0 จะได้ผลลัพธ์เท่ากับ 1 เพราะฉะนั้นค่า 1 จึงเป็นค่าที่บอกว่ามอเตอร์หมุนไปทางซ้าย และการดำเนินการทางตรรกะด้วยค่าต้องแตกต่างกันจึงจะเป็นจริง แสดงไว้ดังตารางที่ 2.1

ตารางที่ 2.1 ผลทางตรรกะด้วยค่าต้องแตกต่างกันจึงจะเป็นจริง

A	B	A XOR B
0	0	0
0	1	1
1	0	1
1	1	0

เอกสารนี้เป็นเอกสารที่สงวนไว้สำหรับการใช้งานเพื่อการศึกษาเท่านั้น ไม่อนุญาตให้นำไปใช้ประโยชน์ด้านการค้า ไม่ว่ากรณีใดๆ ทั้งสิ้น อีกทั้งห้ามมิให้ตัดแปลงเนื้อหา และต้องอ้างอิงถึงเจ้าของเอกสารทุกครั้งที่มีการนำไปใช้

พัลส์ที่ได้จากเอ็นโค้ดเดอร์จะถูกนำไปเชื่อมต่อเข้ากับวงจรมับสัญญาณพัลส์ หรือวงจรถานวน เพื่อที่จะตรวจสอบว่ามอเตอร์หมุนไปทิศทางใด และอยู่ที่ตำแหน่งใด ตามวิธีที่ได้กล่าวไว้ข้างต้น โดยส่วนมากแล้ว มอเตอร์ที่ใช้เอ็นโค้ดเดอร์แบบนี้จะมีจำนวนรอบของการหมุน ที่ไม่จำกัด โดยจะหมุนไปกี่รอบก็ได้ขึ้นอยู่กับความสามารถของวงจรมับพัลส์ และวงจรถานวน

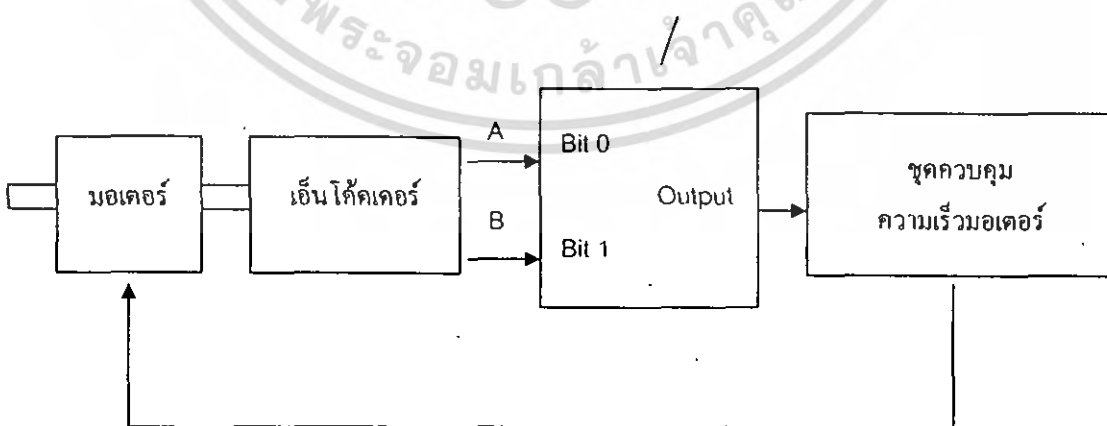
ดังนั้นจึงกล่าวได้ว่าเอ็นโค้ดเดอร์ ที่ใช้กันอยู่โดยทั่วไปนั้นมีอยู่ 2 แบบใหญ่ๆ คือ แบบมีค่าเอาต์พุตที่ไม่จำกัด (Incremental encoder) และแบบที่มีค่าเอาต์พุตที่จำกัด (Absolute encoder)

เอ็นโค้ดเดอร์แบบมีค่าเอาต์พุตที่ไม่จำกัด มักจะเป็นเอ็นโค้ดเดอร์แบบ โรตารีเอ็นโค้ดเดอร์ (Rotary encoder) ซึ่งขนาดของเอาต์พุตของเอ็นโค้ดเดอร์แบบนี้ ขึ้นอยู่กับการออกแบบวงจรมับพัลส์ และวงจรถานวน

เอ็นโค้ดเดอร์แบบที่มีค่าเอาต์พุตที่จำกัดที่พบเห็นส่วนใหญ่ จะเป็นแบบตัวด้านทานปรับค่าได้ แต่ในบางครั้งก็อาจเป็นแบบ โรตารีเอ็นโค้ดเดอร์ก็ได้ แต่จะมีการออกแบบลักษณะของช่องสลิตที่ต่างไปจากโรตารีเอ็นโค้ดเดอร์ที่ได้ไว้ในตอนต้น โดย อาจจะมีค่าของเอาต์พุตตั้งแต่ 4 บิต ถึง 16 บิต

ในแง่ของการใช้งานแล้ว มอเตอร์ที่มีเอ็นโค้ดเดอร์แบบมีค่าเอาต์พุตที่ไม่จำกัดนั้น จะใช้งานยุ่งยากกว่ามอเตอร์ที่มีเอ็นโค้ดเดอร์แบบที่มีค่าเอาต์พุตที่จำกัด เพราะเอาต์พุตของเอ็นโค้ดเดอร์แบบมีค่าเอาต์พุตที่ไม่จำกัดนั้น ไม่สามารถเชื่อมต่อกับชุดควบคุมมอเตอร์ได้ทันที ต้องต่อผ่านวงจรมับสัญญาณพัลส์และวงจรถานวนที่ยุ่งยากซับซ้อนก่อน ถึงจะต่อเข้ากับชุดควบคุมมอเตอร์ได้ แต่อย่างไรก็ตาม ในปัจจุบันมีไมโครโปรเซสเซอร์ที่มีอุปกรณ์ช่วยในการนับสัญญาณเอ็นโค้ดเดอร์อยู่ในตัว เช่น ไมโครคอนโทรลเลอร์ตระกูล PIC เป็นต้น จึงสามารถนำมาใช้แทนวงจรมับสัญญาณพัลส์และวงจรถานวนได้จึงทำให้การใช้งานมีความง่ายขึ้น ดังรูปที่ 2.19

ไมโครคอนโทรลเลอร์สำหรับตรวจสอบการหมุนของมอเตอร์



รูปที่ 2.19 บล็อกไดอะแกรมของระบบควบคุมความเร็วมอเตอร์กระแสตรง

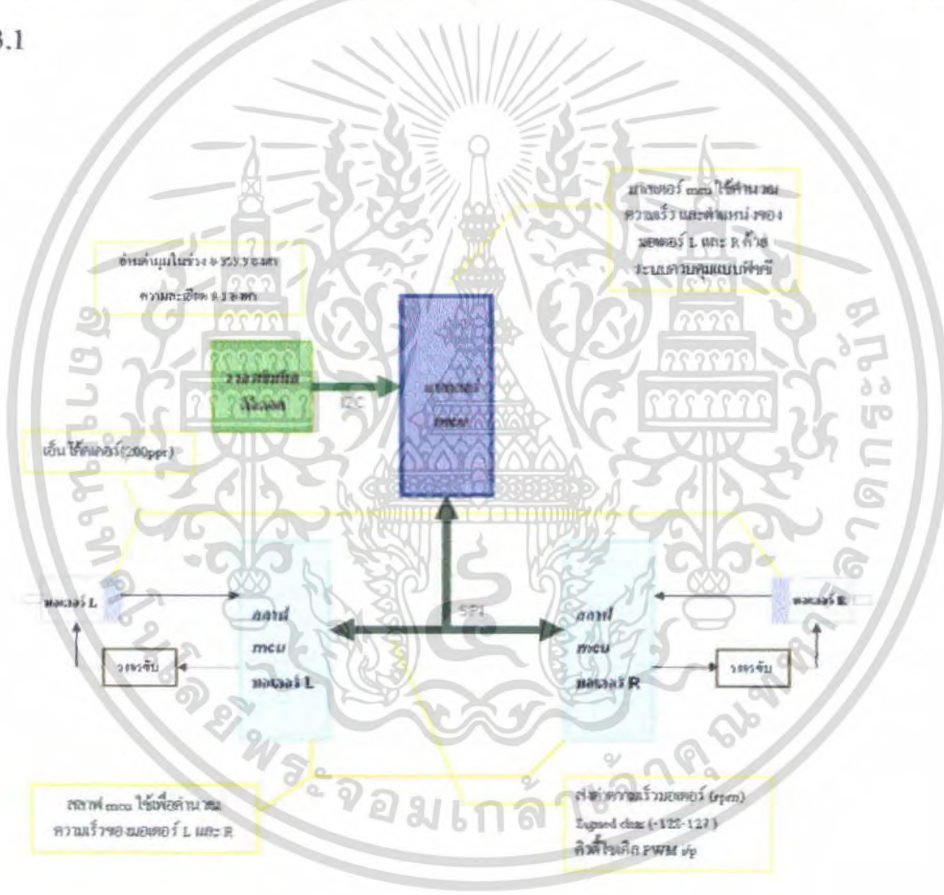
เอกสารนี้เป็นเอกสารที่สงวนไว้สำหรับการใช้งานเพื่อการศึกษาเท่านั้น ไม่อนุญาตให้นำไปใช้ประโยชน์ด้านการค้าไม่ว่ากรณีใดๆ ทั้งสิ้น อีกทั้งห้ามมิให้ตัดแปลงเนื้อหา และต้องอ้างอิงถึงเจ้าของเอกสารทุกครั้งที่มีการนำไปใช้

บทที่ 3

หลักการออกแบบ

การออกแบบระบบควบคุมอัตโนมัติแบบพีซี ในเบื้องต้นนั้นจำเป็นต้องทำความเข้าใจกับภาพรวมของระบบควบคุมก่อนว่ามีหลักการทำงานอย่างไร แล้วจึงพิจารณาส่วนย่อยต่างๆ อันประกอบไปด้วยส่วนที่เป็นโครงสร้างระบบควบคุม ส่วนที่เป็นวงจรรีเลย์ทรอนิกส์ และส่วนของโปรแกรมที่ใช้ในการประมวลผลแบบพีซีเพื่อควบคุมระบบ

หลักการงานในภาพรวมของระบบควบคุมอัตโนมัติแบบพีซี สามารถแสดงดังแผนผังในรูปที่ 3.1



รูปที่ 3.1 แผนผังรวมของระบบระบบควบคุมอัตโนมัติแบบพีซี

จากรูปที่ 3.1 เห็นว่าระบบควบคุมอัตโนมัติแบบพีซี ประกอบด้วยส่วนหลักๆ ดังนี้คือ

- ไมโครคอนโทรลเลอร์
- วงจรขับมอเตอร์ไฟฟ้ากระแสตรง
- วงจรเซ็นเซอร์ตรวจจับ

เอกสารนี้เป็นเอกสารที่สงวนไว้สำหรับการใช้งานเพื่อการศึกษาเท่านั้น ไม่อนุญาตให้นำไปใช้ประโยชน์ด้านการค้าไม่ว่ากรณีใดๆ ทั้งสิ้น อีกทั้งห้ามมิให้ตัดแปลงเนื้อหา และต้องอ้างอิงถึงเจ้าของเอกสารทุกครั้งที่มีการนำไปใช้

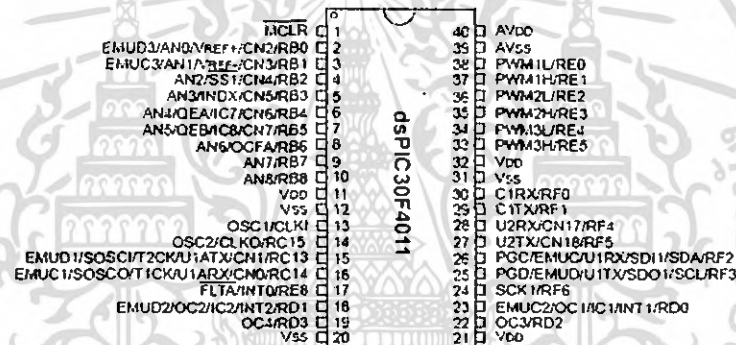
- โครงสร้างทางกายภาพของหุ่นยนต์
- โครงสร้างของระบบควบคุม

3.1 ไมโครคอนโทรลเลอร์

ในโครงงานนี้เลือกใช้ไมโครคอนโทรลเลอร์ในการควบคุมระบบควบคุมอัตโนมัติแบบพีซี 2 ส่วนหลักซึ่งประกอบด้วยส่วนที่เป็นมาสเตอร์ (Master) และ สลาฟ (Slave)

3.1.1 มาสเตอร์ไมโครคอนโทรลเลอร์

ในโครงงานนี้เลือกใช้ dsPIC30F4011 ทำหน้าที่ในการควบคุมระบบหลักในการควบคุมความเร็วของมอเตอร์ไฟฟ้ากระแสตรง โดยจะประมวลผลชุดคำสั่งหลักก่อน จึงส่งคำสั่งไปควบคุมตัวสลาฟ ซึ่งมีคุณสมบัติดังรูปที่ 3.2 และตารางที่ 3.1

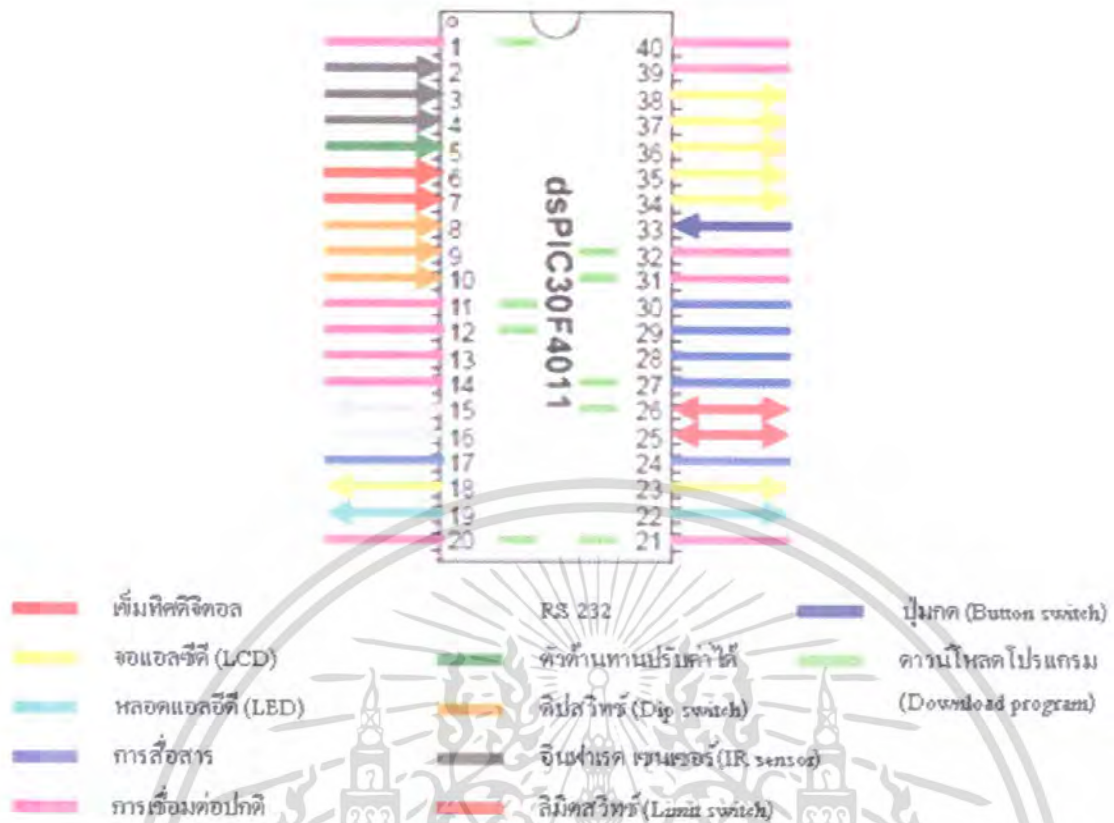


รูปที่ 3.2 มาสเตอร์ไมโครคอนโทรลเลอร์เบอร์ 30F4011

ตารางที่ 3.1 คุณสมบัติของมาสเตอร์ไมโครคอนโทรลเลอร์

Device	Pins	Program Mem. Bytes/Instructions	SRAM Bytes	EEPROM Bytes	Timer 16-bit	Input Cap	Output Comp/Std PWM	Motor Control PWM	10-Bit A/D 1 Msps	Quad Enc	UART	SPI	PC2	CAN
dsPIC30F2010	28	12K/4K	512	1024	3	4	2	6 ch	6 ch	Yes	1	1	1	1
dsPIC30F3010	28	24K/8K	1024	1024	5	4	2	6 ch	6 ch	Yes	1	1	1	1
dsPIC30F4012	28	48K/16K	2048	1024	5	4	2	6 ch	6 ch	Yes	1	1	1	1
dsPIC30F3011	40/44	24K/8K	1024	1024	5	4	4	6 ch	9 ch	Yes	2	1	1	1
dsPIC30F4011	40/44	48K/16K	2048	1024	5	4	4	6 ch	9 ch	Yes	2	1	1	1
dsPIC30F5015	64	66K/22K	2048	1024	5	4	4	8 ch	16 ch	Yes	1	2	1	1
dsPIC30F6010	60	144K/48K	6192	4096	5	8	8	8 ch	16 ch	Yes	2	2	1	2

เอกสารนี้เป็นเอกสารที่สงวนไว้สำหรับการใช้งานเพื่อการศึกษาเท่านั้น ไม่อนุญาตให้นำไปใช้ประโยชน์ด้านการค้าไม่ว่ากรณีใดๆ ทั้งสิ้น อีกทั้งห้ามมิให้ตัดแปลงเนื้อหา และต้องอ้างอิงถึงเจ้าของเอกสารทุกครั้งที่มีการนำไปใช้



รูปที่ 3.3 การเชื่อมต่อไมโครคอนโทรลเลอร์

3.1.2 สถาปัตยกรรมไมโครคอนโทรลเลอร์

ในโครงงานนี้เลือกใช้ dsPIC30F2010 จำนวน 2 ตัวด้วยกันเพื่อแยกกันทำหน้าที่ในการควบคุมวงจรขับสำหรับควบคุมความเร็วของมอเตอร์ไฟฟ้ากระแสตรง โดยรับคำสั่งมาจากตัวไมโครคอนโทรลเลอร์ ซึ่งจำเป็นมีคุณสมบัติดังรูปที่ 3.4 และ ตารางที่ 3.2

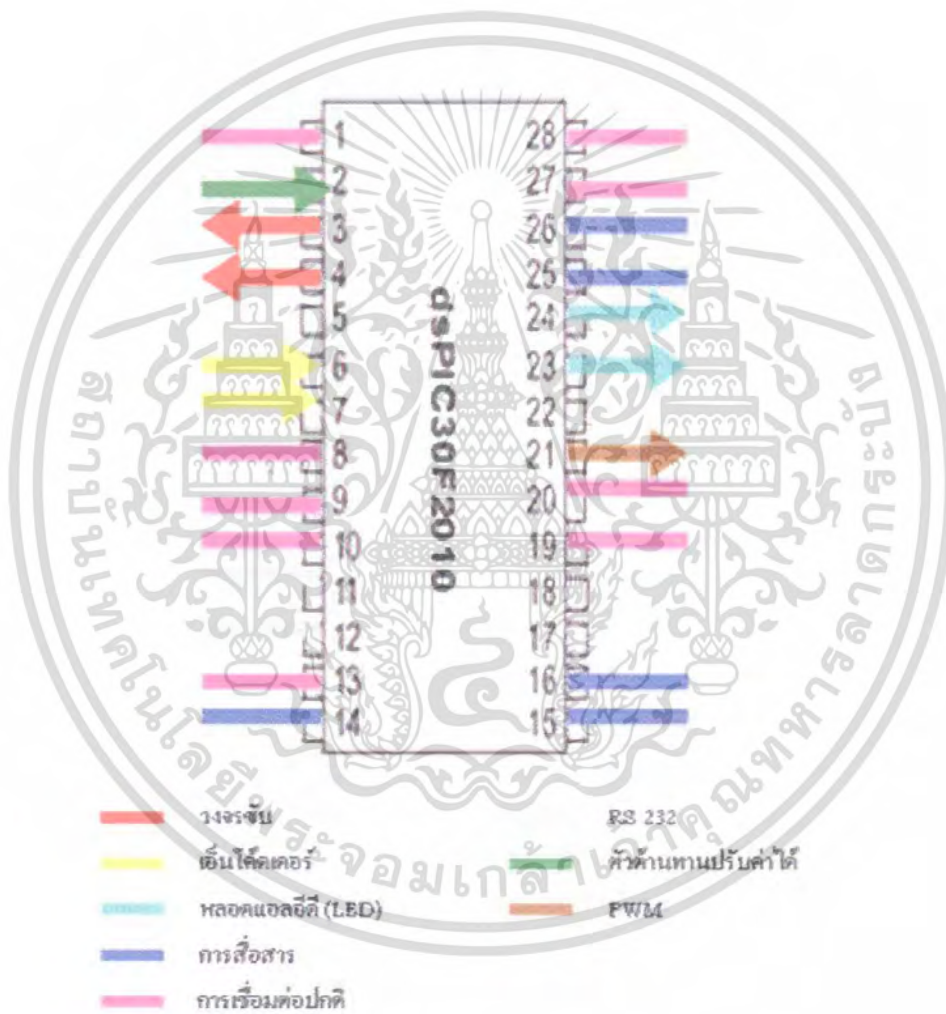
MCLR	1	28	AVDD
EMUD3/AN0/VREF+/CN2/RB0	2	27	AVSS
EMUC3/AN1/VREF-/CN3/RB1	3	26	PWM1L/RE0
AN2/SS1/CN4/RB2	4	25	PWM1H/RE1
AN3/INDX/CN5/RB3	5	24	PWM2L/RE2
AN4/QEA/IC7/CN6/RB4	6	23	PWM2H/RE3
AN5/QEB/IC8/CN7/RB5	7	22	PWM3L/RE4
VSS	8	21	PWM3H/RE5
OSC1/CLKI	9	20	VDD
OSC2/CLKO/RC	10	19	VSS
EMUD1/SOSCI/T2CK/U1ATX/CN1#RC13	11	18	PGC/EMUC/U1RX/SDI1/SDA/RF2
EMUC1/SOSCO/T1CK/U1ARX/CN0/RC14	12	17	PGD/EMUC/U1TX/SDO1/SCL/RF3
VDD	13	16	FLTA/INT0/SCK1/OCFA/RE8
EMUC2/OC2/IC2/INT2/RD1	14	15	EMUC2/OC1/IC1/INT1/RD0

รูปที่ 3.4 สถาปัตยกรรมไมโครคอนโทรลเลอร์เบอร์ 30F2010

เอกสารนี้เป็นเอกสารที่สงวนไว้สำหรับการใช้งานเพื่อการศึกษาเท่านั้น ไม่อนุญาตให้นำไปใช้ประโยชน์ด้านการค้าไม่ว่ากรณีใดๆ ทั้งสิ้น อีกทั้งห้ามมิให้ตัดแปลงเนื้อหา และต้องอ้างอิงถึงเจ้าของเอกสารทุกครั้งที่มีการนำไปใช้

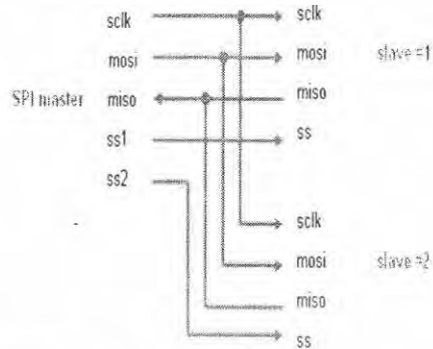
ตารางที่ 3.2 คุณสมบัติของสถาปัตยกรรมไมโครคอนโทรลเลอร์

Device	Pins	Program Mem. Bytes/Instructions	SRAM Bytes	EEPROM Bytes	Timer 16-bit	Input Cap	Output Comp/Std PWM	Motor Control PWM	10-Bit A/D 1 Msps	Quad Enc	UART	SPI	PC™	CAN
dsPIC30F2010	28	12K/4K	512	1024	3	4	2	8 ch	8 ch	Yes	1	1	1	1
dsPIC30F3010	28	24K/8K	1024	1024	5	4	2	6 ch	6 ch	Yes	1	1	1	-
dsPIC30F4012	28	48K/16K	2048	1024	5	4	2	6 ch	6 ch	Yes	1	1	1	1
dsPIC30F3011	40/44	24K/8K	1024	1024	5	4	4	6 ch	9 ch	Yes	2	1	1	-
dsPIC30F4011	40/44	48K/16K	2048	1024	5	4	4	6 ch	9 ch	Yes	2	1	1	1
dsPIC30F5015	64	66K/22K	2048	1024	5	4	4	8 ch	16 ch	Yes	1	2	1	1
dsPIC30F6010	80	144K/48K	8192	4096	5	8	8	8 ch	16 ch	Yes	2	2	1	2



รูปที่ 3.5 การเชื่อมต่อสถาปัตยกรรมไมโครคอนโทรลเลอร์

เอกสารนี้เป็นเอกสารที่สงวนไว้สำหรับการใช้งานเพื่อการศึกษาเท่านั้น ไม่อนุญาตให้นำไปใช้ประโยชน์ด้านการค้า ไม่ว่ากรณีใดๆ ทั้งสิ้น อีกทั้งห้ามมิให้ตัดแปลงเนื้อหา และต้องอ้างอิงถึงเจ้าของเอกสารทุกครั้งที่มีการนำไปใช้



(ก) การเชื่อมต่อมาสเตอร์กับสลาฟเพียงตัวเดียว



(ข) การเชื่อมต่อมาสเตอร์กับสลาฟหลายตัวเดียว

รูปที่ 3.6 การเชื่อมต่อระหว่างมาสเตอร์ และ สลาฟไมโครคอนโทรลเลอร์

เอกสารนี้เป็นเอกสารที่สงวนไว้สำหรับการใช้งานเพื่อการศึกษาเท่านั้น ไม่อนุญาตให้นำไปใช้ประโยชน์ด้านการค้า
ไม่ว่ากรณีใดๆ ทั้งสิ้น อีกทั้งห้ามมิให้ตัดแปลงเนื้อหา และต้องอ้างอิงถึงเจ้าของเอกสารทุกครั้งที่มีการนำไปใช้

3.2 วงจรขับมอเตอร์ไฟฟ้ากระแสตรง

ใช้คำสั่งจาก MCPWM ของสลาฟไมโครคอนโทรลเลอร์ ในการขับมอเตอร์ไฟฟ้ากระแสตรง เพื่อสั่งการให้มอเตอร์ขับเคลื่อนได้ดังที่ได้อธิบายไว้ในบทที่ 2

```

//PWM
void mcpwm_init() {
    unsigned int period=512,sptime,config1,config2,config3;

    CloseMCPWM();

    sptime=0x00; // SEVICMP = Special Time(Not Used)

    config1=PWM_EN & // Enable PWM Function
            PWM_IDLE_STOP & // Disable PWM in IDLE Mode
            PWM_OP_SCALE1 & // PWM Post Scale = 1
            PWM_IPCLK_SCALE1 // PWM Input Clock Prescale = 1
            PWM_MOD_FREE ; // PWM = Free Running

    config2=PWM_MOD1_INC & // PWM1 = Free Mode
            PWM_MOD2_INC & // PWM2 = Free Mode
            PWM_MOD3_INC & // PWM3 = Free Mode
            PWM_FEN3H & // H of channel 3 work as PWM
            PWM_PDIS3L & // L of channel 3 work as IO
            PWM_PDIS2H & // H of channel 2 work as IO
            PWM_PDIS2L & // L of channel 2 work as IO
            PWM_PDIS1H & // H of channel 1 work as IO
            PWM_PDIS1L; // L of channel 1 work as IO

    config3=PWM_SEVOPS & // Special Even Post Scaier = 1:1
            PWM_OSYNC_PWM & // Override Sync. With PWM Clock
            PWM_UEN // Enable PWM Update

    OpenMCPWM(512,sptime,config1,config2,config3);
}

void speed_output(signed char ch,signed int duty) {
    if(duty>0) {
        dir1=backward; dir2=forward;
        if(duty>1023) {
            duty=1023;
        }
        SetDCMCPWM(ch,duty,0);
    } else if(duty<0) {
        dir1=forward; dir2=backward;
        if(duty<-1023) {
            duty=-1023;
        }
        duty=abs(duty);
        SetDCMCPWM(ch,duty,0);
    } else {
        dir1=0; dir2=0;
        SetDCMCPWM(ch,0,0);
    }
}

```

รูปที่ 3.7 ตัวอย่างคำสั่ง MCPWM ของสลาฟไมโครคอนโทรลเลอร์

เอกสารนี้เป็นเอกสารที่สงวนไว้สำหรับการใช้งานเพื่อการศึกษาเท่านั้น ไม่อนุญาตให้นำไปใช้ประโยชน์ด้านการค้าไม่ว่ากรณีใดๆ ทั้งสิ้น อีกทั้งห้ามมิให้ตัดแปลงเนื้อหา และต้องอ้างอิงถึงเจ้าของเอกสารทุกครั้งที่มีการนำไปใช้

3.3 วงจรเข็มทิศดิจิทัล

ใช้คำสั่งจาก I²C ของมาสเตอร์ไมโครคอนโทรลเลอร์ในการสื่อสารกับวงจรเข็มทิศดิจิทัล เพื่อใช้ในการตรวจเช็คค่ามุมของตัวหุ่นยนต์ว่า เคลื่อนที่เป็นเส้นตรงหรือไม่ ในโครงการนี้เลือกใช้วงจรเข็มทิศดิจิทัลรุ่น CMPS03 เป็นผลงานของ Devantoch ซึ่งมีคุณสมบัติดังนี้

- ใช้ไฟเลี้ยง +5 V และ กระแสไฟฟ้า 20 mA
- สามารถตรวจจับสนามแม่เหล็กโลกได้
- ความละเอียดของมุม 0.1 องศา
- ขนาด 32 x 35 มิลลิเมตร
- สามารถสื่อสารกับไมโครคอนโทรลเลอร์ได้



รูปที่ 3.8 วงจรเข็มทิศดิจิทัล

เอกสารนี้เป็นเอกสารที่สงวนไว้สำหรับการใช้งานเพื่อการศึกษาเท่านั้น ไม่อนุญาตให้นำไปใช้ประโยชน์ด้านการค้า ไม่ว่าจะกรณีใดๆ ทั้งสิ้น อีกทั้งห้ามมิให้ตัดแปลงเนื้อหา และต้องอ้างอิงถึงเจ้าของเอกสารทุกครั้งที่มีการนำไปใช้

```

void init_i2c() {
  CloseI2C(); // Close I2C Before New Config

  // Open I2C Function
  OpenI2C(I2C_ON &
  I2C_IDLE_STOP &
  I2C_CLK_HLD &
  I2C_I2C1_DIS &
  I2C_7BIT_ADR &
  I2C_SLW_DIS &
  I2C_SM_DIS &
  I2C_GCALL_DIS &
  I2C_STR_DIS &
  I2C_ACR &
  I2C_ACR_DIS &
  I2C_RCV_DIS &
  I2C_STOP_DIS &
  I2C_RESTART_DIS &
  I2C_START_DIS.
  267);

  // Enable I2C Function
  // Disable I2C in IDLE Mode
  // I2C Clock Hold
  // Disable I2C I2C1 Mode Control
  // I2C Device Address = 7 Bit
  // Disable I2C Slow Rate Control
  // Disable I2C SMBUS Mode
  // Disable I2C General Call(Slave)
  // Disable SCL Clock Stretch
  // ACK Cycle = ACK
  // Disable I2C Acknowledge
  // Disable I2C Receive
  // Disable I2C Stop
  // Disable I2C Restart
  // Disable I2C Start
  // I2C Baudrate(Approx. = 100 KHz

  // Special I2C Interrupt Control
  ConfigI2C(MI2C_INT_OFF &
  SI2C_INT_OFF &
  MI2C_INT_PRI_7 &
  SI2C_INT_PRI_7 );
  // Disable Master I2C Interrupt
  // Disable Slave I2C Interrupt
  // Set Priority Interrupt of M
  // Set Priority Interrupt of S
}

```

รูปที่ 3.9 ตัวอย่างคำสั่ง I²C ของมาสเตอร์ไมโครคอนโทรลเลอร์

```

#include"C:\dsPIC\dsPIC0000lib\i2c_cmp.h"
//Pin Hardware
//cmp sensor on portF RF2 = SDA RF3 = SCL
#include<i2c.h> // Used I2C Function Library
#define cmp_wd 0xC0
#define cmp_rd 0xCl

void init_i2c();
void rd_angle_cmp0_3599(unsigned int *ptemp);
unsigned char rd_angle_cmp0_255();

unsigned int angle() {
  unsigned char temp[2]={0,0};
  unsigned int ang_now=0;
  rd_angle_cmp0_3599(&temp);
  ang_now=temp[0];
  ang_now<<=8;
  ang_now|=temp[1];
  return(ang_now);
}

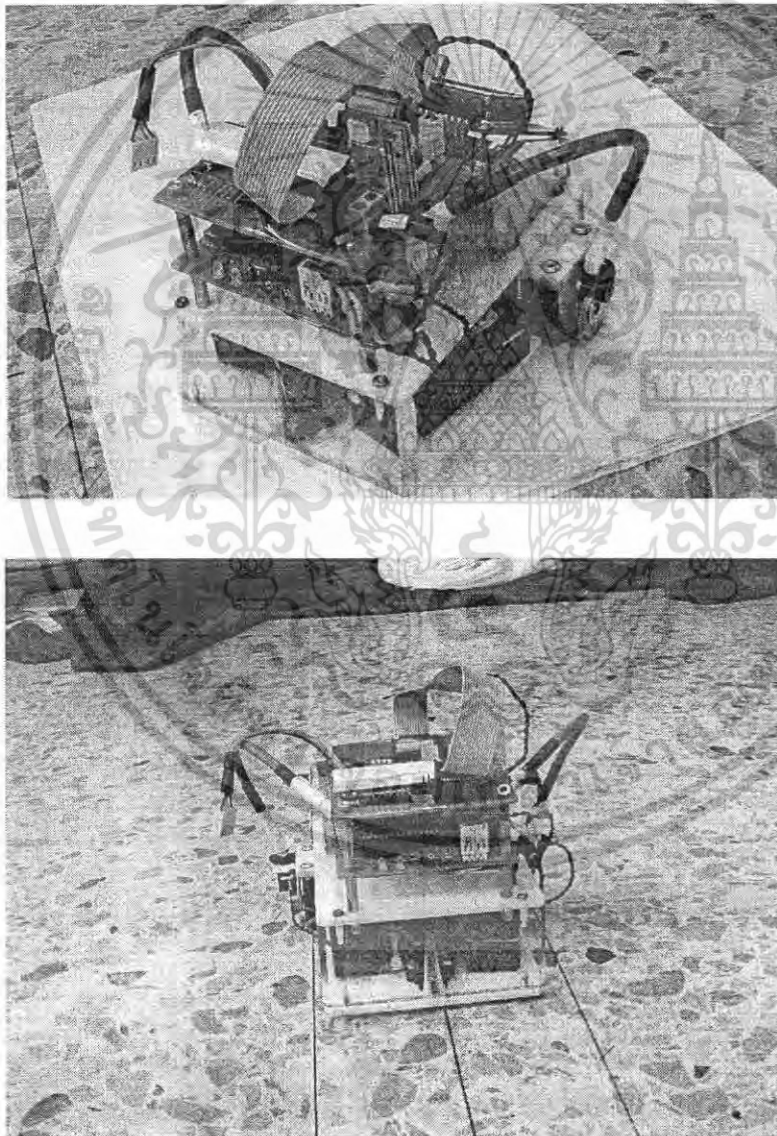
```

รูปที่ 3.10 ตัวอย่างคำสั่ง อ่านค่าจาก โมดูลเข็มทิศสนามแม่เหล็กโลก

เอกสารนี้เป็นเอกสารที่สงวนไว้สำหรับการใช้งานเพื่อการศึกษาเท่านั้น ไม่อนุญาตให้นำไปใช้ประโยชน์ด้านการค้า ไม่ว่ากรณีใดๆ ทั้งสิ้น อีกทั้งห้ามมิให้ตัดแปลงเนื้อหา และต้องอ้างอิงถึงเจ้าของเอกสารทุกครั้งที่มีการนำไปใช้

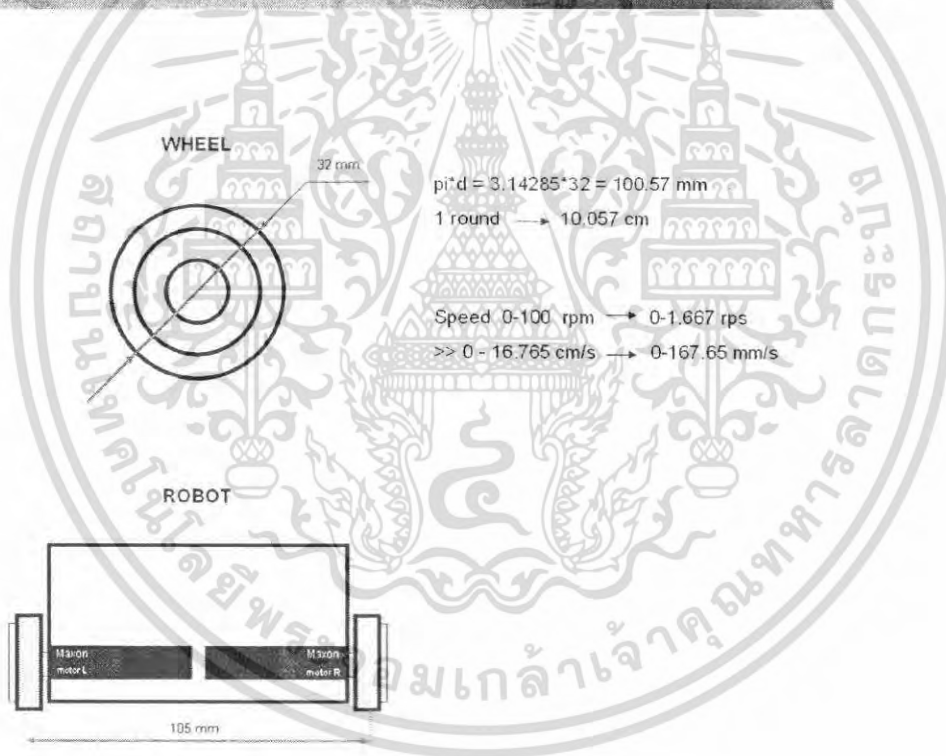
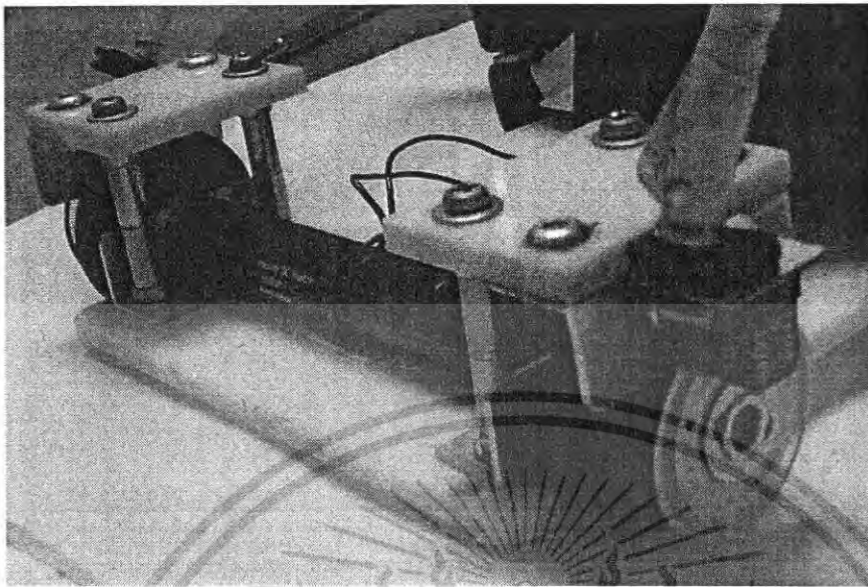
3.4 โครงสร้างทางกายภาพของหุ่นยนต์

หลังจากได้ผังการทำงานโดยรวมของระบบควบคุมแล้ว จึงทำการออกแบบรูปทรงที่เหมาะสมกับวงจรที่เกี่ยวข้องในการขับเคลื่อนหุ่นยนต์ โดยยึดตำแหน่งของมอเตอร์ไฟฟ้ากระแสตรงที่เป็นอิสระต่อกันทั้งสองข้างเป็นหลักในการออกแบบกลไกในการเคลื่อนที่ของหุ่นยนต์ โดยจะยึดมอเตอร์ไว้ในแนวเส้นตรงเดียวกัน มีโรตารีเอ็นโค้ดเดอร์ความละเอียด 200 พัลส์ เพื่อตรวจสอบความเร็ว ใช้แรงดัน 6 โวลต์ ในการควบคุมหุ่นยนต์ มีโมดูลจอแสดงผลแอลซีดีขนาด 16 ตัวอักษร 4 บรรทัด เป็นจอแสดงผล และมีโมดูลเข็มทิศดิจิทัลช่วยในการควบคุมทิศทางของหุ่นยนต์ ดังแสดงในรูปที่ 3.12



รูปที่ 3.11 ภาพรวมทางกายภาพของหุ่นยนต์ในโครงการ

เอกสารนี้เป็นเอกสารที่สงวนไว้สำหรับการใช้งานเพื่อการศึกษาเท่านั้น ไม่อนุญาตให้นำไปใช้ประโยชน์ด้านการค้า ไม่ว่าจะกรณีใดๆ ทั้งสิ้น อีกทั้งห้ามมิให้ตัดแปลงเนื้อหา และต้องอ้างอิงถึงเจ้าของเอกสารทุกครั้งที่มีการนำไปใช้

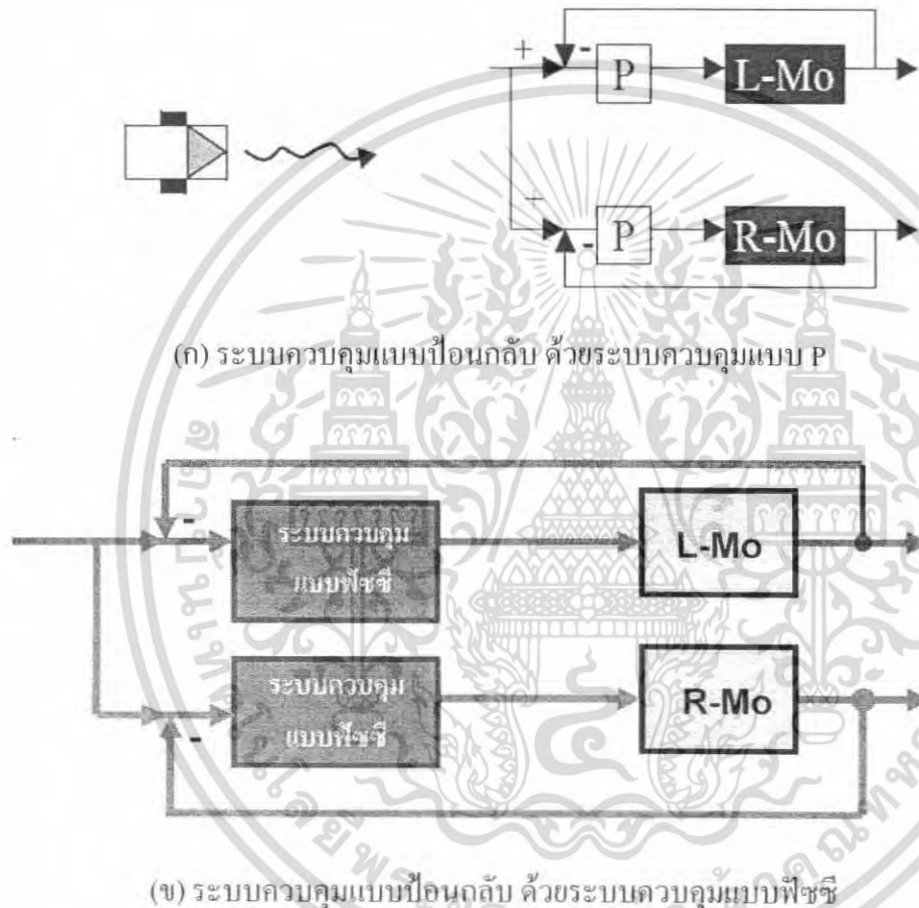


รูปที่ 3.12 การยึดมอเตอร์ในแนวเส้นตรงเดียวกัน

เอกสารนี้เป็นเอกสารที่สงวนไว้สำหรับการใช้งานเพื่อการศึกษาเท่านั้น ไม่อนุญาตให้นำไปใช้ประโยชน์ด้านการค้า ไม่ว่ากรณีใดๆ ทั้งสิ้น อีกทั้งห้ามมิให้ดัดแปลงเนื้อหา และต้องอ้างอิงถึงเจ้าของเอกสารทุกครั้งที่มีการนำไปใช้

3.5 โครงสร้างของระบบควบคุมหุ่นยนต์

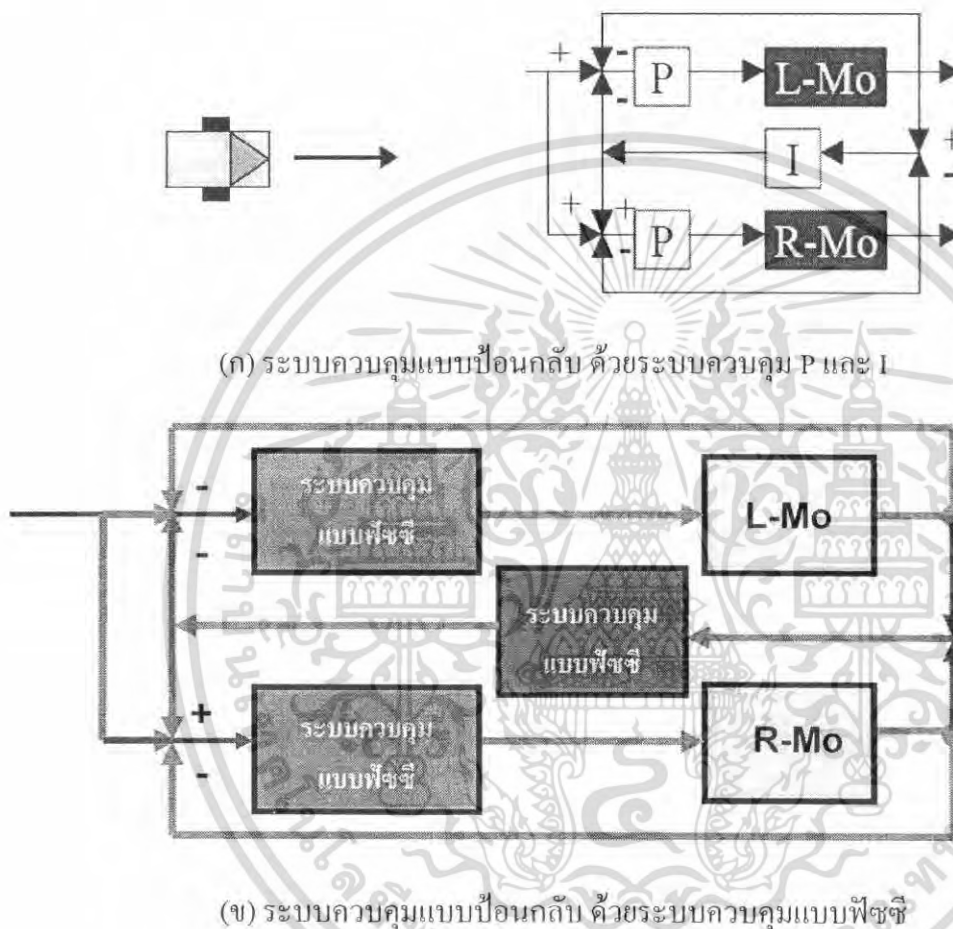
เริ่มพัฒนาจากระบบควบคุมป้อนกลับแยกตัวควบคุมระหว่างมอเตอร์ด้านซ้ายและขวา ดังรูปที่ 3.13 เพื่อศึกษาคุณสมบัติของระบบขั้นต้น ซึ่งมอเตอร์ทั้งสองข้างเป็นอิสระต่อกันไม่สามารถสื่อสารกันได้ โดยใช้สถาปัตยกรรมคอนโทรลเลอร์เป็นระบบควบคุมแบบพีซีซีแทนในส่วนของตัวควบคุมแบบ P



รูปที่ 3.13 ระบบควบคุมป้อนกลับแยกตัวควบคุมระหว่างมอเตอร์ด้านซ้ายและขวา

เอกสารนี้เป็นเอกสารที่สงวนไว้สำหรับการใช้งานเพื่อการศึกษาเท่านั้น ไม่อนุญาตให้นำไปใช้ประโยชน์ด้านการค้า ไม่ว่าจะกรณีใดๆ ทั้งสิ้น อีกทั้งห้ามมิให้ตัดแปลงเนื้อหา และต้องอ้างอิงถึงเจ้าของเอกสารทุกครั้งที่มีการนำไปใช้

เมื่อทำการควบคุมแบบแยกตัวควบคุมมอเตอร์ด้านซ้ายและด้านขวาซึ่งไม่มีการเปรียบเทียบความเร็วของล้อทั้งซ้ายและขวา เพื่อต้องการควบคุมความเร็วของมอเตอร์ให้ดีขึ้น ต่อมาได้พัฒนา ระบบควบคุมเป็น ระบบควบคุมป้อนกลับที่เพิ่มตัวควบคุมเพื่อชดเชยค่าที่ได้จากตัวควบคุมระหว่างมอเตอร์ด้านซ้ายและขวา ดังรูปที่ 3.14

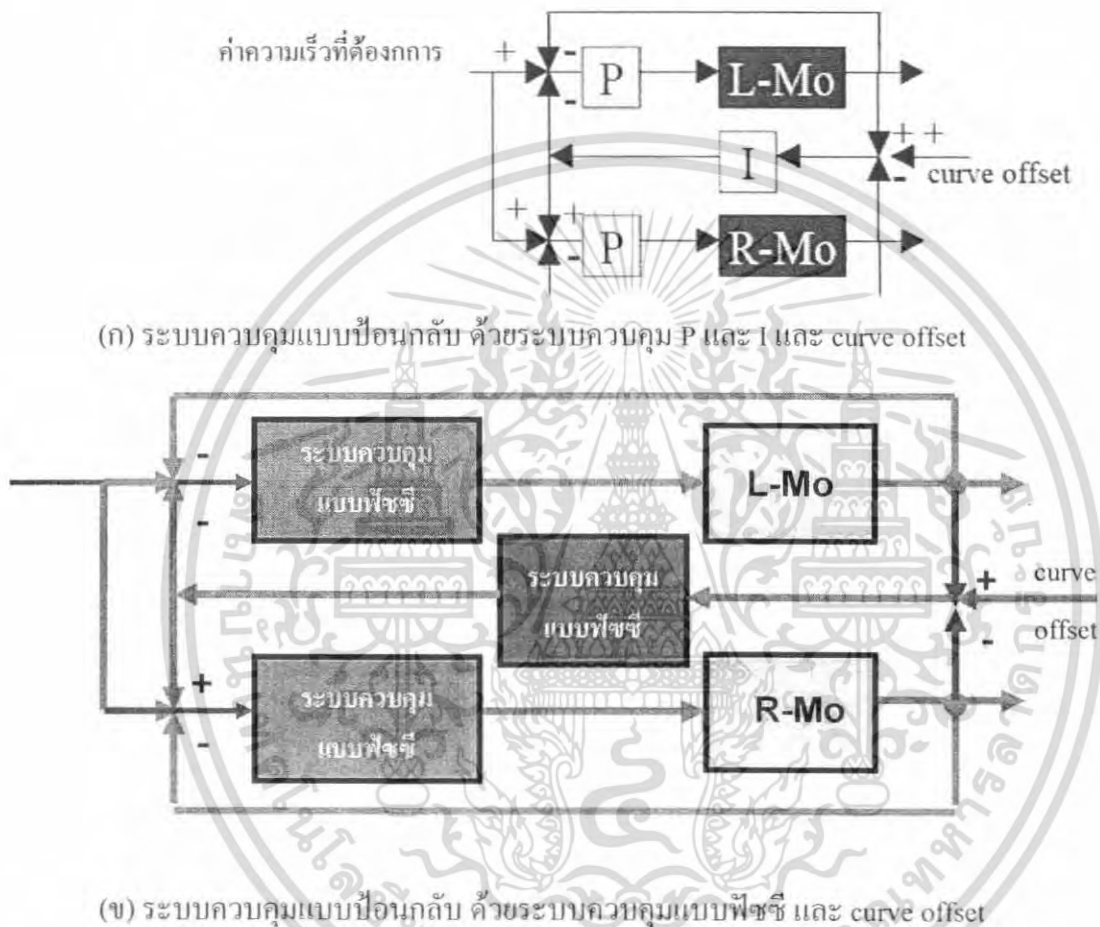


รูปที่ 3.14 ระบบควบคุมป้อนกลับซึ่งเพิ่มตัวควบคุมเพื่อชดเชยค่าที่ได้จากตัวควบคุมระหว่างมอเตอร์ด้านซ้ายและขวา

โดยในการพัฒนาในโครงการ จะใช้มาสเตอร์คอนโทรลเลอร์ทำหน้าที่เป็นตัวควบคุมในส่วนการชดเชยความเร็วระหว่างมอเตอร์ซ้ายและขวา ซึ่งถูกวัดและส่งมาจากสลาฟไมโครคอนโทรลเลอร์

เอกสารนี้เป็นเอกสารที่สงวนไว้สำหรับการใช้งานเพื่อการศึกษาเท่านั้น ไม่อนุญาตให้นำไปใช้ประโยชน์ด้านการค้าไม่ว่ากรณีใดๆ ทั้งสิ้น อีกทั้งห้ามมิให้ตัดแปลงเนื้อหา และต้องอ้างอิงถึงเจ้าของเอกสารทุกครั้งที่มีการนำไปใช้

ส่วนขั้นตอนสุดท้ายของการพัฒนาระบบควบคุม เมื่อได้เพิ่มตัวควบคุมเพื่อชดเชยค่าที่ได้จากตัวควบคุมระหว่างมอเตอร์ด้านซ้ายและขวา ซึ่งไม่มีการควบคุมตำแหน่งการเคลื่อนที่ของหุ่นยนต์ ต่อมาได้เพิ่มการสื่อสารจากวงจรเข็มทิศดิจิทัลเข้ามาในระบบ เพื่อช่วยในการชดเชยค่ามุมที่เปลี่ยนไปจากการเคลื่อนที่ของหุ่นยนต์ ดังรูปที่ 3.15



รูปที่ 3.15 ระบบควบคุมป้อนกลับ โดยเพิ่มตัวควบคุมเพื่อชดเชย ค่าที่ได้จากตัวควบคุมระหว่างระหว่างมอเตอร์ซ้าย และ ขวาและ ค่ามุมที่เปลี่ยนจากมุมเริ่มต้นการวิ่ง

เอกสารนี้เป็นเอกสารที่สงวนไว้สำหรับการใช้งานเพื่อการศึกษาเท่านั้น ไม่อนุญาตให้นำไปใช้ประโยชน์ด้านการค้า ไม่ว่ากรณีใดๆ ทั้งสิ้น อีกทั้งห้ามมิให้ตัดแปลงเนื้อหา และต้องอ้างอิงถึงเจ้าของเอกสารทุกครั้งที่มีการนำไปใช้

บทที่ 4

การทดลอง

ในบทนี้ จะกล่าวถึงการทดลองและผลการทดลอง การปรับแต่งกฎของฟัซซีด้วย MATLAB การเขียนโปรแกรมควบคุมด้วยภาษา C และการทำงานของระบบควบคุมอัตโนมัติแบบฟัซซีเพื่อควบคุมความเร็วของมอเตอร์ไฟฟ้ากระแสตรง โดยมีรายละเอียดของการทดลองดังนี้

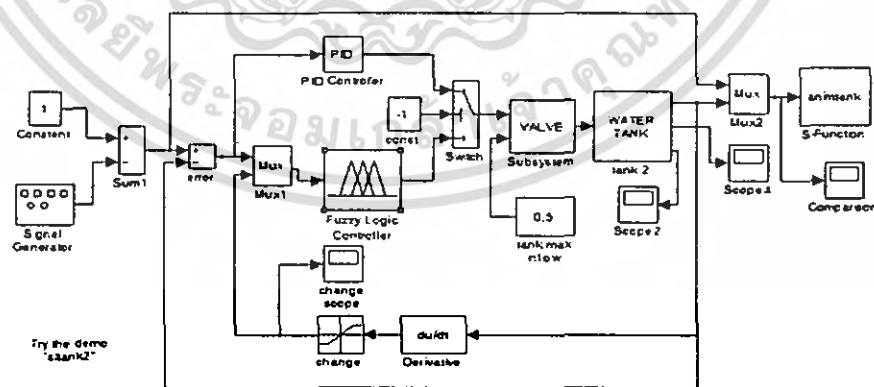
4.1 การทดลองการปรับแต่งกฎของฟัซซีด้วย MATLAB

ในส่วนนี้ เป็นการศึกษาเฉพาะส่วนการปรับแต่งกฎของฟัซซีด้วย MATLAB ซึ่งใช้ฟังก์ชัน Simulink ใน โปรแกรม MATLAB ช่วยในการจำลองตัวควบคุมแบบฟัซซี เพื่อศึกษาแนวโน้มในการปรับแต่งในรูปแบบต่างๆ ตามทฤษฎีมอเตอร์ เปรียบเทียบกับตัวควบคุมแบบ PID ซึ่งเป็นระบบควบคุมที่นิยมใช้กันมากในยุคปัจจุบัน ได้ผลการทดลองดังนี้

4.1.1 ผลกระทบจากการเลือกฟังก์ชันการเป็นสมาชิกของฟัซซีเซต

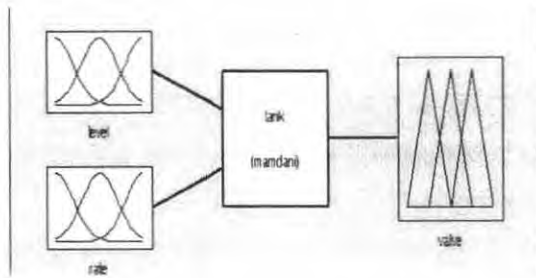
ที่มาของการทดลอง เนื่องจากระบบควบคุมแบบฟัซซีมีรูปแบบฟังก์ชันการเป็นสมาชิกของฟัซซีเซตถึง 5 แบบแต่ มีเพียง 3 รูปแบบที่ง่ายต่อการเขียน โปรแกรมจึงทำการจำลองเพื่อเปรียบเทียบขั้นตอนการทดลอง

เลือกแบบจำลองระบบควบคุมฟัซซีจาก แบบจำลองระบบควบคุมระดับน้ำ ของโปรแกรม Simulink ในโปรแกรม MATLAB

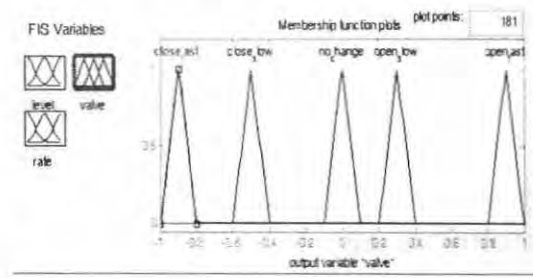


รูปที่ 4.1 แบบจำลองระบบควบคุมระดับน้ำจาก แบบจำลอง ของ Simulink ใน MATLAB

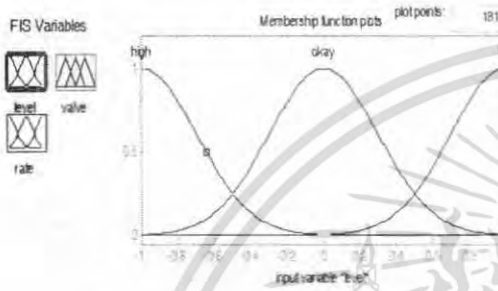
เอกสารนี้เป็นเอกสารที่สงวนไว้สำหรับการใช้งานเพื่อการศึกษาเท่านั้น ไม่อนุญาตให้นำไปใช้ประโยชน์ด้านการค้าไม่ว่ากรณีใดๆ ทั้งสิ้น อีกทั้งห้ามมิให้ตัดแปลงเนื้อหา และต้องอ้างอิงถึงเจ้าของเอกสารทุกครั้งที่มีการนำไปใช้



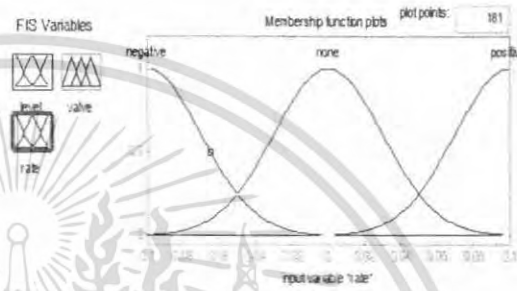
รูปที่ 4.2 แบบจำลองของตัวควบคุมฟัซซีที่ใช้ในการควบคุม



รูปที่ 4.3 รูปแบบฟังก์ชันการเป็นสมาชิกเอาต์พุต valve



รูปที่ 4.4 รูปแบบฟังก์ชันการเป็นสมาชิกอินพุต level

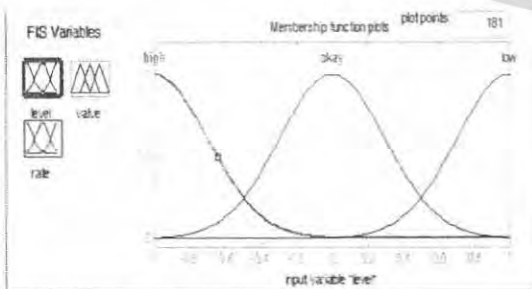


รูปที่ 4.5 รูปแบบฟังก์ชันการเป็นสมาชิกอินพุต rate

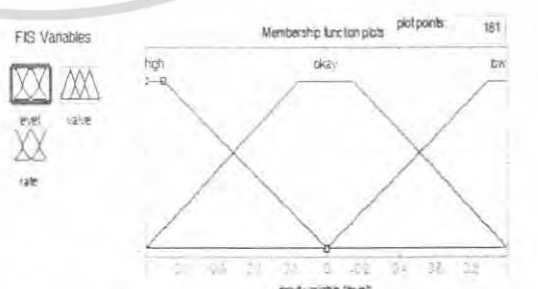
- If (level is okay) then (valve is no_change)
- If (level is low) then (valve is open_fast)
- If (level is high) then (valve is close_fast)
- If (level is okay) and (rate is positive) then (valve is close_slow)
- If (level is okay) and (rate is negative) then (valve is open_slow)

รูปที่ 4.6 กฎที่ใช้ในการออกแบบตัวควบคุม

ทดลองปรับรูปแบบฟังก์ชันการเป็นสมาชิกของฟัซซีเซตรูปแบบต่างๆและบันทึกผล



รูปที่ 4.7 รูปแบบฟังก์ชันการเป็นสมาชิกที่ยากต่อการเขียน โปรแกรม

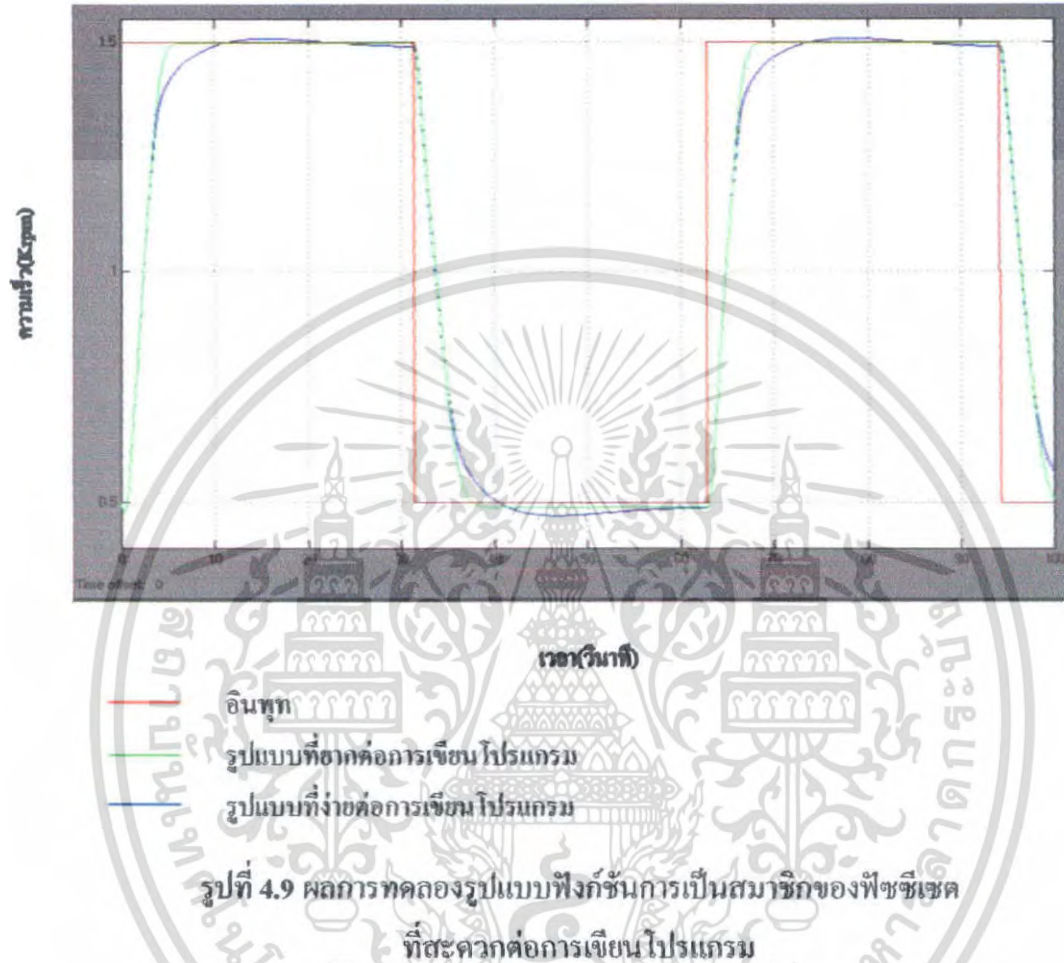


รูปที่ 4.8 รูปแบบฟังก์ชันการเป็นสมาชิกที่ง่ายต่อการเขียน โปรแกรม

เอกสารนี้เป็นเอกสารที่สงวนไว้สำหรับการใช้งานเพื่อการศึกษาเท่านั้น ไม่อนุญาตให้นำไปใช้ประโยชน์ด้านการค้าไม่ว่ากรณีใดๆ ทั้งสิ้น อีกทั้งห้ามมิให้ดัดแปลงเนื้อหา และต้องอ้างอิงถึงเจ้าของเอกสารทุกครั้งที่มีการนำไปใช้

เปรียบเทียบผลที่ได้จากการเปลี่ยนแปลงฟังก์ชันการเป็นสมาชิกของฟัซซีเซต

สรุป และ วิเคราะห์ ผลการทดลอง

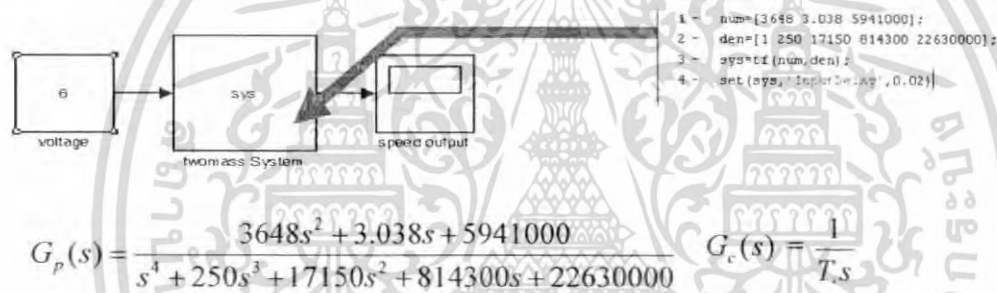


จากผลที่ได้รูปที่ 4.9 ด้านซ้าย เป็นผลจากรูปแบบฟังก์ชันการเป็นสมาชิกของฟัซซีเซตที่ง่ายต่อการเขียน โปรแกรม เมื่อเทียบกับกราฟสีเขียวที่เป็นผลจากรูปแบบฟังก์ชันการเป็นสมาชิกของฟัซซีเซตที่ยากต่อการเขียน โปรแกรม จะเห็นได้ว่าผลที่ได้ กราฟสีเขียว เมื่อเทียบกับ ค่าอินพุต กราฟสีแดง จากรูปกราฟสีเขียวจะมี ค่าพุ่งเกิน มากกว่า กราฟสีน้ำเงิน ซึ่งไม่มีค่า ออฟเซต และมีค่าเวลาเข้า t_s (Settling time) เร็วกว่า จึงสรุปว่าควรใช้รูปแบบฟังก์ชันการเป็นสมาชิกของฟัซซีเซตที่ง่ายต่อการเขียน โปรแกรม ในการตั้งรูปแบบฟังก์ชันการเป็นสมาชิกของฟัซซีเซตที่จะนำไปใช้ต่อไปในการเขียน โปรแกรม

เอกสารนี้เป็นเอกสารที่สงวนไว้สำหรับการใช้งานเพื่อการศึกษาเท่านั้น ไม่อนุญาตให้นำไปใช้ประโยชน์ด้านการค้า ไม่ว่ากรณีใดๆ ทั้งสิ้น อีกทั้งห้ามมิให้ตัดแปลงเนื้อหา และต้องอ้างอิงถึงเจ้าของเอกสารทุกครั้งที่มีการนำไปใช้

4.1.2 เปรียบเทียบการทำงานระหว่างระบบควบคุมฟัซซีแบบ I กับ ระบบควบคุมแบบ I ของระบบสองมวล

ที่มาของการทดลอง เนื่องจากระบบควบคุมแบบ I จะใช้ในการแก้ปัญหา ออฟเซ็ท ของระบบ โดยจะเข้าไปกำจัดค่า ออฟเซ็ท ที่ยังคงมีอยู่ให้ระบบเข้าสู่ ค่าอ้างอิง ตามค่าเวลาสะสม (Integral Time) ที่กำหนด ซึ่งค่าที่กำหนดให้เวลาสะสมนั้นหากมีค่าน้อยเกินไปจะเข้าสู่ ค่าอ้างอิง อย่างรวดเร็ว แต่จะเกิดการกระเพื่อม (Hinting) ของกระบวนการ (Process) มากขึ้นตามมาด้วย และหากกำหนดค่าเวลาสะสมมากเกินไปจะเกิดการกระเพื่อมของกระบวนการน้อย แต่จะใช้เวลานานกว่าระบบจะเข้าสู่ค่าอ้างอิง ด้วยเหตุนี้จึงสมควรใช้ระบบควบคุมฟัซซีแบบ I แทนเพื่อสะดวกแก่การเปลี่ยนแปลงค่า I ให้เหมาะสมกับระบบตามสถานการณ์ และให้ผลลัพธ์ที่ดีกว่าเดิม ซึ่งในการทดลองนี้ได้ใช้สำหรับควบคุมระบบสองมวล ให้มีเสถียรภาพ และเปรียบเทียบการทำงานจากระบบควบคุมแบบฟัซซีแบบ I กับระบบควบคุมแบบ I

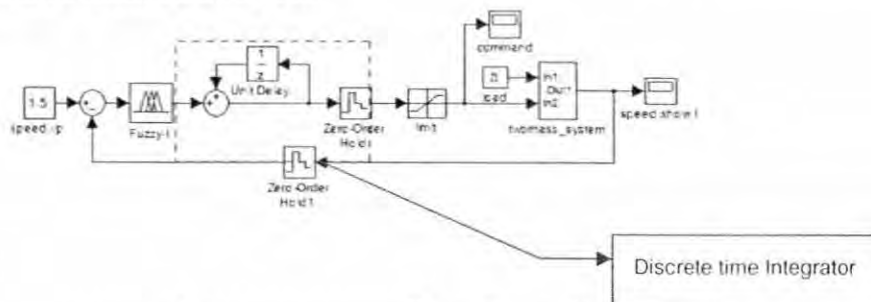


รูปที่ 4.10 แบบจำลองของระบบสองมวล

โดยที่ G_p คือแบบจำลองทางคณิตศาสตร์ของระบบสองมวล
 $G_c(s)$ คือแบบจำลองทางคณิตศาสตร์ของระบบควบคุมแบบ I
 ค่าอ้างอิงคือ 1,500 รอบต่อนาที

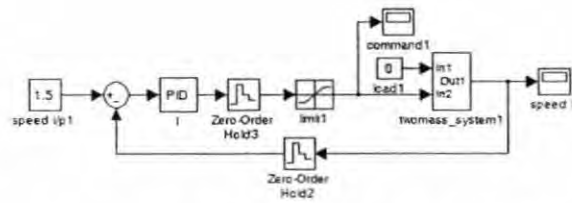
ขั้นตอนการทดลอง

สร้างระบบควบคุมแบบป้อนกลับด้วยระบบควบคุมแบบ ฟัซซีแบบ I และระบบควบคุมแบบ I จาก Simulink ในโปรแกรม MATLAB



(ก) แบบจำลองระบบควบคุมป้อนกลับแบบฟัซซีแบบ I

เอกสารนี้เป็นเอกสารที่สงวนไว้สำหรับการใช้งานเพื่อการศึกษาเท่านั้น ไม่นำไปใช้ประโยชน์ด้านการค้า ไม่ว่ากรณีใดๆ ทั้งสิ้น อีกทั้งห้ามมิให้ตัดแปลงเนื้อหา และต้องอ้างอิงถึงเจ้าของเอกสารทุกครั้งที่มีการนำไปใช้

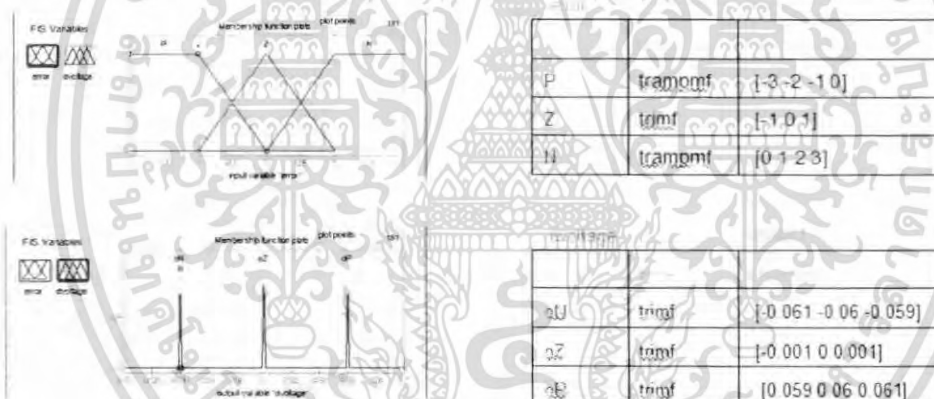


(จ) แบบจำลองการควบคุมแบบ I

รูปที่ 4.11 แบบจำลองระบบควบคุมแบบป้อนกลับด้วย ฟิชซีแบบ I และระบบควบคุมแบบ I

ของระบบสองมวล

ปรับแต่งค่าเริ่มต้นของระบบควบคุมแบบ ฟิชซีแบบ I และระบบควบคุมแบบ I เพื่อให้ได้ผลดีที่สุดของระบบควบคุมทั้งสองแบบ ในที่นี้ระบบควบคุมแบบ I ใช้ค่า $K_i = \frac{1}{T} = 5.5$ และในส่วนของการควบคุมแบบ ฟิชซีแบบ I ปรับค่าฟังก์ชันการเป็นสมาชิก และกฎการควบคุม ดังรูปที่ 4.12



(ก) รูปแสดงการปรับแต่งฟังก์ชันการเป็นสมาชิกฟิชซี I

If (error is Z) then (dvoltage is oZ) (1)

If (error is P) then (dvoltage is oN) (1)

If (error is N) then (dvoltage is oP) (1)

(ข) กฎการควบคุมฟิชซี I

รูปที่ 4.12 ค่าการปรับแต่งฟังก์ชันการเป็นสมาชิก และกฎการควบคุมของฟิชซีแบบ I

ของระบบสองมวล

เอกสารนี้เป็นเอกสารที่สงวนไว้สำหรับการใช้งานเพื่อการศึกษาเท่านั้น ไม่อนุญาตให้นำไปใช้ประโยชน์ด้านการค้า ไม่ว่าจะกรณีใดๆ ทั้งสิ้น อีกทั้งห้ามมิให้ตัดแปลงเนื้อหา และต้องอ้างอิงถึงเจ้าของเอกสารทุกครั้งที่มีการนำไปใช้

บันทึกค่าเอาต์พุต ของระบบทั้งสอง เพื่อนำมาเปรียบเทียบกัน

สรุป และ วิเคราะห์ ผลการทดลอง



รูปที่ 4.13 ผลการทดลองเปรียบเทียบระหว่าง ฟัซซีแบบ I กับ ระบบควบคุมแบบ I ของระบบสองมวล

จากรูปที่ 4.13 แสดงระบบควบคุมแบบ ฟัซซีแบบ I ให้เอาต์พุตใกล้เคียงกับระบบควบคุมแบบ I โดยมีการกระเพื่อมน้อยกว่า สนับสนุนจุดประสงค์ของการทดลองตามที่ได้กล่าวไว้ข้างต้น

4.1.3 เปรียบเทียบการทำงานระหว่างระบบควบคุมฟัซซีแบบ PI กับระบบควบคุมแบบ PI ของระบบสองมวล

ที่มาของการทดลอง คล้ายกับการทดลองที่ 4.1.2 แต่เพิ่มพจน์ P เข้าไปซึ่งสัญญาณควบคุมจะมีขนาดเป็นสัดส่วนกับขนาดของค่า $e(t)$ จึงสามารถช่วยเร่งให้ระบบเข้าสู่ ค่าอ้างอิง ได้รวดเร็วขึ้น แต่สัญญาณวัดของตัวแปรแทรกซ้อน จะมีค่าเท่ากับค่าเป้าหมายที่สภาวะการทำงาน และสภาพแวดล้อมค่าใดค่าหนึ่งเท่านั้น ถ้าสภาวะการทำงาน และสภาพแวดล้อมเปลี่ยนแปลงไปจากค่าเดิม จะเกิดสัญญาณรบกวน (Disturbance) ขึ้น แต่เมื่อทำงานร่วมกับพจน์ I ซึ่งมีการดำเนินการอินทิกรัล (Integral Action) เพื่อทำหน้าที่กำจัด ออฟเซต โดยความไวในการกำจัด ออฟเซต จะขึ้นกับค่า T_i แต่หากเพิ่มอินทิกรัลแอกชัน มากจะมีคาพาซิตีแล็ก (Capacity Lag) เข้าไปในระบบไม่ว่ากรณีใดๆ ทั้งสิ้น อีกทั้งห้ามมิให้ตัดแปลงเนื้อหา และต้องอ้างอิงถึงเจ้าของเอกสารทุกครั้งที่มีการนำไปใช้

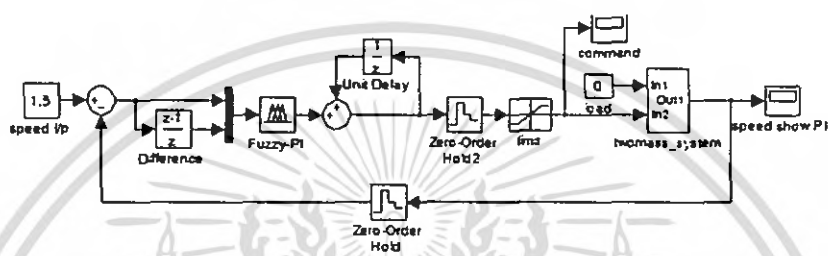
ควบคุม ทำให้ตัวแปรกระบวนการ เปลี่ยนแปลงเข้าสู่ ค่าอ้างอิง ได้ช้าลงจึงใช้ระบบควบคุมแบบ ฟัซซี PI ทดแทนในส่วนการปรับค่า K_p และ T_i ให้เหมาะสมกับระบบตามสถานการณ์ และให้ ผลลัพธ์ที่ดีกว่าเดิม โดยมีแบบจำลองทางคณิตศาสตร์ของระบบควบคุมแบบ PI คือ

$$G_c(s) = K_p \left(1 + \frac{1}{T_i s} \right)$$

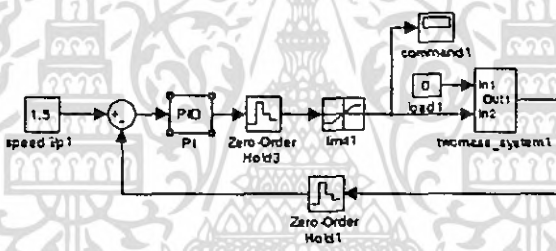
และมีค่าอ้างอิง คือ 1,500 รอบต่อนาที

ขั้นตอนการทดลอง

สร้างระบบควบคุมแบบป้อนกลับด้วยระบบควบคุมแบบฟัซซีแบบ PI และระบบควบคุมแบบ PI จาก Simulink ในโปรแกรม MATLAB



(ก) แบบจำลองระบบควบคุมป้อนกลับแบบฟัซซีแบบ PI

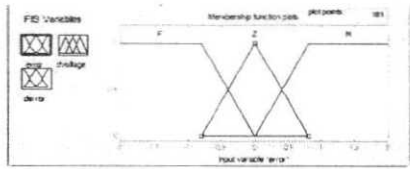


(ข) แบบจำลองระบบควบคุมแบบ PI

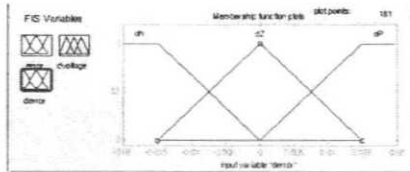
รูปที่ 4.14 แบบจำลองระบบควบคุมแบบป้อนกลับด้วยฟัซซีแบบ PI และระบบควบคุมแบบ PI ของระบบสองมวล

ในส่วนของระบบควบคุมแบบ ฟัซซีแบบ PI จะมี อินพุต 2 ตัว เป็น error และ Difference error ซึ่งเมื่อเจอกับ อินทิกรัล แอคชัน จะถูกแปลงให้เสมือนเป็น K_p และ K_i ในระบบควบคุมแบบ PI จากนั้นปรับแต่งค่าเริ่มต้นของระบบควบคุมแบบ ฟัซซีแบบ PI และระบบควบคุมแบบ PI เพื่อให้ ได้ผลดีที่สุดของระบบควบคุมทั้งสองแบบ ในที่นี้ระบบควบคุมแบบ PI ใช้ค่า $K_p = 0.1$ และ $K_i = \frac{K_p}{T_i} = 5.5$ สำหรับในส่วนของระบบควบคุมแบบฟัซซีแบบ PI ปรับค่า ฟังก์ชันการเป็น สมาชิก และ กฎการควบคุม ดังรูปที่ 4.15

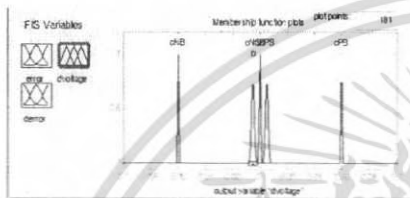
เอกสารนี้เป็นเอกสารที่สงวนไว้สำหรับการใช้งานเพื่อการศึกษาเท่านั้น ไม่อนุญาตให้นำไปใช้ประโยชน์ด้านการค้า ไม่ว่ากรณีใดๆ ทั้งสิ้น อีกทั้งห้ามมิให้ตัดแปลงเนื้อหา และต้องอ้างอิงถึงเจ้าของเอกสารทุกครั้งที่มีการนำไปใช้



error	Type	Parameter
P	trapezmf	[-3 -2 -0.8 0]
Z	trimf	[-0.8 0 0.8]
N	trapezmf	[0 0.8 2 3]



derror	Type	Parameter
dN	trapezmf	[-0.8 -0.4 -0.015 0]
dZ	trimf	[-0.015 0 0.015]
dP	trapezmf	[0 0.015 0.4 0.8]



dvoltage	Type	Parameter
oNB	trimf	[-0.061 -0.06 -0.059]
oNS	trimf	[-0.007 -0.005 -0.003]
oN	trimf	[-0.0001 0 0.0001]
oPS	trimf	[0 0.03 0.035 0.007]
oPB	trimf	[0 0.059 0.06 0.061]

(ก) การปรับแต่งฟังก์ชันการเป็นสมาชิกฟัซซี่ PI

- If (error is Z) then (dvoltage is oZ) (1)
- If (error is P) then (dvoltage is oNB) (1)
- If (error is N) then (dvoltage is oPB) (1)
- If (error is P) and (derror is dZ) then (dvoltage is oNS) (1)
- If (error is P) and (derror is dN) then (dvoltage is oNS) (1)
- If (error is N) and (derror is dZ) then (dvoltage is oPS) (1)
- If (error is N) and (derror is dP) then (dvoltage is oPS) (1)

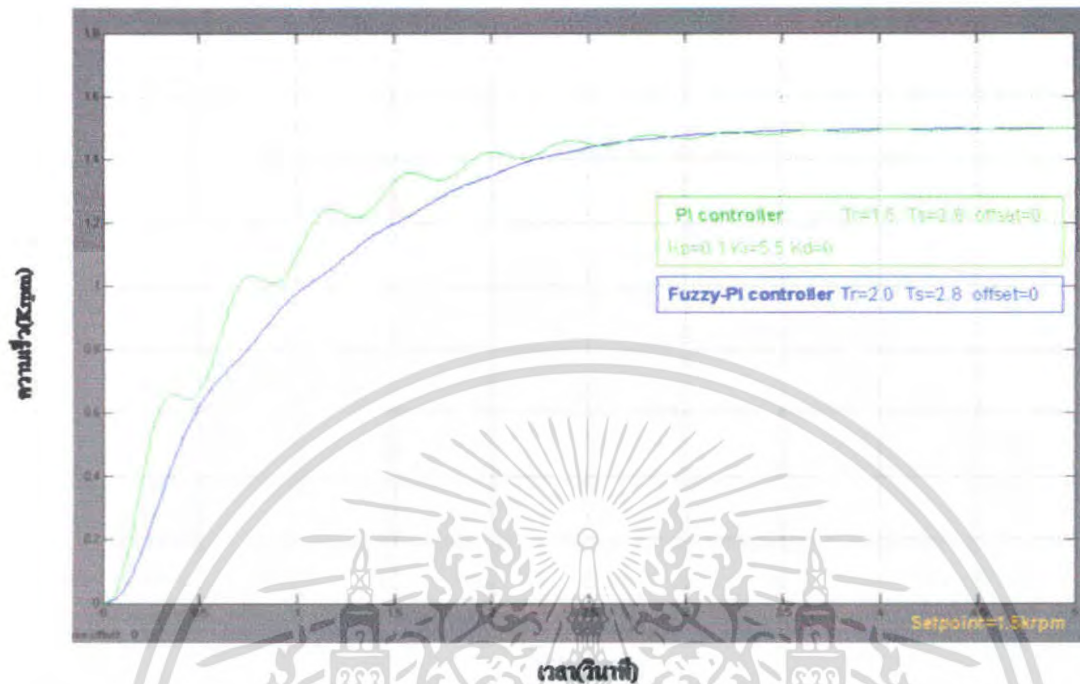
(ข) กฎการควบคุมฟัซซี่ PI

รูปที่ 4.15 ค่าการปรับแต่ง ฟังก์ชันการเป็นสมาชิก และ กฎการควบคุม ของระบบควบคุมแบบ ฟัซซี่แบบ PI ของระบบสองมวล

บันทึกค่าเอาต์พุต ของระบบทั้งสอง เพื่อนำมาเปรียบเทียบกัน

เอกสารนี้เป็นเอกสารที่สงวนไว้สำหรับการใช้งานเพื่อการศึกษาเท่านั้น ไม่อนุญาตให้นำไปใช้ประโยชน์ด้านการค้า ไม่ว่ากรณีใดๆ ทั้งสิ้น อีกทั้งห้ามมิให้ตัดแปลงเนื้อหา และต้องอ้างอิงถึงเจ้าของเอกสารทุกครั้งที่มีการนำไปใช้

สรุป และ วิเคราะห์ ผลการทดลอง



รูปที่ 4.16 ผลการทดลองเปรียบเทียบระหว่าง ฟัซซีแบบ PI กับระบบควบคุมแบบ PI ของระบบสองมวล

จากรูปที่ 4.16 แสดงว่าระบบควบคุมแบบ ฟัซซีแบบ PI ให้เอาต์พุตดีกว่าระบบควบคุมแบบ PI โดยพบว่าไม่มีการแกว่งของกราฟ ดังนั้นจึงยังคงสนับสนุนจุดประสงค์ของการทดลองตามที่ได้กล่าวไว้ข้างต้น

4.1.4 เปรียบเทียบการทำงานระหว่างระบบควบคุมฟัซซีแบบ PI+PD กับระบบควบคุมแบบ PID ของระบบสองมวล

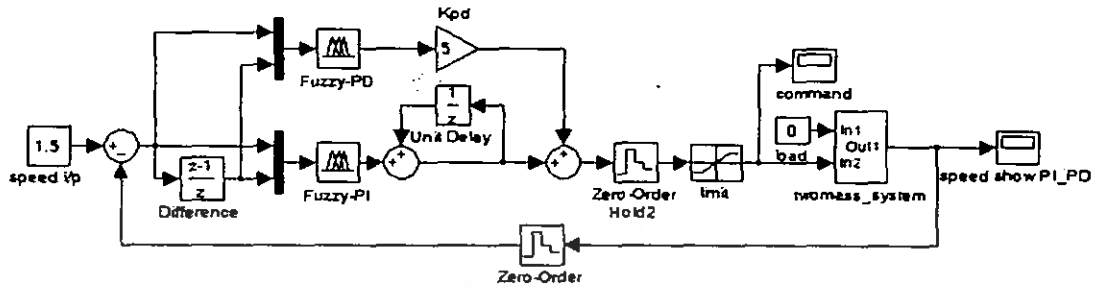
ที่มาของการทดลอง คล้ายกับการทดลองที่ 2 และ 3 แต่เพิ่มพจน์ D เข้าไปซึ่งมีเดริเวทีฟแอกชัน (Derivative Action) เพื่อให้ผลตอบสนองของระบบต่อสิ่งรบกวนไวขึ้น โดยขึ้นอยู่กับค่า T_d แต่ระบบจะมีความไวต่อสัญญาณรบกวนเป็นอย่างมากหากมีการรบกวนจากตัวรบกวน อาจจะทำให้เกิดความผิดพลาดของผลตอบสนองอย่างมาก ด้วยเหตุนี้จึงสมควรใช้ระบบควบคุมฟัซซีแบบ PI+PD ทดแทนในส่วนการปรับค่า K_p , T_i และ T_d ให้เหมาะสมกับระบบตามสถานการณ์ และให้ผลลัพธ์ที่ดีกว่าเดิม ซึ่งประกอบด้วยแบบจำลองทางคณิตศาสตร์ของระบบควบคุมแบบ PID คือ

$$G_c = K_p \left(1 + \frac{1}{T_i s} + T_d s \right) \text{ และค่าอ้างอิง คือ } 1,500 \text{ รอบต่อนาที}$$

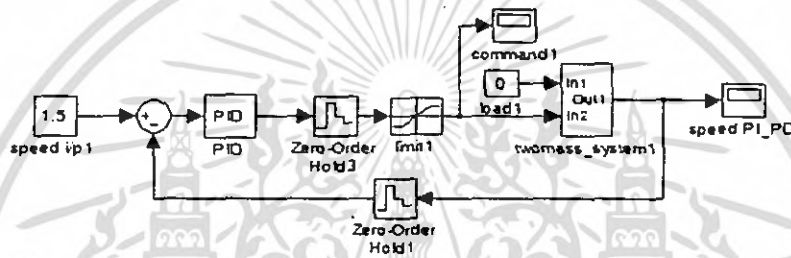
เอกสารนี้เป็นเอกสารที่สงวนไว้สำหรับการใช้งานเพื่อการศึกษาเท่านั้น ไม่อนุญาตให้นำไปใช้ประโยชน์ด้านการค้า ไม่ว่ากรณีใดๆ ทั้งสิ้น อีกทั้งห้ามมิให้ตัดแปลงเนื้อหา และต้องอ้างอิงถึงเจ้าของเอกสารทุกครั้งที่มีการนำไปใช้

ขั้นตอนการทดลอง

สร้างระบบควบคุมแบบป้อนกลับด้วยระบบควบคุมแบบฟัซซีแบบ PI+PD และระบบควบคุมแบบ PID จาก Simulink ในโปรแกรม MATLAB



(ก) แบบจำลองระบบควบคุมป้อนกลับแบบฟัซซีแบบ PI +PD

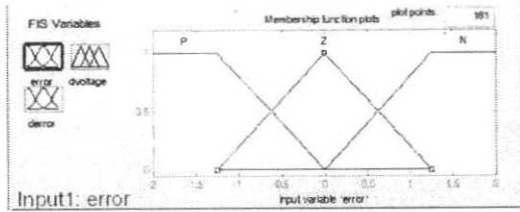


(ข) แบบจำลองระบบควบคุมป้อนกลับแบบฟัซซีแบบ PI + PD

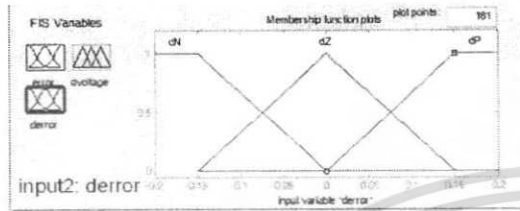
รูปที่ 4.17 แบบจำลองระบบควบคุมแบบป้อนกลับด้วย ฟัซซีแบบ PI+PD และระบบควบคุมแบบ PID ของระบบสองมวล

ในส่วนของระบบควบคุมแบบฟัซซีแบบ PI+PD จะอาศัยอินพุตแบบค่าผิดพลาด (error) และผลต่างของค่าผิดพลาด (Difference error) จากระบบควบคุมแบบ ฟัซซีแบบ PI อีก 1 ชุดเมื่อไม่มี อินทิกรัลแอกชันมาหักล้าง Difference error จะทำหน้าที่เสมือน เคริเวทีฟแอกชัน และจะถูกแปลง ให้เสมือนเป็น K_p , K_i และ K_d ในระบบควบคุมแบบ PID จากนั้นปรับแต่งค่าเริ่มต้นของระบบ ควบคุมแบบฟัซซีแบบ PI+PD และระบบควบคุมแบบ PID เพื่อให้ได้ผลตอบสนองที่ดีที่สุดของ ระบบควบคุมทั้งสองแบบ ในที่นี้ระบบควบคุมแบบ PID ใช้ค่า $K_p = 20$, $K_i = \frac{K_p}{T_i} = 50$ และ $K_d = K_p T_d = 0.8$ สำหรับในส่วนของระบบควบคุมแบบฟัซซีแบบ PI+PD ปรับค่าฟังก์ชัน การเป็นสมาชิก และ กฎการควบคุม ดังรูปที่ 4.18

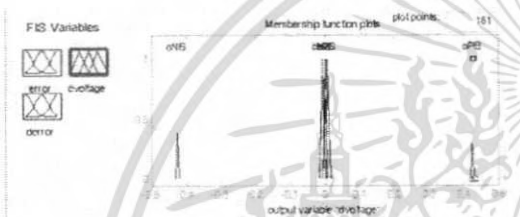
เอกสารนี้เป็นเอกสารที่สงวนไว้สำหรับการใช้งานเพื่อการศึกษาเท่านั้น ไม่อนุญาตให้นำไปใช้ประโยชน์ด้านการค้า ไม่ว่ากรณีใดๆ ทั้งสิ้น อีกทั้งห้ามมิให้ตัดแปลงเนื้อหา และต้องอ้างอิงถึงเจ้าของเอกสารทุกครั้งที่มีการนำไปใช้



Fuzzy Set	Type	Parameters
P	trapezmf	[-3 -2 -1.25 0]
Z	trimf	[-1.25 0 1.25]
N	trapezmf	[0 1.25 2 3]



Fuzzy Set	Type	Parameters
dN	trapezmf	[-8 -4 -0.15 0]
dZ	trimf	[-0.15 0 0.15]
dP	trapezmf	[0 0.15 4 8]



Fuzzy Set	Type	Parameters
oNB	trapezmf	[-0.433 -0.431 -0.429 -0.427]
oNS	trapezmf	[-0.015 -0.006 -0.004 -0.0005]
oZ	trimf	[-0.0001 0 0.0001]
oPS	trapezmf	[-0.005 0.004 0.006 0.015]
oPB	trapezmf	[0.427 0.429 0.431 0.433]

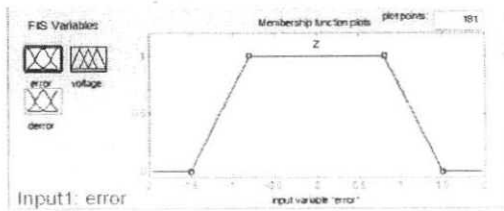
(ก) รูปแสดงการปรับแต่งฟังก์ชันการเป็นสมาชิกฟัซซี PI

- If (error is Z) then (dvoltage is oZ) (1)
- If (error is P) then (dvoltage is oNB) (1)
- If (error is N) then (dvoltage is oPB) (1)
- If (error is P) and (derror is dZ) then (dvoltage is oNS) (1)
- If (error is P) and (derror is dN) then (dvoltage is oNS) (1)
- If (error is N) and (derror is dZ) then (dvoltage is oPS) (1)
- If (error is N) and (derror is dP) then (dvoltage is oPS) (1)

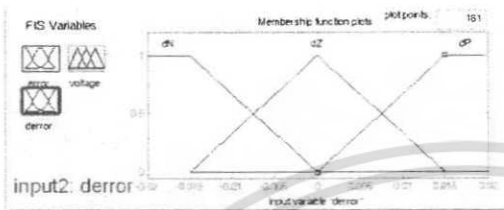
(ข) กฎการควบคุมฟัซซี PI

รูปที่ 4.18 ค่าการปรับแต่ง ฟังก์ชันการเป็นสมาชิก และ กฎการควบคุม ของระบบควบคุมแบบ ฟัซซีแบบ PI ของระบบสองมวล

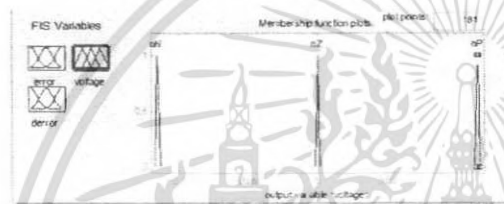
เอกสารนี้เป็นเอกสารที่สงวนไว้สำหรับการใช้งานเพื่อการศึกษาเท่านั้น ไม่อนุญาตให้นำไปใช้ประโยชน์ด้านการค้า ไม่ว่ากรณีใดๆ ทั้งสิ้น อีกทั้งห้ามมิให้ตัดแปลงเนื้อหา และต้องอ้างอิงถึงเจ้าของเอกสารทุกครั้งที่มีการนำไปใช้



error	Type	Initial values
Z	trapmf	[-1.5 -0.8 0.8 1.5]



derror	Type	Initial values
dN	trapmf	[-0.8 -0.4 -0.015 0]
dZ	trimf	[-0.015 0 0.015]
dP	trapmf	[0 0.015 0.4 0.8]



dvoltage	Type	Initial values
oN	trapmf	[-0.117 -0.116 -0.115 -0.114]
oZ	trapmf	[-0.00013 -0.00012 0.00012 0.00013]
oP	trapmf	[0.114 0.115 0.116 0.117]

(ก) รูปแสดงการปรับแต่งฟังก์ชันการเป็นสมาชิกฟัซซี PD

If (error is Z) and (derror is dZ) then (dvoltage is oZ) (1)

If (error is Z) and (derror is dN) then (dvoltage is oNB) (1)

If (error is Z) and (derror is dP) then (dvoltage is oPB) (1)

(ข) กฎการควบคุมฟัซซี PD

รูปที่ 4.19 ค่าการปรับแต่ง ฟังก์ชันการเป็นสมาชิก และ กฎการควบคุม ของระบบควบคุมแบบ ฟัซซีแบบ PD ของระบบสองมวล

บันทึกค่าเอาต์พุต ของระบบทั้งสอง เพื่อนำมาเปรียบเทียบกัน

เอกสารนี้เป็นเอกสารที่สงวนไว้สำหรับการใช้งานเพื่อการศึกษาเท่านั้น ไม่อนุญาตให้นำไปใช้ประโยชน์ด้านการค้า ไม่ว่ากรณีใดๆ ทั้งสิ้น อีกทั้งห้ามมิให้ตัดแปลงเนื้อหา และต้องอ้างอิงถึงเจ้าของเอกสารทุกครั้งที่มีการนำไปใช้

สรุป และ วิเคราะห์ ผลการทดลอง



รูปที่ 4.20 ผลการทดลองเปรียบเทียบระหว่าง ฟัซซี่แบบ PI+PD กับระบบควบคุมแบบ PID ของระบบสองมวล

จากรูปที่ 4.20 แสดงว่าระบบควบคุมแบบ ฟัซซี่แบบ PI+PD ให้เอาต์พุตดีออกกว่าระบบควบคุมแบบ PID เนื่องจากการเขียนระบบให้ ฟัซซี่เป็น PID เลยนั่น มีความยากต่อการเขียนโปรแกรมมาก จึงได้ปรับเปลี่ยนเป็น PI+PD แทน และจากการที่มี อินพุต ในระบบ มากขึ้นจึงทำให้ยากต่อการกำหนดค่า ฟังก์ชันการเป็นสมาชิก และ กฎการควบคุม ที่เหมาะสมเนื่องจากการขาดประสบการณ์ของผู้ทดลอง ดังนั้นผลที่ออกมาจึงดีออกกว่าระบบควบคุมแบบ PID จึงสนับสนุนแนวคิดที่ว่า หากผู้ปรับ ไม่มีความเชี่ยวชาญในระบบเพียงพอ จะทำให้ปรับแต่งตัวควบคุมแบบฟัซซี่ได้ยาก

เอกสารนี้เป็นเอกสารที่สงวนไว้สำหรับการใช้งานเพื่อการศึกษาเท่านั้น ไม่อนุญาตให้นำไปใช้ประโยชน์ด้านการค้าไม่ว่ากรณีใดๆ ทั้งสิ้น อีกทั้งห้ามมิให้ตัดแปลงเนื้อหา และต้องอ้างอิงถึงเจ้าของเอกสารทุกครั้งที่มีการนำไปใช้

4.2 การทดลองเขียนโปรแกรมด้วยภาษา C เพื่อควบคุมระบบสองมวลตามที่ได้ ออกแบบไว้

ที่มาของการทดลอง เพื่อทดสอบว่าระบบควบคุมแบบฟัซซี สามารถใช้งานได้จริงตามที่ได้ออกแบบไว้ในการทดลองที่ 4.1 จริง จึงใช้ภาษา C เขียนโปรแกรมเพื่อควบคุมระบบสองมวลจาก เครื่องคอมพิวเตอร์ และคุณลักษณะที่ได้ว่ามีความใกล้เคียงกับที่ได้ออกแบบไว้หรือไม่

ขั้นตอนการทดลอง

เขียนโปรแกรมด้วยภาษา C เพื่อสร้างระบบควบคุมแบบป้อนกลับด้วยระบบควบคุมแบบ ฟัซซีแบบ I ฟัซซีแบบ PI และระบบควบคุมแบบ ฟัซซีแบบ PI+PD ตามที่ได้ออกแบบไว้จาก Simulink ในโปรแกรม MATLAB

```
//membership function of output of fuzzy PI
#define uN3_pi -0.43
#define uN5_pi -0.005
#define uZ_pi 0
#define uP3_pi 0.005
#define uP5_pi 0.43
//membership function of output of fuzzy PD
#define uN_pd -0.115
#define uZ_pd 0
#define uP_pd 0.115

float value_error=0,value_derror=0;
//fuzzy-PI
float uN3_pi=0,uP_pi=0,uZ_pi=0,uN_pi=0,uN5_pi=0; //degree of membership function of error of fuzzy
float uN1_pi=0,uN2_pi=0,uP_pi=0; //degree of membership function of error of fuzzy
float uN5_pi=0,uN5_pi=0,uZ_pi=0,uP5_pi=0,uP5_pi=0; //degree of membership function of error of fuzzy
float temp_uN5[2]={0,0},temp_uP5[2]={0,0}; //temp variable in rule base
//fuzzy-PD
float uP_pd=0,uZ_pd=0,uN_pd=0; //degree of membership function of error of fuzzy-PD
float uN1_pd=0,uN2_pd=0,uP_pd=0; //degree of membership function of error of fuzzy-PD
float uN1_pd=0,uN2_pd=0,uP_pd=0; //degree of membership function of error of fuzzy-PD

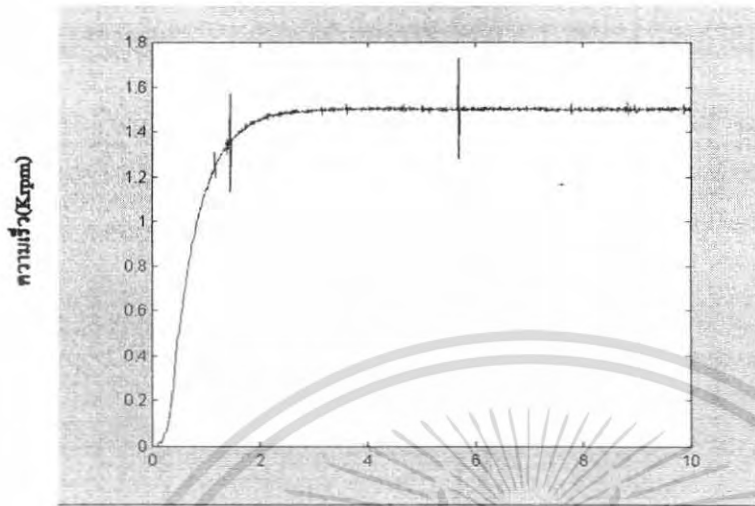
void fuzzifier(unsigned char case_con,float value);
void rule_base();
void inference();
float defuzzifier();
float min(float value1,float value2);
float max(float value1,float value2);
void clear_uMF();
float u_MF(unsigned char case_con,unsigned char mf_con,float value);
```

รูปที่ 4.21 ตัวอย่างการเขียนโปรแกรมด้วยภาษา C

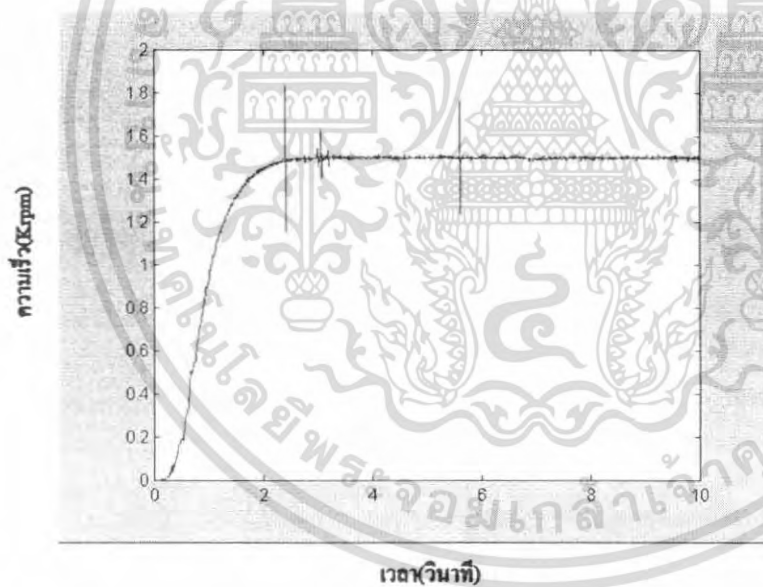
บันทึกค่าเอาต์พุต ของระบบทั้งสาม เพื่อผลเปรียบเทียบกับ ผลการจำลองที่ผ่านมา

เอกสารนี้เป็นเอกสารที่สงวนไว้สำหรับการใช้งานเพื่อการศึกษาเท่านั้น ไม่อนุญาตให้นำไปใช้ประโยชน์ด้านการค้า ไม่ว่ากรณีใดๆ ทั้งสิ้น อีกทั้งห้ามมิให้ตัดแปลงเนื้อหา และต้องอ้างอิงถึงเจ้าของเอกสารทุกครั้งที่มีการนำไปใช้

สรุป และ วิเคราะห์ ผลการทดลอง



(ก) ผลจากการทดลองการควบคุมระบบสองมวลแบบ ฟิชซีแบบ I



(ข) ผลจากการทดลองการควบคุมระบบสองมวลแบบ ฟิชซีแบบ PI

รูปที่ 4.22 ผลจากการเขียน โปรแกรมภาษา C เพื่อควบคุมระบบสองมวล

จากการทดลองสรุปได้ว่าผลที่ได้จากการเขียน โปรแกรม มีค่าใกล้เคียงกับที่จำลองไว้ แม้จะเกิดสัญญาณรบกวน ซึ่งทำให้ค่าการอ่านสัญญาณเพี้ยนไป

เอกสารนี้เป็นเอกสารที่สงวนไว้สำหรับการใช้งานเพื่อการศึกษาเท่านั้น ไม่อนุญาตให้นำไปใช้ประโยชน์ด้านการค้า ไม่ว่ากรณีใดๆ ทั้งสิ้น อีกทั้งห้ามมิให้ตัดแปลงเนื้อหา และต้องอ้างอิงถึงเจ้าของเอกสารทุกครั้งที่มีการนำไปใช้

4.3 การทดลองควบคุมหุ่นยนต์โดยไมโครคอนโทรลเลอร์

ในการทดลองนี้มีจุดประสงค์เพื่อประยุกต์การใช้งานของระบบควบคุมอัตโนมัติแบบพีซี ซึ่งเป็นอินทิเกรตคอนโทรลที่มีจุดเด่นหลายประการ โดยประยุกต์ใช้กับระบบควบคุมความเร็วของมอเตอร์ไฟฟ้ากระแสตรง เพื่อใช้ในระบบควบคุมทิศทางเคลื่อนที่แบบเส้นตรงของหุ่นยนต์ให้สามารถใช้งานได้จริง ซึ่งทำการทดลองดังนี้

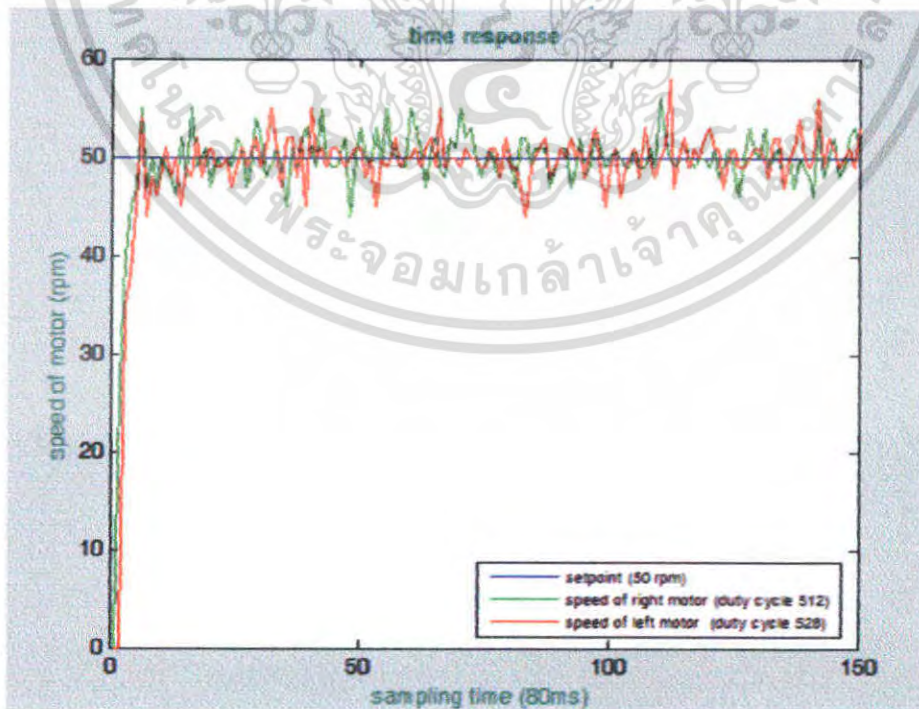
4.3.1 เพื่อทดสอบระบบควบคุมความเร็วของหุ่นยนต์เมื่อใช้ระบบควบคุมแบบเปิด

ที่มาของการทดลอง เนื่องจากระบบควบคุมแบบเปิด เป็นระบบพื้นฐานก่อนจะพัฒนาไปสู่ระบบควบคุมแบบอื่น จึงทำการทดลองเพื่อบันทึกผลไว้สำหรับเปรียบเทียบกับระบบควบคุมในลำดับต่อไป

ขั้นตอนการทดลอง

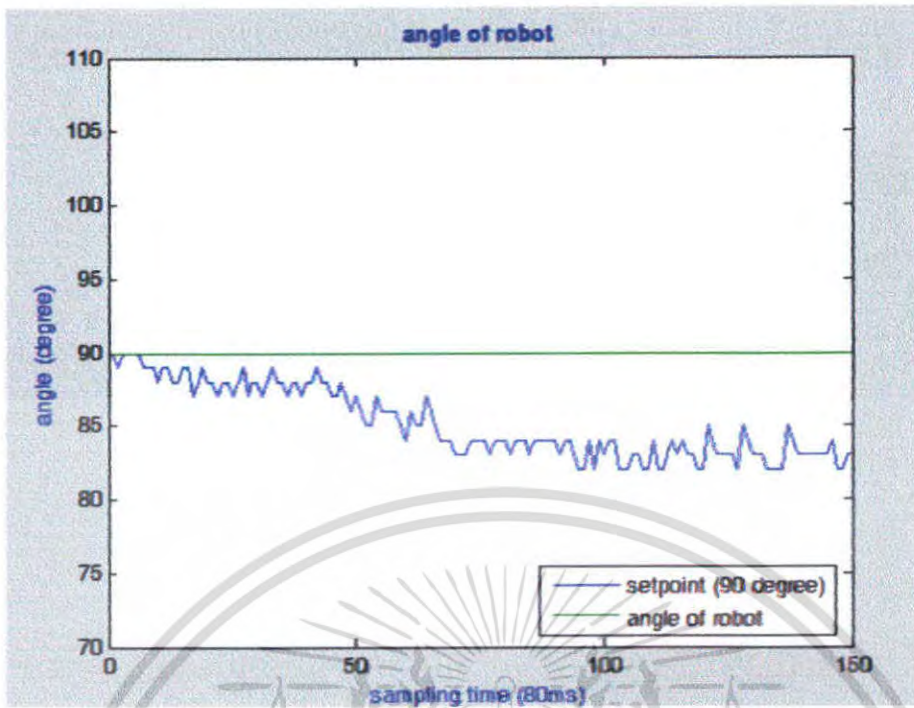
เขียนโปรแกรมระบบควบคุมแบบเปิดควบคุมระบบผ่านไมโครคอนโทรลเลอร์ด้วยภาษา C จากนั้นทดลองให้หุ่นยนต์วิ่งบนสนามที่ได้จัดไว้ เลือกใช้ค่าดีวตีไซเคิล PWM 525 และ 510 เพื่อควบคุมความเร็วที่ 50 รอบต่อนาที ของมอเตอร์ด้านซ้ายและขวาตามลำดับ จากนั้นบันทึกค่าผลลัพธ์ที่ได้ไว้ และนำค่าที่ได้มาวาดกราฟเปรียบเทียบความเร็วที่ได้จากการทดลอง กับ ความเร็วที่ 50 รอบต่อนาที

สรุป และ วิเคราะห์ ผลการทดลอง



(ก) ความเร็วของหุ่นยนต์

เอกสารนี้เป็นเอกสารที่สงวนไว้สำหรับการใช้งานเพื่อการศึกษาเท่านั้น ไม่อนุญาตให้นำไปใช้ประโยชน์ด้านการค้าไม่ว่ากรณีใดๆ ทั้งสิ้น อีกทั้งห้ามมิให้ตัดแปลงเนื้อหา และต้องอ้างอิงถึงเจ้าของเอกสารทุกครั้งที่มีการนำไปใช้



(ข) ทิศทางการเคลื่อนที่ของหุ่นยนต์

รูปที่ 4.23 ผลการทดลองควบคุมความเร็วของหุ่นยนต์เมื่อใช้ระบบควบคุมแบบเปิด

จากรูปที่ 4.23 ผลที่ได้จะเป็นกราฟแสดงผลตอบสนองในการเข้าสู่เสถียรภาพของความเร็วของมอเตอร์ไฟฟ้ากระแสตรงทั้ง 2 ข้างที่วัดได้ (กราฟสีเขียว : ด้านขวา – กราฟสีแดง : ด้านซ้าย) เทียบกับ ค่าอ้างอิง (กราฟสีน้ำเงิน) พบว่าเมื่อใช้ระบบควบคุมแบบเปิดนั้นไม่สามารถเข้าสู่ค่าอ้างอิง ที่ต้องการได้ และยังเกิดการแกว่ง แม้ว่าจะมีค่าเวลาเข้า t_r น้อยก็ตาม จึงสรุปได้ว่าไม่สมควรที่จะใช้ระบบควบคุมแบบเปิดในระบบควบคุม

4.3.2 เพื่อทดสอบระบบควบคุมความเร็วของหุ่นยนต์เมื่อใช้ระบบควบคุมแบบ PI

ที่มาของการทดลอง เนื่องจากผลการทดลองที่ 4.3.1 สามารถสรุปได้ว่าไม่สามารถใช้ระบบควบคุมแบบเปิดได้ จึงได้ทดลองพัฒนาระบบควบคุมแบบ PI ขึ้นมาเพื่อทดลองใช้ควบคุมแทนระบบควบคุมแบบเปิด และบันทึกไว้เปรียบเทียบกับระบบควบคุมในลำดับต่อไป

ขั้นตอนการทดลอง

เขียน โปรแกรมระบบควบคุมแบบ PI ควบคุมระบบผ่าน ไมโครคอนโทรลเลอร์ด้วยภาษา C ทดลองให้หุ่นยนต์วิ่งบนสนามที่ได้จัดไว้ และบันทึกค่าผลลัพธ์ที่ได้ไว้ และนำค่าที่ได้มาวาดกราฟเปรียบเทียบความเร็วที่ได้จากการทดลอง กับ ความเร็วที่ต้องการ หากยังไม่ได้ผลที่น่าพอใจให้ทดลองปรับแต่งอัตราขยาย K_p และ K_i และกลับไปทำซ้ำจนกว่าจะได้ผลที่น่าพอใจ

เอกสารนี้เป็นเอกสารที่สงวนไว้สำหรับการใช้งานเพื่อการศึกษาเท่านั้น ไม่อนุญาตให้นำไปใช้ประโยชน์ด้านการค้า ไม่ว่ากรณีใดๆ ทั้งสิ้น อีกทั้งห้ามมิให้ตัดแปลงเนื้อหา และต้องอ้างอิงถึงเจ้าของเอกสารทุกครั้งที่มีการนำไปใช้

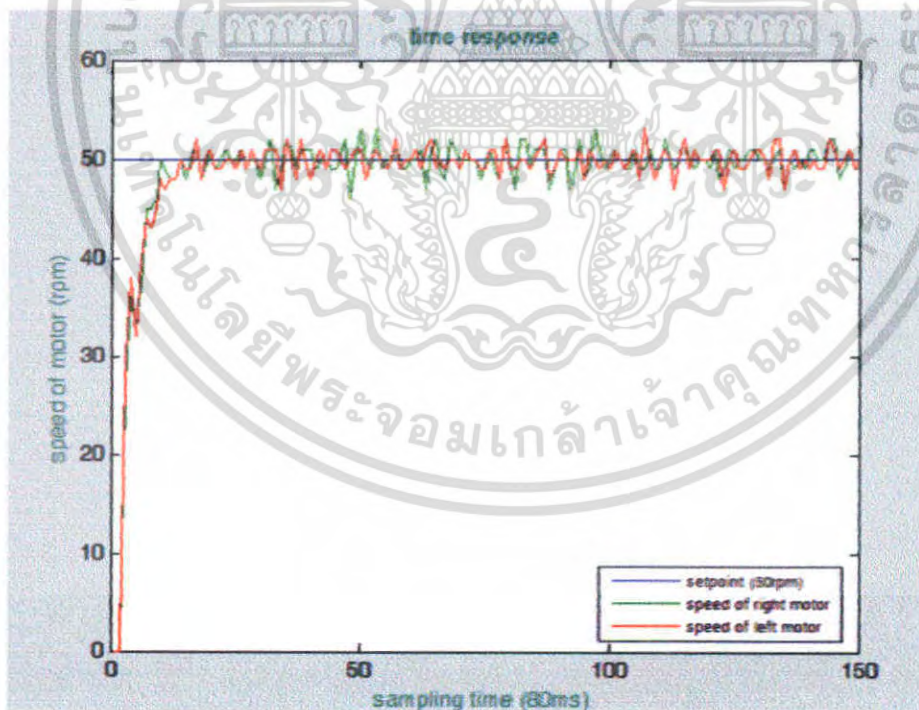
โปรแกรมส่วนที่ใช้ควบคุมแบบ PI

```

void PI_controller(signed int setpoint) {
  signed int error_speed, duty_output=0;
  error_speed=setpoint-real_speed;
  if (Kp*error_speed >30000) {
    duty_output=30000;
  } else if (Kp*error_speed <=-30000) {
    duty_output=-30000;
  } else {
    duty_output=Kp*error_speed;
  }
  duty_acc+=Ki*error_speed;
  if (duty_acc>30000) {
    duty_acc=30000;
  } else if (duty_acc<=-30000) {
    duty_acc=-30000;
  }
  duty_output+=duty_acc;
  if (duty_output>30000) {
    duty_output=30000;
  } else if (duty_output<=-30000) {
    duty_output=-30000;
  }
  speed_output(3,duty_output); //set gear duty
}

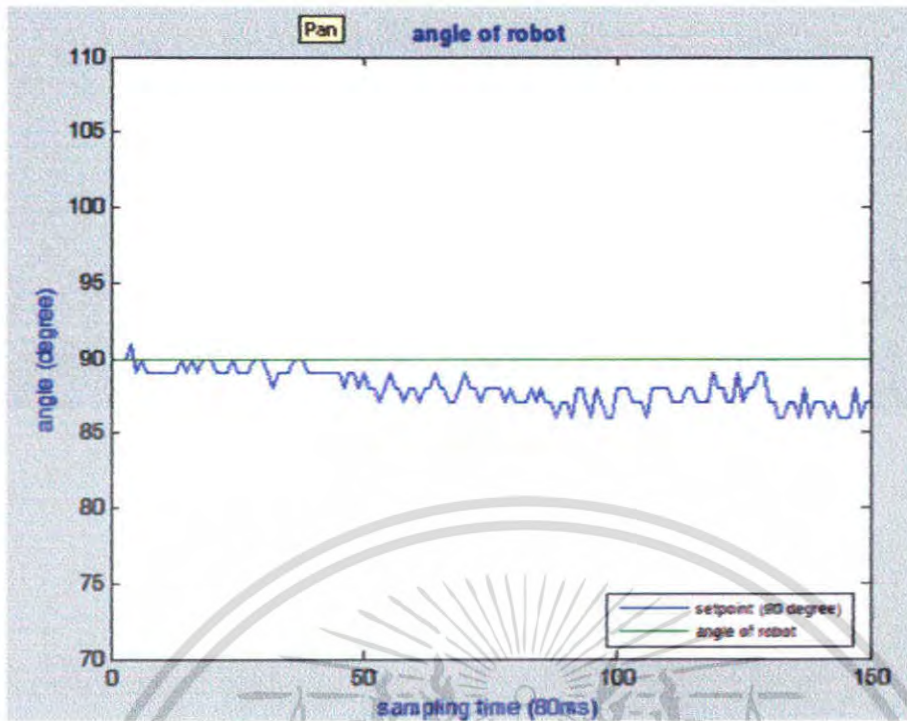
```

สรุป และ วิเคราะห์ ผลการทดลอง



(ก) ความเร็วของหุ่นยนต์

เอกสารนี้เป็นเอกสารที่สงวนไว้สำหรับการใช้งานเพื่อการศึกษาเท่านั้น ไม่อนุญาตให้นำไปใช้ประโยชน์ด้านการค้า ไม่ว่าจะกรณีใดๆ ทั้งสิ้น อีกทั้งห้ามมิให้ตัดแปลงเนื้อหา และต้องอ้างอิงถึงเจ้าของเอกสารทุกครั้งที่มีการนำไปใช้



(ข) ทิศทางการเคลื่อนที่ของหุ่นยนต์

รูปที่ 4.24 ผลการทดลองควบคุมความเร็วของหุ่นยนต์เมื่อใช้ระบบควบคุมแบบ PI

จากรูปที่ 4.24 ผลที่ได้จะเป็นกราฟแสดงผลตอบสนองในการเข้าสู่เสถียรภาพของความเร็วของมอเตอร์ไฟฟ้ากระแสตรงทั้ง 2 ซ้างที่วัดได้ (กราฟสีเขียว : ด้านขวา - กราฟสีแดง : ด้านซ้าย) เทียบกับ ค่าอ้างอิง (กราฟสีน้ำเงิน) พบว่าเมื่อใช้ระบบควบคุมแบบ PI นั้นสามารถเข้าสู่ ค่าอ้างอิง ที่ต้องการได้ แม้ว่าจะยังเกิดค่าการแกว่งบ้างก็ตาม จึงสรุปได้ว่าระบบควบคุมแบบ PI สามารถใช้ในระบบควบคุมได้จริงแต่ยังมีค่าเวลาเข้า t_r สูงอยู่มาก และทิศทางการเคลื่อนที่ซึ่งมีความผิดพลาดอยู่บ้าง

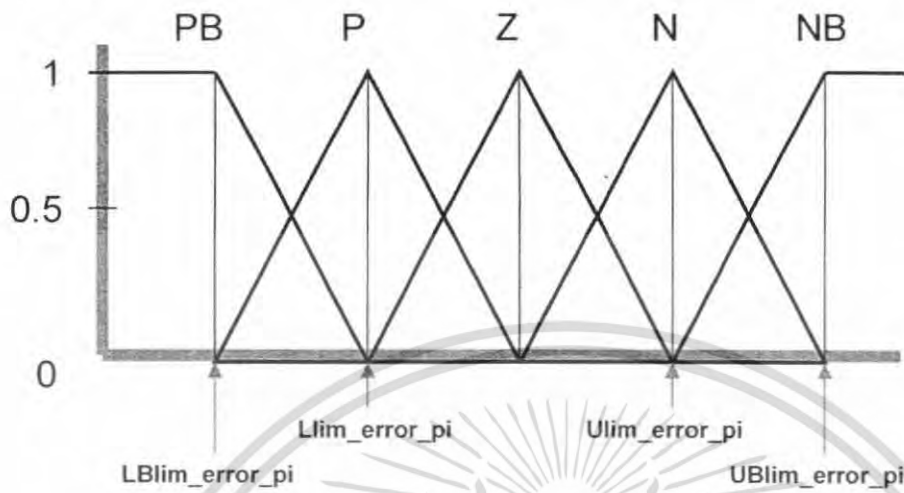
4.3.3 เพื่อทดสอบระบบควบคุมความเร็วของหุ่นยนต์เมื่อใช้ระบบควบคุมแบบ พีซี PI

ที่มาของการทดลอง เนื่องจากผลการทดลองที่ 2 ยังมีค่าเวลาเข้า t_r สูงอยู่มาก จึงได้ทดลองพัฒนาระบบควบคุมแบบ พีซี PI ขึ้นมาเพื่อทดลองใช้ควบคุมแทนระบบควบคุมแบบ PI และบันทึกไว้เปรียบเทียบกับระบบควบคุมในลำดับต่อไป

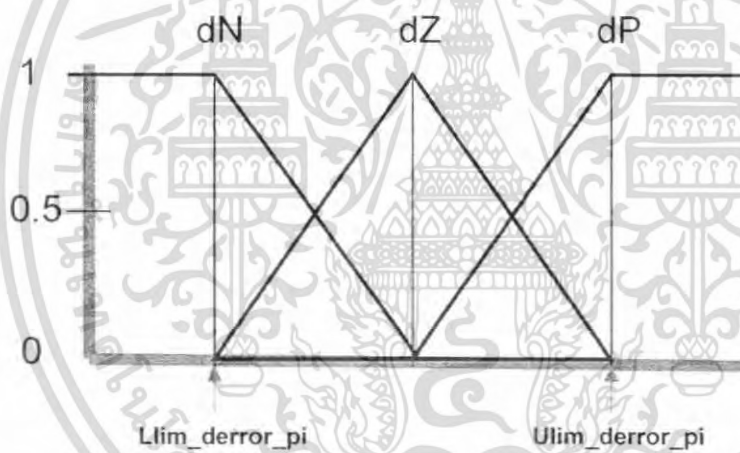
ขั้นตอนการทดลอง

เขียนโปรแกรม ระบบควบคุมแบบพีซี PI ควบคุมผ่านไมโครคอนโทรลเลอร์ ด้วยภาษา C ทดลองให้หุ่นยนต์วิ่งบนสนามที่ได้จัดไว้ และบันทึกค่าผลลัพธ์ที่ได้ไว้ และนำค่าที่ได้มาวาด กราฟเปรียบเทียบความเร็วที่ได้จากการทดลอง กับ ความเร็วที่ต้องการหากยังไม่ได้ผลที่น่าพอใจ ให้เอกสารนี้เป็นเอกสารที่สงวนไว้สำหรับการใช้งานเพื่อการศึกษาเท่านั้น ไม่อนุญาตให้นำไปใช้ประโยชน์ด้านการค้า ไม่ว่ากรณีใดๆ ทั้งสิ้น อีกทั้งห้ามมิให้ตัดแปลงเนื้อหา และต้องอ้างอิงถึงเจ้าของเอกสารทุกครั้งที่มีการนำไปใช้

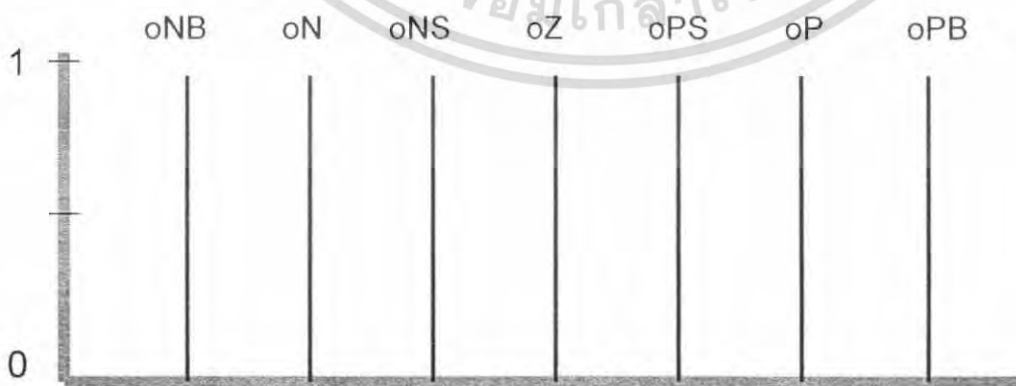
ทดลองปรับแต่งค่า ฟังก์ชันการเป็นสมาชิก และ กฎการควบคุม จากนั้นกลับไปทำซ้ำจนกว่าจะ
ได้ผลที่น่าพอใจ



รูปที่ 4.25 ฟังก์ชันการเป็นสมาชิกของอินพุต error PI



รูปที่ 4.26 ฟังก์ชันการเป็นสมาชิกของอินพุต derror PI



รูปที่ 4.27 ฟังก์ชันความเป็นสมาชิกของเอาต์พุต คิวตี้ไซเกิดจาก PWM PI

เอกสารนี้เป็นเอกสารที่สงวนไว้สำหรับการใช้งานเพื่อการศึกษาเท่านั้น ไม่อนุญาตให้นำไปใช้ประโยชน์ด้านการค้า
ไม่ว่ากรณีใดๆ ทั้งสิ้น อีกทั้งห้ามมิให้ตัดแปลงเนื้อหา และต้องอ้างอิงถึงเจ้าของเอกสารทุกครั้งที่มีการนำไปใช้

โปรแกรมส่วนที่ใช้ควบคุมแบบฟัซซี่ PI

```
//fuzzy PI controller
void FLC_PI(signed int setpoint,signed char speed_R,signed char speed_L) {
  signed int error_R=0,error_L=0;
  error_R=setpoint-speed_R;
  error_L=setpoint-speed_L;
  op_PI_R+=signed int)FLC(error_R,(error_R-last_error_R),F_PI);
  op_PI_L+=signed int)FLC(error_L,(error_L-last_error_L),F_PI);
  //limit
  if(op_PI_R>30000) { //upper limit
    op_PI_R=30000;
  } else if(op_PI_R<-30000) { //lower limit
    op_PI_R=-30000;
  }

  if(op_PI_L>30000) { //upper limit
    op_PI_L=30000;
  } else if(op_PI_L<-30000) { //lower limit
    op_PI_L=-30000;
  }

  spi_send16_s[1].change_duty16(op_PI_R); //R
  spi_send16_s[2].change_duty16(op_PI_L); //L

  last_error_R=error_R;
  last_error_L=error_L;
}
```

ค่าที่เลือกใช้ในการเลือกค่าความเป็นสมาชิกฟัซซี่ PI

```
//limit of graph degree of membership
//error
#define llim_error -8
#define Ulim_error 8
#define m_error 0.125
#define LBlim_error -35
#define UBlim_error 35
#define mB_error 0.0370 //slope error = 1/(UBlim_error-Ulim_error) =1/43
#define c1 -0.2963 //c=-(-mB_error*Llim_error) PB,NS line
#define c2 1.2563 //c=-(mB_error*LBlim_error) P,N line
//derror
#define llim_derror -20
#define Ulim_derror 20
#define m_derror 0.05

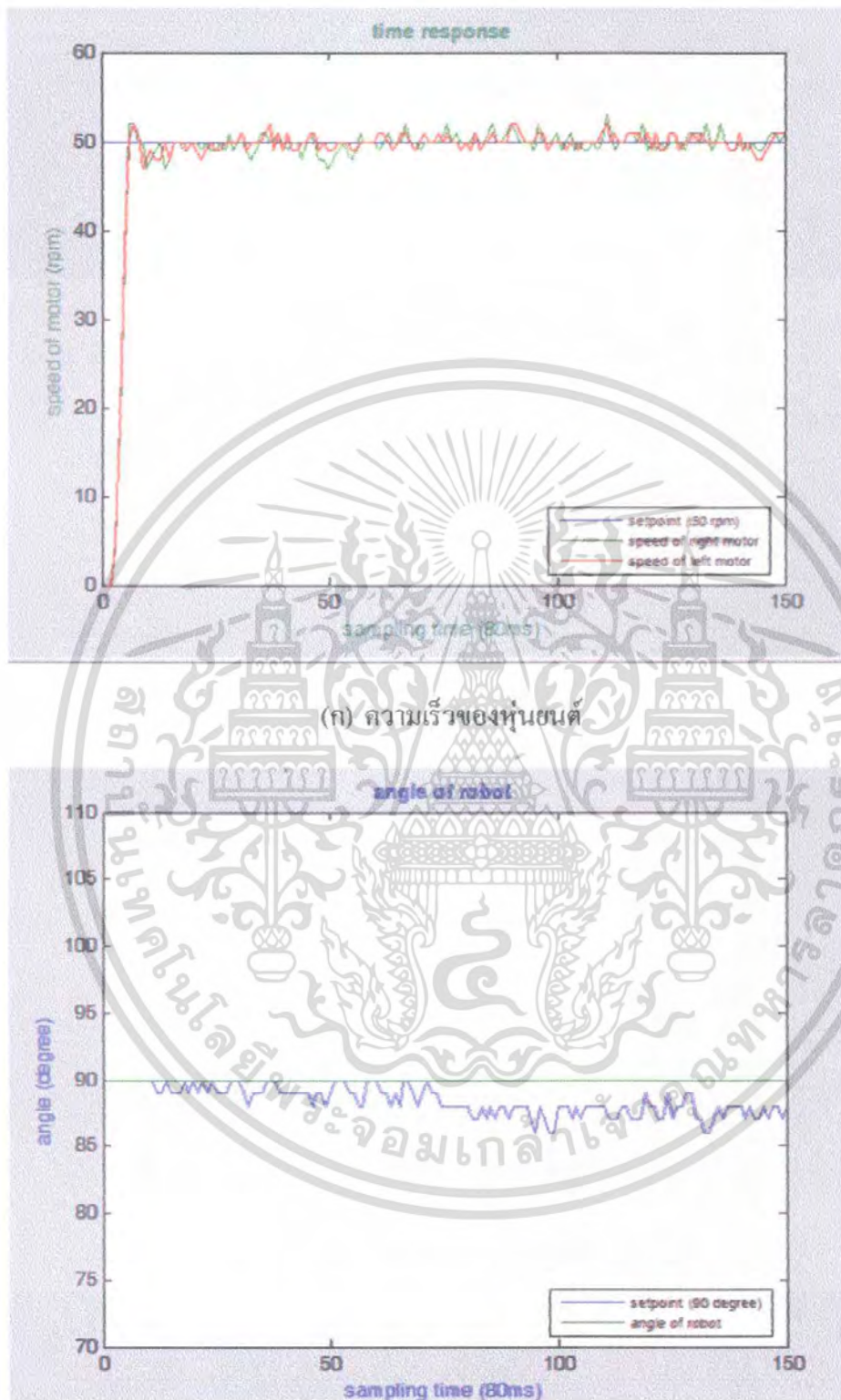
//membership function of output dduty >> (-100 - 100)
#define cNB -775
#define cN -13
#define cNS -10
#define cZ 0
#define cPS 13
#define cP 13
#define cPB 775
```

กฎที่ใช้

- rule 1: if(error is Z) then (dvoltage is oZ)
- rule 2: if(error is PB) then (dvoltage is oNB)
- rule 3: if(error is NB) then (dvoltage is oPB)
- rule 4: if(error is P) then (dvoltage is oN)
- rule 5: if(error is N) then (dvoltage is oP)
- rule 6: if(error is P) and (derror is dN) then (dvoltage is oNS)
- rule 7: if(error is N) and (derror is dP) then (dvoltage is oPS)

เอกสารนี้เป็นเอกสารที่สงวนไว้สำหรับการใช้งานเพื่อการศึกษาเท่านั้น ไม่อนุญาตให้นำไปใช้ประโยชน์ด้านการค้า
ไม่ว่ากรณีใดๆ ทั้งสิ้น อีกทั้งห้ามมิให้ตัดแปลงเนื้อหา และต้องอ้างอิงถึงเจ้าของเอกสารทุกครั้งที่มีการนำไปใช้

สรุป และ วิเคราะห์ ผลการทดลอง



(ก) ความเร็วของหุ่นยนต์

(ข) ทิศทางการเคลื่อนที่ของหุ่นยนต์

รูปที่ 4.28 ผลการทดลองควบคุมความเร็วของหุ่นยนต์เมื่อใช้ระบบควบคุมแบบพีซี PI

เอกสารนี้เป็นเอกสารที่สงวนไว้สำหรับการใช้งานเพื่อการศึกษาเท่านั้น ไม่อนุญาตให้นำไปใช้ประโยชน์ด้านการค้า ไม่ว่าจะกรณีใดๆ ทั้งสิ้น อีกทั้งห้ามมิให้ตัดแปลงเนื้อหา และต้องอ้างอิงถึงเจ้าของเอกสารทุกครั้งที่มีการนำไปใช้

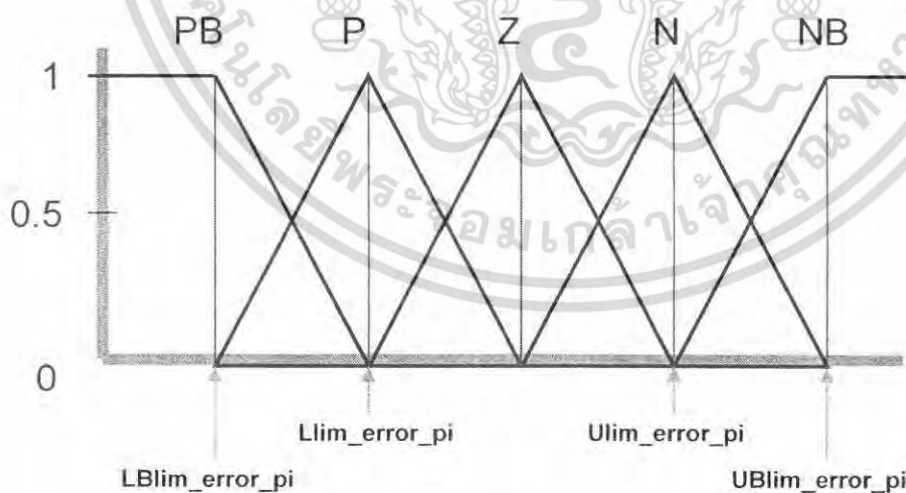
จากผลที่ได้จะเป็นกราฟแสดงผลตอบสนอง ในการเข้าสู่เสถียรภาพของความเร็วของมอเตอร์ไฟฟ้ากระแสตรงทั้ง 2 ขั้วที่วัดได้ (กราฟสีเขียว : ด้านขวา – กราฟสีแดง : ด้านซ้าย) เทียบกับ ค่าอ้างอิง (กราฟสีน้ำเงิน) พบว่าเมื่อใช้ระบบควบคุมแบบ ฟิชซี PI นั้นสามารถเข้าสู่ ค่าอ้างอิง ที่ต้องการได้ แม้ว่าจะยังเกิดการสั่นของกราฟ บ้างก็ตาม จึงสรุปได้ว่าระบบควบคุมแบบ ฟิชซี PI สามารถใช้ในการควบคุมได้จริง แม้จะมีค่าค่าเวลาเข้า t_r น้อยกว่า ระบบควบคุมแบบ PI และยังมีค่าพุ่งเกิน เกิดขึ้นตามมาด้วย และทิศทางการเคลื่อนที่ซึ่งมีความผิดพลาดอยู่บ้างแต่ก็น้อยกว่าการทดลองที่ 4.3.2

4.3.4 เพื่อทดสอบการควบคุมความเร็วของหุ่นยนต์เมื่อใช้ระบบควบคุมแบบ ฟิชซี PI - I

ที่มาของการทดลอง เนื่องจากผลการทดลองที่ 3 ยังมี ค่าพุ่งเกิน เกิดขึ้นจึงได้ทดลองพัฒนาระบบควบคุมแบบฟิชซี PI - I ขึ้นมาเพื่อทดลองใช้ควบคุมแทนระบบควบคุมแบบ ฟิชซี PI และบันทึกไว้เปรียบเทียบกับระบบควบคุมในลำดับต่อไป

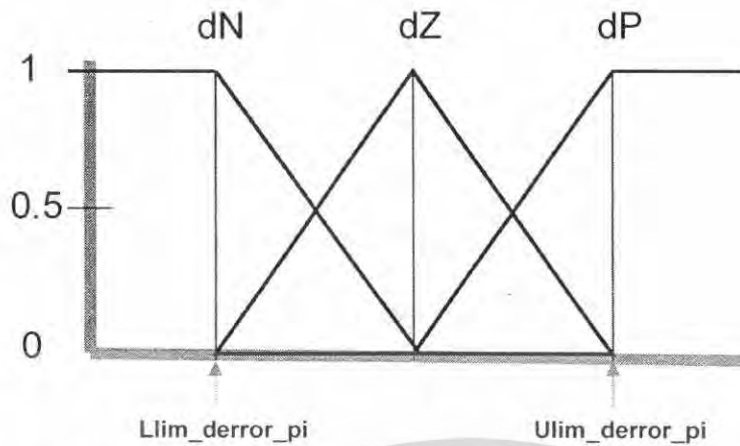
ขั้นตอนการทดลอง

เขียนโปรแกรมระบบควบคุมแบบ ฟิชซี PI - I ควบคุมผ่านไมโครคอนโทรลเลอร์ด้วยภาษา C ทดลองให้หุ่นยนต์วิ่งบนสนามที่ได้จัดไว้ และบันทึกค่าผลลัพธ์ที่ได้ไว้ และนำค่าที่ได้มาวาดกราฟเปรียบเทียบความเร็วที่ได้จากการทดลอง กับ ความเร็วที่ต้องการ หากยังไม่ได้ผลที่น่าพอใจ ให้ทดลองปรับแต่งค่า ฟังก์ชันการเป็นสมาชิก และ กฎการควบคุม จากนั้นกลับไปทำซ้ำจนกว่าจะได้ผลที่น่าพอใจ

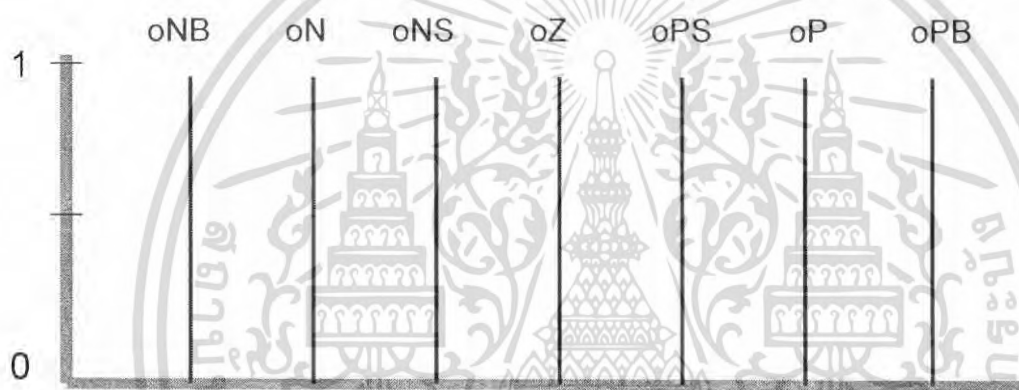


รูปที่ 4.29 ฟังก์ชันความเป็นสมาชิกของอินพุต error ฟิชซี PI

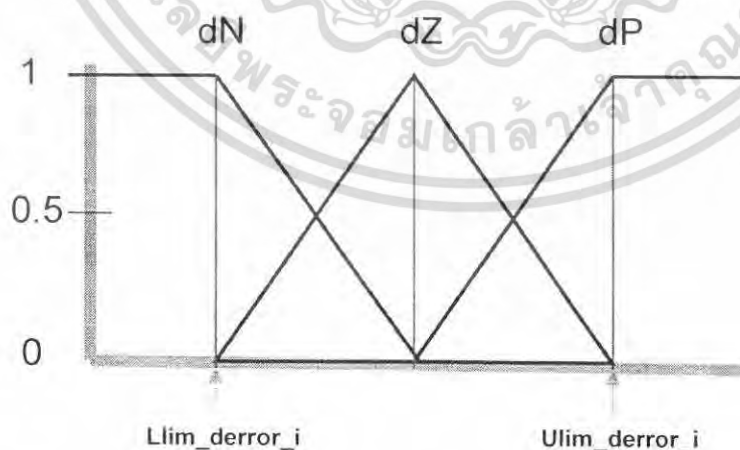
เอกสารนี้เป็นเอกสารที่สงวนไว้สำหรับการใช้งานเพื่อการศึกษาเท่านั้น ไม่อนุญาตให้นำไปใช้ประโยชน์ด้านการค้า ไม่ว่ากรณีใดๆ ทั้งสิ้น อีกทั้งห้ามมิให้ตัดแปลงเนื้อหา และต้องอ้างอิงถึงเจ้าของเอกสารทุกครั้งที่มีการนำไปใช้



รูปที่ 4.30 ฟังก์ชันความเป็นสมาชิกของอินพุต derror ฟัซซี่ PI

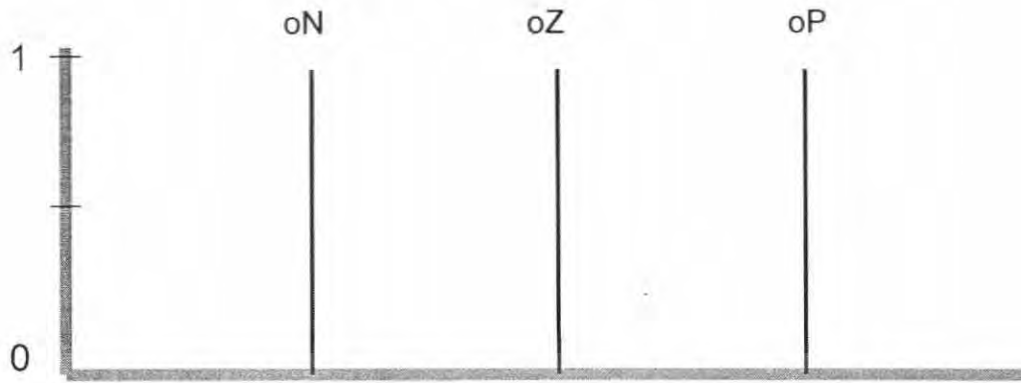


รูปที่ 4.31 ฟังก์ชันความเป็นสมาชิกของเอาต์พุต ดิวตี้ไซเคิลเกิดจาก PWM ฟัซซี่ PI



รูปที่ 4.32 ฟังก์ชันความเป็นสมาชิกของอินพุต error ฟัซซี่ I

เอกสารนี้เป็นเอกสารที่สงวนไว้สำหรับการใช้งานเพื่อการศึกษาเท่านั้น ไม่อนุญาตให้นำไปใช้ประโยชน์ด้านการค้า ไม่ว่ากรณีใดๆ ทั้งสิ้น อีกทั้งห้ามมิให้ตัดแปลงเนื้อหา และต้องอ้างอิงถึงเจ้าของเอกสารทุกครั้งที่มีการนำไปใช้



รูปที่ 4.33 ฟังก์ชันความเป็นสมาชิกของเอาต์พุตควิต์ไซเคิลจาก PWM ฟัซซี่ I

โปรแกรมส่วนที่ใช้ควบคุมแบบฟัซซี่ PI-I

```

//fuzzy pi-1 controller
void FLC_PI_I(signed int setpoint, signed char speed_R, signed char speed_L,
signed int fw_path_L, fw_path_R)
{
  op_PI = signed int FLC speed_L speed_R F_PI
  if op_PI > 0
    op_PI = 30000;
  else if op_PI < 0
    op_PI = -30000;

  //Right motor path
  fw_path_R = setpoint - op_PI speed_R;
  if fw_path_R > 30000
    fw_path_R = 30000;
  else if fw_path_R < -30000
    fw_path_R = -30000;

  //Left motor path
  fw_path_L = setpoint + op_PI speed_L;
  if fw_path_L > 30000
    fw_path_L = 30000;
  else if fw_path_L < -30000
    fw_path_L = -30000;

  op_PI_R = signed int FLC fw_path_R fw_path_R last_fw_path_R F_PI
  op_PI_L = signed int FLC fw_path_L fw_path_L last_fw_path_L F_PI
  spi_send16_s change_duty16 op_PI_R;
  spi_send16_s change_duty16 op_PI_L;

  last_fw_path_R = fw_path_R;
  last_fw_path_L = fw_path_L;
}

```

เอกสารนี้เป็นเอกสารที่สงวนไว้สำหรับการใช้งานเพื่อการศึกษาเท่านั้น ไม่อนุญาตให้นำไปใช้ประโยชน์ด้านการค้า
ไม่ว่ากรณีใดๆ ทั้งสิ้น อีกทั้งห้ามมิให้ตัดแปลงเนื้อหา และต้องอ้างอิงถึงเจ้าของเอกสารทุกครั้งที่มีการนำไปใช้

ค่าที่เลือกใช้ในการเลือกค่าความเป็นสมาชิกฟัซซี PI-I

```

//error
#define Llim_error_pi -10
#define Ulim_error_pi 10
#define m_error_pi 0.1 //slope error = 1/10
#define LBlim_error_pi -60
#define UBlim_error_pi 60
#define mB_error_pi 0.02 //slope error = 1/(UBlim_error-Ulim_error) =1/60
#define c1_pi -0.2 //c=-(-mB_error*Llim_error) PB,NB line
#define c2_pi 1.2 //c=-(-mB_error*Ulim_error) P,N line
//derror
#define Llim_derror_pi -20
#define Ulim_derror_pi 20
#define m_derror_pi 0.05 //slope derror = 1/20
//membership function of output duty >> (-100 - 100)
#define oNB_pi -235
#define oN_pi -15
#define oNS_pi -12
#define oZ_pi 0
#define oPS_pi 12
#define oP_pi 15
#define oPB_pi 235

//Fuzzy I limit of graph degree of membership
#define Llim_error_i -22
#define Ulim_error_i 22
#define m_error_i 0.045455 //slope error = 1/22
//membership function of output
#define oN_i -3
#define oZ_i 0
#define oP_i 3

```

กฎที่ใช้

ในส่วนของฟัซซี PI

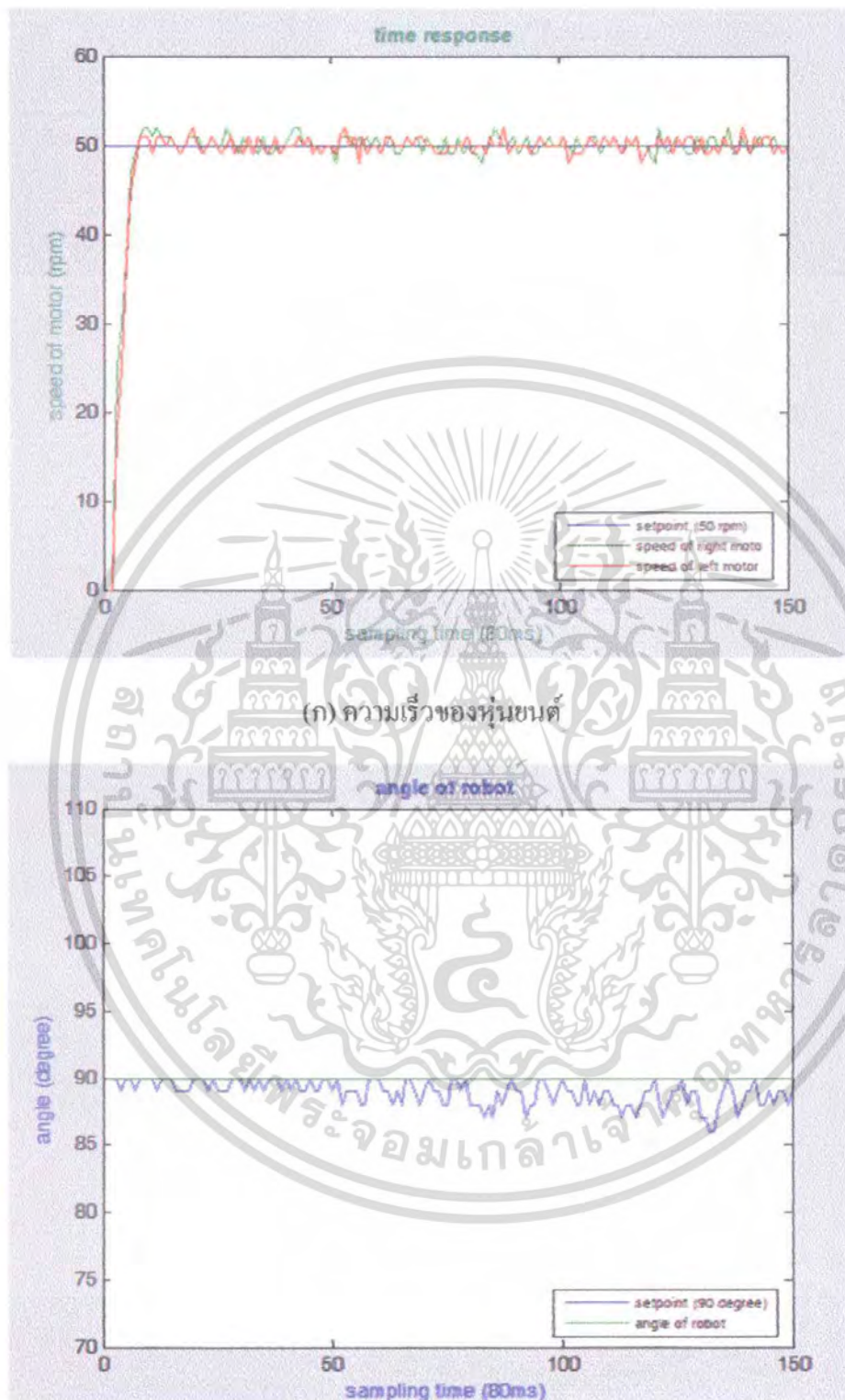
- rule 1: if(error is Z) then (dvoltage is oZ)
- rule 2: if(error is PB) then (dvoltage is oNB)
- rule 3: if(error is NB) then (dvoltage is oPB)
- rule 4: if(error is P) then (dvoltage is oN)
- rule 5: if(error is N) then (dvoltage is oP)
- rule 6: if(error is P) and (derror is dN) then (dvoltage is oNS)
- rule 7: if(error is N) and (derror is dP) then (dvoltage is oPS)

ในส่วนของฟัซซี I

- rule 1: if(error is Z) then (voltage is oZ)
- rule 2: if(error is P) then (dvoltage is oN)
- rule 3: if(error is N) then (dvoltage is oP)

เอกสารนี้เป็นเอกสารที่สงวนไว้สำหรับการใช้งานเพื่อการศึกษาเท่านั้น ไม่อนุญาตให้นำไปใช้ประโยชน์ด้านการค้า ไม่ว่ากรณีใดๆ ทั้งสิ้น อีกทั้งห้ามมิให้ตัดแปลงเนื้อหา และต้องอ้างอิงถึงเจ้าของเอกสารทุกครั้งที่มีการนำไปใช้

สรุป และ วิเคราะห์ ผลการทดลอง



(ก) ความเร็วของหุ่นยนต์

(ข) ทิศทางการเคลื่อนที่ของหุ่นยนต์

รูปที่ 4.34 ผลการทดลองควบคุมความเร็วของหุ่นยนต์เมื่อใช้ระบบควบคุมแบบพีซซี PI - I

เอกสารนี้เป็นเอกสารที่สงวนไว้สำหรับการใช้งานเพื่อการศึกษาเท่านั้น ไม่อนุญาตให้นำไปใช้ประโยชน์ด้านการค้า ไม่ว่าจะกรณีใดๆ ทั้งสิ้น อีกทั้งห้ามมิให้ตัดแปลงเนื้อหา และต้องอ้างอิงถึงเจ้าของเอกสารทุกครั้งที่มีการนำไปใช้

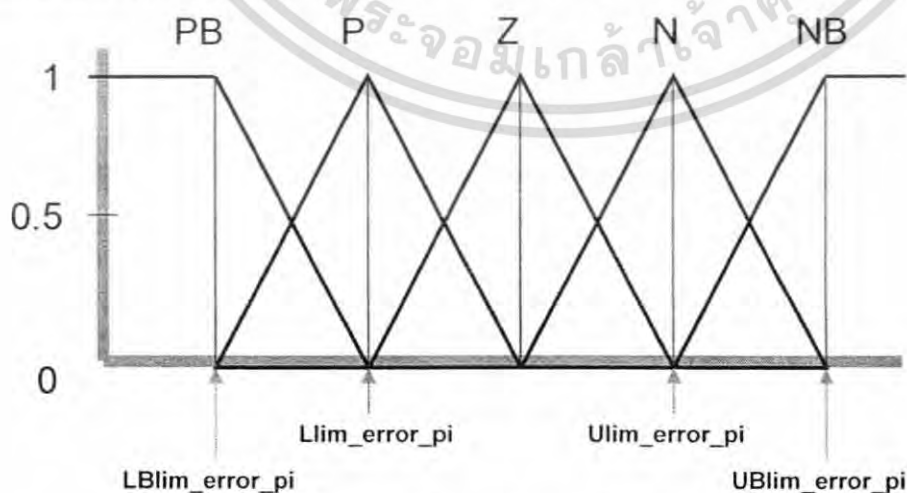
จากผลที่ได้จะเป็นกราฟแสดงผลตอบสนอง ในการเข้าสู่เสถียรภาพของความเร็วของมอเตอร์ไฟฟ้ากระแสตรงทั้ง 2 ขั้วที่วัดได้ (กราฟสีเขียว : ด้านขวา – กราฟสีแดง : ด้านซ้าย) เทียบกับ ค่าอ้างอิง (กราฟสีน้ำเงิน) พบว่าเมื่อใช้ระบบควบคุมแบบ ฟิชซี PI - I นั้นสามารถเข้าสู่ ค่าอ้างอิง ที่ต้องการ ได้ แม้ว่าจะยังเกิดค่าการแกว่งบ้างก็ตาม จึงสรุปได้ว่าระบบควบคุมแบบฟิชซี PI - I สามารถใช้ในการควบคุมได้จริง แม้ในส่วนของ การคุมทิศทางยังมีปัญหาจากการออกตัวของหุ่นยนต์เกิดแรงกระชาก ทำให้ทิศทางคลาดเคลื่อนบ้างก็ตาม แต่เมื่อนำผลที่ได้มาเทียบกับการทดลองที่ผ่านมา พบว่ามีค่าความผิดพลาดลดลง

4.3.5 เพื่อทดสอบการควบคุมความเร็วของหุ่นยนต์เมื่อใช้ระบบควบคุมแบบฟิชซี PI - I ร่วมกับ วงจรเพิ่มทิศดิจิทัล

ที่มาของการทดลอง เนื่องจากผลการทดลองที่ 4.3.4 ยังมี ปัญหาเกิดขึ้นเนื่องจากเกิดแรงกระชากขึ้นในขณะที่เริ่มปล่อยตัวออกจากจุดเริ่มต้น ทำให้ทิศทางในการเคลื่อนที่คลาดเคลื่อนไปจากแนวเดิมที่ตั้งก่อนออกตัว ในการทดลองนี้จึงได้เพิ่มเติมในส่วนของ วงจรเพิ่มทิศดิจิทัล เข้าไปเพื่อช่วยในการปรับทิศทางเคลื่อนที่ของหุ่นยนต์

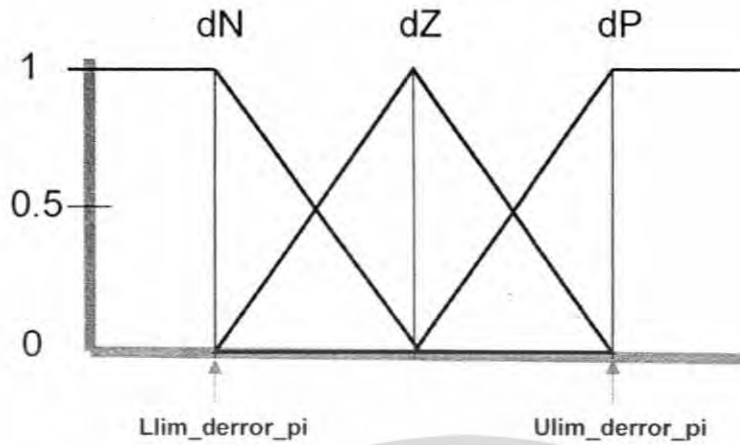
ขั้นตอนการทดลอง

เขียน โปรแกรมระบบควบคุมแบบฟิชซี PI - I และวงจรเพิ่มทิศแบบดิจิทัล ควบคุมผ่าน ไมโครคอนโทรลเลอร์ด้วยภาษา C ทดลองให้หุ่นยนต์วิ่งบนสนามที่ได้จัดไว้ และบันทึกค่าผลลัพธ์ที่ได้ไว้ และนำค่าที่ได้มาวาดกราฟเปรียบเทียบความเร็วที่ได้จากการทดลอง กับความเร็วที่ต้องการ หากยังไม่ได้ผลที่น่าพอใจ ให้ทดลองปรับแต่งค่าฟังก์ชันการเป็นสมาชิก และกฎการควบคุม จากนั้นกลับไปทำซ้ำจนกว่าจะได้ผลที่น่าพอใจ

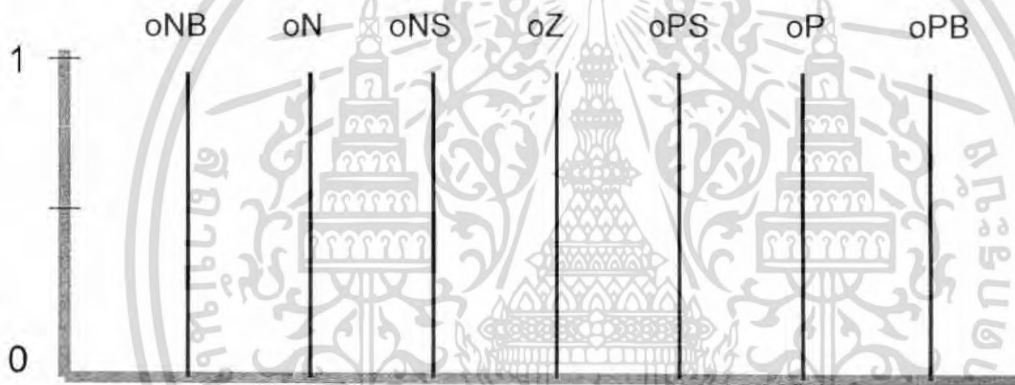


รูปที่ 4.35 ฟังก์ชันความเป็นสมาชิกของอินพุต error ฟิชซี PI

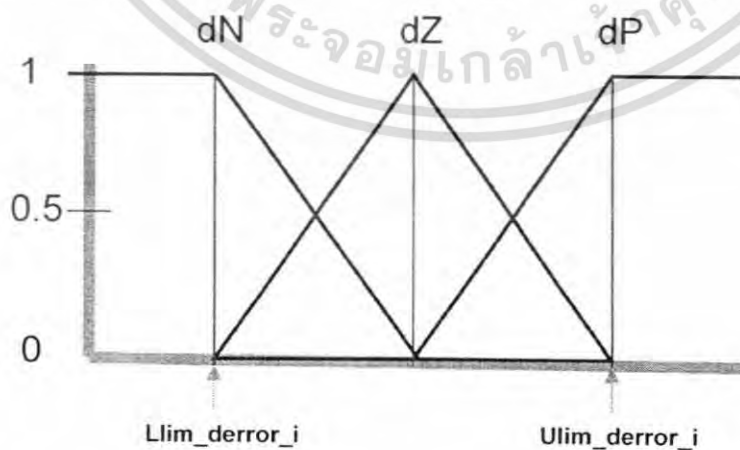
เอกสารนี้เป็นเอกสารที่สงวนไว้สำหรับการใช้งานเพื่อการศึกษาเท่านั้น ไม่อนุญาตให้นำไปใช้ประโยชน์ด้านการค้า ไม่ว่ากรณีใดๆ ทั้งสิ้น อีกทั้งห้ามมิให้ตัดแปลงเนื้อหา และต้องอ้างอิงถึงเจ้าของเอกสารทุกครั้งที่มีการนำไปใช้



รูปที่ 4.36 ฟังก์ชันความเป็นสมาชิกของอินพุต derror ฟัซซี่ PI

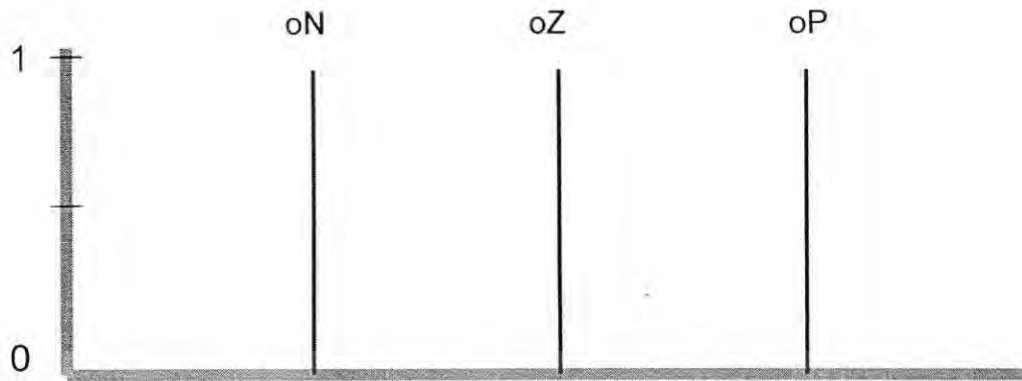


รูปที่ 4.37 ฟังก์ชันความเป็นสมาชิกของเอาต์พุตควิตีไซเคิลจาก PWM ฟัซซี่ PI



รูปที่ 4.38 ฟังก์ชันความเป็นสมาชิกของอินพุต error ฟัซซี่ I

เอกสารนี้เป็นเอกสารที่สงวนไว้สำหรับการใช้งานเพื่อการศึกษาเท่านั้น เมื่อนำไปใช้ประโยชน์ด้านการค้าไม่ว่ากรณีใดๆ ทั้งสิ้น อีกทั้งห้ามมิให้ตัดแปลงเนื้อหา และต้องอ้างอิงถึงเจ้าของเอกสารทุกครั้งที่มีการนำไปใช้



รูปที่ 4.39 ฟังก์ชันความเป็นสมาชิกของเอาต์พุตควิต์ไซเกิดจาก PWM ฟัซซี I

โปรแกรมส่วนที่ใช้ควบคุมแบบฟัซซี PI-I ร่วมกับวงจรมอเตอร์สเต็ป

```

/fuzzy PI-I controller with cmp sensor
void FLC_PI_I_cmp signed int setpoint signed char speed_R signed char speed_L unsigned int ang_st unsigned int ang_now
signed int fw_path_L=0 fw_path_R=0
signed int curve_offset=0
unsigned char flag_ang=0
if ang_now>ang_st //calculate curve offset
    flag_ang=0;
    curve_offset=ang_now-ang_st;
else
    flag_ang=1;
    curve_offset=ang_st-ang_now;
//
if curve_offset>180
    curve_offset=curve_offset-360;
if flag_ang==0
    curve_offset=-1;
op_I+= signed int FLC speed_L-speed_R-curve_offset * F_I
if op_I>30000 //if in output I controller
    op_I=30000;
else if op_I<-30000
    op_I=-30000;

fw_path_R=setpoint+op_I*speed_R //right motor path
if fw_path_R>30000
    fw_path_R=30000;
else if fw_path_R<-30000
    fw_path_R=-30000;

fw_path_L=setpoint-op_I*speed_L //left motor path
if fw_path_L>30000
    fw_path_L=30000;
else if fw_path_L<-30000
    fw_path_L=-30000;

op_PI_R+= signed int FLC fw_path_R fw_path_R-last_fw_path_R * F_PI;
op_PI_L+= signed int FLC fw_path_L fw_path_L-last_fw_path_L * F_PI;
spi_send16_s=1, change_duty16, op_PI_R; //R
spi_send16_s=2, change_duty16, op_PI_L; //L
last_fw_path_R=fw_path_R;
last_fw_path_L=fw_path_L;

```

เอกสารนี้เป็นเอกสารที่สงวนไว้สำหรับการใช้งานเพื่อการศึกษาเท่านั้น ไม่อนุญาตให้นำไปใช้ประโยชน์ด้านการค้า
ไม่ว่ากรณีใดๆ ทั้งสิ้น อีกทั้งห้ามมิให้ตัดแปลงเนื้อหา และต้องอ้างอิงถึงเจ้าของเอกสารทุกครั้งที่มีการนำไปใช้

ค่าที่ใช้ในการเลือกค่าความเป็นสมาชิกฟัซซี PI-I ร่วมกับวงจรเบ้มติศติจติตอล

```

//error
#define Llim_error_pi -10
#define Ulim_error_pi 10
#define m_error_pi 0.1 //slope error = 1/10
#define LBlim_error_pi -60
#define UBlim_error_pi 60
#define mB_error_pi 0.02 //slope error = 1/(UBlim_error-Ulim_error) =1/50
#define c1_pi -0.2 //c=- (mB_error*Llim_error) PS,NB line
#define c2_pi 1.2 //c=- (mB_error*Ulim_error) P,N line
//derror
#define Llim_derror_pi -20
#define Ulim_derror_pi 20
#define m_derror_pi 0.05 //slope derror = 1/20
//membership function of output dduty >> (-100 - 100)
#define oNB_pi -235
#define oN_pi -15
#define oNS_pi -12
#define oZ_pi 0
#define oPS_pi 12
#define oP_pi 15
#define oPB_pi 235

//Fuzzy I limit of graph degree of membership
#define Llim_error_i -22
#define Ulim_error_i 22
#define m_error_i 0.045455 //slope error = 1/22
//membership function of output
#define oN_i -3
#define oZ_i 0
#define oP_i 3

```

กฎที่ใช้

ในส่วนของฟัซซี PI

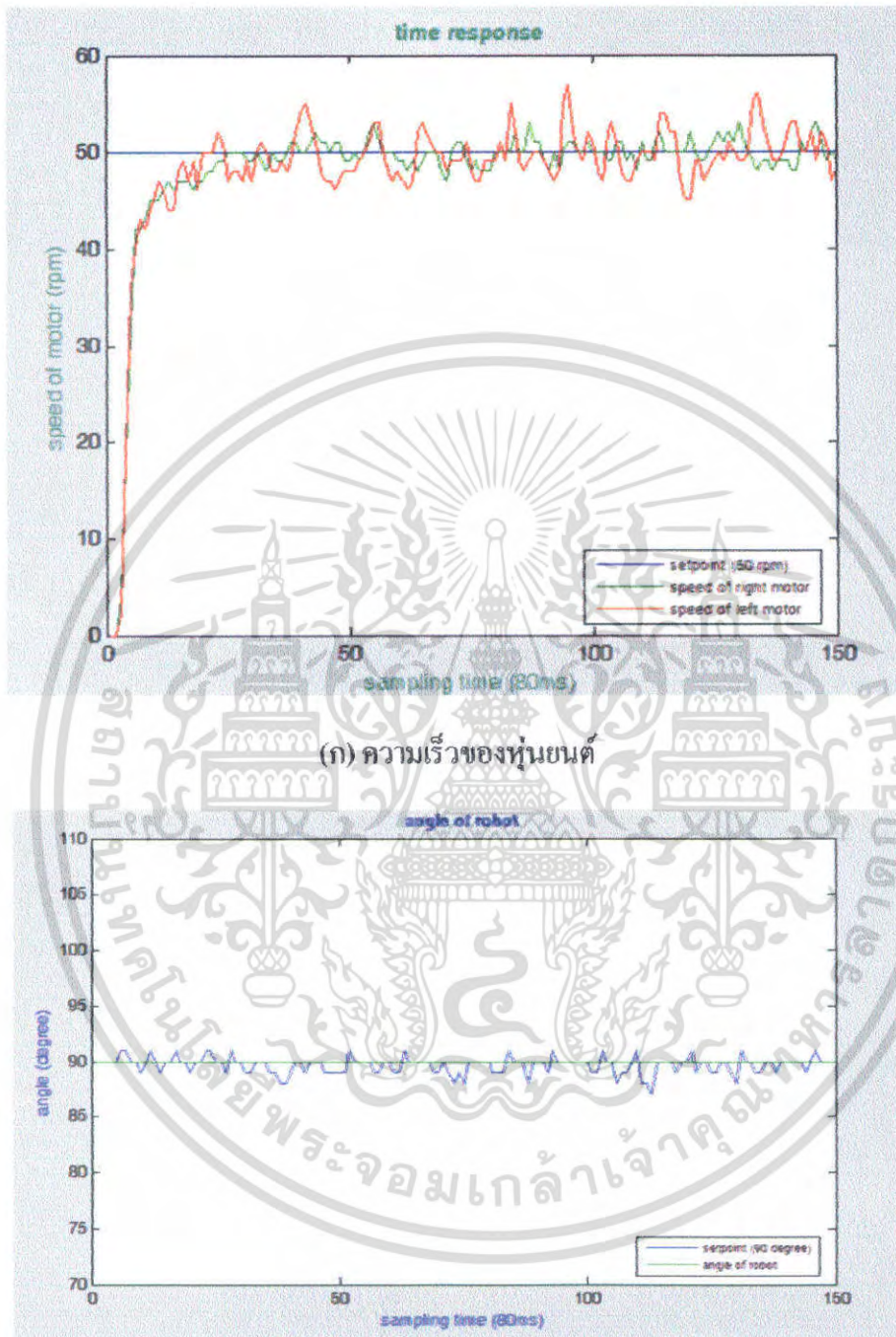
- rule 1: if(error is Z) then (dvoltage is oZ)
- rule 2: if(error is PB) then (dvoltage is oNB)
- rule 3: if(error is NB) then (dvoltage is oPB)
- rule 4: if(error is P) then (dvoltage is oN)
- rule 5: if(error is N) then (dvoltage is oP)
- rule 6: if(error is P) and (derror is dN) then (dvoltage is oNS)
- rule 7: if(error is N) and (derror is dP) then (dvoltage is oPS)

ในส่วนของฟัซซี I

- rule 1: if(error is Z) then (voltage is oZ)
- rule 2: if(error is P) then (dvoltage is oN)
- rule 3: if(error is N) then (dvoltage is oP)

เอกสารนี้เป็นเอกสารที่สงวนไว้สำหรับการใช้งานเพื่อการศึกษาเท่านั้น ไม่อนุญาตให้นำไปใช้ประโยชน์ด้านการค้า
ไม่ว่ากรณีใดๆ ทั้งสิ้น อีกทั้งห้ามมิให้ตัดแปลงเนื้อหา และต้องอ้างอิงถึงเจ้าของเอกสารทุกครั้งที่มีการนำไปใช้

สรุป และ วิเคราะห์ ผลการทดลอง



รูปที่ 4.40 ผลการทดลองควบคุมความเร็วและทิศทางของหุ่นยนต์
เมื่อใช้ระบบควบคุมแบบ ฟีดแบ็ค PI – I ร่วมกับวงจรมั่นทึคดิจิทัล

เอกสารนี้เป็นเอกสารที่สงวนไว้สำหรับการใช้งานเพื่อการศึกษาเท่านั้น ไม่อนุญาตให้นำไปใช้ประโยชน์ด้านการค้า
ไม่ว่ากรณีใดๆ ทั้งสิ้น อีกทั้งห้ามมิให้ตัดแปลงเนื้อหา และต้องอ้างอิงถึงเจ้าของเอกสารทุกครั้งที่มีการนำไปใช้

จากผลที่ได้จะเป็นกราฟแสดงผลตอบสนองในการเข้าสู่เสถียรภาพของความเร็วของมอเตอร์ไฟฟ้ากระแสตรงทั้ง 2 ขั้วที่วัดได้ (กราฟสีเขียว : ด้านขวา – กราฟสีแดง : ด้านซ้าย) เทียบกับ ค่าอ้างอิง (กราฟสีน้ำเงิน) พบว่าเมื่อใช้ระบบควบคุมแบบ พีซี PI - I ร่วมกับ วงจรเข็มคิติดอล นั้นสามารถเข้าสู่ ค่าอ้างอิง ที่ต้องการได้ แม้ว่าจะยังเกิดค่า การแกว่ง ชั่วกัตาม จึงสรุปได้ว่าระบบควบคุมแบบ พีซี PI - I ร่วมกับ วงจรเข็มคิติดอล สามารถใช้ในการควบคุมได้จริง แม้ในส่วนกราฟผลตอบสนองที่ได้จะดูแยกว่าระบบควบคุมแบบ พีซี PI ก็ตาม แต่เมื่อดูผลความแม่นยำของทิศทางการเคลื่อนที่ป็นเส้นตรงแล้วพบว่า วงจรเข็มคิติดอล มีส่วนช่วยในการปรับทิศทางอย่างมาก ทำให้ผลที่ได้มีค่าความผิดพลาดน้อยมากเมื่อเทียบกับระบบควบคุมในการทดลองที่ผ่านมา และค่ามุมของหุ่นยนต์ที่ได้นั้นจะเห็นได้ว่า เกิดการปรับมุมให้กลับสู่ค่าแรกเริ่มอยู่เสมอๆ และในตอนสุดท้ายของการเคลื่อนที่ค่ามุมได้กลับมามีค่าเดิมเหมือนตอนแรกเริ่ม ซึ่งแสดงให้เห็นว่า หุ่นยนต์สามารถเดินเป็นเส้นตรงได้



เอกสารนี้เป็นเอกสารที่สงวนไว้สำหรับการใช้งานเพื่อการศึกษาเท่านั้น ไม่อนุญาตให้นำไปใช้ประโยชน์ด้านการค้า ไม่ว่าจะกรณีใดๆ ทั้งสิ้น อีกทั้งห้ามมิให้ตัดแปลงเนื้อหา และต้องอ้างอิงถึงเจ้าของเอกสารทุกครั้งที่มีการนำไปใช้

บทที่ 5

บทวิจารณ์และสรุป

5.1 สรุปผลการทดลอง

จากการทดลองออกแบบระบบควบคุมแบบฟัซซีด้วยคอมพิวเตอร์ส่วนบุคคล พบว่าสามารถควบคุมความเร็วของระบบสองมวลที่ความเร็ว 1,500 รอบต่อนาที ได้ดีโดยสามารถเข้าสู่ค่าอ้างอิงได้เร็ว ไม่มีค่าพุ่งเกิน และไม่มีค่าการแกว่ง และในส่วนของทดลองออกแบบระบบควบคุมแบบฟัซซีด้วยไมโครคอนโทรลเลอร์ พบว่าสามารถควบคุมความเร็ว และทิศทางการเคลื่อนที่ของหุ่นยนต์ได้ดีกว่าระบบควบคุมแบบ PID แม้จะเกิดความผิดพลาดขึ้นบ้างเล็กน้อย จึงสรุปได้ว่าระบบควบคุมแบบฟัซซีสามารถประยุกต์ใช้กับระบบที่ไม่ทราบแบบจำลองทางคณิตศาสตร์ได้ทั้งสองระบบ

5.2 ปัญหาที่พบและแนวทางแก้ไข

ในการทดลองออกแบบระบบควบคุมแบบฟัซซีเพื่อควบคุมความเร็วของระบบสองมวลด้วยคอมพิวเตอร์ส่วนบุคคล พบปัญหาเกี่ยวกับการปรับแต่งค่าฟังก์ชันการเป็นสมาชิก และกฎการควบคุม ซึ่งมีความละเอียดอ่อนและซับซ้อนมาก จำเป็นต้องมีความรู้ และประสบการณ์ของผู้เชี่ยวชาญในระบบนั้นๆ ทำให้เสียเวลาในการปรับแต่งค่าฟังก์ชันการเป็นสมาชิก และกฎการควบคุมเป็นอย่างมาก และจากการทดลองออกแบบระบบควบคุมแบบฟัซซีเพื่อควบคุมความเร็ว และทิศทางการเคลื่อนที่ของหุ่นยนต์ด้วยไมโครคอนโทรลเลอร์ พบปัญหาเกี่ยวกับแรงกระชากเมื่อปล่อยหุ่นยนต์ออกจากจุดเริ่มต้น ทำให้เกิดการเอียงก่อนออกตัว จึงจำเป็นต้องใช้วงจรเข็มทิศดิจิทัลเข้ามาช่วยในการควบคุมทิศทางของหุ่นยนต์

5.3 ข้อเสนอแนะและแนวทางในการค้นคว้าพัฒนา

ข้อเสนอแนะสำหรับการพัฒนาโครงการในอนาคต ควรประยุกต์ใช้งานระบบควบคุมแบบฟัซซีกับระบบอื่นๆ เช่น การควบคุมเส้นทางที่ไม่ใช่เส้นทางตรง หรือเปรียบเทียบกับวิธีการควบคุมแบบโครงข่ายประสาทเทียม

เอกสารอ้างอิง

- [1] Thomas Bräunl. **EMBEDDED ROBOTICS: Mobile Robot Design and Applications with Embedded Systems**. Second Edition. Springer Berlin Heidelberg. New York 2003.
- [2] ปราโมทย์ แพทย์พันธ์. “เครื่องให้อาหารปลาอัตโนมัติ.” ปรินญาณิพนธ์วิศวกรรมศาสตรบัณฑิต สาขาวิศวกรรมระบบควบคุม คณะวิศวกรรมศาสตร์ สถาบันเทคโนโลยีพระจอมเกล้าเจ้าคุณทหารลาดกระบัง. 2546.
- [3] นคร ภักดีชาติ และคณะ. คู่มือการทดลองเบื้องต้น dsPIC Microcontroller. กรุงเทพฯ. บริษัท อินโนเวทีฟ เอ็กเพอริเมนต์ จำกัด. 2550.
- [4] วิชาญ ฉัตรรัตนวุฒิ. “ตัวควบคุมแมมดานิฟซซีไอ-พีดีสำหรับควบคุมตำแหน่งเชิงมุมของแขนกลสองข้อต่อ.” สาขาวิศวกรรมระบบควบคุม คณะวิศวกรรมศาสตร์ สถาบันเทคโนโลยีพระจอมเกล้าเจ้าคุณทหารลาดกระบัง. 2550.
- [5] ฌภัทรพงศ์ สุขเสรีวัฒนากุล “การควบคุมของระบบสองมวลโดยตัวควบคุม แมมดานิฟซซีไอ-พี.” สาขาวิศวกรรมระบบควบคุม คณะวิศวกรรมศาสตร์ สถาบันเทคโนโลยีพระจอมเกล้าเจ้าคุณทหารลาดกระบัง. 2549.

เอกสารนี้เป็นเอกสารที่สงวนไว้สำหรับการใช้งานเพื่อการศึกษาเท่านั้น ไม่อนุญาตให้นำไปใช้ประโยชน์ด้านการค้า
ไม่ว่ากรณีใดๆ ทั้งสิ้น อีกทั้งห้ามมิให้ตัดแปลงเนื้อหา และต้องอ้างอิงถึงเจ้าของเอกสารทุกครั้งที่มีการนำไปใช้



ภาคผนวก

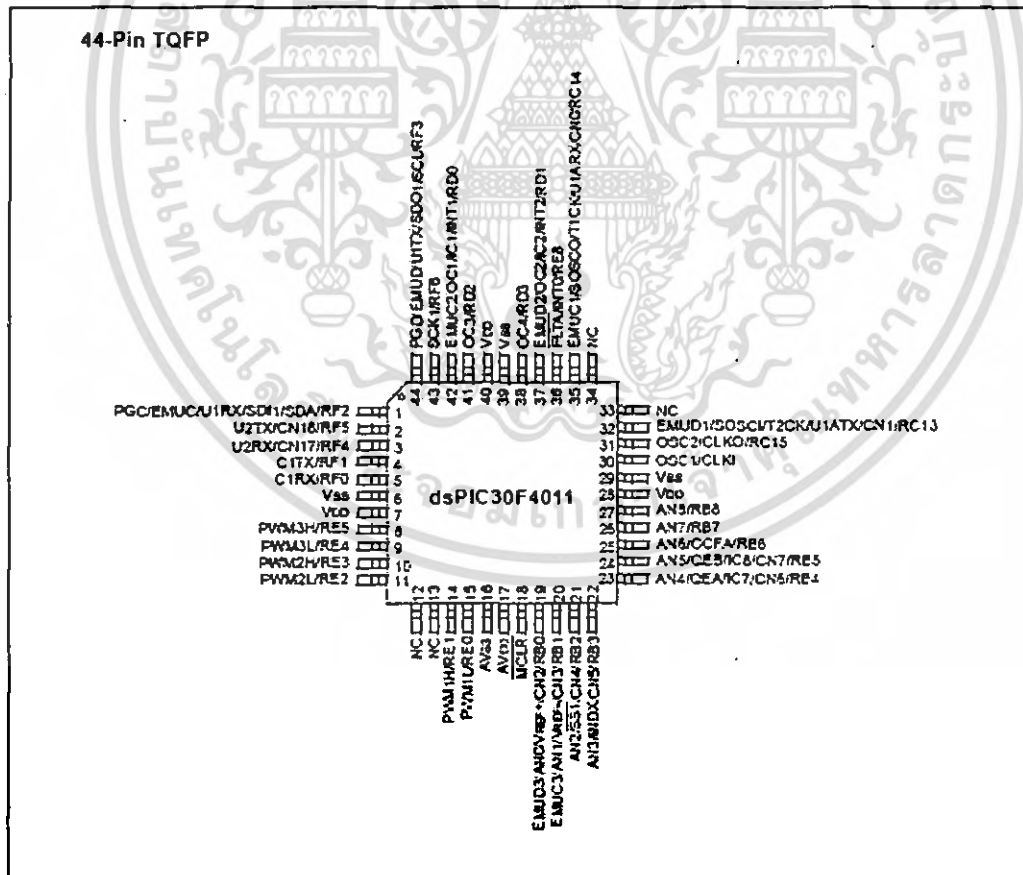
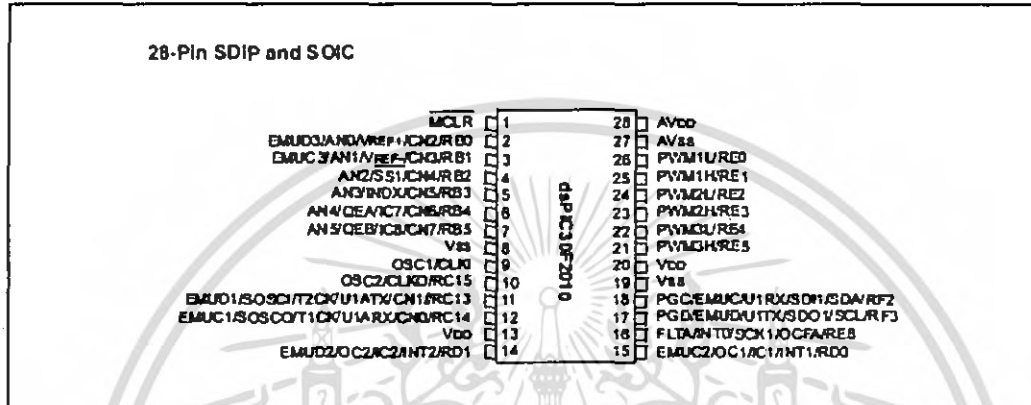
เอกสารนี้เป็นเอกสารที่สงวนไว้สำหรับการใช้งานเพื่อการศึกษาเท่านั้น ไม่อนุญาตให้นำไปใช้ประโยชน์ด้านการค้า
ไม่ว่ากรณีใดๆ ทั้งสิ้น อีกทั้งห้ามมิให้ตัดแปลงเนื้อหา และต้องอ้างอิงถึงเจ้าของเอกสารทุกครั้งที่มีการนำไปใช้

ภาคผนวก ก

ไมโครคอนโทรลเลอร์

dsPIC30F2010

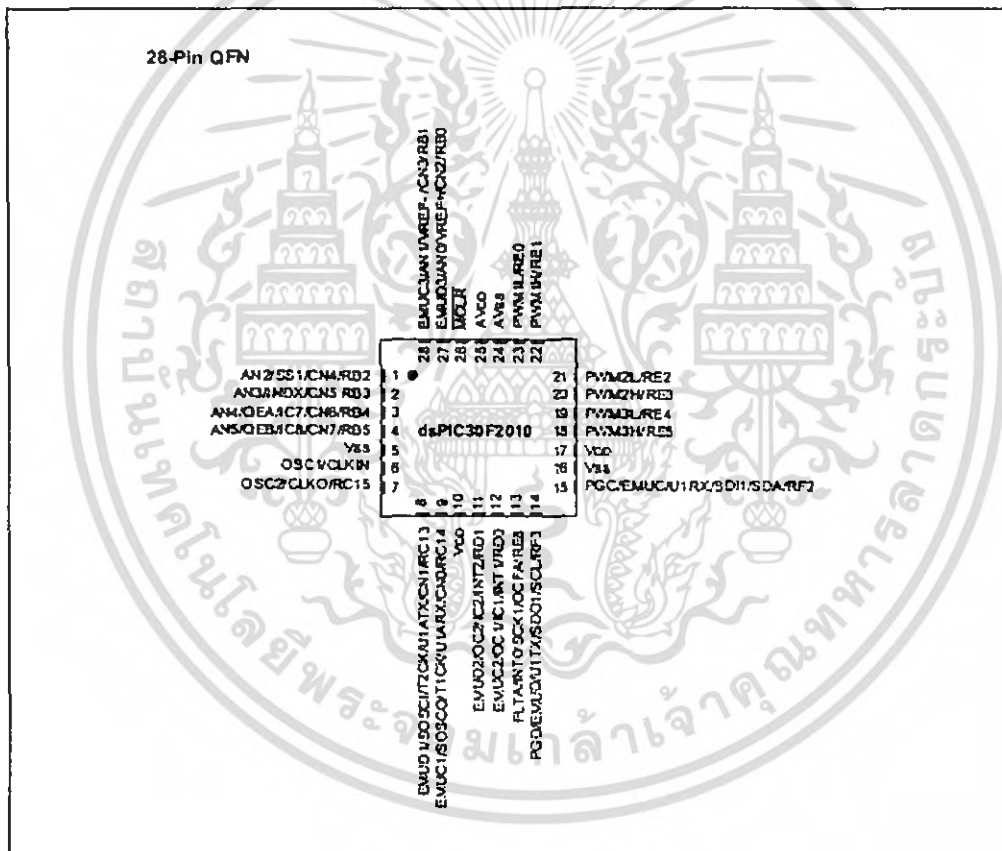
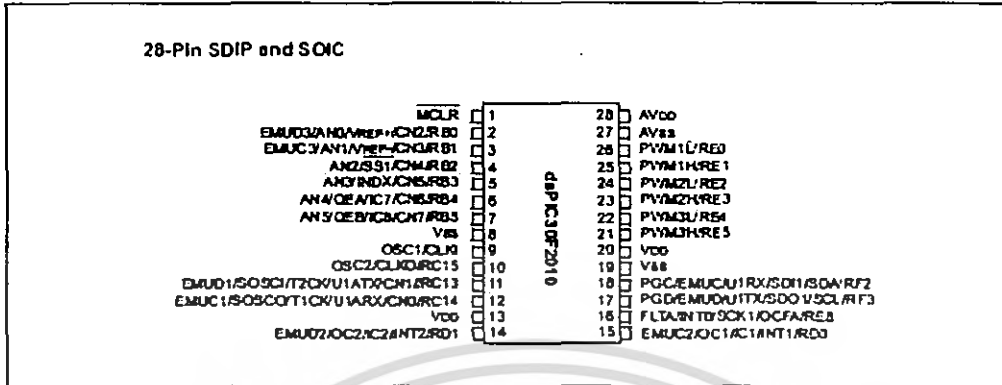
Pin Diagrams



เอกสารนี้เป็นเอกสารที่สงวนไว้สำหรับการใช้งานเพื่อการศึกษาเท่านั้น ไม่อนุญาตให้นำไปใช้ประโยชน์ด้านการค้า
ไม่ว่ากรณีใดๆ ทั้งสิ้น อีกทั้งห้ามมิให้ตัดแปลงเนื้อหา และต้องอ้างอิงถึงเจ้าของเอกสารทุกครั้งที่มีการนำไปใช้

dsPIC30F2010

Pin Diagrams



เอกสารนี้เป็นเอกสารที่สงวนไว้สำหรับการใช้งานเพื่อการศึกษาเท่านั้น ไม่อนุญาตให้นำไปใช้ประโยชน์ด้านการค้า
ไม่ว่ากรณีใดๆ ทั้งสิ้น อีกทั้งห้ามมิให้ตัดแปลงเนื้อหา และต้องอ้างอิงถึงเจ้าของเอกสารทุกครั้งที่มีการนำไปใช้

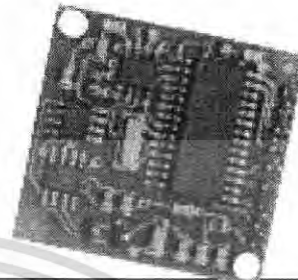
ภาคผนวก ข

โมดูลเข็มทิศดิจิทัล

CMPS03

Digital Compass Module

โมดูลเข็มทิศดิจิทัล



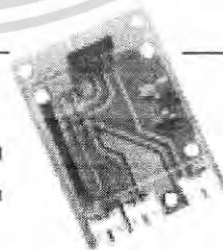
Distributed by: Engineering Experiment Co., Ltd., Thailand

คุณสมบัติ

- ใช้ไฟเลี้ยง +5V ต้องการกระแสไฟฟ้า 20mA
- ใช้ตัวตรวจจับสนามแม่เหล็กเบอร์ KMZ51 ของ Philips จำนวน 2 ตัว เพื่อให้สามารถตรวจจับสนามแม่เหล็กโลกได้อย่างสมบูรณ์และมีความละเอียดมากเพียงพอ
- ความละเอียดของมุม 0.1 องศา
- ค่าความผิดพลาด 3-4 องศา โดยประมาณ หลังจากการปรับแต่ง
- เอาต์พุตแบบสัญญาณพัลส์ ความถี่ 1 ถึง 37 มิลลิวินาที โดยเมื่อตรวจเพิ่มครั้งละ 0.1 มิลลิวินาที
- เอาต์พุตข้อมูลดิจิทัลผ่านทรานซิสเตอร์ระบบบัส I²C ของรับสัญญาณมาที่ความถี่สูงถึง 1MHz โดยให้ข้อมูล 2 รูปแบบคือ 0-255 และ 0-3599
- ขนาดเล็กเพียง 32 x 35 มิลลิเมตร
- สื่อสารกับไมโครคอนโทรลเลอร์ยอดนิยมได้ทุกระบบ อาทิ เมลิกแลตเม 2SX/2P, PIC, MCS-51, PSOC, 68HC11 ทั้งผ่านระบบบัส I²C และด้วยการวัดสัญญาณพัลส์

อุปกรณ์เสริม

- บอร์ด ADX-CMP033 ซึ่งมีบอร์ดระบบฮาร์ดแวร์สำหรับเชื่อมต่อและควบคุมในการเชื่อมต่อกับบอร์ดไมโครคอนโทรลเลอร์และระบบของระบบบอร์ด
- สาย PCB3A สัมพันธ์เชื่อมต่อกับบอร์ดควบคุมมุมของ Hex



๒๒

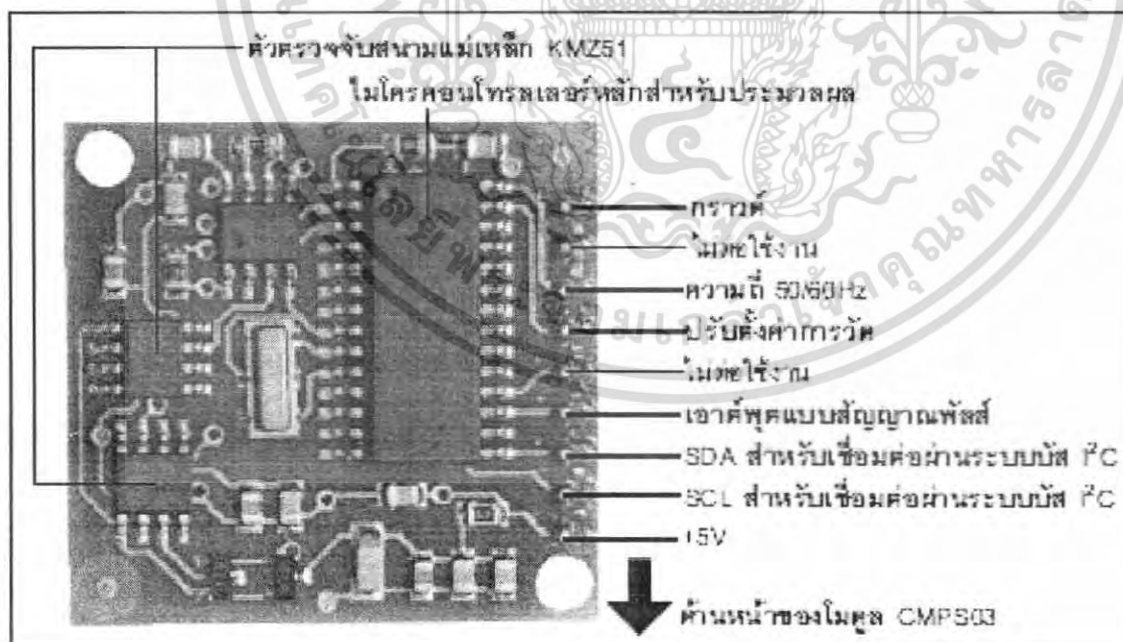
เอกสารนี้เป็นเอกสารที่สงวนไว้สำหรับการใช้งานเพื่อการศึกษาเท่านั้น ไม่อนุญาตให้นำไปใช้ประโยชน์ด้านการค้าไม่ว่ากรณีใดๆ ทั้งสิ้น อีกทั้งห้ามมิให้ตัดแปลงเนื้อหา และต้องอ้างอิงถึงเจ้าของเอกสารทุกครั้งที่มีการนำไปใช้

โมดูลเข็มทิศดิจิทัล CMPS03 เป็นผลงานของ Devantech (www.radio-electronics.co.uk) ออกแบบมาเพื่อช่วยในการกำหนดทิศทางการเคลื่อนที่ของหุ่นยนต์อัตโนมัติ และนำมาใช้ในการสร้างเครื่องมือวัดและตรวจสอบที่ระบบอิเล็กทรอนิกส์ โดยหัวใจสำคัญของโมดูล CMPS03 คือตัวตรวจจับสนามแม่เหล็กเบอร์ KMZ51 ของ Philips จำนวน 2 ตัว เพื่อให้มีความไวเพียงพอในการตรวจจับสนามแม่เหล็กโลก (Earth magnetic field) และไมโครคอนโทรลเลอร์เพื่อรับสัญญาณจากตัวตรวจจับ มาประมวลผลเป็นข้อมูลดิจิทัลและสัญญาณพัลส์สำหรับแจ้งผลการวัดทิศทาง

1. ตำแหน่งขาและการต่อใช้งาน

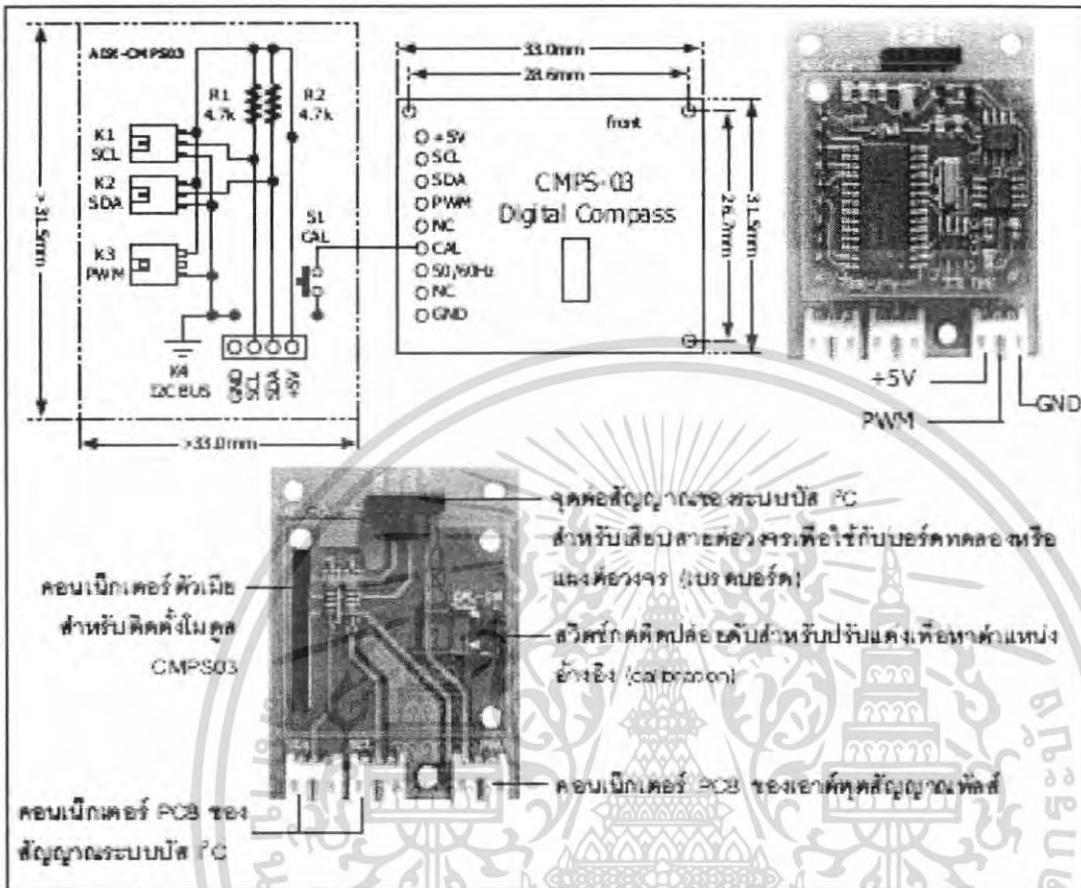
ในรูปที่ 1 แสดงรูปร่างหน้าตาและการจัดขาของ CMPS03 โมดูลเข็มทิศดิจิทัล จะเห็นว่าเป็นแผงวงจรที่มีคอนเนกเตอร์ต่อออกมาเพื่อให้เชื่อมต่อไปใช้งาน อย่างไรก็ตามเพื่ออำนวยความสะดวกแก่ผู้ใช้งานกับบอร์ดควบคุมหุ่นยนต์ของบริษัท อินโนเว็ท เอ็ดดูเทนเมนท์ จำกัด (i-nex : เป็นตัวแทนจำหน่ายสินค้าของ Devantech ในประเทศไทยอย่างเป็นทางการ) จึงได้พัฒนาบอร์ดอะแดปเตอร์รุ่น ADX-CMPS03 เพื่อให้นำโมดูล CMPS03 มาติดตั้ง (โดยบอร์ด ADX-CMPS03 คือแผงจั๊มเบรก)

บนบอร์ด ADX-CMPS03 ได้จัดเตรียมคอนเนกเตอร์ PCB 3 ขาตัวผู้สำหรับเชื่อมต่อกับบอร์ดควบคุมหุ่นยนต์ และคอนเนกเตอร์ IDC ตัวเมียขนาด 4 ขาสำหรับเสียบสายต่อวงจรเบอร์ AWG#22 เพื่อต่อกับแผงต่อวงจรหรือบอร์ดอื่น นอกจากนี้ยังมีตัววัดค่าสำหรับปรับคั้งค่า (calibration) เพื่อกำหนดตำแหน่งทิศอ้างอิง โดยวงจรของบอร์ด ADX-CMPS03 แสดงในรูปที่ 2



รูปที่ 1 แสดงรูปร่างและตำแหน่งขาสำหรับการต่อใช้งาน

เอกสารนี้เป็นเอกสารที่สงวนไว้สำหรับการใช้งานเพื่อการศึกษาเท่านั้น ไม่อนุญาตให้นำไปใช้ประโยชน์ด้านการค้าไม่ว่ากรณีใดๆ ทั้งสิ้น อีกทั้งห้ามมิให้ตัดแปลงเนื้อหา และต้องอ้างอิงถึงเจ้าของเอกสารทุกครั้งที่มีการนำไปใช้



รูปที่ 2 แสดงวงจรของบอร์ด ADX-CMP503 และการเชื่อมต่อกับโมดูล CMPS03

2. การปรับแต่งค่าทิศทางอ้างอิงแก้มอดูล CMPS03

เพื่อให้การวัดทิศทางของ โมดูล CMPS03 มีความแม่นยำมากที่สุด จึงมีอินเตอร์เฟซสำหรับปรับแต่งค่าทิศทางอ้างอิง ทั้งนี้เพื่อประโยชน์ในการกำหนดทิศทางอ้างอิงเฉพาะ สำหรับผู้ใช้งาน โดยต้องป้อนสัญญาณออกอีก "0" เข้าที่ขาอินพุตสำหรับปรับแต่งโมดูล CMPS03 ซึ่งก็คือขา 6 หากใช้บอร์ด ADX-CMP503 กับโมดูล CMPS03 จะมีสวิตช์กดคล้ายกับสวิตช์คีย์บอร์ด มีให้แล้ว การปรับแต่งมีขั้นตอนดังนี้

- (1) วางโมดูล CMPS03 ขนานกับพื้น หันด้านหน้าของโมดูลไปทางทิศเหนือ กลสวิตช์ 1 ครั้ง
- (2) วางโมดูล CMPS03 ขนานกับพื้น หันด้านหน้าของโมดูลไปทางทิศตะวันออกเฉียงออก กลสวิตช์
- (3) วางโมดูล CMPS03 ขนานกับพื้น หันด้านหน้าของโมดูลไปทางทิศใต้ กลสวิตช์ 1 ครั้ง
- (4) วางโมดูล CMPS03 ขนานกับพื้น หันด้านหน้าของโมดูลไปทางทิศตะวันตก กลสวิตช์

เป็นอันสิ้นสุดการปรับตั้งค่าทิศทางอ้างอิงของ โมดูล CMPS03 โดยโมดูลจะเก็บค่าอ้างอิงนี้ไว้ในหน่วยความจำอีอีพรอมและไม่ต้องปรับตั้งค่าใหม่อีกเมื่อจ่ายไฟเลี้ยงครั้งใหม่

เอกสารนี้เป็นเอกสารที่สงวนไว้สำหรับการใช้งานเพื่อการศึกษาเท่านั้น ไม่อนุญาตให้นำไปใช้ประโยชน์ด้านการค้าไม่ว่ากรณีใดๆ ทั้งสิ้น อีกทั้งห้ามมิให้ตัดแปลงเนื้อหา และต้องอ้างอิงถึงเจ้าของเอกสารทุกครั้งที่มีการนำไปใช้

3. การอ่านค่าสัญญาณเอาต์พุตของโมดูล CMPS03

3.1 การอ่านค่าทิศทางจากเอาต์พุตสัญญาณพัลส์

การอ่านค่าสัญญาณใน โหมคนั้น เว้นการนำค่าความกว้างพัลส์ที่ได้จากเอาต์พุตสัญญาณพัลส์ของโมดูล CMPS03 มาระบุค่าหม่งองศา จาก 0 ถึง 359.9 องศา โดยที่ค่าของค่าความกว้างสัญญาณพัลส์จาก 1 มิลลิวินาทีไปจนถึง 36.99 มิลลิวินาที มีความละเอียด 0.1 มิลลิวินาทีต่อองศา ในสัญญาณพัลส์แต่ละโวลต์จะมีช่วงตอปิก "0" กว้าง 65 มิลลิวินาที

ดังนั้นในการนำสัญญาณพัลส์มาประมวลผลเป็นค่ามุม จึงต้องใช้การนับความกว้างของสัญญาณพัลส์เป็นหลักในการคำนวณหาค่ามุมที่โมดูล CMPS03 วัดได้

3.1.1 ตัวอย่างโปรแกรมที่คำนวณมุมเข้าหรับบนชิปคอนโทรลเลอร์ 2SX และ i-Stamp

การใช้งานร่วมกับบนชิปคอนโทรลเลอร์ 2SX และ i-Stamp นั้น จะใช้คำสั่ง PULSIN ในคอนโทรลเลอร์พัลส์ โดยจะเพิ่มค่าการนับขึ้นทุกๆ 0.8 ไมโครวินาทีซึ่งเท่ากับความกว้างของพัลส์ที่ 1 มิลลิวินาทีสำหรับค่าหม่ง 0 องศาบนชิปคอนโทรลเลอร์ 2SX และ i-Stamp จะนับค่าไว้เท่ากับ 1,250 จึงสามารถใช้ค่านี้เป็นจุดอ้างอิงที่ 0 องศาเมื่อต้องการรวมค่ามุมที่แท้จริง ให้มีค่ามุมที่นับได้ครบด้วย 1,250 แล้วหารด้วย 125 ก็จะได้ค่ามุมในหน่วยองศาที่ต้องการ รายละเอียดของโปรแกรมแสดงในโปรแกรมที่ 1

ที่ความกว้างพัลส์สูงสุดคือ 36.99 มิลลิวินาที ค่าที่นับได้จากคำสั่ง PULSIN เท่ากับ 46,237 เมื่อลบด้วย 1,250 แล้วหารด้วย 125 เพื่อแปลงเป็นองศา ค่าสูงสุดที่แสดงเป็นผลลัพธ์ได้คือ 359 เป็นค่าหน่วยขององศาสูงสุดนั่นเอง

หมายเหตุ ในบางกรณี ค่าที่อ่านได้สูงสุดจากคำสั่ง PULSIN อาจไม่ถึง 46,237 ผู้ใช้งานสามารถปรับเปลี่ยนการคำนวณใหม่ให้ได้มุมเป็น 359.9 องศาได้

```
{%STAMP BS2sx}
{%PBASIC 2.5}
bearing VAR WORD
main:
  PULSIN 4, 1, bearing ' Get reading
  bearing = (bearing-1250)/125 ' BS2sx - Calculate Bearing
                                ' in degrees
  DEBUG "Compass Bearing ", DEC bearing, CR
                                ' Display Compass Bearing
  GOTO main
```

โปรแกรมที่ 1 แสดงการอ่านค่าสัญญาณพัลส์จากโมดูล CMPS03

ตำแหน่งรีจิสเตอร์	รายละเอียด
0	ค่าแสดงสถานะของรีจิสเตอร์ CMPS03
1	ส่งค่าตำแหน่งแบบพิกเซล (0-255)
2,3	ส่งค่าตำแหน่งแบบละเอียดด้วยทิศทาง 18 บิต (0-3599) สามารถแปลงค่าที่แสดงของค่า 0-3599 ของค่าได้โดยทาง
4,5	สำหรับตรวจวัดค่าภายใน โดยจะแสดงค่าความเข้มของ Sensor1 เป็นทิศทาง 18 บิตแบบทิศทางเฉพาะ
6,7	สำหรับตรวจวัดค่าภายใน โดยจะแสดงค่าความเข้มของ Sensor2 เป็นทิศทาง 18 บิตแบบทิศทางเฉพาะ
8,9	แสดงค่าทิศทางการปรับตั้งภายใน (SensorSettling time1) เป็นทิศทาง 18 บิตแบบทิศทางเฉพาะ
10,11	แสดงค่าทิศทางการปรับตั้งภายใน (SensorSettling time2) เป็นทิศทาง 18 บิตแบบทิศทางเฉพาะ
12,13	ไม่ใช้งาน ค่าให้เป็น 0
14	ไม่ใช้งาน ไม่ให้ทิศทางค่าไว้
15	คำสั่งสำหรับการปรับตั้งค่า โดยเมื่อต้องการปรับตั้งค่า ต้องเขียนรีจิสเตอร์ 255 เข้าที่รีจิสเตอร์ตำแหน่งนี้

ตารางที่ 1 แสดงตำแหน่งรีจิสเตอร์ภายในโมดูล CMPS03

3.2 การอ่านค่าทิศทางเป็นข้อมูลดิจิทัลผ่านระบบบัส I²C

การอ่านค่าจากโมดูล CMPS03 ให้ได้ค่าที่มีความแม่นยำสูงควรเลือกบอร์ดหรือชุดข้อมูลดิจิทัลผ่านระบบบัส I²C โดยโมดูล CMPS03 สามารถส่งข้อมูลของค่าที่ออกมาที่ความละเอียดสูงสุด 0.1 องศาโดยไม่ว่าเป็นเครื่องมีการคำนวณหรือแปลงค่าใด ๆ อีก

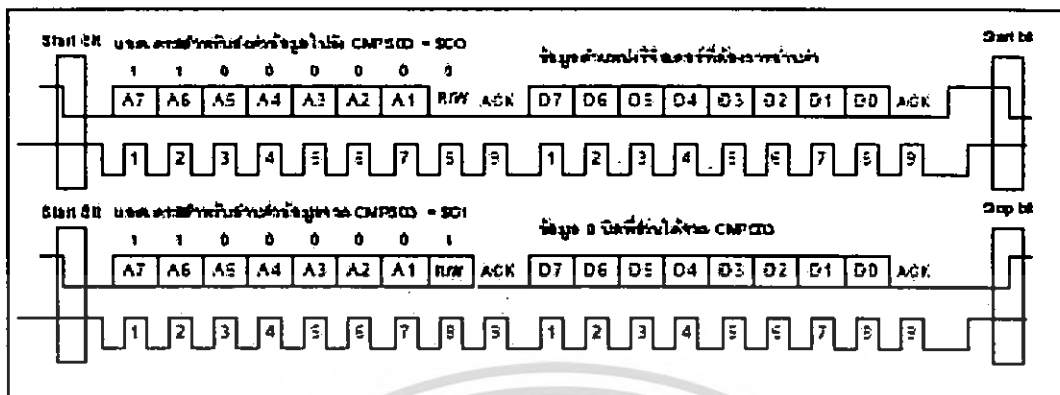
3.2.1 รูปแบบการเขียนข้อมูลบัส I²C

บัส I²C เชื่อมต่อกับในไมโครคอนโทรลเลอร์โดยใช้สายสัญญาณ 2 เส้น ได้แก่ SDA (รับและส่งข้อมูล) และ SCL (ขาสัญญาณนาฬิกา) โดยสายสัญญาณทั้งสองจะต้องคล้องตัวต้านทานทุลอัปก่อนไว้เพื่อกำหนดสถานะลอจิก "1" ให้กับระบบบัส

3.2.2 ลำดับขั้นการติดต่อ

ค่าแอดเดรสของโมดูล CMPS03 คือ 3C0 สำหรับการส่งข้อมูล และ 3C1 สำหรับการอ่านค่าข้อมูล โดยขั้นตอนการสื่อสารกับโมดูล CMPS03 เพื่ออ่านข้อมูลมีดังนี้

เอกสารนี้เป็นเอกสารที่สงวนไว้สำหรับการใช้งานเพื่อการศึกษาเท่านั้น ไม่นิยมนำไปใช้ประโยชน์ด้านการค้าไม่ว่ากรณีใดๆ ทั้งสิ้น อีกทั้งห้ามมิให้ตัดแปลงเนื้อหา และต้องอ้างอิงถึงเจ้าของเอกสารทุกครั้งที่มีการนำไปใช้



รูปที่ 3 แสดงไทมิ่งไดอะแกรมของการติดต่อสื่อสารกับโมดูล CMPS03 ผ่านระบบบัส I²C

1. ส่งบิตรีเซ็ตหรือ Start bit เพื่อแจ้งให้ระบบบัส I²C เริ่มพร้อมรับข้อมูล
 2. ส่งค่าแอดเดรส SC0 เพื่อระบุว่าต้องการติดต่อเพื่อมีเซนข้อมูลไปยังกับโมดูล CMPS03
 3. ส่งค่าคั่นหนึ่งรีจิสเตอร์ภายในโมดูล CMPS03 ที่ต้องการอ่านค่า ซึ่งที่รายละเอียดแสดงในตารางที่ 1
 4. ส่งค่าแอดเดรส SC1 เพื่อระบุว่าต้องการอ่านค่าข้อมูลจากโมดูล CMPS03
 5. อ่านค่าข้อมูลจากโมดูล CMPS03 บันทึกไว้ในหน่วยความจำ
 6. ส่งบิตหยุดหรือ Stop เพื่อหยุดการสื่อสารข้อมูลและกำหนดให้บิตอยู่ในสภาวะบิตว่าง
- จากลำดับขั้นการติดต่อสื่อสารข้างต้น สามารถนำมาผนวชเป็น โปรแกรมหรือช่วง เพื่ออ่านข้อมูลจากโมดูล CMPS03 โดยใช้นักแสดงเลขที่ 2SX หรือ i-Sxmp ได้ดังแสดงในโปรแกรมที่ 2

เอกสารนี้เป็นเอกสารที่สงวนไว้สำหรับการใช้งานเพื่อการศึกษาเท่านั้น ไม่อนุญาตให้นำไปใช้ประโยชน์ด้านการค้า ไม่ว่าจะกรณีใดๆ ทั้งสิ้น อีกทั้งห้ามมิให้ตัดแปลงเนื้อหา และต้องอ้างอิงถึงเจ้าของเอกสารทุกครั้งที่มีการนำไปใช้

```

'{$STAMP BS16x}
'{$BASIC 2.5}
SDA          CON      6          ' I2C serial data line
SCL          CON      7          ' I2C serial clock line
WrCNDP503   CON      %CO      ' write to compass
RdCNDP503   CON      %CI      ' read from compass
Ack         CON      0          ' acknowledge bit
Nak         CON      1          ' no ack bit
12cSDA      VAR      NIB       ' I2C serial data pin
12cData     VAR      WORD      ' data to/from device
REGISTER    VAR      BYTE      ' register address
12cWork     VAR      BYTE      ' work byte for TX routines
12cAck      VAR      BIT       ' Ack bit from device
temp       VAR      WORD      ' for rj printing
digits     VAR      NIB       '
width      VAR      NIB       '

Init:
  PAUSE 250
  12cSDA = SDA          ' defines SDA pin
  REGISTER = 0         ' compass revision number
  COSUB Read_Byte
  DEBUG 2,1,1, "Revision Number = " ,DEC2 12cData
Main:
  REGISTER = 1         ' Show Data 0-255 for 0-360 degree
  COSUB Read_Byte     ' Read Byte From I2C
  DEBUG 2,1,3, "The Coarse Data(0-255) = " ,DEC 12cData
  REGISTER = 2         ' get Data in degrees, 0.0 - 359.9 Degree
  COSUB Read_Word
  DEBUG 2,1,5, "Position = " ,DEC 12cData/10, " " ,DEC1 12cData, " Degree"
  PAUSE 250
  GOTO Main

' Compass Access Subroutine
' Writes low byte of 12cData to REGISTER
Write_Byte:
  COSUB I2C_Start
  12cWork = WrCNDP503
  COSUB I2C_TX_Byte   ' send device address
  12cWork = REGISTER  ' send register number
  COSUB I2C_TX_Byte   ' send register number
  12cWork = 12cData.LOWBYTE
  COSUB I2C_TX_Byte   ' send the data
  COSUB I2C_Stop
  RETURN

' Writes 12cData to REGISTER
Write_Word:
  COSUB I2C_Start
  12cWork = WrCNDP503
  COSUB I2C_TX_Byte   ' send device address
  12cWork = REGISTER  ' send register number
  COSUB I2C_TX_Byte   ' send register number
  12cWork = 12cData.HIGHBYTE
  COSUB I2C_TX_Byte   ' send the data - high byte
  12cWork = 12cData.LOWBYTE
  COSUB I2C_TX_Byte   ' send the data - low byte
  COSUB I2C_Stop
  RETURN

```

โปรแกรมที่ 2 โปรแกรมอ่านค่าจากโมดูล CMP503 ผ่านระบบบัส I²C ของ i-Stamp (มีชื่อ)

เอกสารนี้เป็นเอกสารที่สงวนไว้สำหรับการใช้งานเพื่อการศึกษาเท่านั้น ไม่อนุญาตให้นำไปใช้ประโยชน์ด้านการค้า
ไม่ว่ากรณีใดๆ ทั้งสิ้น อีกทั้งห้ามมิให้ตัดแปลงเนื้อหา และต้องอ้างอิงถึงเจ้าของเอกสารทุกครั้งที่มีการนำไปใช้

```

' Read 12cData (8 bits) from REGISTER
Read_Byte: OCSUB I2C_Start
            12cWork = WICMP503
            OCSUB I2C_TX_Byte           ' send compass address
            12cWork = REGISTER
            OCSUB I2C_TX_Byte           ' send register number
            OCSUB I2C_Start             ' repeat start (sets register)
            12cWork = R3CMP503
            OCSUB I2C_TX_Byte           ' send read command
            OCSUB I2C_RX_Byte_Nak
            OCSUB I2C_Stop
            12cData = 12cWork
            RETURN

' Read 12cData (16 bits) from REGISTER
Read_Word: OCSUB I2C_Start
            12cWork = WICMP503
            OCSUB I2C_TX_Byte           ' send compass address
            12cWork = REGISTER
            OCSUB I2C_TX_Byte           ' send register number
            OCSUB I2C_Start             ' repeat start (sets register)
            12cWork = R3CMP503
            OCSUB I2C_TX_Byte           ' send read command
            OCSUB I2C_RX_Byte
            12cData.HIGHBYTE = 12cWork ' read high byte of data
            OCSUB I2C_RX_Byte_Nak
            OCSUB I2C_Stop
            12cData.LOWBYTE = 12cWork  ' read low byte of data
            RETURN

' Low Level I2C Subroutines
'Start
I2C_Start: INPUT 12cSDA
            INPUT SCL
            LOW 12cSDA
            ' SDA -> low while SCL high

Clock_Hold:
            IF (INS.LOWBIT(SCL) = 0) THEN Clock_Hold ' device ready?
            RETURN

'Transmit
I2C_TX_Byte:
            SHIFTOUT 12cSDA,SCL,MSBFIRST,[12cWork\8] ' send byte to device
            SHIFTIM 12cSDA,SCL,MSBFIRST,[12cAck\1]   ' get acknowledge bit
            RETURN

'Receive
I2C_RX_Byte_Nak: 12cAck = Nak
                 OUTC 12c_RX
                 ' no Ack = high

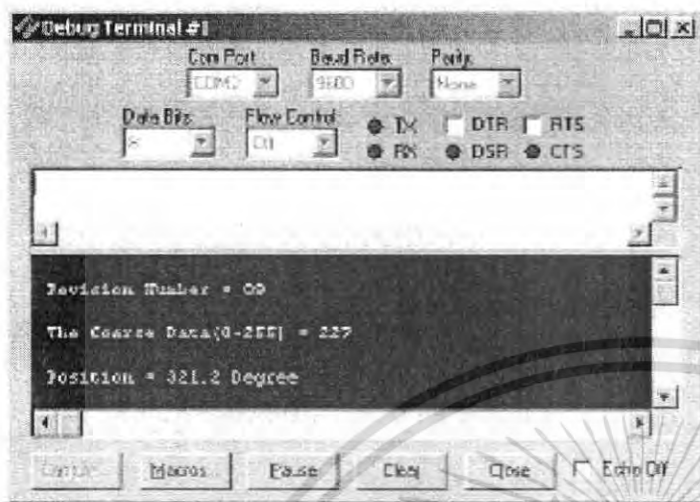
I2C_RX_Byte:     12cAck = Ack
                 ' Ack = low
I2C_RX:
            SHIFTIM 12cSDA,SCL,MSBFIRST,[12cWork\8] ' get byte from device
            SHIFTOUT 12cSDA,SCL,LSBFIRST,[12cAck\1] ' send ack or nak
            RETURN

'Stop
I2C_Stop: LOW 12cSDA
           INPUT SCL
           INPUT 12cSDA
           ' SDA -> high while SCL high
           RETURN

```

โปรแกรมที่ 2 โปรแกรมอ่านค่าจากโมดูล CMP503 ผ่านระบบบัส I²C ของ i-Stamp (มีค้อ)

เอกสารนี้เป็นเอกสารที่สงวนไว้สำหรับการใช้งานเพื่อการศึกษาเท่านั้น ไม่อนุญาตให้นำไปใช้ประโยชน์ด้านการค้า
ไม่ว่ากรณีใดๆ ทั้งสิ้น อีกทั้งห้ามมิให้ตัดแปลงเนื้อหา และต้องอ้างอิงถึงเจ้าของเอกสารทุกครั้งที่มีการนำไปใช้



รูปที่ 4 แสดงหน้าจอของ Debug terminal แสดงข้อมูลที่อ่านได้จากโมดูล CMPS03

3.2.3 การทำงานของโปรแกรมที่ 2 ติดต่อกับโมดูล CMPS03 ผ่านระบบบัส I²C ด้วย i-Stamp

เนื่องจากวงจรถ่ายแบบ 2SX และ i-Stamp ไม่มีคำสั่งคล็อกกับระบบบัส I²C ดังนั้น โปรแกรมติดต่อกับโมดูล CMPS03 ผ่านระบบบัส I²C จึงค่อนข้างยาว เนื่องจากต้องสร้าง โปรแกรมย่อยสำหรับการสื่อสารข้อมูลกับระบบบัส I²C หลังจากที่ผู้ใช้งานสามารถนำโปรแกรมย่อยนี้ไปประยุกต์ใช้งานกับอุปกรณ์ตัวอื่นๆ ที่ได้ใช้การติดต่อบนระบบบัส I²C ได้ทันที สำหรับขั้นตอนการทำงานหลักๆ ของโปรแกรมที่ 2 มีดังนี้

1. กำหนดรีจิสเตอร์ที่ 0 เพื่อติดต่อกับค่าเวอร์ชันของโมดูล CMPS03 จากนั้นอ่านค่ามาแสดงที่หน้าจอ Debug terminal
2. ให้โปรแกรมวนรอบที่โปรแกรมหลัก จากนั้นส่งค่ารีจิสเตอร์ที่ 1 เพื่ออ่านค่าข้อมูลแบบหลายออกมา แล้วนำมาแสดงผลที่หน้าจอ Debug terminal
3. ส่งค่ารีจิสเตอร์ที่ 2 เพื่ออ่านค่าข้อมูลแบบละเอียด จากนั้นส่งอ่านค่าข้อมูลจากบัส I²C แบบวีร็ด (อ่านข้อมูลออกมา 16 บิต)
4. นำค่าข้อมูลที่ได้อ่านด้วย 16 ก่อนเพื่อแปลงค่าที่ได้เป็นองศาแสดงที่หน้าจอ Debug terminal จากนั้นนำค่าหักจุดทศนิยมมาแสดง ซึ่งค่าแห่งจุดทศนิยมเป็นค่าหนึ่งของจุดทศนิยม

เอกสารนี้เป็นเอกสารที่สงวนไว้สำหรับการใช้งานเพื่อการศึกษาเท่านั้น ไม่อนุญาตให้นำไปใช้ประโยชน์ด้านการค้า ไม่ว่ากรณีใดๆ ทั้งสิ้น อีกทั้งห้ามมิให้ดัดแปลงเนื้อหา และต้องอ้างอิงถึงเจ้าของเอกสารทุกครั้งที่มีการนำไปใช้

3.3.4 การปรับแต่งค่าของโมดูล CMPS03 ผ่านทางระบบบัส I²C

การปรับแต่งค่าทำได้โดยการส่งค่า 0xFF ไปยังรีจิสเตอร์ 15 ของโมดูล CMPS03 โดยจะต้องส่งค่า 4 ครั้งและระบุทิศทางหลักๆ 4 ทิศทางเช่นเดียวกับการกำหนดค่าลวดสวิตช์โดยตรง มีขั้นตอนดังนี้

1. วางโมดูล CMPS03 ขนานกับพื้น หันด้านหน้าของโมดูลไปทางทิศเหนือ จากนั้น สัมผัสค่า 255 (0xFF) ไปยังรีจิสเตอร์ 15
2. วางโมดูล CMPS03 ขนานกับพื้น หันด้านหน้าของโมดูลไปทางทิศตะวันออก สัมผัสค่า 255 (0xFF) ไปยังรีจิสเตอร์ 15
3. วางโมดูล CMPS03 ขนานกับพื้น หันด้านหน้าของโมดูลไปทางทิศใต้ กดสวิตช์ สัมผัสค่า 255 (0xFF) ไปยังรีจิสเตอร์ 15
4. วางโมดูล CMPS03 ขนานกับพื้น หันด้านหน้าของโมดูลไปทางทิศตะวันตก กดสวิตช์ สัมผัสค่า 255 (0xFF) ไปยังรีจิสเตอร์ 15

หลังจากปรับแต่งค่าแล้วทำการปรับแต่งร่วมกับวันที่หน่วยรวมเจ้าอีอีพรอม ดังนั้นแม้ไม่จ่ายไฟให้กับควอเตอร์ ข้อมูลที่ปรับแต่งแล้ว จะยังคงอยู่ต่อไป


```

lcd_init(); //init lib
init_led();
init_spi_master();
init_dip(); //init function
init_timer(); //start sampling
init_adc();
init_uart();
show_uart();
init_i2c();
spi_send8_s(1,0,0); //R
spi_send8_s(2,0,0); //L
lcd_text(line1,"sampling 80 ms"); //init display
sprintf(uart_buf,"test run multi motor\n\n"); //init show terminal
putsUARTI((unsigned int *)uart_buf);
while(BusyUARTI());
sprintf(uart_buf,"fuzzy PI 1_master.b\n\n"); //init show terminal
putsUARTI((unsigned int *)uart_buf);
while(BusyUARTI());
sprintf(uart_buf,"set speed\n\n"); //init show terminal
putsUARTI((unsigned int *)uart_buf);
while(BusyUARTI());
lcd_text(line4,"press button");
while(bt1==1);
delay(100);
while(bt1==0);
delay(100);
lcd_text(line4," ");

while(dip1==on) {
  if((dip2==1)&&(dip3==1)) { //set speed run temp_adc=setpoint_value
    if(flag_first[0]==0) {
      flag_first[1]=0;
      flag_first[2]=0;
      flag_first[3]=0;
      flag_first[0]=1;
      led_show(r_on);
      lcd_text(line1,"change sp: ");
      lcd_text(line2+2," ");
      intoled(line2+2,present_setpoint,10);
      lcd_text(line4," ");
      temp_adc=0;
    }
    temp_adc=-50+((adc_read(3))/10);
    if(temp_adc>50) {
      temp_adc=50;
    }
    if(last_temp_adc!=temp_adc) {
      lcd_text(line1+10," ");
      intoled(line1+10,temp_adc,10);
      last_temp_adc=temp_adc;
    }
    if(last_setpoint!=present_setpoint) { //change setpoint of left motor
      lcd_text(line2+2," ");
      intoled(line2+2,present_setpoint,10);
      last_setpoint=present_setpoint;
    }
    if(bt1==0) { //change setpoint value
      delay(dly_key);
      if(bt1==0) {
        present_setpoint=temp_adc;
        spi_send8_s(1,change_setpoint8,present_setpoint); //R
        spi_send8_s(2,change_setpoint8,present_setpoint); //L
        led_show(off);
        delay(1000000);
        led_show(r_on);
        delay(1000000);
        led_show(off);
        delay(1000000);
        led_show(r_on);
      }
      intoled(line4+11,spi_receive8_s(1,read_setpoint8),10); //R
      intoled(line4+2,spi_receive8_s(2,read_setpoint8),10); //L
    } else if(dip2==1&& dip3==0) { //change times of sampling time
      if(flag_first[1]==0) {
        flag_first[0]=0;
        flag_first[2]=0;
        flag_first[3]=0;
        flag_first[1]=1;
        led_show(g_on);
        lcd_text(line1,"sampling : ");
        lcd_text(line2+2," ");
        intoled(line2+2,num_sam,10);
        lcd_text(line4," ");
        temp_adc=0;
      }
      temp_adc=adc_read(3)/4;
      if(temp_adc>250) {
        temp_adc=250;
      }
      if(last_temp_adc!=temp_adc) {
        lcd_text(line1+10," ");
        intoled(line1+10,temp_adc,10);
        last_temp_adc=temp_adc;
      }
      if(last_num_sam!=num_sam) {
        lcd_text(line2+2," ");
        intoled(line2+2,num_sam,10);
        last_num_sam=num_sam;
      }
      if(bt1==0) {
        delay(dly_key);
        if(bt1==0) {

```

เอกสารนี้เป็นเอกสารที่สงวนไว้สำหรับการใช้งานเพื่อการศึกษาเท่านั้น ไม่อนุญาตให้นำไปใช้ประโยชน์ด้านการค้า
ไม่ว่ากรณีใดๆ ทั้งสิ้น อีกทั้งห้ามมิให้ตัดแปลงเนื้อหา และต้องอ้างอิงถึงเจ้าของเอกสารทุกครั้งที่มีการนำไปใช้

```

num_sam=temp_adc;
led_show(off);
delay(1000000);
led_show(g_on);
delay(1000000);
led_show(off);
delay(1000000);
led_show(g_on);
}
} else if(dip2==0&& dip3==1) { //change duty cycle of sampling
if(flag_first[2]==0) {
flag_first[0]=0;
flag_first[1]=0;
flag_first[3]=0;
flag_first[2]=1;
led_show(g_on);
lcd_text(line1,"duty PWM : ");
lcd_text(line2+2," ");
inttoLCD(line2+2,duty_pwm,10);
lcd_text(line4," ");
temp_adc=0;
}
temp_adc=adc_read(3);
if(last_temp_adc!=temp_adc) {
lcd_text(line1+10," ");
inttoLCD(line1+10,temp_adc,10);
last_temp_adc=temp_adc;
}
if(last_duty_pwm!=duty_pwm) {
lcd_text(line2+2," ");
inttoLCD(line2+2,duty_pwm,10);
last_duty_pwm=duty_pwm;
}
if(bt1==0) {
delay(dly_key);
if(bt1==0) {
duty_pwm=temp_adc;
led_show(off);
delay(1000000);
led_show(r_on);
delay(1000000);
led_show(off);
delay(1000000);
led_show(g_on);
}
} else if(dip2==0&& dip3==0) {
if(flag_first[3]==0) {
flag_first[0]=0;
flag_first[1]=0;
flag_first[2]=0;
flag_first[3]=1;
led_show(r_on);
lcd_text(line1,"cmp angle: ");
lcd_text(line2+2," ");
inttoLCD(line2+2,ang_now,10);
lcd_text(line4," ");
}
temp_adc=angle();
if(last_temp_adc!=temp_adc) {
lcd_text(line1+10," ");
sinttoLCD(line1+10,temp_adc,10);
last_temp_adc=temp_adc;
}
if(last_ang!=ang_now) {
lcd_text(line2+2," ");
inttoLCD(line2+2,ang_now,10);
last_ang=ang_now;
}
if(bt1==0) {
delay(dly_key);
if(bt1==0) {
ang_now=temp_adc/10;
//ang_now=temp_adc;
led_show(off);
delay(1000000);
led_show(r_on);
delay(1000000);
led_show(off);
delay(1000000);
led_show(g_on);
}
}
}
delay(100000);
}
}
}
}

sprintf(huart_buf,"setpoint consider R:%d L:%d v\n",spi_receiveS(1,read_setpoint(8)),spi_receiveS(2,read_setpoint(8))); //init show (terminal)
putsUART1((unsigned int *)huart_buf);
while(BusyUART1());

if(dip2==0&& dip3==1) {
flag_start_duty=1;
} else if(dip2==0&& dip3==0) {
ang_start=ang_now;
lcd_text(line2+2," ");
delay(1000000);
inttoLCD(line2+2,ang_start,10);
}
delay(5000000);
lcd_text(line1,"go go robot ");
flag_sampling=1;

```

เอกสารนี้เป็นเอกสารที่สงวนไว้สำหรับการใช้งานเพื่อการศึกษาเท่านั้น ไม่อนุญาตให้นำไปใช้ประโยชน์ด้านการค้า
ไม่ว่ากรณีใดๆ ทั้งสิ้น อีกทั้งห้ามมิให้ตัดแปลงเนื้อหา และต้องอ้างอิงถึงเจ้าของเอกสารทุกครั้งที่มีการนำไปใช้

```

}
void init_dip() {
  TRISBbits.TRISB4=1; //limit sw1
  TRISBbits.TRISB5=1; //limit sw2
  TRISBbits.TRISB6=1; //dip sw1
  TRISBbits.TRISB7=1; //dip sw2
  TRISBbits.TRISB8=1; //dip sw3
  TRISEbits.TRISE4=1; //dip sw3
}
void init_timer() {
  //init timer1
  CloseTimer1();
  ConfigIntTimer1(T1_INT_ON & T1_INT_PRIOR_1);
  WriteTimer1(0);
  OpenTimer1(T1_ON &
             T1_IDLE_STOP &
             T1_GATE_OFF &
             T1_PS_1_8 &
             T1_SYNC_EXT_OFF &
             T1_SOURCE_INT.match_value);
}
void init_adc() {
  ADCON1bits.ADON = 0; // Turn-OFF ADC Before Change Config
  // Initial ADC Channel
  SetChanADC10(ADC_CH0_POS_SAMPLEA_AN0 & // ADC0 = Input(+)
              ADC_CH0_POS_SAMPLEA_AN1 & // ADC1 = Input(+)
              ADC_CH0_POS_SAMPLEA_AN2 & // ADC2 = Input(+)
              ADC_CH0_POS_SAMPLEA_AN3 & // ADC3 = Input(+)
              ADC_CH0_NEG_SAMPLEA_NVREF); // GND = Input(-)
  // Initial ADC Interrupt
  ConfigIntADC10(ADC_INT_DISABLE); // Disable ADC Interrupt
  // Open ADC Function & Turn ON ADC
  OpenADC10(ADC_MODULE_ON & // Turn-ON ADC Function
            ADC_IDLE_STOP & // Stop ADC in IDLE Mode
            ADC_FORMAT_INTG & // Result Format = Unsigned Integer
            ADC_CLK_MANUAL & // ADC Clock = Manual
            ADC_AUTO_SAMPLING_ON & // Enable ADC Sampling
            ADC_SAMPLE_SIMULTANEOUS); // Sample Style = Simultaneous
  // ADC Config2
  ADC_VREF_AVDD_AVSS & // VDD=Vref(H),VSS=Vref(L)
  ADC_SCAN_ON & // Enable Scan
  ADC_CONVERT_CH0 & // Used ADC0 to Convert Result
  ADC_SAMPLES_PER_INT_4 & // Number of Sample Between Interrupt
  ADC_ALT_BUF_OFF & // Disable Alternate Buffer
  ADC_ALT_INPUT_OFF; // Disable Alternate Input
  // ADC Config3
  ADC_SAMPLE_TIME_1 & // Sample Time = Fast
  ADC_CONV_CLK_INTERNAL_RC & // Used Internal RC Clock Sampling
  //ADC_CONV_CLK_SYSTEM & // Used System Clock Sampling
  ADC_CONV_CLK_Tcy; // Conversion Clock = Fast
  // ADC Config Port = Enable RB[0..3] = ADC[0..3]
  ENABLE_AN0_ANA & // Enable RB0 = ADC0
  ENABLE_AN1_ANA & // Enable RB1 = ADC1
  ENABLE_AN2_ANA & // Enable RB2 = ADC2
  ENABLE_AN3_ANA; // Enable RB3 = ADC3
  // ADC Config Scan = ON ADC[0..3], OFF ADC[4..8]
  SKIP_SCAN_AN4 & // Disable Scan ADC4
  SKIP_SCAN_AN5 & // Disable Scan ADC5
  SKIP_SCAN_AN6 & // Disable Scan ADC6
  SKIP_SCAN_AN7 & // Disable Scan ADC7
  SKIP_SCAN_AN8); // Disable Scan ADC8
}
void init_uart() {
  CloseUART1(); // Disable UART1 Before New Config
  // Config UART1 Interrupt Control
  ConfigIntUART1(UART_RX_INT_DIS & // Disable RX Interrupt
                UART_RX_INT_PR2 & // RX Interrupt Priority = 2
                UART_TX_INT_DIS & // Disable TX Interrupt
                UART_TX_INT_PR3); // TX Interrupt Priority = 3
  // Open UART1 = Mode,Status,Baudrate
  OpenUART1(UART_EN & // Enable UART(UART Mode)
            UART_IDLE_STOP & // Disable UART in IDLE Mode
            UART_ALTRX_ALTTX & // Select U1TX=RC13,U1RX=RC14
            UART_DIS_WAKE & // Disable Wake-Up
            UART_DIS_LOOPBACK & // Disable Loop Back
            UART_DIS_ABAUD & // Disable Auto Baudrate
            UART_NO_PAR_8BIT & // UART = 8 Bit, No Parity
            UART_1STOPBIT; // UART = 1 Stop Bit
  // Config UART1 Status
  UART_INT_TX & // Select Interrupt After TX Complete
  UART_TX_PIN_NORMAL & // Normal U1TX Mode
  UART_TX_ENABLE & // Enable U1TX
  UART_INT_RX_BUF_FUL & // Flag Set After RX Complete
  UART_ADR_DETECT_DIS & // Disable Check Address
  UART_RX_OVERRUN_CLEAR; // Clear Overrun Flag
  32); // ET-dsPIC30F2010 UART Baudrate = 57600 BPS
}
void show_uart() {
  unsigned int j=0,k=0;
  unsigned int temp_ang=0,last_temp_ang=0;
  if(!b1==0) {
    delay(100);
    if(b1==0) {
      delay(700000);
      while(b1) {
        led_show(alternate_blink); //send data to terminal
        delay(500000);
      }
      delay(1000);
      while(!b1);
      delay(1000);
      for(j=0;j<2;j++) {
        if(j==0) {

```

เอกสารนี้เป็นเอกสารที่สงวนไว้สำหรับการใช้งานเพื่อการศึกษาเท่านั้น ไม่อนุญาตให้นำไปใช้ประโยชน์ด้านการค้า
ไม่ว่ากรณีใดๆ ทั้งสิ้น อีกทั้งห้ามมิให้ตัดแปลงเนื้อหา และต้องอ้างอิงถึงเจ้าของเอกสารทุกครั้งที่มีการนำไปใช้

```

    sprintf(uart_buf, "\r\n %d Right\r\n", j); // Print Message String
    putsUARTI((unsigned int *)uart_buf); // Print uart_buf to UARTI
    while(BusyUARTI());
} else if(j==1) {
    sprintf(uart_buf, "\r\n %d Left\r\n", j); // Print Message String
    putsUARTI((unsigned int *)uart_buf); // Print uart_buf to UARTI
    while(BusyUARTI());
}
for(k=0; k<num_sam; k++) {
    sprintf(uart_buf, "%d \r\n", data_show[j][k]); // Print Message String
    putsUARTI((unsigned int *)uart_buf); // Print uart_buf to UARTI
    while(BusyUARTI());
}
sprintf(uart_buf, "--%d\r\n", num_sam); // Print Message String
putsUARTI((unsigned int *)uart_buf); // Print uart_buf to UARTI
while(BusyUARTI());
k=0;
}
lcd_text(line4, "end");
sprintf(uart_buf, ".end.\r\n"); // Print Message String
putsUARTI((unsigned int *)uart_buf); // Print uart_buf to UARTI
while(BusyUARTI());
while(!b1) {
    led_show(o_on);
}
delay(1000);
while(!b1);
delay(1000000);
}
}
led_show(r_blink);
temp_ang=angle/10;
//temp_ang=angle();
if(!last_temp_ang!=temp_ang) {
    lcd_text(line4, " ");
    intToLCD(line4, temp_ang, 10);
    last_temp_ang=temp_ang;
}
delay(500000);
}
void delay(unsigned long dly) {
    while(dly--);
}

```

Program of slave controller

```

//PROGRAM: sam_80ms_slave.c <sampling every 80ms>
//PIN HARDWARE:
//QEI
//DIR motor RB1 RB4 = QEA RB5 = QEB
//MCPWM RE5 = PWM3H RB2
//LED RE2 - RE3 (-,+) green (+,-) red
#include<p30f2010.h>
#include<ports.h> // Used Port & Interrupt Function Library
#include"C:\dsPIC\dspic_o00\lib\spi_slave_project.h"
#include"C:\dsPIC\dspic_o00\lib\led_slave.h"
//motor control
#include"C:\dsPIC\dspic_o00\lib\motor\motor_control.h"
#include"C:\dsPIC\dspic_o00\lib\motor\motor_L_motor_control.h"
#include"C:\dsPIC\dspic_o00\lib\motor\motor_fuzzy_PI.h"
#include"C:\dsPIC\dspic_o00\lib\motor\PID_controller.h"
_FOSC(CSW_FSCM_ON & XT_PLL16);
_FWDT(WDT_OFF);
_FBORPOR(PBOR_ON & BORV_45 & PWRT_64 & MCLR_EN);
_FGS(CODE_PROT_OFF);
//Function Prototype
void init(); //init data
void init_int0();
void delay(unsigned long dly);
void sorting_type_dat();
//INT0 Interrupt Service Active by Port Pin RE8
void _ISR_INT0Interrupt(void) {
    sorting_type_dat();
    IFS0bits.INT0IF = 0; // Reset INT0 Interrupt Flag
}
int main() {
    setpoint=0; //speed>>rpin
    init();
    while(1);
}
void init() {
    motor_control_init();
    init_spi_slave();
    init_led_slave();
    init_int0();
}
void init_int0() {
    ConfigINT0(FALLING_EDGE_INT & // Falling Edge Trigger Interrupt
    EXT_INT_ENABLE & // Enable INT0 Interrupt
    EXT_INT_PRI_6); // INT0 Interrupt Priority = 6
}
void delay(unsigned long dly) {
    while(dly--);
}
void sorting_type_dat() {
    switch(spi_in_slave()) {
        //slave receive 8 bits data
        case(change_setpoint8): {
            setpoint=spi_in_slave_s();

```

เอกสารนี้เป็นเอกสารที่สงวนไว้สำหรับการใช้งานเพื่อการศึกษาเท่านั้น ไม่อนุญาตให้นำไปใช้ประโยชน์ด้านการค้า
ไม่ว่ากรณีใดๆ ทั้งสิ้น อีกทั้งห้ามมิให้ตัดแปลงเนื้อหา และต้องอ้างอิงถึงเจ้าของเอกสารทุกครั้งที่มีการนำไปใช้

```

} break;
case(stop_motor): {
  if(spi_in_slave()==0) {
    dir1=0; dir2=0;
    setpoint=0;
  }
} break;
case(cal_speed): {
  if(spi_in_slave()==0) {
    cal_speed80ms();
  }
} break;
case(FLC_sp): { //FLC-PI 5 o/p
  if(spi_in_slave()==0) {
    FLC_PI(setpoint);
  }
} break;
case(P_sp): {
  if(spi_in_slave()==0) {
    P_controller(setpoint);
  }
} break;
case(PI_sp): {
  if(spi_in_slave()==0) {
    PI_controller(setpoint);
  }
} break;
case(FLC_P_sp): {
  if(spi_in_slave()==0) {
    FLC_P(setpoint);
  }
} break;
case(FLC_I_sp): {
  if(spi_in_slave()==0) {
    FLC_I(setpoint);
  }
} break;
//slave send 8 bits data
case(read_speed8): {
  spi_out_slave_s((signed char)real_speed);
} break;
case(read_setpoint8): {
  spi_out_slave_s((signed char)setpoint);
} break;
//slave receive 16 bits data
case(change_setpoint16): {
  setpoint=spi_in_slave16_s();
} break;
case(change_duty16): {
  speed_output(3,spi_in_slave16_s());
} break;
//slave send 16 bits data
case(read_speed16): {
  spi_out_slave16_s((signed int)real_speed);
} break;
case(read_setpoint16): {
  spi_out_slave16_s((signed int)setpoint);
} break;
}
//credit by o0o0
//robot club kmitl

```

Library Program of lcd display module (Master)

```

#include"C:\msPIC\spic_o0o0\lib\lcd_mcdspic.h"
//reference lcd display 16*4
//Pin Hardware
//LCD on portE RD0 = RS RD1 = E GND = RW RE0-RE3 = DA-D7
#define line1 0x80
#define line2 0xC0
#define line3 0x90
#define line4 0xD0
#define lcd0; lcd_text((line4+15," ");
#define lcd1; lcd_text((line4+15," ");
#define num_of_digit 32
#define lcd_clear() lcd_command(0x01)
#define lcd_origin() lcd_command(0x02)
#define lcd_on() lcd_command(0x0F)
#define lcd_off() lcd_command(0x0B)
/* Display ON/OFF Control */
#define DON 0x0F // Display on
#define DOFF 0x0B // Display off
#define CURSOR_ON 0x0F // Cursor on
#define CURSOR_OFF 0x0D // Cursor off
#define BLINK_ON 0x0F // Cursor Blink
#define BLINK_OFF 0x0E // Cursor No Blink
/* Cursor or Display Shift */
#define SHIFT_CUR_LEFT 0x13 // Cursor shifts to the left
#define SHIFT_CUR_RIGHT 0x17 // Cursor shifts to the right
#define SHIFT_DISP_LEFT 0x1B // Display shifts to the left
#define SHIFT_DISP_RIGHT 0x1F // Display shifts to the right
/*Pin Hardware*/ // Data Pin = RE0-RE3
#define rs LATDbits.LATD0 // RD0 = RS
#define e LATDbits.LATD1 // RD1 = E
#define dly_cmd 5500
#define dly_init 25000
unsigned char flag_lcd=0; //flag blink status
/*Function delay*/

```

เอกสารนี้เป็นเอกสารที่สงวนไว้สำหรับการใช้งานเพื่อการศึกษาเท่านั้น ไม่อนุญาตให้นำไปใช้ประโยชน์ด้านการค้า
ไม่ว่ากรณีใดๆ ทั้งสิ้น อีกทั้งห้ามมิให้ตัดแปลงเนื้อหา และต้องอ้างอิงถึงเจ้าของเอกสารทุกครั้งที่มีการนำไปใช้

```

void lcd_delay(unsigned int dly) {
    while(dly--);
}
/*Function send command to LCD format 4 Bit*/
void lcd_command(unsigned char cmd) {
    unsigned char temp;
    temp=(cmd&0xF0)>>4;
    rs=0;
    e=1;
    LATE=(LATE&0xF0)|temp;
    lcd_delay(dly_cmd);
    e=0;
    lcd_delay(dly_cmd);

    temp=cmd&0x0F;
    e=1;
    LATE=(LATE&0xF0)|temp;
    lcd_delay(dly_cmd);
    e=0;
    lcd_delay(dly_cmd);
}
/*Function send data to LCD format 4 Bit*/
void lcd_data(unsigned char dat) {
    unsigned char temp;
    temp=(dat&0xF0)>>4;
    rs=1;
    e=1;
    LATE=(LATE&0xF0)|temp;
    lcd_delay(dly_cmd);
    e=0;
    lcd_delay(dly_cmd);
    temp=dat&0x0F;
    e=1;
    LATE=(LATE&0xF0)|temp;
    lcd_delay(dly_cmd);
    e=0;
    lcd_delay(dly_cmd);
}
/*Function show string message*/
void lcd_text(unsigned char line,char *p) {
    lcd_origin();
    lcd_command(line);
    while(*p) {
        lcd_data(*p);
        p++;
    }
}
/*Function set initial format 4 Bit*/
void lcd_init() { //Initial LCD 4bit
    TRISEbits.TRISE0=0;
    TRISEbits.TRISE1=0;
    TRISEbits.TRISE2=0;
    TRISEbits.TRISE3=0;
    TRISDbits.TRISD0=0;
    TRISDbits.TRISD1=0;
    lcd_delay(dly_init);
    lcd_command(0x33);
    lcd_command(0x32);
    lcd_command(0x28);
    lcd_command(0x0C);
    lcd_command(0x01);
}
void ultoa(unsigned long value,char *string,unsigned char radix) {
    unsigned char index;
    char buffer[num_of_digit];
    index=num_of_digit;
    do
    {
        buffer[--index] = '0' + (value % radix);
        if(buffer[index] > '9')
            buffer[index] += 'A'-'9'-1;
        value /= radix;
    } while(value != 0);
    do
    {
        *string++ = buffer[index++];
    } while(index < num_of_digit);
    *string=0;
}

void ltoa(long value_l,char *string_l,unsigned char radix_l) {
    if(value_l < 0 && radix_l == 10) {
        *string_l++ = '-';
        ultoa(-value_l,string_l,radix_l);
    }
    else {
        ultoa(value_l,string_l,radix_l);
    }
}

void intolcd(unsigned char posi,long value,int format) {
    char buff[12];
    ultoa(value,&buff[0],format);
    lcd_text(posi,&buff[0]);
}

void sintolcd(unsigned char posi,long value,int format) {
    char buff[12];
    ltoa(value,&buff[0],format);
    lcd_text(posi,&buff[0]);
}

void lcd_blink() {
    if(flag_lcd==0) {
        flag_lcd=1;
        lcd0;
    }
}

```

เอกสารนี้เป็นเอกสารที่สงวนไว้สำหรับการใช้งานเพื่อการศึกษาเท่านั้น ไม่อนุญาตให้นำไปใช้ประโยชน์ด้านการค้า
ไม่ว่ากรณีใดๆ ทั้งสิ้น อีกทั้งห้ามมิให้ตัดแปลงเนื้อหา และต้องอ้างอิงถึงเจ้าของเอกสารทุกครั้งที่มีการนำไปใช้

```

} else {
  flag_lcd=0;
  lcd1;
}
}

```

Library Program of communication via SPI bus interface (Master)

```

//include"C:\dsPIC\dsPIC_o00olib\sPI_master_project.h"
//Pin Hardware
//communicate spi bus
#define cs1 LATFbits.LATF0 //o/p
#define cs2 LATFbits.LATF1 //o/p
#define en_spi LATFbits.LATF4 //o/p not use
#define miso PORTFbits.RFS //i/p
#define mosi LATFbits.LATF6 //o/p
#define sclk LATEbits.LATE8 //o/p
//type of data
//master send 8 bits 0xAx
#define change_setpoint8 0xA0
#define stop_motor 0xA1
#define cal_speed 0xA2 //every 20ms
#define FLC_sp 0xA3 //fuzzy PI
#define P_sp 0xA4
#define PI_sp 0xA5
#define FLC_P_sp 0xA6
#define FLC_I_sp 0xA7
//master receive 8 bits 0xBx
#define read_speed8 0xB0
#define read_setpoint8 0xB1
//master send 16 bits 0xCx
#define change_setpoint16 0xC0
#define change_duty16 0xC1
//master receive 16 bits 0xDx
#define read_spced16 0xD0
#define read_setpoint16 0xD1
//endtype of data
//delay for waiting something
#define dly_clk 15
#define dly_ready 25
#define dly_process_complete 65
//void spi_send8(unsigned char ch,unsigned char type_dat,unsigned char dat);
//unsigned char spi_receive8(unsigned char ch,unsigned char type_dat);
//void spi_send16(unsigned char ch,unsigned char type_dat,unsigned int dat);
//unsigned int spi_receive16(unsigned char ch,unsigned char type_dat);
//
void delay_spi(unsigned long dly) {
  while(dly--);
}
//
void init_spi_master() {
  TRISFbits.TRISF0=0; //cs1
  TRISFbits.TRISF1=0; //cs2
  TRISFbits.TRISF4=0; //en_spi
  TRISFbits.TRISF5=1; //miso
  TRISFbits.TRISF6=0; //mosi
  TRISEbits.TRISE8=0; //sclk
  cs1=1;
  cs2=1;
  en_spi=1;
  mosi=1;
  sclk=1;
}
//
void cs_pulse(unsigned char cs_ch) {
  if(cs_ch==1) {
    cs1=0;
    delay_spi(dly_clk);
    cs1=1;
  } else if(cs_ch==2) {
    cs2=0;
    delay_spi(dly_clk);
    cs2=1;
  }
  delay_spi(dly_clk);
}
//
//MASTER send-recieve 8 bits with SPI BUS
void spi_out_master(unsigned char dat) {
  unsigned char i=0;
  for(i=0;i<8;i++) {
    delay_spi(dly_clk);
    if((dat&0x80)!=0) {
      mosi=1;
    } else {
      mosi=0;
    }
    sclk=1;
    delay_spi(dly_clk);
    sclk=0;
    dat<<=1;
  }
}
//check have completed
void spi_out_master_(signed char dat) {
  unsigned char i=0;
  for(i=0;i<8;i++) {
    delay_spi(dly_clk);

```

เอกสารนี้เป็นเอกสารที่สงวนไว้สำหรับการใช้งานเพื่อการศึกษาเท่านั้น ไม่อนุญาตให้นำไปใช้ประโยชน์ด้านการค้า
ไม่ว่ากรณีใดๆ ทั้งสิ้น อีกทั้งห้ามมิให้ตัดแปลงเนื้อหา และต้องอ้างอิงถึงเจ้าของเอกสารทุกครั้งที่มีการนำไปใช้

```

    if((dat&0x80)!=0) {
        mosi=1;
    } else {
        mosi=0;
    }
    sclk=1;
    delay_spi(dly_clk);
    sclk=0;
    dat<<=1;
}
}
//
unsigned char spi_in_master() {
    unsigned char dat=0,i=0;
    for(i=0;i<8;i++) {
        delay_spi(dly_clk);
        dat<<=1;
        sclk=1;
        delay_spi(dly_clk);
        dat|=miso;
        sclk=0;
    }
    return(dat);
}
//check have completed
signed char spi_in_master_s() {
    signed char dat=0;
    unsigned char i=0;
    for(i=0;i<8;i++) {
        delay_spi(dly_clk);
        dat<<=1;
        sclk=1;
        delay_spi(dly_clk);
        dat|=miso;
        sclk=0;
    }
    return(dat);
}
//end MASTER send-recvie 8 bits with SPI BUS
//
//MASTER send-recvie 16 bits with SPI BUS
void spi_out_master16(unsigned int dat) {
    unsigned char i=0;
    for(i=0;i<16;i++) {
        delay_spi(dly_clk);
        if((dat&0x8000)!=0) {
            mosi=1;
        } else {
            mosi=0;
        }
        sclk=1;
        delay_spi(dly_clk);
        sclk=0;
        dat<<=1;
    }
}
//check have completed
void spi_out_master16_s(signed int dat) {
    unsigned char i=0;
    for(i=0;i<16;i++) {
        delay_spi(dly_clk);
        if((dat&0x8000)!=0) {
            mosi=1;
        } else {
            mosi=0;
        }
        sclk=1;
        delay_spi(dly_clk);
        sclk=0;
        dat<<=1;
    }
}
//
unsigned int spi_in_master16() {
    unsigned int dat=0;
    unsigned char i=0;
    for(i=0;i<16;i++) {
        delay_spi(dly_clk);
        dat<<=1;
        sclk=1;
        delay_spi(dly_clk);
        dat|=miso;
        sclk=0;
    }
    return(dat);
}
//check have completed
signed int spi_in_master16_s() {
    signed int dat=0;
    unsigned char i=0;
    for(i=0;i<16;i++) {
        delay_spi(dly_clk);
        dat<<=1;
        sclk=1;
        delay_spi(dly_clk);
        dat|=miso;
        sclk=0;
    }
    return(dat);
}
//end MASTER send-recvie 16 bits with SPI BUS
//
//functions for send-recvie the packet data

```

เอกสารนี้เป็นเอกสารที่สงวนไว้สำหรับการใช้งานเพื่อการศึกษาเท่านั้น ไม่อนุญาตให้นำไปใช้ประโยชน์ด้านการค้า
 ไม่ว่ากรณีใดๆ ทั้งสิ้น อีกทั้งห้ามมิให้ตัดแปลงเนื้อหา และต้องอ้างอิงถึงเจ้าของเอกสารทุกครั้งที่มีการนำไปใช้

```

void spi_send8(unsigned char ch,unsigned char type_dat,unsigned char dat) //send 8 bits
if(ch==1) {
  cs_pluse(1);
} else if(ch==2) {
  cs_pluse(2);
}
delay_spi(dly_ready);
spi_out_master(type_dat);
delay_spi(dly_ready);
spi_out_master(dat);
delay_spi(dly_process_complete);
}
//check have completed
void spi_send8_s(unsigned char ch,unsigned char type_dat,signed char dat) //send 8 bits
if(ch==1) {
  cs_pluse(1);
} else if(ch==2) {
  cs_pluse(2);
}
delay_spi(dly_ready);
spi_out_master(type_dat);
delay_spi(dly_ready);
spi_out_master_s(dat);
delay_spi(dly_process_complete);
}
//
unsigned char spi_receive8(unsigned char ch,unsigned char type_dat) { //receive 8 bits
  unsigned char temp=0;
  if(ch==1) {
    cs_pluse(1);
  } else if(ch==2) {
    cs_pluse(2);
  }
  delay_spi(dly_ready);
  spi_out_master(type_dat);
  delay_spi(dly_ready);
  temp=spi_in_master();
  delay_spi(dly_process_complete);
  return(temp);
}
//check have completed
signed char spi_receive8_s(unsigned char ch,unsigned char type_dat) { //receive 8 bits
  signed char temp=0;
  if(ch==1) {
    cs_pluse(1);
  } else if(ch==2) {
    cs_pluse(2);
  }
  delay_spi(dly_ready);
  spi_out_master(type_dat);
  delay_spi(dly_ready);
  temp=spi_in_master_s();
  delay_spi(dly_process_complete);
  return(temp);
}
//
void spi_send16(unsigned char ch,unsigned char type_dat,unsigned int dat) { //send 16 bits
  if(ch==1) {
    cs_pluse(1);
  } else if(ch==2) {
    cs_pluse(2);
  }
  delay_spi(dly_ready);
  spi_out_master(type_dat);
  delay_spi(dly_ready);
  spi_out_master16(dat);
  delay_spi(dly_process_complete);
}
//check have completed
void spi_send16_s(unsigned char ch,unsigned char type_dat,signed int dat) { //send 16 bits
  if(ch==1) {
    cs_pluse(1);
  } else if(ch==2) {
    cs_pluse(2);
  }
  delay_spi(dly_ready);
  spi_out_master(type_dat);
  delay_spi(dly_ready);
  spi_out_master16_s(dat);
  delay_spi(dly_process_complete);
}
//
unsigned int spi_receive16(unsigned char ch,unsigned char type_dat) { //receive 16 bits
  unsigned int temp=0;
  if(ch==1) {
    cs_pluse(1);
  } else if(ch==2) {
    cs_pluse(2);
  }
  delay_spi(dly_ready);
  spi_out_master(type_dat);
  delay_spi(dly_ready);
  temp=spi_in_master16();
  delay_spi(dly_process_complete);
  return(temp);
}
//check have completed
signed int spi_receive16_s(unsigned char ch,unsigned char type_dat) { //receive 16 bits
  signed int temp=0;
  if(ch==1) {
    cs_pluse(1);
  } else if(ch==2) {
    cs_pluse(2);
  }

```

เอกสารนี้เป็นเอกสารที่สงวนไว้สำหรับการใช้งานเพื่อการศึกษาเท่านั้น ไม่อนุญาตให้นำไปใช้ประโยชน์ด้านการค้า
ไม่ว่ากรณีใดๆ ทั้งสิ้น อีกทั้งห้ามมิให้ตัดแปลงเนื้อหา และต้องอ้างอิงถึงเจ้าของเอกสารทุกครั้งที่มีการนำไปใช้

```

}
delay_spi(dly_ready);
spi_out_master(type dat);
delay_spi(dly_ready);
temp=spi_in_master(16 s());
delay_spi(dly_process_complete);
return(temp);
}

```

Library Program of calculation motor speed (Slave)

```

#include"C:\dsPIC\dsPIC_o00olib\motor\cal_speed_80ms.h"
//want variable (signed int) count_step=0, count_round=0; from X_motor_control.h
signed int last_count_step=0, last_count_round=0; //use for calculate speed of motor <in function cal_speed(>
signed int real_speed=0;
void cal_speer80ms() { //calculate every 80ms for encoder 200 ppr
    count_step=POSCNT;
    real_speed=((count_step-last_count_step)+((count_round-last_count_round)*num_ppr))*0.9375; //200ppr, Ts=80ms
    speed(rpm)=12.5(s)*60(min)/800(ppr) = 0.9375rpm
    last_count_round=count_round;
    last_count_step=count_step;
}

```

Library Program of PID controller (Master)

```

#include"C:\dsPIC\dsPIC_o00olib\motor\PID_controller.h"
//P & PI controller
#define Kp 10
#define Ki 5.5
#define Kd 0
signed int duty_acc=0;
void P_controller(signed int setpoint) {
    signed int error_speed;
    signed long duty_output=0;
    error_speed=setpoint-real_speed;
    duty_output=Kp*error_speed;
    if(duty_output>30000) {
        duty_output=30000;
    } else if(duty_output<-30000) {
        duty_output=-30000;
    }
    speed_output(3,(signed int)duty_output); //set pwm duty
}
void PI_controller(signed int setpoint) {
    signed int error_speed, duty_output=0;
    error_speed=setpoint-real_speed;
    if((Kp*error_speed)>30000) {
        duty_output=30000;
    } else if((Kp*error_speed)<-30000) {
        duty_output=-30000;
    } else {
        duty_output=Kp*error_speed;
    }
    duty_acc+=Ki*error_speed;
    if(duty_acc>30000) {
        duty_acc=30000;
    } else if(duty_acc<-30000) {
        duty_acc=-30000;
    }
    duty_output+=duty_acc;
    if(duty_output>30000) {
        duty_output=30000;
    } else if(duty_output<-30000) {
        duty_output=-30000;
    }
    speed_output(3,duty_output); //set pwm duty
}

```

Library Program of slave controller which control left motor

```

#include"C:\dsPIC\dsPIC_o00olib\motor\L_motor_control.h"
//QE1 PWM(dir motor & mcpwm)
//PIN HARDWARE:
//QE1 RB4 = QEA RB5 = QEB
//DIR motor RB1 RB2
//MCPWM RES = PWM3H
#define dir1 LATBbits.LATB1
#define dir2 LATBbits.LATB2
//Left motor
#define forward 1
#define backward 0
//Right motor
#define forward 0
#define backward 1
*/
#define maxcnt_value 799//for motor test (encoder 200 ppr) 4n-1=4(200)-1=799
#define num_ppr (maxcnt_value+1)

signed char flag_count_round; //consider count round >> negative first round =
-1 ,positive first round = 0 ,normal case = 1
signed int count_step=0, count_round=0; //use for calculate speed of motor <in function cal_speed(>
signed int setpoint=0;
#include<pwm.h>

```

เอกสารนี้เป็นเอกสารที่สงวนไว้สำหรับการใช้งานเพื่อการศึกษาเท่านั้น ไม่อนุญาตให้นำไปใช้ประโยชน์ด้านการค้า
ไม่ว่ากรณีใดๆ ทั้งสิ้น อีกทั้งห้ามมิให้ตัดแปลงเนื้อหา และต้องอ้างอิงถึงเจ้าของเอกสารทุกครั้งที่มีการนำไปใช้

```

#include<qei.h>
#include"C:\dsPIC\dsPIC_e00\lib\motor\cal_speed_80ms.h" //for cal speed of motor
void mcpwm_init();
void dir_init();
void speed_output(signed char ch,signed int duty);
void qei_init();
void motor_control_init();
void ISR_QEIInterrupt() {
  if(QEICONbits.UPDN) {          //case step count up
    POSCNT=0;
    if(flag_count_round==1) {
      flag_count_round=0;
    } else {
      flag_count_round=1;
      led_show(r_blink);
      if(++count_round>=30000) {
        count_round=30000;
      }
    }
  }
  else {
    POSCNT=maxcnt_value;
    if(flag_count_round==0) {
      flag_count_round=1;
    } else if(flag_count_round==1||flag_count_round==1) {
      flag_count_round=1;
      led_show(g_blink);
      if(--count_round<=-30000) {
        count_round=-30000;
      }
    }
  }
}
IFS2bits.QE1IF=0;
}
//PWM
void mcpwm_init() {
  unsigned int period=512,sptime,config1,config2,config3;
  CloseMCPWM();
  sptime=0x00; // SEVTCMP = Special Time(Not Used)
  config1=PWM_EN & // Enable PWM Function
  PWM_IDLE_STOP & // Disable PWM in IDLE Mode
  PWM_OP_SCALE1 & // PWM Post Scale = 1
  PWM_IPCLK_SCALE1 & // PWM Input Clock Prescale = 1
  PWM_MOD_FREE; // PWM = Free Running
  config2=PWM_MOD1_IND & // PWM1 = Free Mode
  PWM_MOD2_IND & // PWM2 = Free Mode
  PWM_MOD3_IND & // PWM3 = Free Mode
  PWM_PEN3H & // H of channel 3 work as PWM
  PWM_PDIS3L & // L of channel 3 work as IO
  PWM_PDIS2H & // H of channel 2 work as IO
  PWM_PDIS2L & // L of channel 2 work as IO
  PWM_PDIS1H & // H of channel 1 work as IO
  PWM_PDIS1L; // L of channel 1 work as IO
  config3=PWM_SEVOPS1 & // Special Even Post Scaler = 1:1
  PWM_OSYNC_PWM & // Override Sync. With PWM Clock
  PWM_UEN; // Enable PWM Update
  OpenMCPWM(512,sptime,config1,config2,config3);
}
void dir_init() {
  TRISBbits.TRISB1 = 0; // Config RB1 = Output
  TRISBbits.TRISB2 = 0; // Config RB2 = Output
  dir1=0;
  dir2=0;
}
void speed_output(signed char ch,signed int duty) {
  if(duty>0) {
    dir1=backward; dir2=forward;
    if(duty>1023) {
      duty=1023;
    }
    SetDCMCPWM(ch,duty,0);
  } else if(duty<0) {
    dir1=forward; dir2=backward;
    if(duty<-1023) {
      duty=-1023;
    }
    duty=abs(duty);
    SetDCMCPWM(ch,duty,0);
  } else {
    dir1=0; dir2=0;
    SetDCMCPWM(ch,0,0);
  }
}
//QEI
void qei_init() {
  unsigned int config1;
  ADPCFG=0xFFFF;
  ConfigInQEI(QEI_INT_PRI_7 & QEI_INT_ENABLE);
  POSCNT=0;
  MAXCNT=maxcnt_value;
  config1=(QEI_DIR_SEL_QEB &
  QEI_INT_CLK &
  QEI_INDEX_RESET_DISABLE &
  QEI_CLK_PRESCALE_1 &
  QEI_GATED_ACC_DISABLE &
  QEI_NORMAL_IO &
  //QEI_INPUTS_NOSWAP & //R
  QEI_INPUTS_SWAP & //L
  QEI_MODE_14_MATCH &
  QEI_UP_COUNT &
  QEI_IDLE_CON);
}

```

เอกสารนี้เป็นเอกสารที่สงวนไว้สำหรับการใช้งานเพื่อการศึกษาเท่านั้น ไม่อนุญาตให้นำไปใช้ประโยชน์ด้านการค้า
ไม่ว่ากรณีใดๆ ทั้งสิ้น อีกทั้งห้ามมิให้ตัดแปลงเนื้อหา และต้องอ้างอิงถึงเจ้าของเอกสารทุกครั้งที่มีการนำไปใช้

```

OpenQE1(config1,0);
}
void motor_control_init() {
  mcpwm_init();
  dir_init();
  qei_init();
}

```

Library Program of slave controller which control right motor

```

#include "C:\dsPIC\dspic_o00olib\motor\right_motor_control.h"
//QEI PWM(dir motor & mcpwm)
//PIN HARDWARE:
//QEI          RB4 = QE4  RB5 = QE5
//DIR motor    RB1          RB2
//MCPWM        RE5 = PWM3H
#define dir1 LATBbits.LATB1
#define dir2 LATBbits.LATB2
/*Left motor
#define forward 1
#define backward 0
*/
//Right motor
#define forward 0
#define backward 1
#define maxcnt_value 799//for motor test (encoder 200 ppr) 4n-1=4(200)-1=799
#define num_ppr (maxcnt_value+1)
signed char flag_count_round; //consider count round >> negative first round =
-1 ,positive first round = 0 ,normal case = 1
signed int count_step=0,count_round=0; //use for calculate speed of motor <-in function cal_speed()
signed int setpoint=0;
#include <pwm.h>
#include <qei.h>
#include "C:\dsPIC\dspic_o00olib\motor\cal_speed_80ms.h" //for cal speed of motor
void mcpwm_init();
void dir_init();
void speed_output(signed char ch,signed int duty);
void qei_init();
void motor_control_init();
void ISR_QEIInterrupt() {
  i(QEICONbits.UPDN) { //case step count up
    POSCNT=0;
    if(flag_count_round==1) {
      flag_count_round=0;
    } else {
      flag_count_round=1;
      led_show(r_blink);
      if(++count_round>=30000) {
        count_round=30000;
      }
    }
  }
  else {
    POSCNT=maxcnt_value;
    if(flag_count_round==0) {
      flag_count_round=-1;
    } else if(flag_count_round==1) {
      flag_count_round=0;
    } else if(flag_count_round==2) {
      flag_count_round=1;
      led_show(g_blink);
      if(--count_round<=-30000) {
        count_round=-30000;
      }
    }
  }
}
IFS2bits.QE1IF=0;
}
//PWM
void mcpwm_init() {
  unsigned int period=512,spiime,config1,config2,config3;
  CloseMCPWM();
  spiime=0x00; // SEVTCMP = Special Time(Not Used)
  config1=PWM_EN & // Enable PWM Function
  PWM_IDLE_STOP & // Disable PWM in IDLE Mode
  PWM_OP_SCALE1 & // PWM Post Scale = 1
  PWM_IPCLK_SCALE1 & // PWM Input Clock Prescale = 1
  PWM_MOD_FREE; // PWM = Free Running
  config2=PWM_MOD1_IND & // PWM1 = Free Mode
  PWM_MOD2_IND & // PWM2 = Free Mode
  PWM_MOD3_IND & // PWM3 = Free Mode
  PWM_PEN3H & // H of channel 3 work as PWM
  PWM_PDIS3L & // L of channel 3 work as IO
  PWM_PDIS2H & // H of channel 2 work as IO
  PWM_PDIS2L & // L of channel 2 work as IO
  PWM_PDIS1H & // H of channel 1 work as IO
  PWM_PDIS1L; // L of channel 1 work as IO
  config3=PWM_SEVOPSI & // Special Even Post Scaler = 1:1
  PWM_OSYNCPWM & // Override Sync With PWM Clock
  PWM_UEN; // Enable PWM Update
  OpenMCPWM(512,spiime,config1,config2,config3);
}
void dir_init() {
  TRISBbits.TRISB1 = 0; // Config RB1 = Output
  TRISBbits.TRISB2 = 0; // Config RB2 = Output
  dir1=0;
  dir2=0;
}
void speed_output(signed char ch,signed int duty) {
  if(duty>0) {
    dir1=backward; dir2=forward;
  }
  if(duty>1023) {
    duty=1023;
  }
}

```

เอกสารนี้เป็นเอกสารที่สงวนไว้สำหรับการใช้งานเพื่อการศึกษาเท่านั้น ไม่อนุญาตให้นำไปใช้ประโยชน์ด้านการค้า
ไม่ว่ากรณีใดๆ ทั้งสิ้น อีกทั้งห้ามมิให้ตัดแปลงเนื้อหา และต้องอ้างอิงถึงเจ้าของเอกสารทุกครั้งที่มีการนำไปใช้

```

}
SetDCMCPWM(ch,duty,0);
} else if(duty<0) {
dir1=forward; dir2=backward;
if(duty<-1023) {
duty=-1023;
}
duty=abs(duty);
SetDCMCPWM(ch,duty,0);
} else {
dir1=0; dir2=0;
SetDCMCPWM(ch,0,0);
}
}
//QEI
void qei_init() {
unsigned int config1;
ADPCFG=0xFFFF;
ConfigIntQEI(QEI_INT_PRI_7 &
              QEI_INT_ENABLE);
POSCNT=0;
MAXCNT=maxcnt_value;
config1=(QEI_DIR_SEL_QEB &
          QEI_INT_CLK &
          QEI_INDEX_RESET_DISABLE &
          QEI_CLK_PRESCALE_1 &
          QEI_GATED_ACC_DISABLE &
          QEI_NORMAL_IO &
          QEI_INPUTS_NOSWAP & //R
          //QEI_INPUTS_SWAP & //L
          QEI_MODE_x4_MATCH &
          QEI_UP_COUNT &
          QEI_IDLE_CON);
OpenQEI(config1,0);
}
void motor_control_init() {
mcpwm_init();
dir_init();
qei_init();
}

```

Library Program of Fuzzy I controller (Master)

```

#include "C:\dsPIC\dsPIC_000\lib\motor\ufuzzy_1.h"
//Fuzzy Control Speed module
//Fuzzy-I controller (sampling every 20ms)
//V/P error and deror    >> speed(rpm)
//O/P duty              >> -1023 - 1023
//min-max speed motor   >> -100 - 100 rpm
//want >> real_speed global variable in main program
#define error 0
#define P -1
#define Z 0
#define N 1
//limit of graph degree of membership
//error
#define Llim_error -55
#define Ulim_error 55
#define m_error 0.0182 //slope error = 1/55
//membership function of output d duty >> (-100 - 100)
#define oN -250
#define oZ 0
#define oP 250
float uP=0,uZ=0,uN=0; //degree of membership function of error
float uoN=0,uoZ=0,uoP=0; //degree of membership function of d voltage
signed int duty=0;
void fuzzifier(float value);
void rule_base(void);
//void inference(void);
float defuzzifier(void);
float min(float value1,float value2);
float max(float value1,float value2);
void clear_uMF(void);
float u_MF(signed char mf_con,float value);
float FLC(signed int error_value);
void FLC_1(signed int set_point);
//fuzzy-I controller
void FLC_1(signed int setpoint) {
signed int duty_output=0;
duty+=FLC(setpoint-real_speed); //FLC(error)=duty >> (-1023 - 1023)
//limit
if(duty>30000) { //upper limit
duty=30000;
} else if(duty<-30000) { //lower limit
duty=-30000;
}
//output limit
if(duty>1023) { //upper output limit
duty_output=1023;
} else if(duty<-1023) { //lower output limit
duty_output=-1023;
} else {
duty_output=duty;
}
speed_output(3,duty_output); //set pwm duty
}
void fuzzifier(float value) {
uP=u_MF(P,value); //error is positive
uZ=u_MF(Z,value); //error is zero
uN=u_MF(N,value); //error is negative
}

```

เอกสารนี้เป็นเอกสารที่สงวนไว้สำหรับการใช้งานเพื่อการศึกษาเท่านั้น ไม่อนุญาตให้นำไปใช้ประโยชน์ด้านการค้า
ไม่ว่ากรณีใดๆ ทั้งสิ้น อีกทั้งห้ามมิให้ตัดแปลงเนื้อหา และต้องอ้างอิงถึงเจ้าของเอกสารทุกครั้งที่มีการนำไปใช้

```

void rule_base() { //FLC have 5 rules.
//rule 1: if( error is Z ) then ( voltage is oZ )
if(uZ>0) {
uoZ=uZ;
} else {
uoZ=0;
}
//rule 2: if( error is P ) then ( dvoltage is oN )
if(uP>0) {
uoN=uP;
} else {
uoN=0;
}
//rule 3: if( error is N ) then ( dvoltage is oP )
if(uN>0) {
uoP=uN;
} else {
uoP=0;
}
}
/*void inference() {
//not use
}*/
float defuzzifier() { //COA
float output=0,sum_uoutput=0;
output+=(oP*uoP);
output+=(oZ*uoZ);
output+=(oN*uoN);
sum_uoutput=uoP+uoZ+uoN;
return(output/sum_uoutput);
}
float min(float value1,float value2) {
float value=0;
if(value1<=value2) {
value=value1;
} else {
value=value2;
}
return(value);
}
float max(float value1,float value2) {
float value=0;
if(value1>=value2) {
value=value1;
} else {
value=value2;
}
return(value);
}
void clear_uMF() {
//clear all previous data
uP=0; uZ=0; uN=0;
uoN=0; uoZ=0; uoP=0;
}
float u_MF(signed char mf_con,float value) {
float temp_u_mf=0;
//input is error
switch(mf_con) {
case(P): { //error is positive
if(value<=Llim_error) {
temp_u_mf=1;
} else if((value>Llim_error)&&(value<0)) {
temp_u_mf=(-m_error)*value;
} else {
temp_u_mf=0;
}
} break;
case(Z): { //error is zero
if((value>Llim_error)&&(value<0)) {
temp_u_mf=((m_error)*value)+1;
} else if(value==0){
temp_u_mf=1;
} else if((value>0)&&(value<Ulim_error)) {
temp_u_mf=(-m_error)*value)+1;
} else {
temp_u_mf=0;
}
} break;
case(N): { //error is negative
if((value>0)&&(value<Ulim_error)) {
temp_u_mf=(m_error)*value;
} else if(value==Ulim_error){
temp_u_mf=1;
} else {
temp_u_mf=0;
}
} break;
}
return(temp_u_mf);
}
float FLC(signed int error_value) {
clear_uMF();
fuzzifier(error_value);
rule_base();
//inference();
return(defuzzifier());
}

```

เอกสารนี้เป็นเอกสารที่สงวนไว้สำหรับการใช้งานเพื่อการศึกษาเท่านั้น ไม่อนุญาตให้นำไปใช้ประโยชน์ด้านการค้า
ไม่ว่ากรณีใดๆ ทั้งสิ้น อีกทั้งห้ามมิให้ตัดแปลงเนื้อหา และต้องอ้างอิงถึงเจ้าของเอกสารทุกครั้งที่มีการนำไปใช้

Library Program of Fuzzy P controller (Master)

```

#include "C:\vsPIC\vspic_o00lib\motor\Fuzzy_P.h"
//Fuzzy Control Speed module
//Fuzzy-P controller (sampling every 20ms)
//U/P error and derror >> speed(rpm)
//O/P duty >> -1023 - 1023
//min-max speed motor >> -100 - 100 rpm
//want >> real_speed global variable in main program
#define error 0
#define P -1
#define Z 0
#define N 1
//limit of graph degree of membership
//error
#define Llim_error -80
#define Ulim_error 80
#define m_error 0.0125 //slope error = 1/80
//membership function of output dduty >> (-100 - 100)
#define oN -900
#define oZ 0
#define oP 900
float uP=0,uZ=0,uN=0; //degree of membership function of error
float uoN=0,uoZ=0,uoP=0; //degree of membership function of dvoltage
void fuzzifer(float value);
void rule_base(void);
//void inferencet(void);
float defuzzifier(void);
float min(float value1,float value2);
float max(float value1,float value2);
void clear_uMF(void);
float u_MF(signed char mf_con,float value);
float FLC(signed int error_value);
void FLC_P(signed int set_point);
//fuzzy-P controller
void FLC_P(signed int setpoint) {
signed int duty_output=0;
duty_output=(signed int)FLC(setpoint-real_speed); //FLC(error)=duty >> (-1023 - 1023)
//output limit
if(duty_output>1023) { //upper output limit
duty_output=1023;
} else if(duty_output<-1023) { //lower output limit
duty_output=-1023;
}
speed_output(3,duty_output); //set pwm duty
}
void fuzzifer(float value) { //input1 is error
uP=u_MF(P,value); //error is positive
uZ=u_MF(Z,value); //error is zero
uN=u_MF(N,value); //error is negative
}
void rule_base() { //FLC have 5 rules.
//rule 1: if( error is Z ) then ( dvoltage is oZ )
if(uZ>0) {
uoZ=uZ;
} else {
uoZ=0;
}
//rule 2: if( error is P ) then ( dvoltage is oN )
if(uP>0) {
uoN=uP;
} else {
uoN=0;
}
//rule 3: if( error is N ) then ( dvoltage is oP )
if(uN>0) {
uoP=uN;
} else {
uoP=0;
}
}
/*void inferencet() {
//not use
}*/
float defuzzifier() { //COA
float output=0,sum_uoutput=0;
output+=(oP*uoP);
output+=(oZ*uoZ);
output+=(oN*uoN);
sum_uoutput=uoP+uoZ+uoN;
return(output/sum_uoutput);
}
float min(float value1,float value2) {
float value=0;
if(value1<=value2) {
value=value1;
} else {
value=value2;
}
return(value);
}
float max(float value1,float value2) {
float value=0;
if(value1>=value2) {
value=value1;
} else {
value=value2;
}
return(value);
}
void clear_uMF() {
//clear all previous data
}

```

เอกสารนี้เป็นเอกสารที่สงวนไว้สำหรับการใช้งานเพื่อการศึกษาเท่านั้น ไม่อนุญาตให้นำไปใช้ประโยชน์ด้านการค้า
ไม่ว่ากรณีใดๆ ทั้งสิ้น อีกทั้งห้ามมิให้ตัดแปลงเนื้อหา และต้องอ้างอิงถึงเจ้าของเอกสารทุกครั้งที่มีการนำไปใช้

```

uP=0; uZ=0; uN=0;
uoN=0; uoZ=0; uoP=0;
}
float u_MF(signed char mf_con, float value) {
float temp_u_mf=0;
//input is error
switch(mf_con) {
case(P): { //error is positive
if(value<=Llim_error) {
temp_u_mf=1;
} else if((value>Llim_error)&&(value<0)) {
temp_u_mf=(-m_error)*value;
} else {
temp_u_mf=0;
}
} break;
case(Z): { //error is zero
if((value>Llim_error)&&(value<0)) {
temp_u_mf=((m_error)*value)+1;
} else if(value==0){
temp_u_mf=1;
} else if((value>0)&&(value<Ulim_error)) {
temp_u_mf=((-m_error)*value)+1;
} else {
temp_u_mf=0;
}
} break;
case(N): { //error is negative
if((value>0)&&(value<Ulim_error)) {
temp_u_mf=(m_error)*value;
} else if(value>=Ulim_error){
temp_u_mf=1;
} else {
temp_u_mf=0;
}
} break;
}
return(temp_u_mf);
}
float FLC(signed int error_value) {
clear_uMF();
fuzzifier(error_value);
rule_base();
//inference();
return(defuzzifier());
}

```

Library Program of Fuzzy P-I controller (Master)

```

#include"C:\dsPIC\dspic_000\lib\motor\fuzzy_P_I.h"
//Fuzzy P-I controller (sampling every 20ms)
//control speed multi-motor
#define P -1
#define Z 0
#define N 1
#define F_P 0
#define F_I 1
//P controller limit of graph degree of membership
#define Llim_error_p -80
#define Ulim_error_p 80
#define m_error_p 0.0125 //slope error = 1/80
//membership function of output
#define oN_p -1000
#define oZ_p 0
#define oP_p 1000
//I controller limit of graph degree of membership
#define Llim_error_i -15
#define Ulim_error_i 15
#define m_error_i 0.0667 //slope error = 1/15
//membership function of output
#define oN_i -4
#define oZ_i 0
#define oP_i 4
float uP=0, uZ=0, uN=0; //degree of membership function of error
float uoN=0, uoZ=0, uoP=0; //degree of membership function of dvoltage
signed int op_I=0;
void fuzzifier(float value, unsigned char type_fuzzy);
void rule_base(void);
//void inference(void);
float defuzzifier(unsigned char type_fuzzy);
float min(float value1, float value2);
float max(float value1, float value2);
void clear_uMF(void);
float u_MF(signed char mf_con, float value, unsigned char type_fuzzy);
float FLC(float error_value, unsigned char type_fuzzy);
//this function want 3 variable concluded setpoint_con, speed_L and speed_R
//cal speed L-R
//mul FLC_P_I
//--step--
//
// sum speed before I block
// I controller
// sum (setpoint.unify feedback.I path)
void FLC_P_I(signed int setpoint_con, signed char speed_R, signed char speed_L) {
signed int fw_path_L=0, fw_path_R=0;
op_I+=(signed int)FLC((speed_L-speed_R), F_I); //limit output I controller
if(op_I > 30000) {
op_I=30000;
} else if(op_I < -30000) {
op_I=-30000;
}
}

```

เอกสารนี้เป็นเอกสารที่สงวนไว้สำหรับการใช้งานเพื่อการศึกษาเท่านั้น ไม่อนุญาตให้นำไปใช้ประโยชน์ด้านการค้า
ไม่ว่ากรณีใดๆ ทั้งสิ้น อีกทั้งห้ามมิให้ตัดแปลงเนื้อหา และต้องอ้างอิงถึงเจ้าของเอกสารทุกครั้งที่มีการนำไปใช้

```

}
fw_path_L=setpoint con-op_l-speed_L;
if(fw_path_L>30000) {
fw_path_L=30000;
} else if(fw_path_L<-30000) {
fw_path_L=-30000;
}
fw_path_R=setpoint con+op_l-speed_R;
if(fw_path_R>30000) {
fw_path_R=30000;
} else if(fw_path_R<-30000) {
fw_path_R=-30000;
}
spi_send16_s(1,change_duty16,FLC(fw_path_R,F_P)); //R
spi_send16_s(2,change_duty16,FLC(fw_path_L,F_P)); //L
}
void fuzzifier(float value,unsigned char type_fuzzy) { //input is error
uP=u_MF(P,value,type_fuzzy); //error is positive
uZ=u_MF(Z,value,type_fuzzy); //error is zero
uN=u_MF(N,value,type_fuzzy); //error is negative
}
void rule_base() { //FLC have 5 rules.
//rule 1: if( error is Z ) then ( voltage is oZ )
if(uZ>0) {
uoZ=uZ;
} else {
uoZ=0;
}
//rule 2: if( error is P ) then ( dvoltage is oN )
if(uP>0) {
uoN=uP;
} else {
uoN=0;
}
//rule 3: if( error is N ) then ( dvoltage is oP )
if(uN>0) {
uoP=uN;
} else {
uoP=0;
}
}
/*void inference() {
//not use
}*/
float defuzzifier(unsigned char type_fuzzy) { //COA
float output=0,sum_uoutput=0;
float oP=0,oZ=0,oN=0;
if(type_fuzzy==F_P) {
oP=oP_p;
oZ=oZ_p;
oN=oN_p;
} else if(type_fuzzy==F_I) {
oP=oP_i;
oZ=oZ_i;
oN=oN_i;
}
output+=(oP*uoP);
output+=(oZ*uoZ);
output+=(oN*uoN);
sum_uoutput=uoP+uoZ+uoN;
return(output/sum_uoutput);
}
float min(float value1,float value2) {
float value=0;
if(value1<=value2) {
value=value1;
} else {
value=value2;
}
return(value);
}
float max(float value1,float value2) {
float value=0;
if(value1>=value2) {
value=value1;
} else {
value=value2;
}
return(value);
}
void clear_uMF() { //clear all previous data
uP=0; uZ=0; uN=0;
uoN=0; uoZ=0; uoP=0;
}
float u_MF(signed char mif_con,float value,unsigned char type_fuzzy) {
float temp_u_mf=0;
float Llim_error=0,Ulim_error=0,m_error=0;

if(type_fuzzy==F_P) {
Llim_error=Llim_error_p;
Ulim_error=Ulim_error_p;
m_error=m_error_p;
} else if(type_fuzzy==F_I) {
Llim_error=Llim_error_i;
Ulim_error=Ulim_error_i;
m_error=m_error_i;
}
switch(mif_con) {
case(P): { //error is positive
if(value<=Llim_error) {
temp_u_mf=1;
} else if((value>Llim_error)&&(value<0)) {
temp_u_mf=(-m_error)*value;
}
}
}

```

เอกสารนี้เป็นเอกสารที่สงวนไว้สำหรับการใช้งานเพื่อการศึกษาเท่านั้น ไม่อนุญาตให้นำไปใช้ประโยชน์ด้านการค้า
ไม่ว่ากรณีใดๆ ทั้งสิ้น อีกทั้งห้ามมิให้ตัดแปลงเนื้อหา และต้องอ้างอิงถึงเจ้าของเอกสารทุกครั้งที่มีการนำไปใช้

```

} else {
    temp_u_mf=0;
}
} break;
case(Z): { //error is zero
    if((value>Llim_error)&&(value<0)) {
        temp_u_mf=((m_error)*value)+ 1;
    } else if(value==0){
        temp_u_mf=1;
    } else if((value>0)&&(value<Ulim_error)) {
        temp_u_mf=((-m_error)*value)+ 1;
    } else {
        temp_u_mf=0;
    }
} break;
case(N): { //error is negative
    if((value>0)&&(value<Ulim_error)) {
        temp_u_mf=(m_error)*value;
    } else if(value>=Ulim_error){
        temp_u_mf=1;
    } else {
        temp_u_mf=0;
    }
} break;
}
return(temp_u_mf);
}
float FLC(float error_value,unsigned char type_fuzzy) {
    clear_uMF();
    fuzzifier(error_value,type_fuzzy);
    rule_base();
    //inference();
    return(defuzzifier(type_fuzzy));
}

```

Library Program of Fuzzy PI controller

```

//C:\dsPIC\dspic_00\lib\motor\fuzzy_PI.h
//Fuzzy Control Speed module
//Fuzzy-PI controller (sampling every 10ms)
//I/P error and derror >> speed(rpm)
//O/P duty >> -1023 - 1023
//min-max speed motor >> -100 - 100 rpm
#define error 0
#define derror 1
#define PB -2
#define P -1
#define Z 0
#define N 1
#define NB 2
#define dN 0
#define dZ 1
#define dP 2
//limit of graph degree of membership
//error
#define Llim_error -8
#define Ulim_error 8
#define m_error 0.125
#define LBlim_error -35
#define UBlim_error 35
#define mB_error 0.0370 //slope error = 1/(UBlim_error-Ulim_error) = 1/12
#define c1 -0.2963 //c=(-mB_error*Llim_error) PB,NB line
#define c2 1.2963 //c=(-mB_error*Ulim_error) P,N line
//derror
#define Llim_derror -20
#define Ulim_derror 20
#define m_derror 0.05
//membership function of output dduty >> (-100 - 100)
#define oNB -235
#define oN -13.3
#define oNS -11.5
#define oZ 0
#define oPS 11.5
#define oP 13.3
#define oPB 235
float uPB=0,uP=0,uZ=0,uN=0,uNB=0; //degree of membership function of error
float udN=0,udZ=0,udP=0; //degree of membership function of derror
float uoNB=0,uoN=0,uoNS=0,uoZ=0,uoPS=0,uoP=0,uoPB=0; //degree of membership function of dvoltage
signed int error_speed=0,last_error_speed=0;
signed int duty=0;
void fuzzifier(signed char case_con,float value);
void rule_base(void);
//void inference(void);
float defuzzifier(void);
float min(float value1,float value2);
float max(float value1,float value2);
void clear_uMF(void);
float u_MF(signed char case_con,signed char mf_con,float value);
float FLC(signed int temp_error,signed int temp_derror);
void FLC_PI(signed int set_point);
//fuzzy-PI controller
void FLC_PI(signed int setpoint) {
    signed int duty_output=0;
    error_speed=setpoint-real_speed;
    duty=duty+(signed int)FLC(error_speed,(error_speed-last_error_speed)); //FLC(error,error-last_error)=dduty >> (-100 - 100)
    //limit
    if(duty>30000) { //upper limit
        duty=30000;
    } else if(duty<-30000) { //lower limit
        duty=-30000;
    }
}

```

เอกสารนี้เป็นเอกสารที่สงวนไว้สำหรับการใช้งานเพื่อการศึกษาเท่านั้น ไม่อนุญาตให้นำไปใช้ประโยชน์ด้านการค้า
ไม่ว่ากรณีใดๆ ทั้งสิ้น อีกทั้งห้ามมิให้ตัดแปลงเนื้อหา และต้องอ้างอิงถึงเจ้าของเอกสารทุกครั้งที่มีการนำไปใช้

```

//output limit
if(duty>1023) { //upper output limit
    duty_output=1023;
} else if(duty<-1023) { //lower output limit
    duty_output=-1023;
} else {
    duty_output=duty;
}
last_error_speed=error_speed;
speed_output(3,duty_output); //set pwm duty
}

void fuzzifier(signed char case_con,float value) {
switch(case_con) {
case(error): { //input1 is error
    uPB=u_MF(error,PB,value); //error is positive big
    uP=u_MF(error,P,value); //error is positive
    uZ=u_MF(error,Z,value); //error is zero
    uN=u_MF(error,N,value); //error is negative
    uNB=u_MF(error,NB,value); //error is negative big
} break;
case(derror): { //input2 is derror
    udN=u_MF(derror,dN,value); //derror is negative
    udZ=u_MF(derror,dZ,value); //derror is zero
    udP=u_MF(derror,dP,value); //derror is positive
} break;
}
}

void rule_base() { //FLC have 7 rules.
//rule 1: if( error is Z ) then ( dvoltage is oZ )
if(uZ>0) {
    uoZ=uZ;
} else {
    uoZ=0;
}

//rule 2: if( error is PB ) then ( dvoltage is oNB )
if(uPB>0) {
    uoNB=uPB;
} else {
    uoNB=0;
}

//rule 3: if( error is NB ) then ( dvoltage is oPB )
if(uNB>0) {
    uoPB=uNB;
} else {
    uoPB=0;
}

//rule 4: if( error is P ) then ( dvoltage is oN )
if(uP>0) {
    uoN=uP;
} else {
    uoN=0;
}

//rule 5: if( error is N ) then ( dvoltage is oP )
if(uN>0) {
    uoP=uN;
} else {
    uoP=0;
}

//rule 6: if( error is P ) and ( derror is dN ) then ( dvoltage is oNS )
if((uP>0)&&(udN>0)) {
    uoNS=min(uP,udN);
} else {
    uoNS=0;
}

//rule 7: if( error is N ) and ( derror is dP ) then ( dvoltage is oPS )
if((uN>0)&&(udP>0)) {
    uoPS=min(uN,udP);
} else {
    uoPS=0;
}
}

/*void inference() {
//not use
*/
float defuzzifier() { //COA
float output=0,sum_output=0;
output+=(oPB*uoPB);
output+=(oP*uoP);
output+=(oPS*uoPS);
output+=(oZ*uoZ);
output+=(oNS*uoNS);
output+=(oN*uoN);
output+=(oNB*uoNB);
sum_output=uoPB+uoP+uoPS+uoZ+uoNS+uoN+uoNB;
return(output/sum_output);
}

float min(float value1,float value2) {
float value=0;
if(value1<=value2) {
    value=value1;
} else {
    value=value2;
}
return(value);
}

float max(float value1,float value2) {
float value=0;
if(value1>=value2) {
    value=value1;
} else {
    value=value2;
}
return(value);
}

```

เอกสารนี้เป็นเอกสารที่สงวนไว้สำหรับการใช้งานเพื่อการศึกษาเท่านั้น ไม่อนุญาตให้นำไปใช้ประโยชน์ด้านการค้า
ไม่ว่ากรณีใดๆ ทั้งสิ้น อีกทั้งห้ามมิให้ตัดแปลงเนื้อหา และต้องอ้างอิงถึงเจ้าของเอกสารทุกครั้งที่มีการนำไปใช้

```

}
void clear_uMF() {
//clear all previous data
uPB=0; uF=0; uZ=0; uN=0; uNB=0;
udN=0; udZ=0; udP=0;
uoNB=0; uoN=0; uoNS=0; uoZ=0; uoPS=0; uoP=0; uoPB=0;
}
float u_MF(signed char case_con, signed char mf_con, float value) {
float temp_u_mf=0;
switch(case_con) {
//input 1 is error
case(error): {
switch(mf_con) {
case(PB): { //error is positive big
if(value<=LBlim_error) {
temp_u_mf=1;
} else if((value>LBlim_error)&&(value<Llim_error)) {
temp_u_mf=(-mB_error)*value+c1;
} else {
temp_u_mf=0;
}
} break;
case(P): { //error is positive
if((value>LBlim_error)&&(value<Llim_error)) {
temp_u_mf=(mB_error)*value+c2;
} else if(value==Llim_error){
temp_u_mf=1;
} else if((value>Llim_error)&&(value<0)) {
temp_u_mf=(-m_error)*value;
} else {
temp_u_mf=0;
}
} break;
case(Z): { //error is zero
if((value>Llim_error)&&(value<0)) {
temp_u_mf=(m_error)*value+1;
} else if(value==0){
temp_u_mf=1;
} else if((value>0)&&(value<Ulim_error)) {
temp_u_mf=(-m_error)*value+1;
} else {
temp_u_mf=0;
}
} break;
case(N): { //error is negative
if((value>0)&&(value<Ulim_error)) {
temp_u_mf=(m_error)*value;
} else if(value==Ulim_error){
temp_u_mf=1;
} else if((value>Ulim_error)&&(value<UBlim_error)) {
temp_u_mf=(-mB_error)*value+c2;
} else {
temp_u_mf=0;
}
} break;
case(NB): { //error is negative big
if((value>Ulim_error)&&(value<UBlim_error)) {
temp_u_mf=(mB_error)*value+c1;
} else if(value==UBlim_error) {
temp_u_mf=1;
} else {
temp_u_mf=0;
}
} break;
}
} break;
//input2 is error
case(derror): {
switch(mf_con) {
case(dN): { //derror is negative
if(value<=-Llim_derror) {
temp_u_mf=1;
} else if((value>-Llim_derror)&&(value<0)) {
temp_u_mf=(-m_derror)*value;
} else {
temp_u_mf=0;
}
} break;
case(dZ): { //derror is zero
if((value>-Llim_derror)&&(value<0)) {
temp_u_mf=(m_derror)*value+1;
} else if(value==0){
temp_u_mf=1;
} else if((value>0)&&(value<Ulim_derror)) {
temp_u_mf=(-m_derror)*value+1;
} else {
temp_u_mf=0;
}
} break;
case(dP): { //derror is positive
if((value>0)&&(value<Ulim_derror)) {
temp_u_mf=(m_derror)*value;
} else if(value==Ulim_derror) {
temp_u_mf=1;
} else {
temp_u_mf=0;
}
} break;
}
} break;
}
return(temp_u_mf);
}

```

เอกสารนี้เป็นเอกสารที่สงวนไว้สำหรับการใช้งานเพื่อการศึกษาเท่านั้น ไม่อนุญาตให้นำไปใช้ประโยชน์ด้านการค้า
ไม่ว่ากรณีใดๆ ทั้งสิ้น อีกทั้งห้ามมิให้ตัดแปลงเนื้อหา และต้องอ้างอิงถึงเจ้าของเอกสารทุกครั้งที่มีการนำไปใช้

```

float FLC(signed int temp_error,signed int temp_derror) {
  clear_uMF();
  fuzzifier(temp_error);
  fuzzifier(derror,temp_derror);
  rule_base();
  //inference();
  return(defuzzifier());
}

```

Library Program of Fuzzy PI-I controller (Master)

```

//C:\dsPIC\dspic_000\lib\libfuzzy_PI_1.h
//Fuzzy Control Speed module
//fuzzy PI-I controller with compass (sampling every 20ms)
//U/P error and derror >> speed(rpm)
//O/P duty >> -1023 - 1023
//min-max speed motor >> -100 - 100 rpm
#define error 0
#define derror 1
#define PB -2
#define P -1
#define Z 0
#define N 1
#define NB 2
#define dN 0
#define dZ 1
#define dP 2
#define F_PI 0
#define F_I 1
//Fuzzy PI limit of graph degree of membership
//error
#define Llim_error_pi -10
#define Ulim_error_pi 10
#define m_error_pi 0.1 //slope error = 1/9.5
#define LBlim_error_pi -60
#define UBlim_error_pi 60
#define mB_error_pi 0.02 //slope error = 1/(UBlim_error-Ulim_error) = 1/12
//c=-(mB_error*Llim_error) PB,NB line
//c=(mB_error*LBlim_error) P,N line
#define c1_pi -0.2
#define c2_pi 1.2
//derror
#define Llim_derror_pi -20
#define Ulim_derror_pi 20
#define m_derror_pi 0.05 //slope derror = 1/20
//membership function of output dduty >> (-100 - 100)
#define oNB_pi -235
#define oN_pi -15
#define oNS_pi -12
#define oZ_pi 0
#define oP_pi 12
#define oPB_pi 235
//Fuzzy I limit of graph degree of membership
#define Llim_error_i -30
#define Ulim_error_i 30
#define m_error_i 0.03333 //slope error = 1/22
//membership function of output
#define oN_i -3
#define oZ_i 0
#define oP_i 3
//variable of Fuzzy PI
float uPB_pi=0,uP_pi=0,uZ_pi=0,uN_pi=0,uNB_pi=0; //degree of membership function of error
float udN_pi=0,udZ_pi=0,udP_pi=0; //degree of membership function of derror
float uoNB_pi=0,uoN_pi=0,uoNS_pi=0,uoZ_pi=0,uoPS_pi=0,uoP_pi=0,uoPB_pi=0; //degree of membership function of dvoltage
//variable of Fuzzy I
float uP_i=0 ,uZ_i=0 ,uN_i=0;
float uoN_i=0 ,uoZ_i=0 ,uoP_i=0;
signed int last_fw_path_R=0,last_fw_path_L=0; //fuzzy PI-I
signed int last_error_R=0,last_error_L=0; //fuzzy PI
signed int op_i=0,op_R=0,op_L=0;
void fuzzifier(signed char case_con,float value,unsigned char type_fuzzy);
void rule_base(unsigned char type_fuzzy);
//void inference(void);
float defuzzifier(unsigned char type_fuzzy);
float min(float value1,float value2);
float max(float value1,float value2);
void clear_uMF(unsigned char type_fuzzy);
float u_MF(signed char case_con,signed char mf_con,float value,unsigned char type_fuzzy);
float FLC(signed int temp_error,signed int temp_derror,unsigned char type_fuzzy);
void FLC_PI_1_cmp(signed int setpoint,signed char speed_R,signed char speed_L,unsigned int ang_st,unsigned int ang_now);
void FLC_PI_1(signed int setpoint,signed char speed_R,signed char speed_L);
void FLC_PI_1(signed int setpoint,signed char speed_R,signed char speed_L);
//fuzzy PI-I controller with cmp sensor
void FLC_PI_1_cmp(signed int setpoint,signed char speed_R,signed char speed_L,unsigned int ang_st,unsigned int ang_now) {
  signed int fw_path_L=0,fw_path_R=0;
  signed int curve_offset=0;
  unsigned char flag_ang=0;
  //calculate curve offset
  if(ang_now>ang_st) {
    flag_ang=0;
    curve_offset=ang_now-ang_st;
  } else {
    flag_ang=1;
    curve_offset=ang_st-ang_now;
  }
  if(curve_offset>180) {
    curve_offset=curve_offset-360;
  }
  if(flag_ang==1) {

```

เอกสารนี้เป็นเอกสารที่สงวนไว้สำหรับการใช้งานเพื่อการศึกษาเท่านั้น ไม่อนุญาตให้นำไปใช้ประโยชน์ด้านการค้า
ไม่ว่ากรณีใดๆ ทั้งสิ้น อีกทั้งห้ามมิให้ตัดแปลงเนื้อหา และต้องอ้างอิงถึงเจ้าของเอกสารทุกครั้งที่มีการนำไปใช้

```

curve_offset*=-1;
}
op_l+=(signed int)FLC(speed_L-speed_R+curve_offset,0,F_L);
if(op_l>30000) { //limit output l controller
  op_l=30000;
} else if(op_l<-30000) {
  op_l=-30000;
}

//Right motor path
fw_path_R=setpoint+op_l-speed_R;
if(fw_path_R>30000) {
  fw_path_R=30000;
} else if(fw_path_R<-30000) {
  fw_path_R=-30000;
}

//Left motor path
fw_path_L=setpoint-op_l-speed_L;
if(fw_path_L>30000) {
  fw_path_L=30000;
} else if(fw_path_L<-30000) {
  fw_path_L=-30000;
}

op_PI_R+=(signed int)FLC(fw_path_R-fw_path_R-last_fw_path_R,F_PI);
op_PI_L+=(signed int)FLC(fw_path_L-fw_path_L-last_fw_path_L,F_PI);
/*sprintf(uart_buf,"%d %d\r\n",op_PI_R,op_PI_L); //init show terminal
putsUART1((unsigned int *)uart_buf);
while(BusyUART1());*/
spi_send16_s(1,change_duty16,op_PI_R); //R
spi_send16_s(2,change_duty16,op_PI_L); //L
last_fw_path_R=fw_path_R;
last_fw_path_L=fw_path_L;
}

//fuzzy PI-l controller
void FLC_PI_l(signed int setpoint,signed char speed_R,signed char speed_L) {
  signed int fw_path_L=0, fw_path_R=0;
  op_l+=(signed int)FLC(speed_L-speed_R,0,F_L);
  if(op_l>30000) { //limit output l controller
    op_l=30000;
  } else if(op_l<-30000) {
    op_l=-30000;
  }

  //Right motor path
  fw_path_R=setpoint+op_l-speed_R;
  if(fw_path_R>30000) {
    fw_path_R=30000;
  } else if(fw_path_R<-30000) {
    fw_path_R=-30000;
  }

  //Left motor path
  fw_path_L=setpoint-op_l-speed_L;
  if(fw_path_L>30000) {
    fw_path_L=30000;
  } else if(fw_path_L<-30000) {
    fw_path_L=-30000;
  }

  op_PI_R+=(signed int)FLC(fw_path_R-fw_path_R-last_fw_path_R,F_PI);
  op_PI_L+=(signed int)FLC(fw_path_L-fw_path_L-last_fw_path_L,F_PI);
  /*sprintf(uart_buf,"%d %d\r\n",op_PI_R,op_PI_L); //init show terminal
  putsUART1((unsigned int *)uart_buf);
  while(BusyUART1());*/
  spi_send16_s(1,change_duty16,op_PI_R); //R
  spi_send16_s(2,change_duty16,op_PI_L); //L

  last_fw_path_R=fw_path_R;
  last_fw_path_L=fw_path_L;
}

//fuzzy PI controller
void FLC_PI(signed int setpoint,signed char speed_R,signed char speed_L) {
  signed int error_R=0,error_L=0;
  error_R=setpoint-speed_R;
  error_L=setpoint-speed_L;
  op_PI_R+=(signed int)FLC(error_R,(error_R-last_error_R),F_PI);
  op_PI_L+=(signed int)FLC(error_L,(error_L-last_error_L),F_PI);
  /*sprintf(uart_buf,"%d %d\r\n",op_PI_R,op_PI_L); //init show terminal
  putsUART1((unsigned int *)uart_buf);
  while(BusyUART1());*/
  //limit
  if(op_PI_R>30000) { //upper limit
    op_PI_R=30000;
  } else if(op_PI_R<-30000) { //lower limit
    op_PI_R=-30000;
  }

  if(op_PI_L>30000) { //upper limit
    op_PI_L=30000;
  } else if(op_PI_L<-30000) { //lower limit
    op_PI_L=-30000;
  }

  spi_send16_s(1,change_duty16,op_PI_R); //R
  spi_send16_s(2,change_duty16,op_PI_L); //L
  last_error_R=error_R;
  last_error_L=error_L;
}

void fuzzyfier(signed char case_con,float value,unsigned char type_fuzzy) {
  if(type_fuzzy==F_PI) {
    switch(case_con) {
      case(error): { //input l is error
        uPB_pi=u_MF(error,PB,value,type_fuzzy); //error is positive big
        uP_pi=u_MF(error,P,value,type_fuzzy); //error is positive
        uZ_pi=u_MF(error,Z,value,type_fuzzy); //error is zero
        uN_pi=u_MF(error,N,value,type_fuzzy); //error is negative
        uNB_pi=u_MF(error,NB,value,type_fuzzy); //error is negative big
      } break;
    }
  }
}

```

เอกสารนี้เป็นเอกสารที่สงวนไว้สำหรับการใช้งานเพื่อการศึกษาเท่านั้น ไม่อนุญาตให้นำไปใช้ประโยชน์ด้านการค้า
ไม่ว่ากรณีใดๆ ทั้งสิ้น อีกทั้งห้ามมิให้ตัดแปลงเนื้อหา และต้องอ้างอิงถึงเจ้าของเอกสารทุกครั้งที่มีการนำไปใช้

```

case(derror); { //input2 is derror
  udN_pi=u_MF(derror,dN,value,type_fuzzy); //derror is negative
  udZ_pi=u_MF(derror,dZ,value,type_fuzzy); //derror is zero
  udP_pi=u_MF(derror,dP,value,type_fuzzy); //derror is positive
} break;
}
else if(type_fuzzy==F_I) {
  uP_i = u_MF(error,P,value,F_I); //error is positive
  uZ_i = u_MF(error,Z,value,F_I); //error is zero
  uN_i = u_MF(error,N,value,F_I); //error is negative
}
}

void rule_base(unsigned char type_fuzzy) { //FLC have 7 rules.
  if(type_fuzzy==F_P1) {
    //rule 1: if( error is Z ) then ( dvoltage is oZ )
    if(uZ_pi>0) {
      uoZ_pi=uZ_pi;
    } else {
      uoZ_pi=0;
    }
    //rule 2: if( error is PB ) then ( dvoltage is oNB )
    if(uPB_pi>0) {
      uoNB_pi=uPB_pi;
    } else {
      uoNB_pi=0;
    }
    //rule 3: if( error is NB ) then ( dvoltage is oPB )
    if(uNB_pi>0) {
      uoPB_pi=uNB_pi;
    } else {
      uoPB_pi=0;
    }
    //rule 4: if( error is P ) then ( dvoltage is oN )
    if(uP_pi>0) {
      uoN_pi=uP_pi;
    } else {
      uoN_pi=0;
    }
    //rule 5: if( error is N ) then ( dvoltage is oP )
    if(uN_pi>0) {
      uoP_pi=uN_pi;
    } else {
      uoP_pi=0;
    }

    //rule 6: if( error is P ) and ( derror is dN ) then ( dvoltage is oNS )
    if((uP_pi>0)&&(udN_pi>0)) {
      uoNS_pi=min(uP_pi,udN_pi);
    } else {
      uoNS_pi=0;
    }
    //rule 7: if( error is N ) and ( derror is dP ) then ( dvoltage is oPS )
    if((uN_pi>0)&&(udP_pi>0)) {
      uoPS_pi=min(uN_pi,udP_pi);
    } else {
      uoPS_pi=0;
    }
  } else if(type_fuzzy==F_I) {
    //rule 1: if( error is Z ) then ( voltage is oZ )
    if(uZ_i>0) {
      uoZ_i=uZ_i;
    } else {
      uoZ_i=0;
    }
    //rule 2: if( error is P ) then ( dvoltage is oN )
    if(uP_i>0) {
      uoN_i=uP_i;
    } else {
      uoN_i=0;
    }
    //rule 3: if( error is N ) then ( dvoltage is oP )
    if(uN_i>0) {
      uoP_i=uN_i;
    } else {
      uoP_i=0;
    }
  }
}

/*void inference() {
//not use
}*/

float defuzzifier(unsigned char type_fuzzy) { //COA
  float output=0,sum_uoutput=0;
  if(type_fuzzy==F_P1) {
    output+=(oPB_pi*uoPB_pi);
    output+=(oP_pi*uoP_pi);
    output+=(oPS_pi*uoPS_pi);
    output+=(oZ_pi*uoZ_pi);
    output+=(oNS_pi*uoNS_pi);
    output+=(oN_pi*uoN_pi);
    output+=(oNB_pi*uoNB_pi);
    sum_uoutput=uoPB_pi+uoP_pi+uoPS_pi+uoZ_pi+uoNS_pi+uoN_pi+uoNB_pi;
  } else if(type_fuzzy==F_I) {
    output+=(oP_i*uoP_i);
    output+=(oZ_i*uoZ_i);
    output+=(oN_i*uoN_i);
    sum_uoutput=uoP_i+uoZ_i+uoN_i;
  }
  if(sum_uoutput==0) {
    return(0); //protect error in math rule
  } else {
    return(output/sum_uoutput);
  }
}

```

เอกสารนี้เป็นเอกสารที่สงวนไว้สำหรับการใช้งานเพื่อการศึกษาเท่านั้น ไม่อนุญาตให้นำไปใช้ประโยชน์ด้านการค้า
ไม่ว่ากรณีใดๆ ทั้งสิ้น อีกทั้งห้ามมิให้ตัดแปลงเนื้อหา และต้องอ้างอิงถึงเจ้าของเอกสารทุกครั้งที่มีการนำไปใช้

```

}
}
float min(float value1, float value2) {
float value=0;
if(value1<=value2) {
value=value1;
} else {
value=value2;
}
return(value);
}
float max(float value1, float value2) {
float value=0;
if(value1>=value2) {
value=value1;
} else {
value=value2;
}
return(value);
}
void clear_uMF(unsigned char type_fuzzy) {
//clear all previous data
if(type_fuzzy==F_P1) {
uPB_pi=0; uP_pi=0; uZ_pi=0; uN_pi=0; uNB_pi=0;
uDN_pi=0; uDZ_pi=0; uDP_pi=0;
uONB_pi=0; uON_pi=0; uONS_pi=0; uoZ_pi=0; uoPS_pi=0; uoP_pi=0; uoPB_pi=0;
} else if(type_fuzzy==F_I) {
uP_i=0; uZ_i=0; uN_i=0;
uON_i=0; uoZ_i=0; uoP_i=0;
}
}
float u_MF(signed char case_con, signed char mf_con, float value, unsigned char type_fuzzy) {
float temp_u_mf=0;
if(type_fuzzy==F_P1) {
switch(case_con) {
//input1 is error
case(error): {
switch(mf_con) {
case(PB): { //error is positive big
if(value<=LBlim_error_pi) {
temp_u_mf=1;
} else if((value>LBlim_error_pi)&&(value<Llim_error_pi)) {
temp_u_mf=((-mB_error_pi)*value)+c1_pi;
} else {
temp_u_mf=0;
}
} break;
case(P): { //error is positive
if((value>LBlim_error_pi)&&(value<LBlim_error_pi)) {
temp_u_mf=(mB_error_pi)*value+c2_pi;
} else if(value==Llim_error_pi) {
temp_u_mf=1;
} else if((value>Llim_error_pi)&&(value<0)) {
temp_u_mf=(-m_error_pi)*value;
} else {
temp_u_mf=0;
}
} break;
case(Z): { //error is zero
if((value>Llim_error_pi)&&(value<0)) {
temp_u_mf=(m_error_pi)*value+1;
} else if(value==0) {
temp_u_mf=1;
} else if((value>0)&&(value<Ulim_error_pi)) {
temp_u_mf=(-m_error_pi)*value+1;
} else {
temp_u_mf=0;
}
} break;
case(N): { //error is negative
if((value>0)&&(value<Ulim_error_pi)) {
temp_u_mf=(m_error_pi)*value;
} else if(value==Ulim_error_pi) {
temp_u_mf=1;
} else if((value>Ulim_error_pi)&&(value<UBlim_error_pi)) {
temp_u_mf=((-mB_error_pi)*value)+c2_pi;
} else {
temp_u_mf=0;
}
} break;
case(NB): { //error is negative big
if((value>Ulim_error_pi)&&(value<UBlim_error_pi)) {
temp_u_mf=((mB_error_pi)*value)+c1_pi;
} else if(value>=UBlim_error_pi) {
temp_u_mf=1;
} else {
temp_u_mf=0;
}
} break;
} break;
//input2 is deror
case(derror): {
switch(mf_con) {
case(dN): { //derror is negative
if(value<=-Llim_derror_pi) {
temp_u_mf=1;
} else if((value>-Llim_derror_pi)&&(value<0)) {
temp_u_mf=(-m_derror_pi)*value;
} else {
temp_u_mf=0;
}
} break;
}
}
}
}

```

เอกสารนี้เป็นเอกสารที่สงวนไว้สำหรับการใช้งานเพื่อการศึกษาเท่านั้น ไม่อนุญาตให้นำไปใช้ประโยชน์ด้านการค้า
ไม่ว่ากรณีใดๆ ทั้งสิ้น อีกทั้งห้ามมิให้ตัดแปลงเนื้อหา และต้องอ้างอิงถึงเจ้าของเอกสารทุกครั้งที่มีการนำไปใช้

```

case(dZ): { //derror is zero
  if((value>Llim_derror_pi)&&(value<0)) {
    temp_u_mf=((m_derror_pi)*value)+1;
  } else if(value==0){
    temp_u_mf=1;
  } else if((value>0)&&(value<Ulim_derror_pi)) {
    temp_u_mf=(-(m_derror_pi)*value)+1;
  } else {
    temp_u_mf=0;
  }
} break;
case(dP): { //derror is positive
  if((value>0)&&(value<Ulim_derror_pi)) {
    temp_u_mf=(m_derror_pi)*value;
  } else if(value>=Ulim_derror_pi) {
    temp_u_mf=1;
  } else {
    temp_u_mf=0;
  }
} break;
} break;
} else if(type_fuzzy==F_I) {
switch(mf_con) {
case(P): { //error is positive
  if(value<=Llim_error_i) {
    temp_u_mf=1;
  } else if((value>Llim_error_i)&&(value<0)) {
    temp_u_mf=(-m_error_i)*value;
  } else {
    temp_u_mf=0;
  }
} break;
case(Z): { //error is zero
  if((value>Llim_error_i)&&(value<0)) {
    temp_u_mf=((m_error_i)*value)+1;
  } else if(value==0){
    temp_u_mf=1;
  } else if((value>0)&&(value<Ulim_error_i)) {
    temp_u_mf=(-(m_error_i)*value)+1;
  } else {
    temp_u_mf=0;
  }
} break;
case(N): { //error is negative
  if((value>0)&&(value<Ulim_error_i)) {
    temp_u_mf=(m_error_i)*value;
  } else if(value>=Ulim_error_i){
    temp_u_mf=1;
  } else {
    temp_u_mf=0;
  }
} break;
}
}
return(temp_u_mf);
}

float FLC(signed int temp_error,signed int temp_derror,unsigned char type_fuzzy) {
clear_uMF(type_fuzzy);
if(type_fuzzy==F_PI) {
fuzzifier(error,temp_error,F_PI);
fuzzifier(derror,temp_derror,F_PI);
} else if(type_fuzzy==F_I) {
fuzzifier(error,temp_error,F_I);
}
rule_base(type_fuzzy);
//inference();
return(defuzzifier(type_fuzzy));
}

```

เอกสารนี้เป็นเอกสารที่สงวนไว้สำหรับการใช้งานเพื่อการศึกษาเท่านั้น ไม่อนุญาตให้นำไปใช้ประโยชน์ด้านการค้า
ไม่ว่ากรณีใดๆ ทั้งสิ้น อีกทั้งห้ามมิให้ตัดแปลงเนื้อหา และต้องอ้างอิงถึงเจ้าของเอกสารทุกครั้งที่มีการนำไปใช้